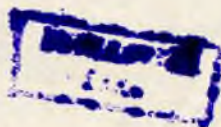


Р. Х. ҚОДИРОВ

# МЕХАНИЗМ ВА МАШИНАЛАР НАЗАРИЯСИДАН КУРСАВИЙ ЛОЙИХАЛАШ

Ўзбекистон ССР Олий ва махсус ўрта таълим министрини олий ўкув юртларининг талабалари учун ўкув қўлланмаси сифатида тавсия этган



ТОШКЕНТ „ЎҚИТУВЧИ“ 1990

**Рецензент:** Тошкент тұқымачилик ва снгил саноат институтининг  
доценті **Мавлявиев М. Р.**

«Механизм ва машиналар назариясидан масала ҳамда мисоллар тұпламы» ўқув  
құлланмаси 84 та типавий масала ва мисоллардан, иш машиналарни комплекс ана-  
лиз ва синтез қилишга оид комплекс масаладан ибрат.

Тұпламанның ҳар қайси бұлымда қысқа назарий мағлумот, типавий масалалар-  
ни ечиш намуналари көлтирилген бўлиб, улар құлланмадан кечки ва сиртқи факуль-  
тетлар студентларининг фойдаланишида қулайлык яратади.

Масалаларда қуйи ва олий кинематик жуфтли механизмларни структура, кине-  
матика, кинетостаттика ҳамда динамика жиҳатдан анализ ёки синтез қилиш кўриб  
чиқылган.

Ўқув құлланма «Механизм ва машиналар назарияси» курси ўрганиладиган олий  
техника ўқув юртларининг студентларига мўлжалланган.

## СҮЗ БОШИ

Машина ва механизмлар назарияси (ММН) механизм, машиналарни анализ ва синтез қилиш усулларини ўргатади. Бу икки тушунча — анализ (тадқиқ этиш) ва синтез (лойиҳалаш) — бири иккинчисини тўлдиради. Механизмларни тадқиқ этиш асосида уларни лойиҳалаш усуллари ўрганилади. Лойиҳаланган механизмларни тадқиқ этиш натижасида эса лойиҳалаш хатоси аниқланади.

Мазкур ўқув қўлланма уч қисмдан иборат бўлиб, биринчи қисмда механизмларни анализ қилиш, иккинчи қисмда механизмларни синтез қилиш масалалари ёритилган. Ҳар бир бўлимда техниканинг турли соҳаларида қўлланиладиган механизмларни тадқиқ этиш ёки лойиҳалашга оид мисоллар келтирилди. Учинчи қисм иш машинасини комплекс тадқиқ этиш ва лойиҳалаш масалаларига бағишланган. Унда пресс машинаси ҳамда рандалаш станогининг механизмлари ва қисмлари конкрет мисол тариқасида тадқиқ этилади. Шунингдек, иш машинаси таркибига кирувчи ричагли, кулачокли ва тишли фиддиракли механизмлар комплекс равишда геометрия, кинематика, динамика талабларига кўра лойиҳаланади.

Қўлланмада ишлатилган физик катталиклар ҳалқаро бирликлар системаси СИ га мосланди. Параметрлар ГОСТ 16530 — 70; 16531 — 70; 16532 — 70 да қабул қилинган шартли белгилашлар орқали ифодаланди.

Тўпламни яратишда ундан кундузги бўлим студентлари билан бир қаторда кечки ва сиртқи бўлим ўқувчиларининг фойдаланишлари ҳам назарда тутилди. Қўлланма қўлдёзмасини кўриб чиқиб, қимматли маслаҳатлар берганликлари учун ЎзССР ФА ҳақиқий аъзоси, т. ф. д. проф. Ҳ. Ҳ. Үсмонхўжаевга, С. Т. Мусаев, доцентлардан Т. А. Абдукаримов, М. Р. Мавляиев, Р. Ҳ. Қодировга ҳамда ўзларининг баъзи материаларидан фойдаланишга рухсат этганликлари учун Тошкент автомобильйўллар институти «Машина ва механизмлар назарияси ҳамда машина деталлари» кафедрасидаги касбдош ўртоқларга муаллиф ўзининг самимий миннатдорчилигини билдиради.

Мазкур ўқув қўлланма ҳақидағи фикр ва таклифларнинг қуйидаги адресга юборилишини илтимос қиласмиш: Тошкент 129, Навоий кўчаси 30. „Ўқитувчи“ нашириятининг умумтехника адабиётни редакцияси.

## Биринчи қисм

# МЕХАНИЗМЛАРНІГ ТЕҢШИРИШ

### 1-боб. МЕХАНИЗМЛАРНИГ ТУЗИЛИШИНИ ТЕҢШИРИШ ВА УЛАРНИГ ҚЛАССИФИҚАЦИЯСИ

#### 1-§. АСОСИЙ ТУШУНЧАЛАР

Инсон томонидан яратылған, уннинг жисмоний ва ақтый меңнатини енгиллаштириш ҳамда мәхнат унұмдорлыгини ошириш учун хизмат қылады машина деб аталади. Машина механизмлардан ташкил топади.

Бир ёки бир неча жисем ҳаракатини бошқа жисемларнинг аниқ қоңуныятта амал қылувчи ҳаракатига айлантириб берувчи қурилма механизм деб аталади. Механизм звенолардан ташкил топади.

Ягона деталь ёки бир неча деталнинг ўзаро құзғалмас бирикмаси звено дейилади. Звенолар ўзаро кинематик жуфтлар орқали боғланған бўлади.

Кинематик жуфт деб, икки звенонинг ўзаро нисбий ҳаракатига имкон берады машина аттапади. Боғланиш элементлари сирт, чизиқ ёки нүқта бўлиши мумкин.

Боғланиш турига кўра кинематик жуфтлар қуий ва олий кинематик жуфтларга бўлинади. Агар боғланиш элементи сирт ёки юза бўлса, бундай кинематик жуфт қуий кинематик жуфт деб аталади. Олий кинематик жуфтларда звеноларнинг ўзаро боғланиши кинематик жуфтлар орқали боғланған группаси кинематик занжир дейилади. Кинематик занжирлар оддий ва мураккаб, очиқ ва ёпиқ бўлиши мумкин. Оддий кинематик занжирларда ҳар бир звено иккитадан ортиқ кинематик жуфт ҳосил қила олмайди. Мураккаб кинематик занжирда иккитадан ортиқ кинематик жуфт ҳосил қила олады звено бўлади. Очиқ кинематик занжирда шундай звено борки у фақат битта кинематик жуфт ҳосил қылган бўлади. Ёпиқ кинематик занжирда эса иккитадан кам кинематик жуфт ҳосил қылган звено бўлмайди. Механизмни ёпиқ кинематик занжирнинг хусусий қўриниши деб қараш мумкин. Чунки унда звеноларнинг бирни құзғалмас қилиб қўтирилган бўлади. Кинематик занжир тушунчасидан фойдаланған ҳолда механизмга таъриф бериш ҳам мумкин:

*механизм шундай ёпиқ кинематик занжирки, ундағы бир ёки бир неча звенога ҳаракат берилганда қолган звенолар аниқ ҳаракат қиласади.*

Ҳаракат қонуни белгиланған звено, одатда, етакчи ёки бош звено дейилади. Юқорида келтирилған таърифга кўра, механизмдаги етакчи звеноларнинг аниқ ҳолати қолган звеноларнинг аниқ ҳолатини белги; лайди.

Механизмнинг тузилишини текшириш учун унинг схемасини чизиш кифоя. Механизмни кинематик ва кинетостатик текшириш учун эса унинг кинематик схемаси бўлиши шарт.

Механизм схемаси деб ундаги звенолар ва кинематик жуфтларнинг масштабга риоя қилинмаган ҳолда, шартли белгилашлар орқали график тасвирланishiга айтилади. Масштабга риоя қилинган ҳолда қурилган схема кинематик схема деб аталади.

## 2-§. ЗВЕНОЛАР ВА КИНЕМАТИК ЖУФТЛАРНИ ШАРТЛИ БЕЛГИЛАШ

**1. Звеноларни белгилаш.** 1) Икки кинематик жуфт ҳосил қилувчи ҳаракатланувчи звено (1-шакл, *a*);

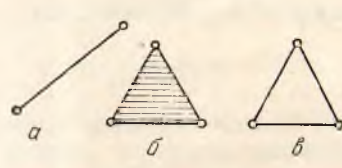
2) учта кинематик жуфт ҳосил қилувчи ҳаракатланувчи звено (1-шакл, *b, c*);

3) қўзгалмас звено (1-шакл, *e, d*).

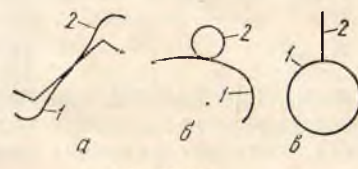
**2. Қўйи кинематик жуфтларни белгилаш.** 1) Иккита ҳаракатланувчи звенонинг айланма кинематик жуфт ҳосил қилиши (2-шакл, *a*);

2) қўзгалмас ва қўзгалувчан звеноларнинг айланма кинематик жуфт ҳосил қилиши (2-шакл, *b, c*);

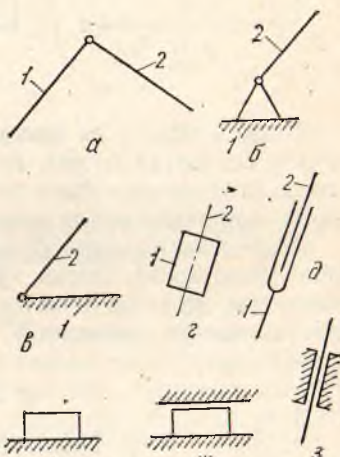
3) қўзгалувчан звеноларнинг илгарилама кинематик жуфт ҳосил қилиши (2-шакл, *e, d*);



1- шакл.



3- шакл.



2- шакл

4) қўзгалувчан ва қўзгалмас звеноларнинг илгарилама кинематик жуфт ҳосил қилиши (2-шакл, *e, ж, з*).

**3. Олий кинематик жуфтларни белгилаш.**

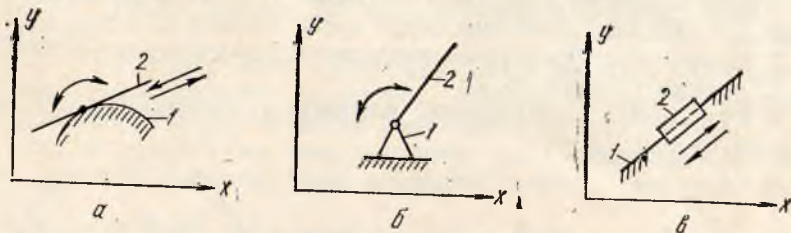
1) тицли фидиракларда тицларнинг кинематик боғланиши (3-шакл, *a*);

2) кулачокли механизмларда звеноларнинг кинематик боғланиши (3-шакл, *b, в*).

### 3- §. ТЕКИСЛИКДАГИ МЕХАНИЗМЛАРНИҢ ТУЗИЛИШИНИ ТЕҚШИРИШ

Техникада құлланиладиган механизмлар, асосан, звенолари үзаро параллел жойлашган текисликларда ҳаракатланувчи механизмлардир. Текисликта жойлашган әркін звенонинг ҳолати учта координата үлчами билан белгиланади, яғни улар үзаро перпендикуляр жойлашган координата үқлари бүйіча илгарылма ҳаракатланishi ва текисликка перпендикуляр бўлган ўқ атрофидаги ҳаракат қилиши мумкин.

Текисликта жойлашган звено бошқа бир звено билан кинематик жуфт орқали боғланса, унинг координата текислигидаги әркінлиги маълум даражада чекланади. 4-шакл, а да звенолар үзаро нүкта ёки чизик орқали боғланган бўлиб, бундай кинематик жуфтлар звенонинг текислик координатасындаги битта әркінлигини чеклайди. Бундай кинематик жуфтлар шартли равишда олий кинематик жуфтлар дейилади.



4- шакл.

4-шакл, б ва в да звенолар үзаро текис юзалар ёки эгри сиртлар орқали боғланган бўлиб, бу кинематик жуфтлар звенонинг текислик координатасындаги иккита әркінлигини чеклайди. Бундай кинематик жуфтлар шартли равишда қуйи кинематик жуфтлар дейилади.

Агар механизм таркибида ҳаракатланувчи звенолар сони  $n$ , уларнинг үзаро ҳосил қилган қуйи кинематик жуфтлари сони  $p_1$ , ва олий кинематик жуфтлар сони  $p_2$ , қийматларга эга бўлса, механизмнинг қўзғалувчанлик даражаси  $W$  Чебищевнинг қуйидаги формуласидан аниқланади:

$$W = 3n - 2p_1 - p_2. \quad (1. 1)$$

Бу формуладан фойдаланиб аниқланадиган қўзғалувчанлик даражаси  $W$  нинг қиймати механизм барча звеноларининг ҳолатлари ундағи нечта звенонинг ҳолатига боғлиқлигини, яғни механизмнинг нечта етакчи звеноси борлигини кўрсатади.

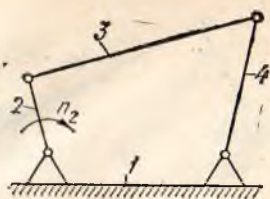
**1- мисол.** Шарнир ричагли 4 звеноли механизмнинг қўзғалувчанлик даражаси аниқлансан (5 шакл).

**Ечиш:** Қўзғалувчи звенолар сони  $n = 3$ ; қуйи кинематик жуфтлар сони  $p_1 = 4$ ; олий кинематик жуфтлар сони  $p_2 = 0$ .

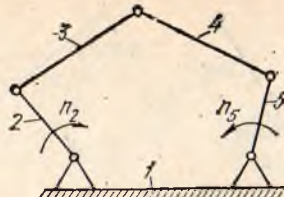
Механизмнинг қўзғалувчанлик даражаси Чебищев формуласига асосан:

$$W = 3 \cdot 3 - 2 \cdot 4 - 0 = 1.$$

Демак, механизм барча звеноларининг ҳолатлари ундағи битта



5- шакл.



6- шакл.

звенонинг ҳолатига боғлиқ, яъни механизмнинг ягона етакчи звеноси бор.

**2- мисол.** Шарнир ричагли 5 звеноли механизмнинг қўзгалувчанлик даражаси аниқлансин (6-шакл).

Ечиш:  $n = 4$ ;  $p_1 = 5$ ;  $p_2 = 0$ .

$$W = 3 \cdot 4 - 2 \cdot 5 - 0 = 2.$$

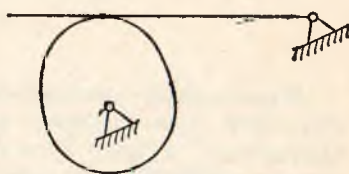
Демак, механизмда иккита етакчи звено бор.

**3- мисол.** Кулочокли механизмнинг қўзгалувчанлик даражаси аниқлансин (7-шакл).

Ечиш:  $n = 2$ ;  $p_1 = 2$ ;  $p_2 = 1$  ( $A$  нуқта).

Демак,  $W = 3 \cdot 2 - 2 \cdot 2 - 1 = 1$ .

Механизмнинг етакчи звеноси битта экан.

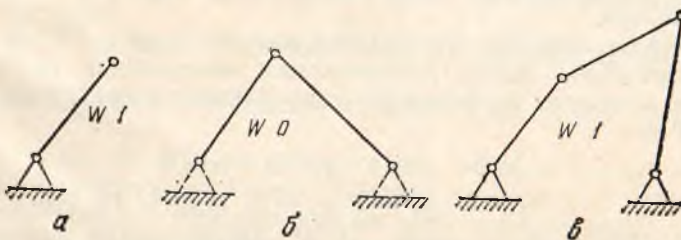


7- шакл.

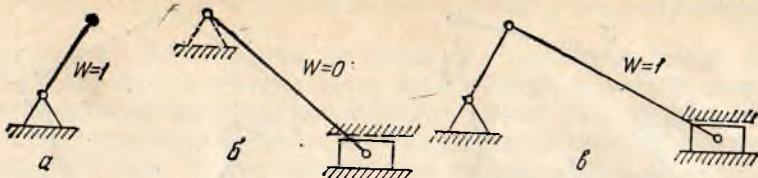
#### 4-§. ТЕКИС МЕХАНИЗМЛАРНИ ҲОСИЛ ҚИЛИШ. МЕХАНИЗМЛАРНИНГ АССУР—АРТОБОЛЕВСКИЙ ҚЛАССИФИКАЦИЯСИ

Ҳар қандай механизм асосга ўрнатилган бўлиб, бу асос шартли равишда қўзгалмас звено деб қаралади. Схемаларда қўзгалмас звено штрих чизиқлар билан белгиланади. Қўзгалмас звено ҳамда у билан айланма кинематик жуфт ҳосил қўлиувчи звенодан ташкил топган система бошлангич механизм дейилади (8-шакл, а). Бундай механизминг қўзгалувчанлик даражаси 1 га teng, яъни:

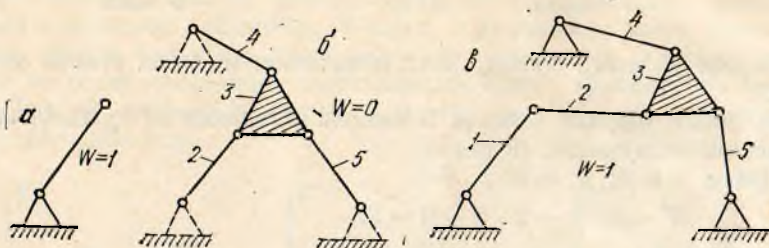
$$W = 3n - 2p_1 = 3 \cdot 1 - 2 \cdot 1 = 1.$$



8- шакл.



9- шакл.



10- шакл.

Мураккаброқ механизмлар бошланғич механизмга кинематик занжирларни (звено-ларнинг кинематик жуфтлар орқали боғланган туркмаларини) қўшиш йўли билан ҳосил қилинади. Қўп звенолардан ташкил топган механизмларнинг қўзғалувчанлик даражаси бошланғич механизмнинг қўзғалувчанлик даражасига тенг бўлиб қолиши учун қўшиладиган кинематик занжирнинг қўзғалмас звено билан ҳосил қиласидиган ёпиқ занжирининг қўзғалувчанлик даражаси нолга тенг бўлиши керак. Бундай кинематик занжирлар Ассур группалари дейилади (8- шакл, б; 9- шакл, б; 10- шакл, б).

Юқорида айтилганларга ва келтирилган мисолларга кўра, Ассур группаларининг ҳосил бўлиш шарти қўйидагicha:

$$W = 3n - 2p_1 = 0, \quad (1.2)$$

$$\text{бундан } p_1 = \frac{3}{2} n. \quad (1.3)$$

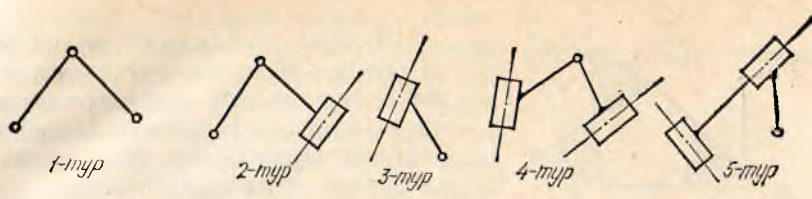
Ассур группалари ричагсимон звенолар ва қўйи кинематик жуфтлардан ташкил топган. Агар механизм таркибида олий кинематик жуфт мавжуд бўлса, у қўйи кинематик жуфтли битта қўшимча звено билан алмаштирилади.

(1.3) ифодадан кўриниб турибдики, звенолар каср сон бўла олмаслик шартига кўра, Ассур группаларидағи звеноларнинг ва унга мос келадиган кинематик жуфтларнинг сони қўйидаги қийматлардан бирита эга бўлади:

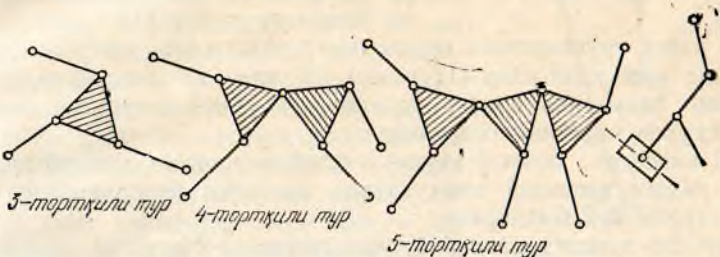
$$n = 2 \quad n = 4 \quad n = 6 \quad n = 8$$

$$p_1 = 3 \quad p_1 = 6 \quad p_1 = 9 \quad p_1 = 12 \text{ ва } \text{x. k.}$$

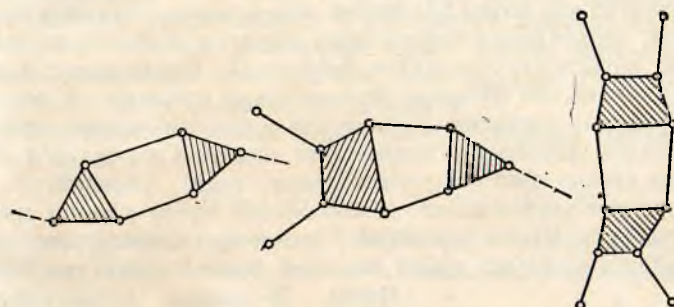
Ассур группалари академик И. И. Артоболевский таклиф этган классификация бўйича қўйидаги классларга бўлинади:



11- шакл.



12- шакл.



13- шакл.

I класс. Айланма ҳаракат құлувчи бosh звено. У құзгалмас звено билан қуи кинематик жуфт ҳосил қылған бүлиши шарт (8-шакл, a).

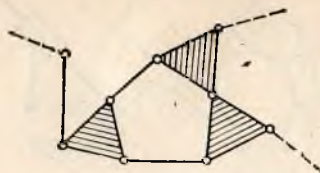
II класс. Икки звенодан ташкил топған группа (11-шакл).

III класс. Таркибида 3 томонлы ёпиқ ва очиқ контури бүлған группа (12-шакл).

IV класс. Таркибида 4 томонлы ёпиқ контури бүлған группа (13-шакл).

V класс. Таркибида 5 томонлы ёпиқ контурлар бүлған группа (14-шакл).

Юқорида күрсатылған шаклларға күра, айланма ҳаракат құлувчи бosh звено I класссга тааллуқлидір (8-шакл, a). II класс группынан учун асосий белги шундан иборатки, группа икки звенодан ташкил топған бўлиб, учта кинематик жуфтга эга, улардан иккитаси ташқи кинематик жуфтлардир (11-шакл).



14- шакл.

III класс группасининг муҳим белгиси шундан иборатки, группадаги асосий звено ўзининг учта нуқтаси билан кинематик жуфт ҳосил қиласди. Асосий звено учбурчак шаклида ёки ричаг кўринишида бўлиши мумкин (12-шакл).

IV класс группасининг муҳим белгиси шундаки, группа таркибида 4 томонли ёпиқ контур бор (13-шакл).

V класс группасидаги муҳим белги ундаги беш томонли ёпиқ контурнинг мавжудлигидир (14-шакл). IV классдан бошлаб юқори классларнинг ҳаммасида группа таркибидаги ёпиқ контур томонларининг сони группа классини белгилайди.

III классдан бошлаб юқори тартибли классга мансуб группалар учун ундаги звенолар сони группа классини белгиламайди, балки класс турларини билдиради.

Ҳар бир классга мансуб бўлган группани ўзига хос кинематик ва динамик текшириш усуллари мавжуд бўлиб, бу усулни бошқа классга татбиқ этиб бўлмайди. Демак, механизм тузилишини группаларга ажратиб текширишдан мақсад, уларни кинематик ва динамик текширишда қўлланилиши лозим бўладиган текшириш усулларини белгилашдан иборат. Механизмни группаларга ажратиш бош звенога нисбатан энг узоқда жойлашган группадан бошланади. Бунда дастлаб иккинчи класс, бунинг иложи бўлмаса, учинчи класс группаси ажратилади ва ҳоказо. Группани ажратиш натижасида механизм қолган қисмининг қўзғалувчанлик даражаси ўзгармаслиги шарт. Группаларга ажратиш механизмда етакчи звено қолгунча давом этади. Ажратилган группалар орасида энг юқори класс механизмнинг қайси классга мансублигини белгилайди. Шуни ҳам айтиб ўтиш лозимки, механизмнинг класси группаларга ажратиш қайси звенодан бошланishiiga ҳам боғлиқ.

**Мисол.** 15-шаклда кўрсатилган рандалаш станоги механизми Ассур—Артоболевский бўйича классификация қилинсин.

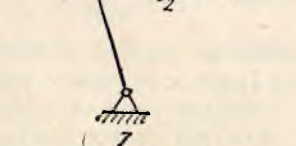
**Ечиш.** I) механизмнинг қўзғалувчанлик даражаси аниқланади:  $\kappa = 7$  — умумий звенолар сони;  $n = 6$  — ҳаракатланувчи звенолар сони;  $p_1 = 8$  — қўйи кинематик жуфтлар сони;  $p_2 = 1$  — олий кинематик жуфтлар сони.

У ҳолда

$$W = 3n - 2p_1 - p_2 = 3 \cdot 6 - 2 \cdot 8 - 1 = 1.$$

15-шаклга биноан, олий кинематик жуфтни битта (8-нчи) звено ва иккита қўйи ( $O_1$  ва  $O_2$ ) кинематик жуфт билан алмаштирамиз (16-шакл).

Бунинг учун олий кинематик жуфтни ташкил этувчи  $\alpha$  ва  $\beta$  сиртларга умумий



15- шакл.

нормал чизиқ үтказилади ҳамда шу чизиқда  $\alpha$  ва  $\beta$  сиртларнинг эгрилик марказлари белгиланади. Эгрилик марказларида мос равиша айланма ҳаракат құлувчи қуий кинематик жуфтларнинг марказлари  $O_1$  ва  $O_2$  күрсатилади ҳамда улар үзаро 8-звено (алмаштирувчи звено) орқали туташтирилади (16-шакл).

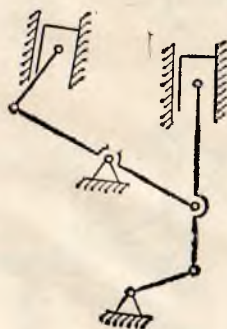
2) Механизм Ассур группаларига ажратылади. Ассур группаларини ажратиш алмаштирилган механизм устида олиб борилади. 16-шаклдан күриниб турибидики, етакловчи звенолар сони битта ва у құзғалмас звено билан қуий кинематик жуфтни ташкил этади. Механизм звеноларининг ҳаммаси үзаро қуий кинематик жуфтлар орқали боғланган. Демак, механизм учун Ассур—Артоболевский бүйіча классификациясынинг ҳамма шартлари бажарылған. Механизмдан аввал 5 ва 6, сүнгра 3 ва 4, энг охирдә 2 ва 8 звенолардан ташкил топған, шунингдек, ҳаммаси иккінчи класста мансуб бўлган Ассур группаларини ажратиб оламиз. Ассур группаларига ажратиб олингандан сүнг қолган звеноларнинг бири етакловчи, иккінчisi эса құзғалмас звено бўлади. Демак, группаларга ажратиш иши тугалланган ҳисобланади.

3) Механизмнинг класси ҳамда унинг тузилиши формуласи қуийдагича бўлади:

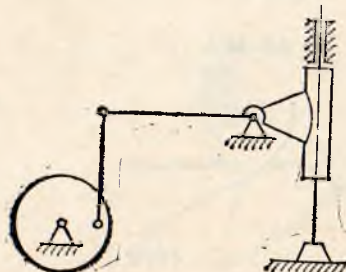
$$I(1, 7) \rightarrow II(8, 2) \rightarrow II(3, 4) \rightarrow II(5, 6).$$

Бундан күриниб турибидики, механизмни ташкил құлувчи группаларнинг энг юқори класси 2 га тенг, демак, механизм иккінчи класста мансубдир.

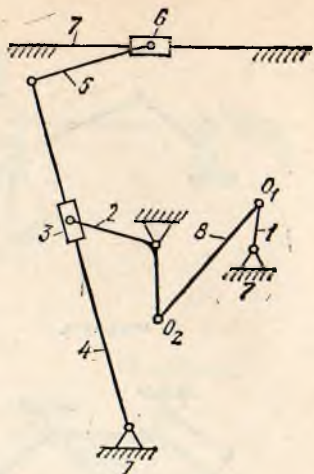
**1—24- масалалар.** Механизмларнинг құзғалувчанлик даражасини аниқланг.



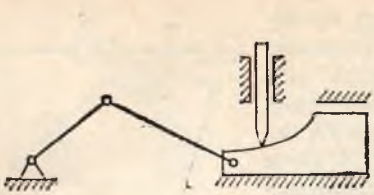
1- масалага.



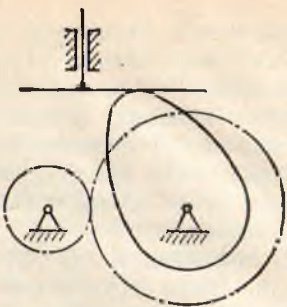
2- масалага.



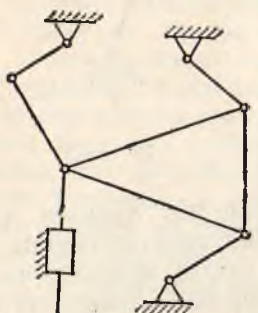
16- шакл.



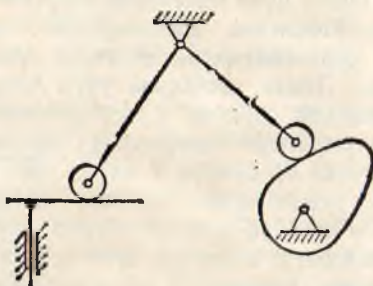
3- масалага.



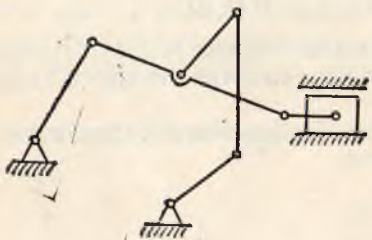
4- масалага.



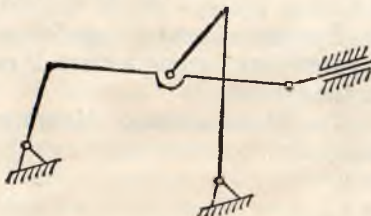
5- масалага.



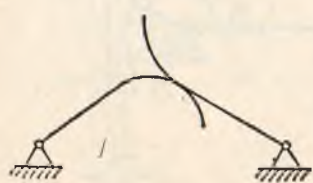
6- масалага.



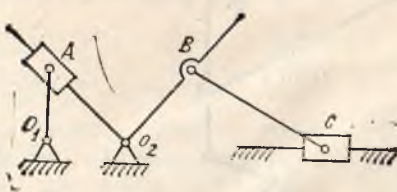
7- масалага.



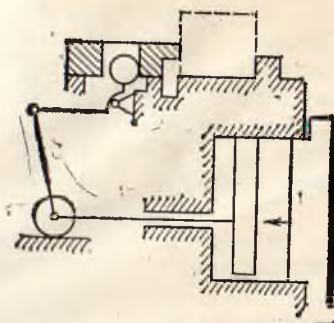
8- масалага.



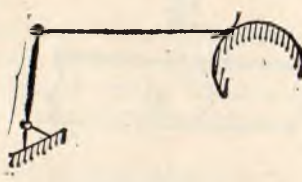
9- масалага.



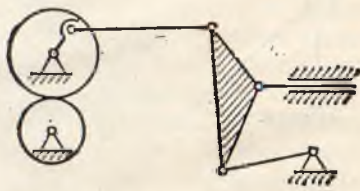
10- масалага.



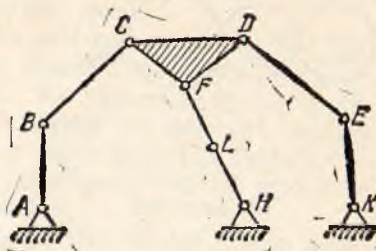
11- масалага.



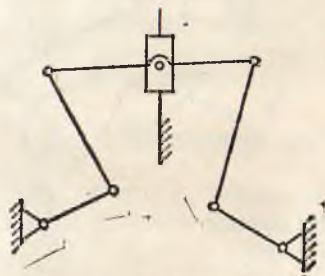
12- масалага.



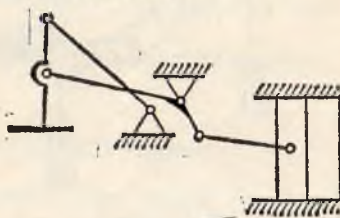
13- масалага.



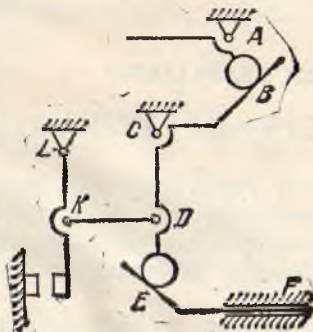
14- масалага.



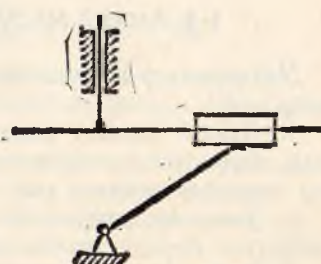
15- масалага.



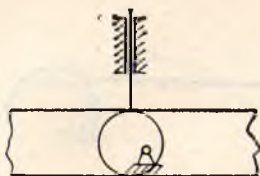
16- масалага.



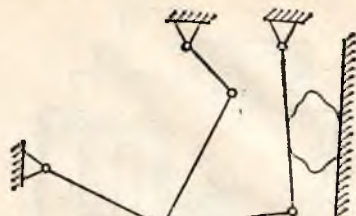
17- масалага.



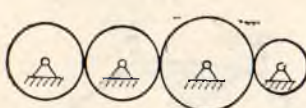
18-масалага



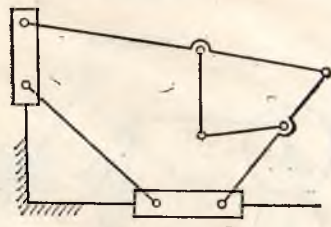
19- масалага.



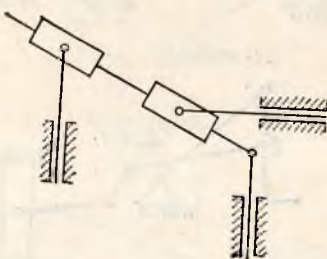
20- масалага.



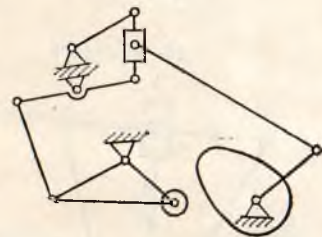
21- масалага.



22- масалага.



23- масалага.



24- масалага.

## 2-бөб. РИЧАГЛИ МЕХАНИЗМЛАРНИҢ ҚИНЕМАТИҚАСИНЫ ТЕКШИРИШ

### 1-§. АСОСИЙ МАСАЛАЛАР ВА ҮМУМИЙ МУЛОҲДАЗАЛАР

Механизмлар кинематикасини текширишда қўйидаги масалалар ҳал қилинади:

1. Даврий ҳаракат давомида механизмнинг турли ҳолатлари қурилади, звеноларнинг характерли нуқталари (айланма кинематик жуфтлар, звенолар оғирлик марказлари) нинг траекториялари аниқланади.
2. Звенолар характерли нуқталарининг чизиқли тезлilikлари ва звеноларнинг бурчак тезлilikлари аниқланади.
3. Звенолар характерли нуқталарининг чизиқли тезланишлари ва звеноларнинг бурчак тезланишлари аниқланади.

Механизм ҳаракатини кинематик текшириш учун механизм звено-ларининг ҳақиқий ўлчамлари ва етакловчи звеноларнинг ҳаракат қонуулари олдиндан аниқланган бўлиши керак.

Кинематик текшириш механизмнинг барқарор ишлаш режимида ималга оширилади ҳамда бош звено—кривошин ўзгармас бурчак тезлик билан айланади деб қаралади. Масалага бундай қараш натижасида кинематик текшириш унча катта бўлмаган хатолик билан керакли натижани беради.

Механизмни кинематик текшириш, ўз навбатида, лойиҳалаш масаласи қанчалик тўғри ҳал қилингандигини ҳам кўрсатади. Масалан, механизмининг турли ҳолатини қутиш, характерли нуқталар траекториясини аниқлаш шу механизм ишлаш шароити а қандай кўламни эгаллашини, бошқа механизмлар билан боғланиши қай тарзда бўлиши кераклиги тўғрисида фикр юртишга имкон беради.

Характерли нуқталарнинг тезликларини аниқлаш механизмнинг турли ҳолатлари учун келтирилган инерция моментларини ёки келтирилган массаларни аниқлашга ёрдам беради, ўз навбатида бу катталикларни аниқламасдан механизмга таъсир этувчи кучларнинг даврий ўзгариб туришидан келиб чиқадиган ва бош звено валининг бурчак тезлик ҳаракатидаги ўзгаришларни матълум даражада текислаш учун хизмат қиласидан маҳовини ҳисоблаб бўлмайди.

Тезланишлар планидан фойдаланиб звеноларга таъсир этувчи инерция кучлари ва уларнинг моментлари аниқланади, буларни ҳисобга олмай туриб механизмнинг кинематик жуфтларидаги реакция кучларини аниқ ҳисоблаш мумкин эмас.

Механизмни кинематик текширишда график, графоаналитик ва аналитик усуллар қўлланилади.

## 2- §. МЕХАНИЗМНИНГ КИНЕМАТИК СХЕМАСИНИ ЧИЗИШ

Механизмнинг кинематик схемасини чизиш учун унинг схемаси, бош звено координатаси, геометрик ўлчамлари берилган бўлиши керак. Механизмнинг қўзғалувчанлик даражаси ва тузилиш формуласи аниқлангандан сўнг узунлик масштаби коэффициентидан фойдаланиб, звеноларнинг чизмадаги узунликлари аниқланади. Узунлик масштаби коэффициенти қўйидаги нисбатга кўра аниқланади:

$$\mu_l = \frac{l}{l_0} = \frac{\text{ҳақиқий узунлик}}{\text{чизмадаги узунлик}}.$$

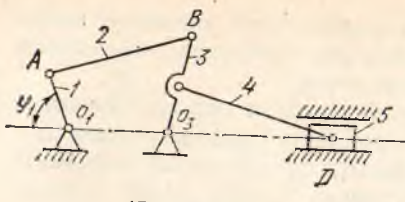
Шуни ҳам айтиб ўтиш лозимки, масштаб коэффициентининг сон қиймати ҳисоблаш учун қулай бўлган яхлит сонлар қаторидан белгиланини тавсия қилинади.

Чизма ўлчамлари аниқлангандан сўнг, механизмнинг кинематик схемаси қўйидаги кетма-кетликда чизилса мақсадга мувофиқ бўлади:

1. Айланма кинематик жуфт ҳосил қилувчи қўзғалмас звенолар тасвириланади.

2. Бош звенолар берилган ҳолатларда чизилади.

3. Колган звеноларнинг ҳолатлари тузилиш формуласи кетма-кетлиги тартибида чизилади.



17- шакл.

**Ечиш:** Механизмнинг етакловчи звенолари сонини аниқлаш учун Чебишев формуласи (1.1) дан фойдаланамиз.

$$W = 3n - 2p_1 - p_2.$$

Схемага күра қўзғалувчи звенолар сони  $n = 5$ ; қўйи кинематик жуфтлар сони  $p_1 = 7$  ( $O_1$ ;  $A$ ;  $B$ ;  $C$ ;  $O_3$ ;  $D$ ); олий кинематик жуфтлар сони  $p_2 = 0$ .

$$У \text{ холд} W = 3 \cdot 5 - 2 \cdot 7 - 0 = 1.$$

Демак, механизмнинг ягона бош звеноси бор. Ўз ўқи атрофида тўла айланга оладиган 1 звено (кривошип) ни бош звено деб ҳисоблаймиз. Кривошиппининг  $O_1$  нуқтадан чап томонда ва  $O_3$ ;  $O_4$ ;  $D$  нуқтадардан ўтувчи горизонтал чизиқ билан ҳосил қилган бурчаги  $\phi_1 = 45^\circ$  учун механизмнинг кинематик схемасини чизамиз.

Механизмнинг тузилиш формуласини аниқлаш учун уни Ассур группаларига ажратамиз. У 4 ва 5 звенолардан ҳамда 2 ва 3 звенолардан ташкил топган иккита иккинчи класс группага ва 1 звенодан ташкил топган I класс механизмга (етакловчи звенога) ажралади. Демак, механизмнинг тузилиш формуласи қўйидагича бўлади.

$$\text{I } (0, 1) \rightarrow \text{II } (2, 3) \rightarrow \text{II } (4, 5).$$

Чизма кўламини ҳисобга олиб, чизманинг масштаб коэффициентини белгилаймиз:

$$\mu_l = \frac{l_{AB}}{AB} = \frac{160 \text{ мм}}{40 \text{ мм}} = 4 \frac{\text{мм}}{\text{мм}}.$$

Звеноларнинг чизма ўлчамларини аниқлаб оламиз:

$$(O_1A) = \frac{l_{O_1A}}{\mu_l} = \frac{80}{4} = 20 \text{ мм};$$

$$(AB) = 40 \text{ мм};$$

$$(O_3B) = \frac{l_{O_3B}}{\mu_l} = \frac{120}{4} = 30 \text{ мм};$$

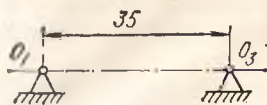
$$(O_4C) = \frac{l_{O_4C}}{\mu_l} = \frac{60}{4} = 15 \text{ мм};$$

$$(CD) = \frac{l_{CD}}{\mu_l} = \frac{180}{4} = 45 \text{ мм}.$$

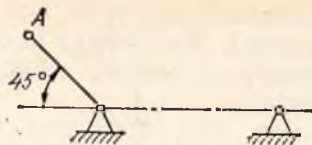
1. Дастраслаб горизонтал чизиқда ўтувчи, 1 ва 3 звенолар билан айланма кинематик жуфтлар ҳосил қилувчи қўзғалмас звенолар белгиланади (18- шакл).

2. Механизмнинг бош звеноси (кривошип) горизонтал ўққа нисбатан чап томонда  $45^\circ$  бурчак остида тасвирланади (19- шакл).

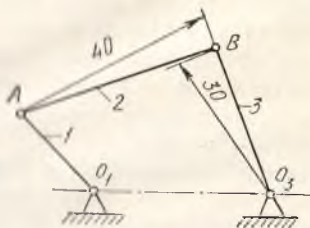
**Мисол.** 17- шаклда тасвирланган схемага кўра ва берилган қийматларга асосан тебранувчи конвейер механизмининг кинематик схемаси чизисин. Берилганлар:  $l_{O_1A} = 80$  мм;  $l_{AB} = 160$  мм;  $l_{O_3B} = 120$  мм;  $l_{O_1O_3} = 140$  мм;  $l_{O_4C} = 60$  мм;  $l_{CD} = 180$  мм.



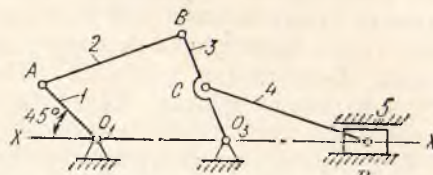
18- шакл.



19- шакл.



20- шакл.



21- шакл.

3. Механизмнинг тузилиш формуласи кетма-кетлиги бўйича кривошига уланувчи ҳамда иккинчи класс Ассур группасини ташкил этувчи 2 ва 3 звенолар ( $AB$ ) = 40 мм ва ( $O_2B$ ) = 30 мм ўлчамлар бўйича чизилади. Бунинг учун  $A$  нуқтадан ( $AB$ ) = 40 мм;  $O_3$  нуқтадан ( $O_3B$ ) = 30 мм радиуслар бўйича ёйлар чизамиз. Ёйларнинг кесишиш нуқтаси  $B$  ни  $A$  ва  $O_3$  нуқталар билан тўғри чизиқлар орқали тулаштириб, 2 ва 3 звенолар ҳолатини кўрсатамиз (20- шакл).

4. Механизмнинг ҳосил бўлган ва тугалланмаган шаклига унга уланувчи кейинги 4 ва 5 звенолардан ташкил топган Ассур группасини қўшамиз (21- шакл). Бунинг учун қўшиладиган группага тегишли кинематик жуфтларнинг геометрик ўрни аниқланади.  $C$  нуқта билан кўрсатилган кинематик жуфт  $O_3$   $B$  звенода ва  $D$  нуқта билан кўрсатилган кинематик жуфт  $O_1$  ва  $O_3$  нуқталардан ўтувчи горизонтал чизиқда ётиши масала шартидан маълум.  $O_3B$  звенонинг  $O_3$  нуқтасидан бошлиб ( $O_3C$ ) = 15 мм масофада  $C$  нуқта белгиланади. Сўнгра  $C$  нуқтадан ( $CD$ ) = 45 мм радиус билан ёй чизилиб,  $x-x$  горизонтал чизиқ билан кесишиш нуқтаси  $D$  аниқланади.  $C$  ва  $D$  ни тулаштириб 4 звенони қурамиз.  $D$  нуқтада айланма кинематик жуфт ҳосил қилувчи ползунни ва унинг йўналирувчисини тасвирлаи билан механизмнинг кинематик схемасини чизиш тугалланади (21- шакл).

### 3- §. МЕХАНИЗМНИНГ ТУРЛИ ҲОЛАТЛАРИНИ ҚУРИШ. НУҚТА ТРАЕКТОРИЯСИНИ АНИҚЛАШ

Мисол тариқасида аксиал кривошип-ползунли механизмнинг турли ҳолатларини қуриш ва шатунга тегишли нуқта траекториясини аниқлашни кўриб чиқамиз. Бунинг учун қўйидаги ишлар бажарилади (22- шакл).

1. Чизма қўламини ҳисобга олган ҳолда узунлик масштаби  $\mu_l$  белгиланади ва звенолар геометрик ўлчамларининг чизма қийматлари аниқланади.

2. Механизмнинг кинематик схемаси чизилади.

3. Кривошипга, айни вақтда шатунга ҳам тегишли бўлган  $A$  нуқтанинг траекторияси қурилади. У радиуси кривошип узунлигига teng бўлган айланадир.

4. Айланани teng 12 бўлакка бўлиб, кривошиппнинг бир-бирига нисбатан  $30^\circ$  бурчак ҳосил қилувчи 12 ҳолати қурилади.

5. Циркуль ёрдамида шатун узунлигига teng радиус билан, айланадаги кривошип  $A$  нуқтасининг турли ҳолатларини марказ қилиб олиб, цилиндр ўқида жойлашувчи шатуннинг иккинчи учи бўлган  $B$  нуқтанинг турли ҳолатларини белгилаш мақсадида, ёй бўлакчалари ўтказилади. Белгиланган нуқталар ползуига тегишли  $B$  нуқтанинг ҳам турли ҳолатлари бўлади. Айланадаги ва цилиндр ўқидаги мос нуқтларин ўзаро туташтириб, шатуннинг 12 ҳолати қурилади.

6.  $S$  нуқтанинг ҳолатлари шатун чизмаларида белгиланади ва улар лекало ёрдамида равон туташтирилади.

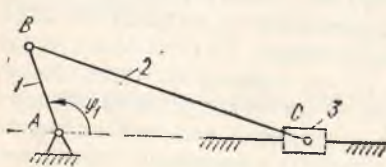
### 25 — 29- масалалар.

(механизмларнинг ҳолатини қуриш)

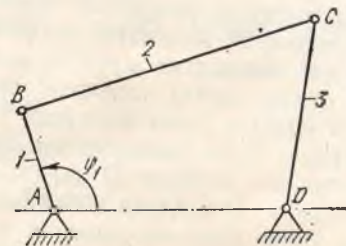
25. Берилган қийматлар  $l_{AB} = 40$  мм,  $l_{BC} = 100$  мм га кўра кривошип-ползунли механизмнинг ҳолати  $\varphi_1 = 150^\circ$  учун қурилсин.

26. Берилган қийматлар  $l_{AB} = 30$  мм,  $l_{BC} = 80$  мм,  $l_{AD} = 70$  мм,  $l_{CD} = 80$  мм га кўра шарнирли тўрт звеноли механизмнинг ҳолати  $\varphi_1 = 60^\circ$  учун қурилсин.

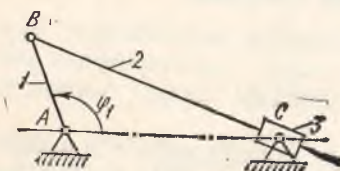
27. Берилган қийматлар  $l_{AB} = 25$  мм,  $l_{AC} = 75$  мм га кўра ползуни тебранма ҳаракат қилувчи кривошипли механизмнинг ҳолати  $\varphi_1 = 45^\circ$  учун қурилсин.



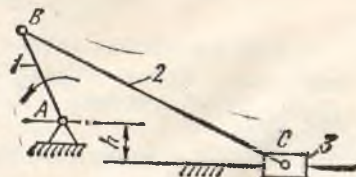
25- масалага.



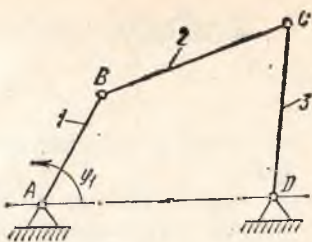
26- масалага.



27- масалага.



28- масалага.



29- масалага.

28. Берилган қийматлар  $l_{AB} = 50$  мм,  $l_{BC} = 120$  мм,  $h = 20$  мм га күра дезакциал кривошип-ползунли механизмнинг кинематик схемаси ползуннинг икки четки ҳолати учун чизилсин.

29. Берилган қийматлар  $l_{AB} = 30$  мм,  $l_{BC} = l_{AD} = 80$  мм,  $l_{CD} = 70$  мм га күра шарнирли тұрт звеноли механизмнинг икки четки ҳолати қурилсин.

#### 4- §. МЕХАНИЗМ КИНЕМАТИКАСИНИ ДИАГРАММАЛАР УСУЛИ БИЛАН ТЕКШИРИШ

Механизм таркибиға киругача алоҳида звено кинематикасини текшіриліп да диаграммалар қуриш усулидан фойдаланиш мүмкін. Бунда текшіриладиган звенонинг кинематик параметрлари вақтнинг ёки етак-ловчы звено бурилиш бурчагининг функцияси деб қаралади, яғни илгарылама ҳаракат қылувчи звенолар учун

$$s = s(t, \varphi); \quad v = v(t, \varphi); \quad a = a(t, \varphi);$$

айланма ҳаракат қылувчи звенолар учун

$$\beta = \beta(t, \varphi); \quad \omega = \omega(t, \varphi); \quad \varepsilon = \varepsilon(t, \varphi).$$

Қурилган кинематик диаграммалар юқорида күрсатылған функцияларынграфик тасвири бұлади. Звено кинематик диаграммасыннинг бирор күрниши қурилган бўлса, қолган диаграммалар график дифференциаллаш ёки график интеграллаш усулларидан фойдаланиб келтириб чиқарилиши мүмкін. Агар йўл диаграммасидан тезлик диаграммаси, тезлик диаграммасидан тезланиш диаграммаси ҳосил қилинса, диаграммаларынг бундай кетма-кетликда ҳосил қилиниши график дифференциаллаш дейилади. Агар диаграммалар ҳосил қилишда тескари кетма-кетликка амал қилинса, бу усул график интеграллаш усули дейилади. График дифференциаллашнинг ватарлар, уринмалар ва орттирмалар усули бор. Ватарлар усули анча қулагай ва етарлы аниқликни таъминлагани учун механизмларни кинематик текширишда құпроқ фойдаланылади. Механизм диаграммалар усулида унинг даврий ҳаракати давомида текширилади.

Механизм ҳаракатининг даври деб шунда әйтілген оралығига айтилади, бунда звеноларнинг ҳолати, тезлиги, тезланиши дастлабки ҳолатдаги қийматларни такрорлайди. Давр мобайніда кривошип үз үқи атрофида тұла айланади.

Давр вақти қуйидагича ифодаланади:

$$T = \frac{2\pi}{\omega},$$

бу ерда  $\omega$  кривошипнинг бурчак тезлиги, (рад./с.)

Мисол тариқасида кривошип-ползунли механизм ползунининг кинематикасини ватарлар усулидан фойдаланиб текширамиз (22-шакл). Ползунга тегишли  $B$  нүктанинг вақтга ёки кривошип бурилиш бурчагига боғлиқ диаграммасини қуриш учун қабул қилинган координатта системасининг абсцисса үқида кесма ажратиб, уни тенг ўн икки бўлакка бўламиз (23-шакл,  $a$ ). Ҳар бир бўлак оралиғи даврнинг  $1/12$  бўлгини ёки кривошипнинг  $30^\circ$  га бурилишини кўрсатади. Ҳар бир белгиланган нүқтадан тик чизиқлар ўтказиб, шу чизиқларга ползуннинг дастлабки ҳолатига нисбатан босиб ўтган ўлчамлари  $B_0B_1$ ;  $B_0B_2$ ;  $B_0B_3 \dots$  ни келтириб қўямиз. Ўлчамларнинг охирлари равон эгри чизиқ билан лекало ёрдамида туташтирилиб, йўл диаграммаси ҳосил қилинади. Йўл диаграммасидан тезлик диаграммасини ҳосил қилиш учун тезликнинг дифференциал тенгламасини эслаймиз:

22- шакл.

$$v = \frac{ds}{dt};$$

$dS$ ,  $dt$  лар тегишлича  $\Delta S$  ва  $\Delta t$  билан алмаштирилса, маълум вақт оралиғидаги ўртача тезлик аниқланади:

$$v_{\text{yp}} \approx \frac{\Delta s}{\Delta t},$$

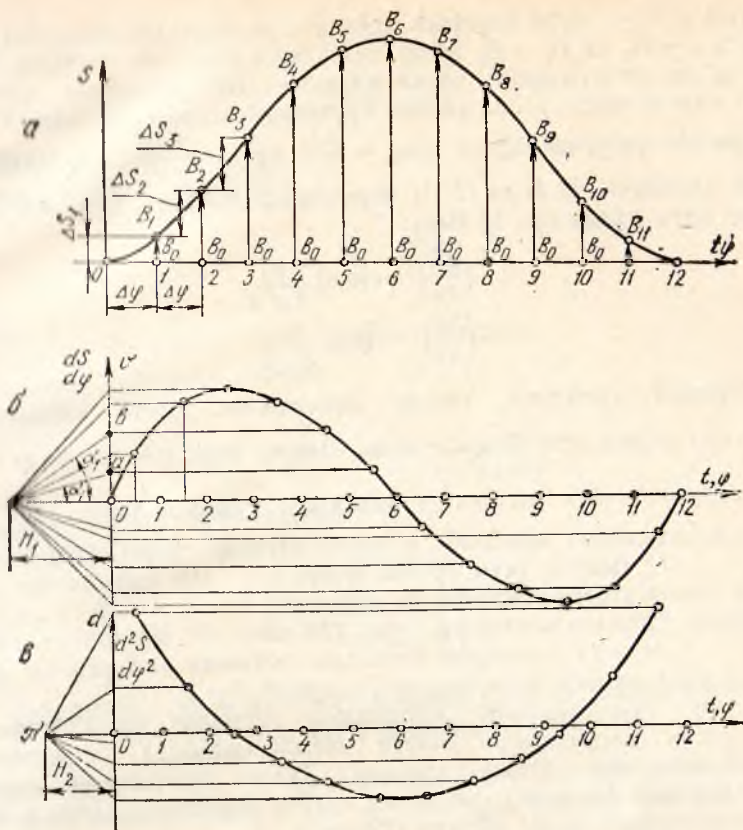
бу ерда  $\Delta S$ —йўл орттирипаси,  $\Delta t$ —вақт орттирипасидир. Агар юқоридаги формула  $\Delta \varphi$  га кўпайтирилса ва бўлинса, қуйидаги ҳосил бўлади:

$$v_{\text{yp}} \approx \frac{\Delta S}{\Delta \varphi} \cdot \frac{\Delta \varphi}{\Delta t} \approx \frac{\Delta S}{\Delta \varphi} \cdot \omega_{\text{yp}},$$

бу ерда  $\Delta \varphi$ —кривошипнинг икки қўшни ҳолати орасидаги бурилиш бурчаги;  $\frac{\Delta \varphi}{\Delta t} \approx \omega_{\text{yp}}$ —кривошипнинг ўртача бурчак тезлиги;  $\frac{\Delta S}{\Delta \varphi}$ —тезлик аналоги.

Тезлик ва тезлик аналоглари ўзаро ўзгармас сон орқали боғланганилиги сабабли тезлик аналогининг диаграммасини ҳосил қилишни кўриб чиқамиз. 23-шакл,  $a$  дан

$$\frac{\Delta S}{\Delta \varphi} = \frac{(\Delta S) \cdot \mu_s}{(\Delta \varphi) \cdot \mu_\varphi},$$



23- шакл.

бу ерда  $(\Delta S)$ ,  $(\Delta\varphi)$  — йўл ва бурилиш бурчагининг чизмадаги ифодалари. Шу шаклдан 0 — 1 оралиқда ўртача тезлик аналоги қиймати:

$$\left(\frac{\Delta S}{\Delta\varphi}\right)_1 = \frac{(\Delta S)_1 \cdot \mu_s}{(\Delta\varphi) \cdot \mu_\varphi} = \operatorname{tg} \alpha_1 \cdot \frac{\mu_s}{\mu_\varphi} \quad (2.1)$$

1 — 2 оралиқда тезлик аналогининг ўртача қиймати:

$$\left(\frac{\Delta S}{\Delta\varphi}\right)_2 = \frac{(\Delta S)_2 \cdot \mu_s}{(\Delta\varphi) \cdot \mu_\varphi} = \operatorname{tg} \alpha_2 \cdot \frac{\mu_s}{\mu_\varphi} \quad (2.1')$$

бу ерда  $\operatorname{tg} \alpha_1 = \frac{(\Delta S)_1}{(\Delta\varphi)}$ ;  $\operatorname{tg} \alpha_2 = \frac{(\Delta S)_2}{(\Delta\varphi)}$ .

$\mu_s \mu_\varphi$  ўгармас коэффициентлар бўлгани учун тезлик аналоглари ва демак, тезликлар  $\operatorname{tg} \alpha_i$  га пропорционал экан.

Тезлик графигини  $\operatorname{tg} \alpha = \operatorname{tg} \alpha(\varphi)$  графиги тарзида қуриш ноқулай. Шу сабабли  $\frac{dS}{d\varphi}$ ;  $\varphi$  координата системаси абсцисса ўқининг чап томонида 0 нуқтадан ( $\rho_0$ ) =  $H_1$  масофада кесма оламиз (23- шакл, б).

$(po) = H_1$  — қутб масофаси дейиллади.  $p$  нүктадан  $S - S(\varphi)$  графигидаги  $o - B_1$  ва  $B_1 - B_2$  ватар чизиқларга параллел чизиқлар ўтказмиз ва  $ra$ ,  $rv$  нурларни ҳосил қиласиз. Бу нурларнинг  $(po) = H_1$  қутб чизиги билан ҳосил қилган бурчаклари  $\alpha_1$  ва  $\alpha_2$  бўлади. У ҳолда  $ora$  ва  $orb$  учбурчаклардан  $\operatorname{tg} \alpha_1 = \frac{(o_1a)}{H_1}$ ;  $\operatorname{tg} \alpha_2 = \frac{(o_1b)}{H_1}$  ва ҳоказолар ҳосил қилинади. (2.1) ва (2.1<sup>1</sup>) формулалардаги  $\operatorname{tg} \alpha_1$ ;  $\operatorname{tg} \alpha_2$  лар ўрнига унинг янги ифодасини қўямиз:

$$\left( \frac{\Delta S}{\Delta \varphi} \right)_1 = (o_1a) \frac{\mu_s}{H_1 \mu_\varphi} \quad (2.2)$$

$$\left( \frac{\Delta S}{\Delta \varphi} \right)_2 = (o_1b) \frac{\mu_s}{H_1 \mu_\varphi} \quad (2.2^1)$$

Кўриниб турибдики, тезлик аналогининг ҳамма қийматларида  $\frac{\mu_s}{H_1 \mu_\varphi}$  сон қийматлари ўзгармас экан. Демак,  $(oa)$ ;  $(ob)$  кесмалар тезлик аналогларининг ёки тезликнинг чизмадаги қийматларидир.  $\frac{\mu_s}{H_1 \cdot \mu_\varphi}$  тезлик аналогларининг масштаб коэффициентидир.  $(o_1a)$ ,  $(o_1b)$  кесмалар  $0, 1, \dots, 12$  оралиқ учун ўртача тезликдир. Шу сабабли бу кесмаларни тезлик диаграммасининг  $0, \varphi$  ўқидаги  $0 - 1, 1 - 2, \dots, 11 - 12$  сралиқлар ўртасига келтириш керак. (23-шакл, б). Бунинг учун  $0 - 1, 1 - 2, \dots, 11 - 12$  оралиқлар ўртасидан вертикал чизиқлар  $a, b, \dots$  нуқталардан горизонтал чизиқлар ўтказилиб  $0 - 1, 1 - 2, \dots, 11 - 12$  оралиқлар учун тезликни ифодаловчи кесмалар ҳосил қилинади. Аниқлашган кесмаларнинг учлари лекало ёрдамида туташтирилиб, тезлик диаграммаси ҳосил қилинади. Тезлик диаграммаси юқорида баён этилган усулда яна бир марта график дифференциалланса, тезликни диаграммаси ҳосил бўлади (23-шакл, в).

Диаграммалар учун масштаблар. Йўл масштаби:

$$\mu_s = \frac{S}{(S)} \left[ \frac{\text{мм}}{\text{мм}} \right]$$

$S$  — йўлнинг энг катта ҳақиқий қиймати;  $(S)$  — йўлнинг чизмадаги энг катта қиймати.

Градусда ифодаланган бурчак масштаби:

$$\mu_\varphi^0 = \frac{\Phi}{(\varphi)} \left[ \frac{\text{град}}{\text{мм}} \right],$$

радианда ифодаланган бурчак масштаби:

$$\mu_\varphi = \mu_\varphi^0 \frac{\pi}{180^\circ} \left[ \frac{\text{рад}}{\text{мм}} \right].$$

$\varphi = 360^\circ$  — кривошипнинг тўлиқ айланиш бурчаги;  $(\varphi)$  — бурилиш бурчагининг чизмадаги ифодаси.

Вакт масштаби:

$$\mu_t = \frac{60}{\pi (\varphi)} \left[ \frac{\text{с}}{\text{мм}} \right].$$

Тезлик аналоги масштаби:

$$\mu_{\frac{ds}{d\varphi}} = \frac{\mu_s}{H_1 \mu_\varphi} \left[ \frac{\text{мм}}{\text{мм}} \right],$$

бу ерал  $H_1$  — қутб масофаси.

Характерный тезлик масштаби:

$$\mu_v = \frac{\mu_{\frac{ds}{d\varphi}} \cdot \omega}{1000} \left[ \frac{\text{м/с}}{\text{мм}} \right],$$

$\omega_1 \left[ \frac{\text{рад}}{\text{с}} \right]$  — кривошипнинг ўртача бурчак тезлиги.

Тезланиш аналоги масштаби:

$$\mu_{\frac{ds}{d\varphi^2}} = \frac{\mu_{\frac{ds}{d\varphi}}}{H_2 \cdot \mu_\varphi} = \frac{\mu_s}{H_1 H_2 \cdot \mu^2 \varphi} \left[ \frac{\text{мм}}{\text{мм}} \right],$$

$H_2$  — тезланишнинг қутб масофаси.

Характерный тезланиш масштаби:

$$\mu_a = \frac{\mu_{\frac{ds}{d\varphi^2}} \cdot \omega^2}{1000} \left[ \frac{\text{м/с}^2}{\text{мм}} \right].$$

### Б-§. РИЧАГЛИ МЕХАНИЗМ КИНЕМАТИКАСИНИ ҚУТБИЙ ТЕЗЛИК ВА ҚУТБИЙ ТЕЗЛANIШ ПЛАНЛАРЫ ЕРДАМИДА ТЕКШИРИШ

Механизмни кинематик текширишдан олдин назарий механиканинг кинематика қисмида ўрганиладиган қуйидаги умумий ҳолларни эсга олиш лозим.

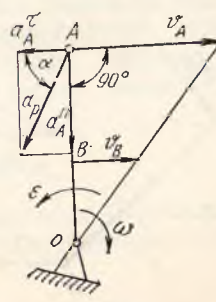
1. Ҳаракатдаги нүктанинг қўзғалмас звенодаги нүктаға нисбатан аниқланадиган тезлиги ва тезланиши абсолют, шу нүктанинг ҳаракатдаги, яъни ўзи ҳам маълум тезлик ва тезланишга эга бўлган бошқа бир нүктаға нисбатан аниқланадиган тезлик ва тезланиши нисбий дейилади.

2. Илгарилама ҳаракатланувчи звенодаги нүкталар тезликларининг йўналишилари ўзаро параллел бўлиб, қийматлари бир хил бўлади. Бу ҳол тезланишга ҳам тааллукли.

3. Қўзғалмас ўқи атрофида айланма ҳаракат қўлиувчи звенога тегишли нүкталарнинг тезликлари шу нүкталарни айланниш ўқи билан туташтирувчи тўғри чизиққа тик йўналган бўлиб, қийматлари қуйидаги формуладан аниқланади (24-шакл):

$$v_A = \omega \cdot l_{OA},$$

бунда  $\omega$  — звенонинг бурчак тезлиги;  $l_{OA}$  — А нүктадан айланниш ўқигача бўлган масофа.



24- шакл.

Нүкталарнинг тезланишлари аэс нормал ва тангенциал ташкил этувчилардан иборат:

$$\vec{a}_A = \vec{a}_A^n + \vec{a}_A^\tau. \quad (2.3)$$

Звенога тегишли нүктанинг нормал тезланиши айланиш марказига йўналган бўлиб, унинг қиймати қўйидагича аниқланади (24- шакл):

$$a_A^n = \omega^2 \cdot l_{OA} = \frac{\omega^2}{l_{OA}}. \quad (2.4)$$

Звенога тегишли нүктанинг тангенциал тезланиши эса бурчак тезланиш йўналиши томонга, шу нүктани айланиш ўқи билан туаштирувчи тўғри чизикка (нормал тезланиш векторига) тик йўналади. Унинг қиймати:

$$a_A^\tau = \varepsilon l_{OA}, \quad (2.5)$$

бунда  $\varepsilon$  — звенонинг бурчак тезланиши.

Тезланишининг абсолют қиймати:

$$a_A = l_{OA} \sqrt{\omega^4 + \varepsilon^2}. \quad (2.6)$$

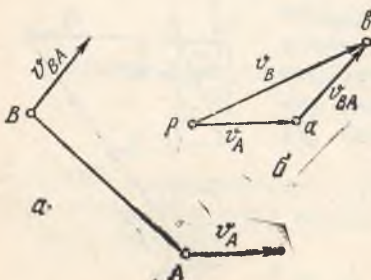
Абсолют тезланиш векторининг звенодаги оғиш бурчаги:

$$\alpha = \arctg \frac{\varepsilon}{\omega^2}. \quad (2.7)$$

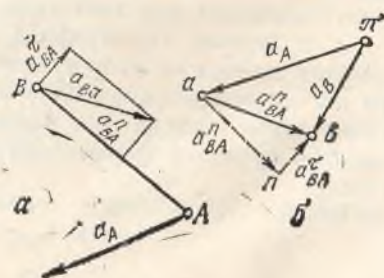
4. Звенога тегишли бирор  $A$  нүктанинг абсолют тезлиги ёки тезланиши ҳамда шу звенога тегишли бошқа бир  $B$  нүктанинг  $A$  нүктаға нисбатан нисбий тезлиги ёки тезланиш векторлари қиймат ва йўналиши бўйича маълум бўлса (25, 26- шакллар),  $B$  нүктанинг абсолют тезлиги ёки тезланиши векторлари қўйидаги вектор тенгламалардан фойдаланиб қутбий тезлик ва қутбий тезланиш планларини қуриш йўли билан аниқланади:

$$\vec{v}_B = \vec{v}_A + \vec{v}_{BA} \quad (2.8)$$

$$\vec{a}_B = \vec{a}_A + \vec{a}_{BA} \text{ ёки } \vec{a}_B = \vec{a}_A + \vec{a}_{BA}^n + \vec{a}_{BA}^\tau. \quad (2.9)$$



25- шакл.



26- шакл.

5. Айланма кинематик жуфтдаги нүқталар түрли звеноларга тегишли бўлса, уларнинг боғланиши нүқталари тезликлари ва тезланишилари бир хил қийматга ва йўналишга эга бўлади (27- шакл):

$$\vec{v}_{A_1} = \vec{v}_{A_2}; \vec{a}_{A_1} = \vec{a}_{A_2}.$$



27- шакл.

6.  $A$  нүқта ўзаро илгарилама кинематик жуфт ҳосил қилувчи иккала звенога тегишли бўлиб, улар мураккаб ҳаракатда иштирок этади (28- шакл, а). Биринчи звенога тегишли  $A_1$  нүқтанинг тезлик ҳамда тезланиши қиймат ва йўналиши бўйича маълум. Иккинчи звенога тегишли  $A_2$  нүқтанинг биринчи звенога тегишли  $A_1$  нүқтага нисбатан ҳаракатидаги тезлик ва тезланиши қиймат ва йўналиш бўйича маълум. У ҳолда  $A_2$  нүқтанинг абсолют ҳаракатидаги тезлик ва тезланиши (28- шакл, б, в) қўйидаги вектор тенглами бўйича аниқланади:

$$\vec{v}_{A_2} = \vec{v}_{A_1} + \vec{v}_{A_2 A_1}; \vec{a}_{A_2} = \vec{a}_{A_1} + \vec{a}_{A_2 A_1}^K + \vec{a}_{A_2 A_1}^r.$$

$a_{A_2 A_1}^K$  — звеноларнинг бурчак тезлиги таъсирида вужудга келадиган Кориолис тезланиши, унинг қиймати қўйидаги формуладан аниқланади:

$$a_{A_2 A_1}^K = 2 \omega \cdot v_{A_2 A_1} \quad (2.10)$$

бу ерда  $\omega$  — звеноларнинг бурчак тезлиги.

Кориолис тезлан ишининг йўналишини аниқлаш учун нисбий тезлик вектори  $\vec{v}_{A_2 O_1}$  ни бурчак тезлик йўналиши томонга  $90^\circ$  буриш керак.

#### 6-5. АЙЛАНМА КИНЕМАТИК ЖУФТЛИ ИККИНЧИ КЛАСС АССУР ГРУППАСИ УЧУН ТЕЗЛИК ВА ТЕЗЛANIШLARНИ АНИҚЛАШ

Группага тегишли  $A$  ва  $C$  нүқталар тезликлари ҳамда тезланишиларининг қийматлари ва йўналишлари 29-шакл, а да кўрсатилган. Маълумки, звенога тегишли икки нүқтанинг абсолют тезлиги ва тезланишининг қийматларини ҳамда уларнинг йўналишларини аниқлашшу звено учун кинематика масаласининг асосан ҳал қилинганини билдиради. Ҳар иккала звенода ётувчи  $B$  нүқтанинг тезлик ва тезланишини аниқлаш учун вектор тенгламалар системасини тузиб, улар ёрдамида масштабларга асосланган қутбий тезликлар (29-шакл, б) ва қутбий тезланишлар (29-шакл, в) планларини қуриш керак.

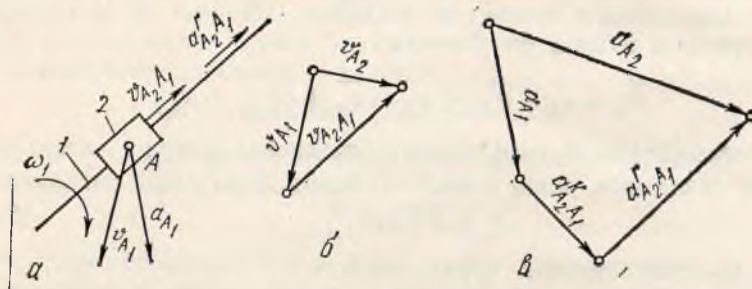
##### 1. Қутбий тезликлар плациини қуриш

Қиймати ва йўналиши номаълум бўлган  $B$  нүқтанинг (29-шакл, а) тезлигини (8) тенгламага асосан қўйидаги ташкил этувчилардан иборат деб қараймиз.

$$\vec{v}_B = \vec{v}_A + \vec{v}_{BA}.$$

яъни,  $B$  нуқтанинг тезлик вектори 2 звенонинг илгарилама ҳаракати натижасида вужудга келадиган абсолют тезлик вектори  $\vec{v}_A$  дан ҳамда  $B$  нуқтанинг,  $A$  нуқта қўзғалмас деб фараз қилиш натижасида вужудга келадиган, нисбий тезлик вектори  $\vec{v}_{BA}$  нинг йифиндисидан иборат.  $B$  нуқтанинг  $A$  нуқтага нисбатан нисбий тезлик вектори  $AB$  звенога перпендикуляр йўналади ва унинг қиймати ҳамда қайси томонга йўналиши номаълум. Юқорида баён этилган мулоҳазаларга асосан, шунингдек,  $B$  нуқтанинг  $C$  нуқтага боғлиқ бўлган вектор тенгламалари тузилади ва тенгламалар системаси ҳосил қилинади:

$$\begin{cases} \vec{v}_B = \vec{v}_A + \vec{v}_{BA}, \\ \vec{v}_B = \vec{v}_C + \vec{v}_{BC}. \end{cases} \quad (2.11)$$



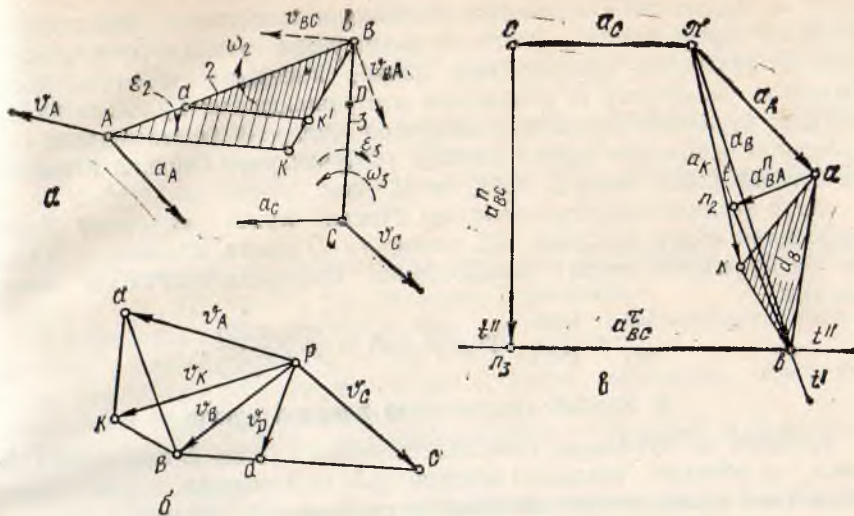
28- шакл.

Тенгламалар системасининг график ечимини ҳосил қилиш учун  $P$  қутбни танлаб, шу қутбда  $\vec{v}_A$  ва  $\vec{v}_C$  векторларнинг масштабдаги кесмаларини қўймиз. (29- шакл, б).  $\vec{v}_A$  вектор охиридан  $AB$  звенога тик бўлган ҳамда  $\vec{v}_C$  вектор охиридан  $BC$  звенога тик бўлган чизиқлар ўтказмиз, уларнинг кесишиши нуқтаси  $\sigma$  дан абсолют тезлик векторлари  $\vec{v}_A$  ва  $\vec{v}_C$  нинг охирларини кўрсатувчи  $a$  ва  $c$  нуқталаргача бўлган кесмалари мос равишда  $B$  нуқтанинг  $A$  ҳамда  $C$  нуқталарга нисбатан нисбий тезлик векторларини билдиради. Топилган нуқтани  $\rho$  қутб билан туташтирувчи чизиқ  $B$  нуқтанинг абсолют тезлигини кўрсатади. Қурилган тезлик планидаги абсолют ва нисбий тезлик векторларининг ўзаро ҳолатларига қараб тенгламалар системаси (2.11) нинг тўла ҳал қилинганлигига ишонч ҳосил қилиш қийин эмас. Тезликларнинг сони қийматларини аниқлаш учун уларнинг кесма ифодаларини тезлик масштабига кўпайтириш лозим.

$$v_B = \overline{\rho\sigma} \cdot \mu_v [\text{м/с}]$$

$$v_{BA} = \overline{\sigma a} \cdot \mu_v [\text{м/с}]$$

$$v_{BC} = \overline{ac} \cdot \mu_v [\text{м/с}].$$



29- шакл.

Звенолар бурчак тезликларининг қийматлари қўйидагича аниқланади:

$$\omega_2 = \frac{v_{BA}}{l_{AB}} \text{ [рад/с]; } \quad \omega_3 = \frac{v_{BC}}{l_{BC}} \text{ [рад/с].}$$

Бурчак тезлик йўналишини аниқлаш учун нисбий тезлик векторини хаёлан звенонинг мос нуқтасига келтириб, шу нуқтанинг бошқа нуқтага звенонинг мос нуқтасига келтириб, шу нуқтанинг бошқа нуқтага нисбатан ҳаракати текширилади. Чизмадан кўринадики, 2 звено ўнг томонга, 3-звено чап томонга айланади (29-шакл, a).

2 звеноға тегишли  $K$  нуқтанинг тезлигини аниқлаш учун шу нуқтанинг  $A$  ва  $B$  нуқталарга боғлиқ бўлган tenglamalalar системаси тузилади:

$$\begin{aligned} \vec{v}_K &= \vec{v}_A + \vec{v}_{KA}, \\ \vec{v}_K &= \vec{v}_B + \vec{v}_{KB}. \end{aligned} \quad (2.12)$$

Тенгламалардаги  $\vec{v}_{KA}$  ва  $\vec{v}_{KB}$  лар  $K$  нуқтанинг  $A$  ва  $B$  нуқталар атрофида айланишдан ҳосил бўладиган нисбий тезликлари. Шунинг учун  $\vec{v}_{KA} \perp AK$  ва  $\vec{v}_{KB} \perp BK$  бўлади. Агар  $\vec{v}_{BA} \perp AB$  эканлиги ҳам ҳисобга олинса ва тенгламалар системаси график усулда ечилса, у ҳолда тезлик планида  $a$ ,  $b$ ,  $c$  нуқталарни туташтирувчи томонлари  $\vec{v}_{BA}$ ,  $\vec{v}_{KA}$ ,  $\vec{v}_{KB}$  нисбий тезлик векторларини ифодалайдиган  $\Delta$  авк ҳосил бўлади. Бу учбурчакнинг томонлари схемадаги  $\Delta ABC$  томонларига мос бўлади. Бу учбурчакнинг томонлари учбурчаклардир. Юқорида тик бўлганлиги сабабли, улар ўхшаш учбурчаклардир. Юқорида айтилганларга кўра, агар звенодан ташқарида кўрсатилган ва шу звеноға тегишли бўлган нуқтанинг тезлигини топиш зарур бўлса, у ҳолда бу нуқта звенодаги тезликлари аниқланган иккита нуқта билан тўғри чизиқлар орқали туташтирилади ва шу звенода учбурчак кури-

лади. Сунгра тезлик планидаги тезликлари аниқланган икки нүкта абсолют тезлик векторларининг охирини ўзаро туташтирувчи чизикни (нисбий тезлик векторини) томон қилиб, кинематик схемада ҳосил қилинган учбурчакка ён томонлари мос равища тик йўналган ўшаш учбурак қурилади. Бунда бурчакларнинг учларини белгилайдиган белгиларнинг жойлашув тартиби иккала учбурчак учун бир хил йўналишда бўлиши керак, яъни  $\Delta ABK \sim \Delta avk$ .

Агар тезлиги аниқланниш лозим бўлган нүкта звенонинг ўзида жойлашган бўлса (масалан,  $BC$  чизиқдаги  $D$  нүкта, 29-шакл, а) у ҳолда бу нүктанинг тезлиги кесмаларнинг пропорционаллигидан аниқланади:

$$\frac{(ed)}{(ec)} = \frac{(BD)}{(BC)}, \text{ бундан: } (ed) = (ec) \cdot \frac{(BD)}{(BC)}.$$

## 2. Қутбий тезланишлар планини қуриш

Киймати ва йўналиши аниқланниш лозим бўлган  $B$  нүктанинг (29-шакл, а) абсолют тезланиш вектори қўйидаги ташкил этувчилардан иборат деб қараб, вектор тенгламалар системасини тузамиз:

$$\begin{aligned} \vec{a}_B &= \vec{a}_A + \vec{a}_{BA}^n + \vec{a}_{BA}^\tau \\ \vec{a}_B &= \vec{a}_C + \vec{a}_{BC}^n + \vec{a}_{BC}^\tau \end{aligned} \quad (2.13)$$

$\vec{a}_A$   $\vec{a}_C$   $B$  нүктанинг звено фақат илгариlama ҳаракат қиласи деб қаралгандаги тезланиш векторлари:  $\vec{a}_{BA}^n$ ,  $\vec{a}_{BC}^n$ ,  $\vec{a}_{BA}^\tau$ ,  $\vec{a}_{BC}^\tau$  лар  $B$  нүкта  $A$  ёки  $C$  нүкта атрофида фақат айланма ҳаракат қиласи деб қаралгандаги нормал ва тангенциал тезланиш векторлари.

$a_A$ ,  $a_C$  тезланишларнинг қийматлари ва йўналишлари олдиндан берилган.  $a_{BA}^n$ ,  $a_{BC}^n$  тезланишларнинг йўналишлари мос равища айланниш марказлари  $A$  ёки  $C$  нүкталарга интилган бўлиб, қийматлари аналитик усулда (24) тенгламага кўра қўйидагича аниқланади:

$$a_{BA}^n = \frac{v_{BA}^2 \cdot \mu_v^2}{l_{AB}} = \frac{(av)^2 \cdot \mu_v^2}{l_{AB}} \quad [\text{м/с}]$$

$$a_{BC}^n = \frac{v_{BC}^2 \cdot \mu_v^2}{l_{BC}} = \frac{(cv)^2 \cdot \mu_v^2}{l_{BC}} \quad [\text{м/с}].$$

$a_{BA}^\tau$ ,  $a_{BC}^\tau$  тезланишларнинг йўналиши мос равища  $AB$  ва  $BC$  звено-ларга тик йўналган бўлиб, қийматлари ва қайси томонга йўналганилиги маълум эмас.  $B$  нүкта абсолют тезланишининг сон қийматини, шунингдек, нисбий тезланишлар ва бурчак тезланишларнинг сон қиймати ва йўналишини аниқлаш учун вектор тенгламалар системаси (2.13) дан фойдаланиб тезланишлар плани қурилади. Бунинг учун чизма текислигида бирор тезланиш қутби  $\pi$  ни белгилаймиз. Шу нүктадан, тенгламалар системаси (2.13) га кўра, биринчи тенгламанинг вектор чизма ифодасини, сунгра иккинчи тенгламанинг чизма ифодасини қурамиз. Бунда чизма кўлами ҳисобга олинган ҳолда тезланиш масштаби танланади ва сон қийматлари аниқланган тез-

ланыштарнинг чизма узуңлуклари белгиланади (29-шакл, в). Тезланишлар планини қуриш тартиби қўйидагича: (тенгламалар системаси (2.13) нинг биринчи тенгламасидаги векторларнинг жойлашув тартибига кўра:

1) тезланиш қутби нуқтаси  $\pi$ дан  $A$  нуқта тезланиш векторини ифодаловчи кесма ( $\pi a$ ) чизилади (29-шакл, в);

2)  $a$  нуқтадан нормал тезланиш вектори  $\vec{a}_{BA}^n$  ни ифодалоевчи ( $an_2$ ) кесма белгиланади;

3)  $n_2$  нуқтадан  $\vec{a}_{BA}^t$  тангенциал тезланиш векторининг жойлашув чизиги  $t' - t'$   $AB$  звенога тик равишда ўтказилади.

Тенгламалар системаси (2.13) нинг иккинчи тенгламасидаги векторларнинг кетма-кет жойлашув тартибига кўра:

1) тезланиш қутби нуқтаси  $\pi$ дан  $C$  нуқта тезлашиш векторини ифодаловчи кесма ( $\pi c$ ) чизилади;

2)  $C$  нуқтадан нормал тезланиш вектори  $\vec{a}_{BC}^n$  ни ифодаловчи ( $cn_3$ ) кесма белгиланади;

3)  $n_3$  нуқтадан  $\vec{A}_{BC}^t$  тангенциал тезланиш векторининг жойлашув чизиги  $t' - t'$  звено  $AC$  га тик равишда ўтказилади.

$t' - t'$  ва  $t'' - t''$  чизиқларнинг ўзаро кесишуви натижасида тенгламалар системаси график усулда ҳал қилинган ҳисобланади.

Кесишиш нуқтаси  $\pi$ ни кутб  $\pi$  билан туташтирувчи чизик ( $\pi \vartheta$ )  $B$  нуқтанинг абсолют тезланишидир.

( $n_2 \vartheta$ ), ( $n_3 \vartheta$ ) кесмалар  $\vec{a}_{BA}^t$ ,  $\vec{a}_{BC}^t$  тангенциал тезланиш векторларини ифодалайди.

Тенгламалар системаси (2.13) даги тенгламаларнинг биргаликда аниқ ечимга эга бўлганилигига ишонч ҳосил қилиш учун қўйидагига эътибор бериш керак:

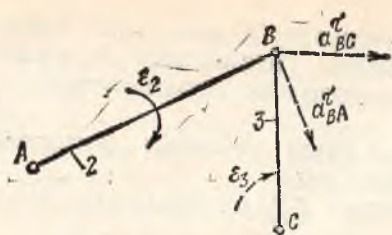
$\vec{a}_B$  векторни ифодалайдиган ( $\pi \vartheta$ ) кесма биринчи тенгламадаги  $\vec{a}_A$ ,  $\vec{a}_{BA}$  да векторларни ифодалайдиган ( $\pi a$ ). ( $an_2$ ), ( $n_2 \vartheta$ ) кесмаларнинг ёпувчисидир. Шу билан бирга ( $\pi \vartheta$ ) кесма иккинчи тенгламадаги  $\vec{a}_C$ ,  $\vec{a}_{BC}$ ,  $\vec{a}_{BC}^t$  векторларни ифодалайдиган ( $\pi c$ ), ( $cn_3$ ), ( $n_3 \vartheta$ ) кесмаларнинг ёпувчиси бўлади.

Бурчак тезланиш йўналишларини нисбий тангенциал тезланишлар векторлари йўналишлари белгилайди, шуни назарда тутиб звеноларнинг бурчак тезланиш йўналишларини қўйидагича аниқлаймиз.

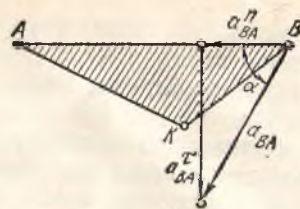
$\vec{a}_{BA}^t$  ва  $\vec{a}_{BC}^t$  векторларни схемадаги  $B$  нуқтага хаёлан қўчирамиз. Келтирилган векторларнинг  $A$  ва  $C$  нуқталарга нисбатан йўналишлари бурчак тезланиш йўналишларини билдиради (30-шакл). Тезланишларнинг ҳақиқий қийматларини аниқлаш учун тезланиш планинг кесма узунликлари олдиндан белгиланган тезланиш масштабига қўпайтирилиши керак, яъни:

$$a_B = (\pi \vartheta) : \mu_a [m/c^2]$$

$$a_{BA} = (a\vartheta) \cdot \mu_a [m/c^2]$$



30- шакл.



31- шакл.

$$a_{EC} = (Cs) \cdot \mu_a \quad [\text{м/с}^2]$$

$$a_{BA}^\tau = (n_2 s) \cdot \mu_a \quad [\text{м/с}^2]$$

$$a_{BC}^\tau = (n_3 s) \cdot \mu_a \quad [\text{м/с}^2].$$

Бурчак тезланиш қийматлари қүйидагида аниқланади:

$$\varepsilon_2 = \frac{\ddot{a}_{BA}^\tau}{l_{AB}} = \frac{(n_2 s) \cdot \mu_a}{(AB) \mu_e} \quad [\text{рад/с}^2]$$

$$\varepsilon_3 = \frac{\ddot{a}_{BC}}{l_{BC}} = \frac{(n_3 s)}{(BC)} \cdot \frac{\mu_a}{\mu_l} \quad [\text{рад/с}^2].$$

2) звенога тегиши  $K$  нүктанинг тезланишини аниқлаш учун шу нүктанинг звенодаги тезланишлари аввал аниқланган икки нүкта  $A$  ва  $B$  га бөлелиң бўлган вектор тенгламалар системаси тузилади ва улар юқорида баён этилган йўл билан график усулда ҳал қилинади (29-шакл, а);

$$\vec{a}_K = \vec{a}_A + \vec{a}_{KA}^n + \vec{a}_{KA}^\tau$$

$$\vec{a}_K = \vec{a}_B + \vec{a}_{KB}^n + \vec{a}_{KB}^\tau$$

Бироқ  $K$  нүктанинг тезланишини ўхшаш учбурсак қуриш усулидан фойдаланиб топиш анча қулайдир. Бундай усульнинг тўғрилигига ишонч ҳосил қилиш учун шу нарсага эътибор бериш керакки, звено-даги исталган нүктанинг бошқа бир исталган нүктага нисбий тезланиш вектори шу нүкталарни бирлаштирувчи тўғри чизиқларга нисбатан бир хил катталикдаги бурчакда жойлашган бўлади (31-шакл).  $a_{BA}$  нисбий тезланиш векторининг  $AB$  чизиқга нисбатан оғиш бурчаки формула (2.7) га кўра аниқланади:

$$\alpha = \arctg \frac{\varepsilon}{\omega^2};$$

бурчак тезланиш  $\varepsilon$  ва бурчак тезлик  $\omega$  звенода ётувчи исталган чизик учун умумий бўлгани сабабли, нүкталарнинг ўзаро нисбий тезланишлари шу нүкталарни туташтирувчи чизиқка нисбатан бир хил томонга қия жойлашган бўлади.

Демак, звенога тегиши  $A, B, K$  нүкталарнинг тезланиш плани-даги абсолют тезланиш векторлари учлари бўлган  $a_{BA}, a_{BA}^n, a_{BA}^\tau$  нүкталарни ўзаро туташтирилиши натижасида ҳосил бўлган ва томонлари нисбий

төзланиш векторларини ифодалайдиган учбурчак (29-шакл,*a*) звенодаги *A*, *B*, *K* нүкталарини туташтирувчи учбурчакка (29-шакл, *a*) үхшеш бўлиши керак. Бунда тезланиш планидаги *Δ авк* схемадаги *Δ АНК* га иисбатан формула (2.7) га асосан бирор  $\alpha$  бурчакка бурилган бўлади.

Тезланиш планидаги *Δ авк* ни ҳосил қилиш учун пландаги (*ав*) кесма схемадаги *AB* звенога қўйилади (29-шакл,*a*) ундан *a* ва *v* нуқталардан *AK* ва *BK* томонларга параллел чизиқлар ўtkазилади ва уларнинг кесишиш нуқтаси *K<sup>1</sup>* ҳосил қилинади. Ҳосил бўлган *A ak'va Δ AKB* бўлади. Шу учбурчакни чизма текислигидан ажратмаган ҳолда тезланиш планига кўчирамиз. Бунинг учун тезланиш планидаги *a* ва *v* нуқталардан радиуслари *ak'* ва *vk'* га тенг бўлган ёйлар чизилиб, уларнинг кесишиш нуқтаси *k* аниқланади. Шуни ҳам айтиб ўтиш керакки, *k* нуқтани тезланиш планидаги (*ав*) чизиқнииг иккала томонида ҳам топиш мумкин. Тезланиш планида тўғри ҳосил қилинган учбурчак учларини белгилайдиган ҳарфларнинг ёзилиш кетма-кетлиги билан бир хил бўлади.

## 7-§. ИЛГАРИЛАНМА ВА АЙЛАНМА КИНЕМАТИК ЖУФТЛИ ИҚҚИНЧИ КЛАСС АССУР ГРУППАСИ УЧУН ТЕЗЛИК ВА ТЕЗЛANIШЛАРНИ АНИҚЛАШ

### 1. Тезликлар планини қуриш

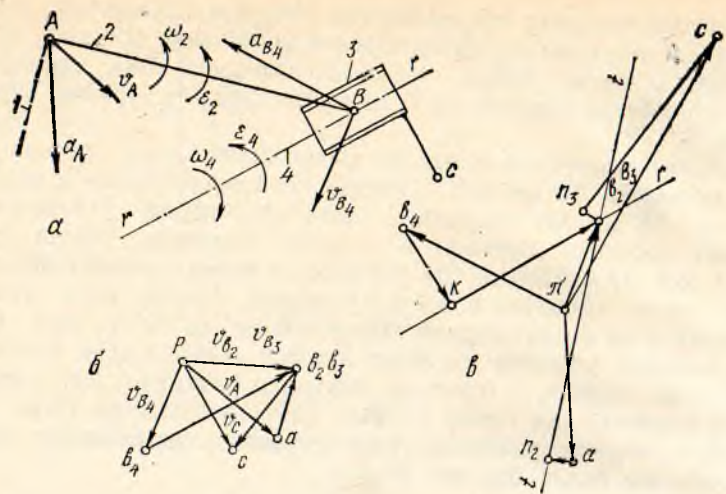
Группага тегишли *A* нуқтанинг тезлик ва тезланиш векторларининг қийматлари ва йўналишлари маълум (32-шакл, *a*). Шунингдек, 4-звенога тегишли *B<sub>4</sub>* нуқтанинг ҳам тезлик ва тезланиш векторларининг қиймат ва йўналишлари маълум бўлиб, шу звенонинг бурчак тезлиги ва бурчак тезланиш қийматлари ҳамда йўналишлари берилган.

2 ва 3 звеноларга тегишли *B<sub>2</sub>*, *B<sub>3</sub>* ва *C* нуқталарининг тезлик ва тезланышларини, шунингдек, 2-звенонинг бурчак тезлик ва бурчак тезланишлари қиймат ҳамда йўналишларини аниқлаш талаб қилинади.

*B<sub>3</sub>* нуқта тезлигини аниқлаш учун вектор тенгламалар системаси қўйидагича ёзилади:

$$\begin{cases} \vec{v}_{B_2} = \vec{v}_A + \vec{v}_{B_2 A} \\ \vec{v}_{B_3} = \vec{v}_{B_4} + \vec{v}_{B_3 B} \end{cases} \quad (2.14)$$

Тенгламалар системасидаги *v<sub>A</sub>* ва *v<sub>B<sub>4</sub></sub>* 2 звенога тегишли *A* нуқтанинг ва 4 звенога тегишли *B<sub>4</sub>* нуқтанинг олдиндан маълум бўлган тезлик векторлари; *v<sub>B<sub>2</sub>A</sub>* 2-звенога тегишли *B<sub>2</sub>* нуқтанинг *A* нуқта атрофида айланма ҳаракати натижасидаги нисбий тезлик вектори бўлиб унинг йўналиши *AB* звеногатик бўлади;  $\vec{v}_{B_2} = \vec{v}_{B_3}$  чунки *B<sub>2</sub>* ва *B<sub>3</sub>* нуқталар айланма кинематик жуфтга тегишли;  $\vec{v}_{B_3 B_4}$  3 звенонинг 4 звенога нисбатан илгарилама ҳаракатидаги тезлик векторидир. У 4 звено ўқ чизиги бўйича йўналган. Қутбий тезликлар планини қуриш йўли билан номаълум тезликларни аниқлаш қўйидаги кетма-кетликда амалга оширилади.



32- шакл.

1) Кинематик схемага яқын жойда, чизма күлами ҳисобға олинған ҳолда, қутб нүктаси  $P$  танланади (32-шакл, б).  $P$  нүктадан бошлаб қиймат ва йұналишлари олдиндан берилған тезлик векторлари  $\vec{v}_A$  ва  $\vec{v}_{B_4}$  лар маълум  $\mu_v$  тезлик масштабида олиб қўйилади.

2) Тенгламалар системаси (2. 14) нинг биринчи тенгламасига кўра,  $\vec{v}_A$  тезлик векторининг охири  $a$  нүктадан  $\vec{v}_{BA}$  тезлик вектори жойлашуви лозим бўлган чизиқ — зеено  $AB$  га тик равишда ўтказилади.

3) Тенгламалар системаси (2. 14) нинг иккиси тенгламасига кўра  $\vec{v}_{B_4}$  тезлик векторининг охири  $b_4$  нүктадан нисбий тезлик вектори  $\vec{v}_{B_3B_4}$  жойлашуви лозим бўлган чизиқ — зеено 4 га параллел разишда ўтказилади. Ўтказилган чизиқларнинг кесиши нүктаси тезлик планида (32-шакл, б)  $b_2$  ва  $b_3$  билан белгиланган. Шу нүктани қутб  $P$  билан туташтирувчи чизиқ  $B_2$  ва  $B_3$  нүкташарнинг абсолют тезлик векторлари бўлади.  $b_2$  нүктани  $a$  нүкта билан туташтирувчи ( $a$   $b_2$ ) кесма 2 звено  $B$  нүктасининг  $A$  нүктасига бўлган нисбий тезлик вектори  $\vec{v}_{B_2A}$  ни ифодалайди.  $b_3$  ни  $b_4$  билан туташтирувчи ( $b_4$   $b_3$ ) кесма 3-звенога тегишли  $B_3$  нүктанинг 4-звенога тегишли  $B_4$  нүктаға нисбатан тезлик вектори  $\vec{v}_{B_3B_4}$  ни ифодалайди. Тезлик планидаги абсолют ва нисбий тезлик векторларининг ўзаро жойлашувиға қараб, тенгламалар системаси (2. 14) нинг тўғри ечилганлигига ишонч ҳосил қилиш мумкин.

Масштабдан фойдаланиб тезликларнинг ҳақиқий қийматлари аниқланади:

$$v_{B_2} = v_{B_3} = (p \cdot b_2) \cdot \mu_v \quad [\text{м/с}]$$

$$v_{B_2A} = (a \ b_2) \ \mu_v \ [\text{м/с}]$$

$$v_{B_4B_3} = (b_4 \ b)_3 \ \mu_v \ [\text{м/с}].$$

2-звенонинг бурчак тезлиги:

$$\omega_2 = \frac{v_{BA}}{l_{AB}} \text{ [рад/с].}$$

2-звенонинг бурчак тезлигін  $\vec{v}_{BA}$  векторни звенонинг  $B$  нүктасында хәслан күчириб аниқланади.

Схемадан 3-звенонинг бурчак тезлиги 4-звенонинг бурчак тезлигиге тенглигига ишонч ҳосил қилиш қийин эмас:  $\omega_3 = \omega_4$ .

3-звенога тегишли  $C$  нүктанинг тезлигини топиш учун вектор тенглама тузилади:

$$\vec{v}_C = \vec{v}_{B_3} + \vec{v}_{CB_3}.$$

$v_{CB_3}$  —  $C$  нүктанинг  $B_3$  нүкта атрофидаги айланма ҳаракати натижасыда ҳосил буладиган нисбий тезлиги бўлиб, унинг қиймати қўйидагича аниқланади:

$$v_{CB_3} = \omega_3 \cdot l_{B_3C}.$$

Нисбий тезлик вектори схемадаги  $CB$  пункттир чизиққа тик жойлашган бўлиб,  $\omega_3$  бўйича йўналган.

Тезлик планида  $C$  нүктанинг абсолют тезлик векторини ҳосил қилиш учун  $\vec{v}_{B_3}$  абсолют тезлик векторининг охирини ифодаловчи  $v_3$  нүктадан (32-шакл, б) схемадаги  $CB$  пункттир чизиққа тик чизиқ ўтказиб,  $\omega_3$  йўналишида  $\vec{v}_{CB_3}$  векторининг  $\mu_v$  тезлик масштабига кўра аниқланган чизма узунлиги қўйилади.  $\vec{v}_{CB_3}$  векторининг охри  $c$  нүктани қутб  $p$  билан туташтирувчи  $pc$  кесма  $C$  нүктасининг абсолют тезлик вектори  $\vec{v}_C$  ни ифодалайди.

## 2. Тезланишлар планини қуриш

$B_2$  нүктанинг тезланишини аниқлаш учун вектор тенгламалар системаси қўйидагича тузилади:

$$\begin{aligned} \vec{a}_{B_2}^n &= \vec{a}_A + \vec{a}_{B_2A}^n + \vec{a}_{B_2A}^r \\ \vec{a}_{B_2} &= \vec{a}_{B_2} + \vec{a}_{B_2B_4}^k + \vec{a}_{B_2B_4}^r \end{aligned} \quad (2.15)$$

Маълумки,  $B_2$  ва  $B_3$  нүкталар айланма кинематик жуфтга тегишли нүкталар бўлганилиги учун уларнинг тезланиш векторлари ўзаро тенг бўлади:  $\vec{a}_{B_2} = \vec{a}_{B_3}$ . Тенгламалардаги  $\vec{a}_A$  ва  $\vec{a}_{B_2}$  тезланиш векторларининг қиймати ва йўналишилари олдиндан берилган.  $\vec{a}_{B_2A}^n$  — 2-звенодаги  $B_2$  нүктанинг

$A$  нүкта атрофидаги айланма ҳаракати натижасыда вужудга келадиган нормал тезланиш;  $(a^x_{B_2A})$  — 2-звеноңнинг бурчак тезланиши натижасыда вужудга келадиган тангенциал тезланиши;  $a^k_{B_3B_4}$  — илгарилама кинематик жуфтининг айланма ҳаракати натижасыда вужудга келадиган звеноларнинг нисбий Кориолис—бурилма тезланиши;  $a^r_{B_2B_4}$  — 3-звеноңнинг 4-звено бўйлаб илгарилама ҳаракати натижасыда вужудга келадиган бўйлама (релятив) тезланиши. Нормал тезланиш вектори  $\vec{a}_{B_2A}^n$  нинг мэдул қиймати қўйидаги формуладан аниқланади:

$$a_{B_2A}^n = \frac{\vec{v}_{B_2A}}{l_{AB}} = \frac{(ab_2)^2 \cdot \mu_v}{l_{AB}} \left[ \text{м/с}^2 \right];$$

$(ab_2)$  — тезликлар планидаги кесма узунлиги. Кориолис тезланиши вектори  $a_{B_3B_4}^k$  нинг скаляр қиймати формула (2.10) га биноан аниқланади:

$$a_{B_3B_4}^k = 2 \cdot \omega_4 \cdot v_{B_3B_4} = 2 \cdot \omega_4 \cdot (b_3 b_4) \cdot \mu_v \left[ \text{м/с}^2 \right].$$

$\vec{(\omega_4 b_3)}$  — тезликлар планидаги кесма узунлиги (32-шакл, б).

$a_{B_2A}$  — тезланиш вектори  $AB$  звеноға тик равишда жойлашган бўлиб, қиймати ва қайси томонга йўналганилиги маълум эмас. Бўйлама тезланиши вектори  $\vec{a}_{B_3B_4}$  4-звено бўйича йўналган бўлиб, қиймати ва қайси томонга йўналганилиги маълум эмас.

$B_2$  ( $B_3$ ) нүктанинг тезланишини аниқлаш учун тезланиш масштаби  $\mu_a$  танланаб, қиймат ва йўналишлари олдиндан берилган чизиқли тезланиш векторлари  $\vec{a}_A$ ,  $\vec{a}_{B_2A}$ ,  $\vec{a}_{B_4}$ ,  $\vec{a}_{B_3B_4}^k$  ларнинг чизма узунликлари аниқланади. Чизма текислигига танланган тезланиш қутби  $\pi$  дан бошлаб, аввал тенгламалар системаси (2.15) га тегишли биринчи тенгламага, сўнгра иккинчи тенгламага тегишли қийматлари аниқланган ҳадларнинг чизма ифодалари қурилади.

Тезланиш планини қуриш қўйидаги кетма-кетликда амалга оширилади.

Тенгламалар системаси (2.15) нинг биринчи тенгламасидаги тезланиш векторларининг кетма-кет жойлашув тартибига кўра:

1) тезланиш қутби  $\pi$  дан  $A$  нүктанинг тезланиш вектори  $\vec{a}_A$  пинг чизма ифодаси  $(\vec{a}_A)$  қурилади (32-шакл, б);

2) қурилган  $\vec{a}_A$  векторининг охирини ифодаловчи  $d$  нүктадан  $\vec{a}_{VA}^n$  ни ифодаловчи  $(a^n_{VA})$  кесма  $AB$  звеноға параллел қилиб  $B$  нүктадан  $A$  нүктага йўналтирилган ҳолда чизилади;

3)  $n_2$  нүктадан  $\vec{a}_{VA}^t$  — тангенциал векторининг жойлашув  $t-t$  чизиги  $AB$  звеноға  $((a_{VA}^t))$  кесмага тик равишда ўтказилади. Сўнгра тенгламалар системаси (2.15) нинг иккинчи тенгламасидаги векторларнинг кетма-кет жойлашув тартибига кўра:

1) тезланиш қутби  $\pi$  нүктадан  $B_4$  нүктанинг абсолют тезланиш вектори  $\vec{a}_{B_4}$  пинг чизма ифодаси  $(\pi b_4)$  чизилади;

2)  $(\pi b_4)$  кесма охирни  $b_4$  нүктадан Кориолис тезланиш вектори  $\vec{a}_{B_3B_4}^k$

шамда чөнмә ифодаси ( $b_{4K}$ ) олиб қўйилади. Кориолис тезланишининг нутканиши иисбий тезлик вектори  $\vec{v}_{B_3B_4}$  ни ифодаловчи ( $v_3v_4$ ) кесмани (32-шакл б, а) 4-звено бурчак тезлиги  $\omega_4$  йўналиши бўйича  $90^\circ$  га бўриши орқали пикирланади;

3) иисбий Кориолис тезланиш вектори охирни нуткадан бўйлама тезланиш вектори  $\vec{a}_{B_3B_4}^{\tau}$  нинг  $r-r$  таъсир чизиги 4-звенога параллел равониди үтказилади.

$i-i$  ва  $r-r$  чизиқларнинг ўзаро кесишуви натижасида ҳосил бўлган  $a_i(\theta_4)$  нуткага тенгламалар системасининг график усулда ҳал қилингандини кўрсанади.  $v_3$  нутканинг қутб  $\pi$  билан туташтирилиши натижасида ҳосил бўлған ( $\pi v_3$ ) кесма  $B_3$  (ёки  $B_2$ ) нутканинг абсолют тезланиш вектори  $a_{B_3}$  (ёки  $a_{B_2}$ ) ни билдиради. Тезланишлар планидаги ( $n_3$ ,  $a_3$ ) тезланиш вектори  $\vec{a}_{B_3A}^{\tau}$  ни, ( $\kappa v_3$ ) тезланиш вектори  $a_{B_3B_4}^{\kappa}$  ни ифодалайди.

Тенгламалар системаси (2.15) нинг тўғри ечишганлигига ишонч ҳосил қилини учун шу нарсага эътибор берамиз. 32-шакл, в га кўра  $a_{B_3}$  ни ифодалайдиган ( $\pi v_2$ ) кесма  $\vec{a}_A, \vec{a}_{B_2A}, \vec{a}_{B_3A}^{\tau}$  векторларни ифодалайдиган ( $\mu a$ ), ( $\mu v_2$ ), ( $n_2 v_2$ ) кесмаларнинг ёпувчисидир.  $\vec{a}_{B_3}$  векторни ифодалайдиган ( $\mu a_3$ ) кесма  $\vec{a}_{B_4}, \vec{a}_{B_3B_4}^{\kappa}, \vec{a}_{B_3B_4}^{\tau}$  векторларни ифодалайдиган ( $\pi v_4$ ), ( $v_4 K$ ), ( $\kappa a_4$ ) кесмаларнинг геометрик йигиндисидир,

Иисбий тангенциал тезланиш вектори  $\vec{a}_{B_3A}^{\tau}$  ни хаёлан 2-звенонинг  $B$  нуткасига параллел равишда келтириб, унинг  $A$  нуткага нисбатан йўналишини текшириш орқали 2-звенонинг бурчак тезланиши йўналишини пикирни мумкин. Бурчак тезланиш  $\epsilon_2$  нинг схемадаги йўналиши соат стреласи йўналишига қарара-қаршилигини кўриш қийин эмас (32-шакл, а, в).

Тезланишларнинг ҳақиқий қийматларини аниқлаш учун тезланиш планидаги кесма узунликларини тезланиш масштаб коэффициенти  $\mu_a$  га кўпайтириш керак:

$$a_{B_3} = (\pi v_3) \cdot \mu_a, \\ a_{B_3A}^{\tau} = (n_2 v_2) \cdot \mu_a \text{ ва ҳоказо.}$$

2-звенонинг бурчак тезланиши:

$$\epsilon_2 = \frac{a_{BA}^{\tau}}{l_{AB}} = \frac{(n_2 v_2) \cdot \mu_a}{l_{AB}} \left[ \text{рад/с}^2 \right].$$

Ламенога тегини С нутканинг тезланишини аниқлаш учун чизмада шу нуткани  $B_3$  нуткага билан тўғри чизиқ орқали туташтирамиз. С нутканинг абсолют тезланиш векторини ташкил этувчиларга ажратиб текширамиз:

$$\vec{a}_C = \vec{a}_{B_4} + \vec{a}_{CB_4}.$$

Тенгламадаги номаълум  $\vec{a}_{CB}$  тезланиш вектори  $C$  нуқтанинг  $B_3$  нуқта атрофида айланма ҳаракати натижасида вужудга келадиган тезланышdir. Демак, уни нормал ва тангенциал ташкил этувчиларга ажратиб ёзиш мумкин:

$$\vec{a}_c = \vec{a}_{B_3} + \vec{a}_{CB_3}^n + \vec{a}_{CB_3}^\tau. \quad (2.16)$$

З-звенонинг бурчак тезлик ва бурчак тезланышларининг қийматлари бизга маълум. Улардан фойдаланиб  $a_{CB_3}^n$ ,  $a_{CB_3}^\tau$  векторларнинг сон қийматлари аниқланади:

$$a_{CB_3}^n = \omega_3^2 \cdot l_{BC},$$

$$a_{CB_3}^\tau = \epsilon_3 \cdot l_{BC}.$$

Топилган қийматларни тезланиш масштаби қиймати  $\mu_a$  га бўлиб, нормал ва тангенциал иисбий тезланишларнинг чизма қийматлари ҳисоблаш топилади:

$$\theta_3 n_3 = \frac{a_{CB_3}^n}{\mu_a} [ \text{мм} ],$$

$$\vec{n}_3 c = \frac{a_{CB_3}^\tau}{\mu_a} [ \text{мм} ].$$

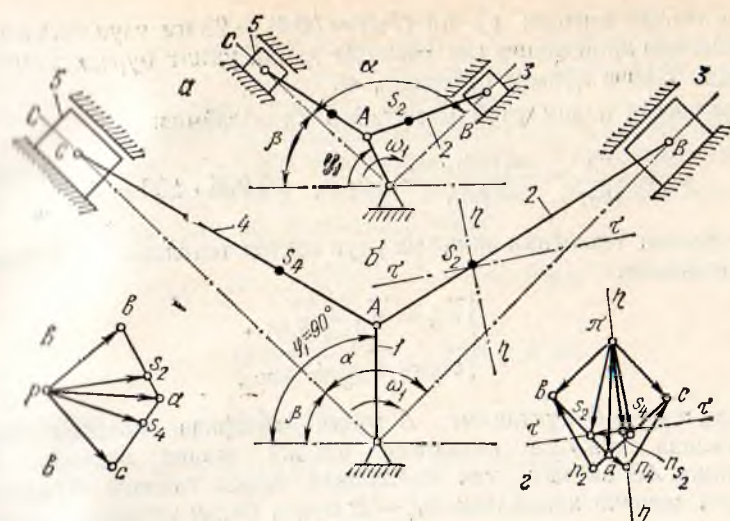
Тенглама (2.16) шартига мувофиқ  $a_{B_3}$ ,  $\vec{a}_{CB_3}^n$ ,  $\vec{a}_{CB_3}^\tau$  векторларнинг тезланиш масштабига кўра аниқланган чизма ифодалари ( $\pi \theta_3$ ),  $(\theta_3 n_3)$ ,  $(n_3 c)$  кесмалардан фойдаланилган ҳолда  $C$  нуқтанинг тезланишини аниқлаймиз. Бунинг учун тезланишлар планидаги ( $\pi \theta_3$ ) кесманинг  $\theta_3$  нуқтасидан ( $\theta_3 n_3$ ) кесмани, ( $\theta_3 n_3$ ) кесма охири  $n_3$  нуқтадан ( $n_3 c$ ) кесмани қўянимиз (32-шакл, б). Нормал тезланиш векторини ифодаловчи ( $\theta_3 n_3$ ) кесма  $C$  дан  $B$  га (32-шакл, а) қараб йўналган бўлади. Тангенциал тезланиш векторини ифодаловчи ( $n_3 c$ ) кесма  $CB$  пункттир чизиқса тик равишда  $\epsilon_3$  бурчак тезланиш йўналиши бўйича ( $\epsilon_3 = \epsilon_4$ ) қўйилади. Аниқланган  $C$  нуқтани кутб  $\pi$  билан туташтирувчи ( $\pi c$ ) кесма  $C$  нуқтанинг абсолют тезланишини билдиради.  $C$  нуқта тезланишининг ҳақиқий сон қиймати қўйидагича аниқланади:

$$a_c = (\pi c) \cdot \mu_a.$$

**1-мисол.** Цилиндрлари «V» симон жойлашган ички ёнув двигатели механизми қутбий тезлик ва қутбий тезланишлар планларини куриш йўли билан кинематик текширилсин (33-шакл, а). Шунингдек, шатун 2 нинг оғирлик маркази бўлган  $S_2$  нуқта траекториясининг эгрилик радиуси  $\rho_{S_2}$  нинг узунлиги аниқлансан.

Берилганлар:  $\beta = 45^\circ$ ,  $\alpha = 90^\circ$ ,  $\varphi = 90^\circ$ ,  $l_{OA} = 0,125 \text{ м}$ ,  $l_{AB} = l_{AC} = 0,375 \text{ м}$ ,  $l_{AS_2} = l_{AS_4} = 0,125 \text{ м}$ . Кривошиппнинг бурчак тезлиги ўзгармас бўлиб, унинг қиймати  $\omega_1 = 300 \frac{\text{рад}}{\text{с}}$ .

**Ечиш.** 1. Механизмнинг тузилишини текшириб, унинг қайси классга мансублигини аниқлаймиз. Механизм 6 звенодан иборат бўлиб, ундағи қўзғалувчи звенолар сони  $n = 5$  га, қути кинематик жуфтлар сони  $P_1 = 7$  га, олий кинематик жуфтлар сони  $P_2 = 0$  га, механизмнинг қўзғалувчанлик даражаси эса  $W = 3n - 2P_1 = 3 \cdot 5 - 2 \cdot 7 = 1$  га тенг. Механизм



33- шакл.

Одакчи звено  $OA$  ва құзғалмас звено  $O$  га звенолар  $2$  ва  $3$  ҳамда  $4$  ва  $5$  лардан ташкил топған иккита иккінчи класс группаны бөлгөш нағысасыда ҳосил бўлган.

2. Механизмнинг кинематик схемасини қурамиз (33- шакл, б). Чизма күләмнини ҳисобга олган ҳолда шатун  $AB$  нинг чизма қийматини 75 мм узутиликдаги кесма тарзида белгилаймиз. Узунлик масштабининг сол қиймати:

$$\mu_l = \frac{l_{AB}}{(AB)} = \frac{0,375}{75} = 0,005 \frac{\text{м}}{\text{мм}}.$$

Коған звеноларнинг чизма қийматлари:

$$(OA) = \frac{0,125}{0,005} = 25 \text{мм},$$

$$(AC) = (AB) = 75 \text{ мм},$$

$$(AS_2) = (AS_4) = \frac{l_{AS_2}}{\mu_l} = \frac{0,125}{0,005} = 25 \text{мм}.$$

Бон звено координатаси  $\varphi_1 = 90^\circ$  га ва ҳамма звеноларнинг чизма қийматларига кўра механизмнинг кинематик схемасини ҳосил қиласиз.

3. Механизмнинг кўрсатилган ҳолати учун тезликлар планини қурама. А нуқтанинг тезлиги қўйидаги формуладан аниқланади:

$$v_A = \omega_1 \cdot l_{OA} = \omega_1 \cdot (OA) \mu_l.$$

Тезликлар планини қуришда кривошип масштабидан фойдаланамиз. Буоди  $A$  нуқта тезлигининг чизма қиймати кривошипнинг чизма қийматига teng бўлади. Тезликлар плани учун танланган қутб  $p$  га  $A$

Нуқта тезлик вектори  $v_A$  ни ( $Pa$ ) = ( $OA$ ) = 25 мм узунлукдаги кесма күринишида кривошипга тик равища ҳамда унинг бурчак тезлиги йўналиши бўйича қўямиз (33-шакл, в).

Тезликлар плани учун масштабни ҳисоблаймиз:

$$\mu_v = \frac{v_A}{(Pa)} = \frac{\omega_1(OA) \cdot n_e}{(Pa)} = \mu_1 \omega_1 = 0,005 \cdot 300 = 1,5 \frac{\text{м/с}}{\text{мм}}$$

В нуқтанинг тезлигини аниқлаш учун вектор тенгламалар системасидан фойдаланамиз:

$$\begin{cases} \vec{v}_B = \vec{v}_A + \vec{v}_{BA}, \\ \vec{v}_B = \vec{v}_{B_0} + \vec{v}_{BB_0}, \end{cases}$$

бу ерда  $\vec{v}_{BA}$  — В нуқтанинг А нуқта атрофида айланма ҳаракати натижасида вужудга келадиган нисбий тезлик вектори. Унинг йўналиши  $AB$  звенога тик жойлашади. Қайси томонга йўналиши ва қиймати ҳозирча номаълум;  $v_{B_0}$  — В нуқта билан устма-уст тушадиган қўзғалмас нуқтанинг тезлик вектори. Унинг қиймати нолга teng бўлиб, қутб  $r$  нинг ўзида жойлашади;  $v_{BB_0}$  — В нуқтанинг қўзғалмас нуқта  $B_0$  га нисбий тезлик вектори. У цилиндр ўқи бўйича йўналган бўлиб, модуль қиймати ҳозирча номаълум.

Тезликлар плани қуришни қўйидагича бажарамиз (33-шакл, в). Тенгламалар системасининг биринчи тенгламаси шартига кўра,  $\vec{v}_A$  векторни ифодаловчи ( $pa$ ) кесманинг охири  $a$  нуқтадан нисбий тезлик вектори  $\vec{v}_{BA}$  нинг таъсир чизигини  $AB$  звенога тик равища ўтказамиз. Тенгламалар системасининг иккинчи тенгламаси шартига кўра қутб  $r$  га  $\vec{v}_{B_0}$  векторни қўйиш лозим бўлар эди. Бироқ унинг қиймати нолга teng. Шу сабабли  $\vec{v}_{BB_0}$  векторнинг таъсир чизигини цилиндр ўқига параллел равища тўғридан-тўғри қутб  $r$  дан ўтказамиз. Ўтказилган чизикларнинг кесишиш нуқтаси  $v$  ни қутб  $r$  билан туташтирувчи ( $rv$ ) кесма  $V$  нуқтанинг абсолют тезлик вектори  $v_B$  ни ифодалайди.

С нуқтанинг тезлигини аниқлаш юқорида баён этилган тартибда бажарилади. Бунда ҳам албатта вектор тенгламалар системасидан фойдаланамиз:

$$\begin{cases} \vec{v}_c = \vec{v}_A + \vec{v}_{CA}, \\ \vec{v}_c = \vec{v}_{C_0} + \vec{v}_{CC_0}, \end{cases}$$

бу ерда  $\vec{v}_{CA}$  — С нуқтанинг A нуқта атрофида айланма ҳаракати натижасида вужудга келадиган нисбий тезлик вектори бўлиб, у  $AB$  звенога тик жойлашади,  $v_{C_0}$  — С нуқта билан устма-уст тушадиган, қўзғалмас звенога тегишли нуқтанинг тезлик вектори, у қутбда жойлашади;  $v_{CC_0}$  — С нуқтанинг цилиндрдаги  $C_0$  нуқтага нисбий тезлик вектори ҳам цилиндр ўқи бўйича йўналган бўлади.

Тенгламалар системасини ечиш учун биринчи тенглама шартига кўйимиз:

ра (ра) кесманинг охири  $a$  нүктадан шатун  $AC$  га тик чизиқ ўтказилади. Нисбети тенглама шартига кўра, қутб  $r$  дан цилиндр ўқига параллел чизиқ ўтказилади. Ўтказилган чизиқларнинг кесишиш нүктаси  $C$  тенгламалар системасининг ечимини белгилайди.

$s_1$  ва  $s_2$  нүқталарнинг тезликларини аниқлаш учун ўхшашлик қоидасидан (пропорция усулидан) фойдаланамиз.  $s_2$  нүқта  $A$  ва  $B$  нүқталар ордигини қайси нисбатда бўлса, тезлик планидаги  $s_2$  нүқта ҳам ( $a\beta$ ) симада жойлашиб, уни шу нисбатда бўлади:

$$(a s_2) =: (a \beta) \cdot \frac{(AS_2)}{(AB)} = \frac{1}{3} \cdot 18 = 6 \text{ мм},$$

$$(a s_4) =: (a c) \cdot \frac{(AS_4)}{(AC)} = \frac{1}{3} \cdot 18 = 6 \text{ мм}.$$

Тезликларнинг ҳақиқий қийматлари:

$$v_B = (p\beta) \cdot \mu_v = 21 \cdot 1,5 = 31,5 \text{ м/с},$$

$$v_C = (pc) \cdot \mu_v = 21 \cdot 1,5 = 31,5 \text{ м/с.}$$

Шатунларнинг бурчак тезликлари:

$$\omega_{AB} = \frac{v_{BA}}{l_{AB}} = \frac{(ea)\mu_v}{(AB) \cdot \mu_l} = \frac{(ea)}{(AB)} \omega_1 = \frac{18}{75} \cdot 300 = 72 \text{ рад/с.},$$

$$\omega_{AC} = \frac{v_{CA}}{l_{AC}} = \frac{(ca)}{(AC)} \cdot \omega_1 = \frac{18}{75} \cdot 300 = 72 \text{ рад/с.}$$

4. Механизм учун тезланишлар планини қурамиз. Кривошиппинг бурчак тезлигини унча катта бўлмаган хатога йўл қўйиш орқали ўзгармас деб қараш мумкин. У ҳолда  $A$  нүқтанинг тезланиши фақат нормал тезланишдан иборат бўлиб, қиймати қўйидаги формуладан аниқланади:

$$a_A = a^n_A = \omega^2 l_{OA} = \omega^2_1 (AO) \mu_l = 11250 \text{ м/с}^2.$$

Тезланишлар планини қуришда ҳам кривошип масштабидан фойдаланамиз. Бунда  $A$  нүқта тезланиш вектори  $a_A$  нинг чизма ифодаси  $\pi a$  кривошиппинг чизма узунлиги  $OA$  га тенг бўлади. Тезланишлар плани учун танланган қутб  $\pi$  га  $A$  нүқтанинг тезланишини кривошип  $OA$  га параллел равишда  $A$  дан  $O$  га йўналган тарзда қўямиз (33-шакл). Тезланишлар плани учун масштаб коэффициентини ҳисоблаймиз:

$$\mu_a = \frac{a_A}{(\pi a)} = \frac{\omega_1^2 (OA) \cdot \mu_l}{(\pi a)} = \mu_l \cdot \omega_1^2 = 0,005 \cdot 300^2 = 450 \frac{\text{м/с}^2}{\text{мм}}.$$

В нүқтанинг тезланишини аниқлаш учун вектор тенгламалар системаидан фойдаланамиз:

$$\left\{ \begin{array}{l} \vec{a}_B = \vec{a}_A + \vec{a}_{BA} + \vec{a}_{BA}^\tau, \\ \vec{a}_B = \vec{a}_{B_0} + \vec{a}_{BB_0} + \vec{a}_{BB_0}^\tau. \end{array} \right.$$

Тенгламалар системасидаги  $\overset{\rightarrow}{a}_{AB}$   $B$  нүктанинг  $A$  нүкта атрофида айланма ҳаракат қишлиши натижасида вужудга келувчи нормал тезланиш вектори бўлиб, унинг модуль қиймати  $a_{BA}^n = \frac{v_{AB}^2}{l_{AB}}$  дан аниқланади. Унинг тезланишлар планида қуришимиз лозим бўладиган чизма узунлиги эса модуль қийматининг тезланиш масштабига нисбатидан аниқланади:

$$a_{BA}^n = a n_2 = \frac{a_{BA}^n}{\mu_a} = \frac{v_{BA}^2}{l_{AB} \cdot \mu_a} = \frac{(ba \cdot \mu_v)^2}{l_{AB} \cdot \mu_a} = \frac{(ba)^2 \mu_l^{-2} \cdot \omega_1^2}{(AB) \mu_l \cdot \mu_l \cdot \omega_1^2} = \frac{(ba)^2}{AB} = \frac{18^2}{75} = 4,32 \text{ мм.}$$

Формуладаги  $(ba) = 18$  мм,  $(AB) = 75$  мм қийматлар тезлик планидан ва кинематик схемадан ўлчаб олинадиган кесмаларнинг узунликларидир.

$\overset{\rightarrow}{a}_{BA}$  ифода  $B$  нүктанинг  $A$  нүктага нисбатан тангенциал тезланиш векторини билдиради. Унинг модуль қиймати қўйидаги формуладан аниқланади:

$$a_{BA}^\tau = \epsilon_2 \cdot l_{AB}.$$

$(\epsilon_2 - AB$  звенонинг бурчак тезланиши бўлиб, унинг қиймати ҳозирча номаълум).  $\overset{\rightarrow}{a}_{BA}$  нинг таъсир чизиги звено  $AB$  га тик йўналган бўлади.  $a_{BV_0}$  — қўзгалмас звено (цилиндр) га тегишли нүктанинг тезланиш вектори. Унинг қиймати нолга тенг.  $\overset{\rightarrow}{a}_{BV_0} - B$  нүктанинг  $B_0$  нүктага (ползуннинг цилиндрга) нисбатан нисбий кориолис тезланиши векторидир.  $B_0$  нүктанинг (цилиндрнинг) тезлиги нолга тенг бўлганлиги сабаби, кориолис тезланишининг қиймати ҳам нолга тенг.

$a_{BV_0} - B$  нүктанинг  $B_0$  нүктага (ползуннинг цилиндрга) нисбатан нисбий бўйлама (релятив) тезланиши вектори. У цилиндр ўқи бўйлаб йўналган бўлади.

Тенгламалар системасининг биринчи тенгламасига асосан  $B$  нүктанинг тезланишини аниқлаш учун тезланишлар планидаги  $\overset{\rightarrow}{a}_A$  векторни ифодаловчи ( $\pi a$ ) кесманинг охири  $a$  нүктадан  $\overset{\rightarrow}{a}_{BA}$  векторни ифодаловчи ( $a n_2 = 4,32$  мм кесмани  $AB$  звенога параллел равища  $B$  дан  $A$  га йўналган тарзда ўлчаб қўямиз (33-шакл, 2). Кесма охири  $n_2$  нүктадан  $\overset{\rightarrow}{a}_{BA}$  вектор таъсир чизигини  $AB$  шатунга тик равища ўтказамиз. Сўнгра тенгламалар системасининг иккинчи тенгламасига асосан  $\overset{\rightarrow}{a}_{B_0}$  векторнинг чизма ифодасини қутб  $\pi$  дан ўлчаб қўямиз. Бироқ унинг қиймати нолга тенг бўлгани учун  $\overset{\rightarrow}{a}_{B_0}$  вектор қутб  $\pi$  билан устма-уст тушади. Қутб  $\pi$  билан кориолис тезланиши векторининг охири  $k$  нүкта ҳам устма-уст тушади (чунки  $\overset{\rightarrow}{a}_{BV_0}$  векторининг қиймати  $k$  нүктадан, бинобарин,  $\pi$  нүктадан бўйлама тез-

данаш вектори  $\vec{a}_{B_0}$  нинг таъсир чизигини цилиндр ўқига параллел равнида ўтказамиш. Ўтказилган чизиқларнинг кесишиш нуқтаси  $a$  абсолют тезланиш вектори  $\vec{a}_B$  нинг охирини ифодалайди. Тезланиш пластида  $a$  ва  $a$  нуқталарни туташтирувчи  $(a_B)$  кесма  $B$  нуқтанинг нуқтага нисбатан тўла нисбий тезланишини билдиради.  $s_2$  нуқтанинг тезланишини ўхшашлик қоидасига биноан аниқлаймиз:

$$(a s_2) = (a_B) \frac{(AS_2)}{(AB)} = 18 \cdot \frac{25}{75} = 6 \text{ мм.}$$

Нуқтанинг қутб  $\pi$  билан туташтириб,  $s_2$  нуқтанинг абсолют тезланиши вектори  $\vec{a}_{s_2}$  ни ифодаловчи  $(\pi s_2)$  кесмани ҳосил қиласиз.

С нуқтанинг тезланишини аниқлаш учун тузиладиган вектор тенгламалар системаси  $B$  нуқтанинг аниқлаш учун тузилган вектор тенгламалар системасига ўхшаш бўлади:

$$\begin{cases} \vec{a}_c = \vec{a}_A + \vec{a}_{CA}^n + \vec{a}_{CA}^r, \\ \vec{a}_c = \vec{a}_{C_0} + \vec{a}_{CC_0}^\kappa + \vec{a}_{CC_0}^r. \end{cases}$$

Тенгламалар системасининг биринчи тенгламасидаги С нуқтанинг А нуқтага нисбатан нисбий нормал тезланишининг чизма ифодаси сўйиндаги қийматга teng:

$$(\vec{a}_{n_4}) = \frac{\vec{a}_{CA}^n}{\mu_a} = \frac{v_{CA}^2}{l_{AB} \mu_a} = \frac{(ac)^2}{(AC)} = \frac{18^2}{75} = 4,32 \text{ мм.}$$

С нуқтанинг А нуқтага нисбатан тангенциал тезланиш вектори  $\vec{a}_{CA}$  нинг модуль қиймати номаълум, йўналиши эса шатун AC га тик жойлашади.  $\vec{a}_{C_0}, \vec{a}_{CC_0}^\kappa$  векторларнинг қийматлари нолга teng бўлиб, улар қутб  $\pi$  да жойлашади.  $\vec{a}_{CC_0}^r$  — ползун 5 нинг цилиндрга нисбатан нисбий бўйлама тезланиш вектори бўлиб, цилиндр ўқи бўйича йўнаган. Унинг модуль қиймати номаълум.

Тенгламалар системасини график усулда ечиш учун тезланишлар пластида (33-шакл, 2) А нуқтанинг тезланиш вектори  $\vec{a}_A$  ни ифодалавчи  $(\pi a)$  кесманинг охри  $a$  нуқтадан  $\vec{a}_{CA}^n$  векторни ифодаловчи  $(a n_4) = 4,32 \text{ мм}$  кесмани  $AC$  звенога параллел равнида С дан А га нуқтанинг тарзда ўлчаб қўямиз. Кесма охри  $n_4$  нуқтадан шатун AC га тик чизиқ ўтказамиш. Тенгламалар системасининг иккинчи тенгламаси шартига кўра, қутб  $\pi$  дан С нуқтанинг  $C_0$  нуқтага нисбатан нисбий бўйлама (релятив) тезланиш вектори  $\vec{a}_{CC_0}^r$  ни цилиндр ўқига параллел равнида ўтказамиш (чунки  $\vec{a}_{C_0}, \vec{a}_{CC_0}^\kappa$  векторларнинг чизма қийматлари нолга teng). Ўтказилган чизиқларнинг кесишиш нуқтаси  $\pi$  қутб  $\pi$  билан туташтирувчи  $(\pi c)$  кесма С нуқтанинг абсолют

тезланиши вектори  $\vec{a}_c$  ни ифодалайди.  $S_4$  нуқта тезланиш векторининг охирі  $s_4$  ўхшашик қоидасига күра аниқланади:

$$(as_4) = (ac) \cdot \frac{(As_4)}{(AC)} = 18 \cdot \frac{25}{75} = 6 \text{ мм.}$$

Тезланишлар планидаги ( $\pi S_4$ ) кесма  $s_4$  нуқтанинг абсолют тезланиш вектори  $\vec{a}_{s_4}$  ни ифодалайди.

Тезланишларнинг ҳақиқий қыйматлари:

$$a_B = (\pi \epsilon) \cdot \mu_a = 17,5 \cdot 450 = 7875 \text{ м/с}^2,$$

$$a_C = (\pi c) \cdot \mu_a = 17,5 \cdot 450 = 7850 \text{ м/с}^2,$$

$$a_{s_2} = (\pi s_2) \cdot \mu_a = 20 \cdot 5 \cdot 450 = 9225 \text{ м/с}^2,$$

$$a_{s_4} = a_{s_2}, \text{ чунки: } (\pi s_4) = (\pi s_2),$$

$$a_{BA}^\tau = (n_2 \theta) \cdot \mu_a = 16,5 \cdot 450 = 7425 \text{ м/с}^2,$$

$$a_{CA}^\tau = a_{BA}^\tau, \text{ чунки } (n_4 c) = (n_2 \theta).$$

Шатун  $AB$  ва  $AC$  ларнинг бурчак тезланишлари:

$$\varepsilon_2 = \frac{a_{BA}^\tau}{l_{AB}} = \frac{4725}{0,375} = 19800 \frac{\text{рад}}{\text{с}^2}; \quad \varepsilon_4 = \varepsilon_2.$$

5.  $s_2$  нуқта траекториясининг эгрилик радиусини хисоблаб топамиз.  $s_2$  нуқтадан (33-шакл, б) тезлик планидаги (33-шакл, в) ( $ps_2$ ) кесмеге параллел бўлган  $\tau - \tau$  чизигини ўтказамиз. Бу чизик  $s_2$  нуқта траекториясига ўтказилган уринма бўлади.  $\tau - \tau$  чизигига ўтказилган перпендикуляр  $n - n$  чизик эса траекторияга ўтказилган нормал бўлади ва шу чизиқда траекторияга тегишли  $s_2$  нуқтанинг эгрилик маркази  $O_{s_2}$  ётади.  $s_2$  нуқта тезланиш вектори  $a_{s_2}$  ни ифодаловчи кесма ( $\pi s_2$ ) ни (33-шакл, г)  $n - n$  ва  $\tau - \tau$  чизиқларга параллел бўлган ташкил этувчиларга ажратамиз. Ҳосил бўлган ( $\pi n_{s_2}$ ) кесма  $S_2$  нуқта тезланишининг нормал ташкил этувчиси  $a_{s_2}^n$  ни ифодалайди.

Формула  $a_{s_2}^n = \frac{v_{s_2}^2}{\rho_{s_2}}$  дан эгрилик радиуси  $\rho_{s_2}$  ни аниқлаймиз:

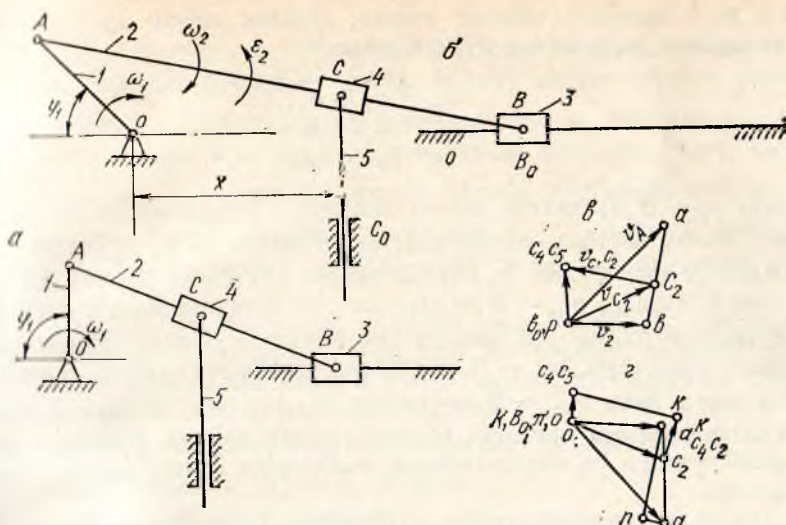
$$\rho_{S_2} = \frac{v_{S_2}^2}{a_{S_2}^n} = \frac{(ps_2)^2 \cdot \mu_l^2 \cdot \omega_1^2}{(\pi n_{S_2}) \cdot \mu_l \cdot \omega_1^2} = \frac{(ps_2)^2}{(\pi n_{S_2})} \cdot \mu_e = \frac{23^2}{20,5} \cdot 0,005 = 0,129 \text{ м.}$$

**2-мисол.** Ёғоч арралаш машинаси ричагли механизми (34-шакл, а) қутбий тезликлар ва қутбий тезланишлар планларини қуриш йўли билан кинематик текширилсин.

Берилганлар:  $\varphi_1 = 45^\circ; l_{oA} = 0,3 \text{ м}, l_{AB} = 1,18 \text{ м}, l_x = 0,45 \text{ м.}$

Кривошиппинг бурчак тезлиги  $\omega_1 = 30 \frac{\text{рад}}{\text{с}}$ .

**Ечиш.** 1. Механизмнинг тузилишини текшириб, унинг қайси классга мансублигини аниқлаймиз. Механизмда қўзғалувчи звенолар сони  $n = 5$ , қуйи кинематик жуфтлар сони  $p_1 = 7$ . Механизмнинг қўзғалув-



34- шакл.

Чаплик даражаси  $W = 3 \cdot n - 2 p_1 = 3 \cdot 5 - 2 \cdot 7 = 1$ . Механизмнинг осил қилиниш тартиби қўйидагича. Етакчи звено  $OA$  ва қўзғалмас звено  $B_0$  га 2 ва 3 звенодан ташкил топган иккинчи класс Ассур группаси боғланган. Боғланган группага тегишли звено 2 га ҳамда қўзғалмас звено  $C_0$  га яна звено 4 ва 5 лардан ташкил топган янги Ассур группаси боғланган. Механизмнинг тузилиш формуласи қўйидагича:

$$I(1,0) \rightarrow II(2,3) \rightarrow II(4,5).$$

Демак, механизм иккинчи классга мансуб.

2. Механизмнинг ҳолатини қурамиз.

Звено  $OA$  нинг чизма қийматини 30 мм узунликдаги кесма тарзида қабул қилиб, узунлик масштабини белгилаймиз:

$$\mu_l = \frac{l_{OA}}{(OA)} = \frac{0,3}{30} = 0,01 \text{ м/мм.}$$

Шатун  $AB$  нинг чизмадаги узунлиги:

$$(AB) = \frac{l_{AB}}{\mu_l} = \frac{1,18}{0,01} = 118 \text{ мм.}$$

Кривошипп айланиш ўқи билан звено 5 ўқи чизиги орасидаги масофалини чизма қиймати:

$$(X) = \frac{l_X}{\mu_l} = \frac{0,45}{0,01} = 45 \text{ мм.}$$

Хосил қилинган қийматларга кўра, механизмнинг кинематик схемаси чизилади (34- шакл, б).

3. Механизмнинг тезликлар планини қуришни етакчи звено  $OA$  га ҳамда қўзғалмас звено  $B_0$  га боғланган группадан бошлаймиз. Группа-

па 2 ва 3 звенодан ташкил топган. Тезлик плани қуйидаги вектор тенгламалар системасига күра қурилади:

$$\begin{aligned}\vec{v}_B &= \vec{v}_A + \vec{v}_{BA}, \\ \vec{v}_B &= \vec{v}_{Bo} + \vec{v}_{BBo},\end{aligned}$$

Бунда  $\vec{v}_B - B$  нүктанинг тезлик вектори,  $\vec{v}_A$  — кривошип  $A$  нүктасининг тезлик вектори. Унинг модуль қиймати  $v_A = \omega_1 l_{OA} = 30 \cdot 0,3 = 9$  м/с га тенг бўлиб,  $\omega_1$  бурчак тезлик йўналиши бўйича  $AB$  звенона тик йўналади;  $v_{BA}$  —  $B$  нүктанинг  $A$  нүкта атрофидаги нисбий тезлик вектори бўлиб,  $AB$  звенона тик йўналган бўлади. Унинг модуль қиймати номаълум.  $v_{Bo}$  —  $B_o$  нүктанинг тезлик векторидир. Унинг қиймати нолга тенг.  $v_{BBo}$  —  $B$  нүктанинг  $B_o$  нүктага (ползун 3 нинг ўз йўналтирувчисига) нисбатан нисбий тезлиги вектори бўлиб, у ползун йўналтирувчиси ўқ чизиги бўйлаб жойлашади. Унинг модуль қиймати номаълум.

Тезликлар планини қуриш қуйидагича бажарилади (34-шакл, в). Вектор тенгламалар системасининг биринчи тенгламасига асосан қутб  $p$  дан  $A$  нүкта тезлик вектори  $\vec{v}_A$  ни ифодаловчи ( $pa$ ) кесмани звено  $OA$  га тик равишда,  $\omega_1$  бурчак тезлиги йўналиши бўйича қурамиз. Бунда ( $pa$ ) кесма узунлигини ( $OA$ ) = 30 мм га тенг қилиб оламиз, яъни тезлик планини кривошип масштабида қурамиз. Сўнг ( $ra$ ) кесманнинг  $a$  нүкгасидан  $\vec{v}_{BA}$  векторнинг таъсир чизигини  $AB$  звенона тик равишда ўтказамиз.

Иккинчи тенглама шартига кўра қутб  $p$  га  $\vec{v}_{Bo}$  векторни қўйишимиз лозим эди. Бироқ унинг қиймати нолга тенг бўлгани учун  $v_0$  нүкта қутбда жойлашади.  $v_0$  нүктадан, яъни  $p$  нүктадан  $\vec{v}_{BBo}$  о векторнинг таъсир чизигини ползун йўналтирувчисига параллел равишда (горизонтал чизик) ўтказамиз ва  $B$  нүкта тезлик вектори  $\vec{v}_B$  ни ифодаловчи ( $rb$ ) кесма охирини ҳосил қиласиз.

Звено 2 га тегишли  $C_2$  нүктанинг тезлигини аниқлаш учун ўхшашлик қоидасидан фойдаланамиз:

$$(ac_2) = (ab) \cdot \frac{(AC)}{(AB)} = 22 \cdot \frac{68}{108} = 13,85 \text{ мм.}$$

$C_5$  нүктанинг тезлигини аниқлаш учун вектор тенгламалар системасини тузамиз.

$$\begin{aligned}\vec{v}_{C_4} &= \vec{v}_{C_2} + \vec{v}_{C_4 C_2}, \\ \vec{v}_{C_5} &= \vec{v}_{C_0} + \vec{v}_{C_5 C_0}.\end{aligned}$$

$\vec{v}_{C_4}$  — звено 4 га тегишли  $C_4$  нүктанинг тезлик вектори;  $\vec{v}_{C_5}$  — звено 2 га тегишли  $C_2$  нүктанинг тезлик вектори (у тезликлар планида ( $pc_2$ ) кесма тарзида тасвирланган);  $\vec{v}_{C_4 C_2}$  — нолзун 4 га тегишли  $C_4$  нүкта-

нинг кулиса 2 га тегишли  $C_3$  нүктага нисбатан бўйлама тезлик вектори бўлиб, звено 2 бўйлаб йўналган. Унинг модуль қиймати номаълум;  $\vec{v}_{C_4}$  — звено 5 га тегишли  $C_5$  нүктанинг тезлик вектори;  $\vec{v}_{C_5} = \vec{v}_{C_4}$  бўлади, чунки звено 4 ва 5 лар ўзаро айланма кинематик жуфт ҳосил қилиди.  $\vec{v}_{C_6}$  — звено 5 йўналтирувчиси бўлган қўзғалмас нүктанинг тезлик вектори. Унинг қиймати нолга тенг.  $\vec{v}_{C_5 C_6}$  — звено 5 нинг ўз йўналтирувчисига нисбатан тезлик вектори. У звено 5 ўқ чизиги бўйлаб йўналган.

$C_4 (C_5)$  нүктанинг тезлигини аниқлаш учун, биринчи тенгламага асосан, тезликлар планидаги  $C_3$  нүктадан  $AB$  звенога, иккинчи тенгламага асосан қутб  $p$  дан звено 5 йўналтирувчисига параллел чизиклар ўтказилади. Уларнинг кесишиш нүктаси  $C_4$  ни қутб  $p$  билан туаштирувчи ( $pc_4$ ) кесма  $c_4$  нүктанинг абсолют тезлик вектори  $\vec{v}_{C_4}$  ни ифодалайди. Шунингдек,  $\vec{v}_{C_4} = \vec{v}_{C_5}$  бўлади.

Тезликлар планининг масштаби:

$$\mu_v = \frac{v_A}{(Pa)} = \frac{\omega_1(OA) \cdot \mu_l}{(pa)} = \mu_l \cdot \omega_1 = 0,01 \cdot 30 = 0,3 \frac{\text{м/с}}{\text{мм}}.$$

Етоң қирқувчи арранинг (звено 5 нинг) чизиқли тезлиги:

$$v_{C_5} = (pc_5) \cdot \mu_v = 13 \cdot 0,3 = 3,9 \text{ м/с.}$$

4. Тезланишлар планини қуришни звенолар 2 ва 3 дан иборат бўлган группадан бошлаймиз. План қуйидаги вектор тенгламалар сис-темасига асосан қурилади:

$$\begin{aligned}\vec{a}_B &= \vec{a}_A + \vec{a}_{BA}^n + \vec{a}_{BA}^\tau, \\ \vec{a}_B &= \vec{a}_{B_0} + \vec{a}_{BB_0}^k + \vec{a}_{BB_0}^\tau,\end{aligned}$$

бу ерда  $\vec{a}_A$  —  $A$  нүктанинг  $O$  нүктага нисбатан нормал тезланиш вектори (шунингдек, тўла тезланиш вектори ҳам). Унинг модуль қиймати қуйидагича аниқланади:

$$a_A = \omega_1^2 \cdot l_{OA} = 30^2 \cdot 03 = 270 \text{ м/с}^2.$$

$\vec{a}_A$  векторининг таъсир чизиги  $OA$  звенога параллел бўлиб,  $A$  нүктадан  $O$  киришга қараб йўналади,  $\vec{a}_{BA}^n$  —  $B$  нүктанинг  $A$  нүктага нисбатан нормал тезланиш вектори бўлиб, унинг модуль қиймати қуйидаги формуладан аниқланади:

$$a_{BA}^n = \frac{v_{BA}^2}{l_{AB}}.$$

Бунда  $\vec{a}_{BA}^n$  вектор  $AB$  звенога параллел жойлашиб,  $B$  нүктадан  $A$  нүктага қараб йўналади;  $\vec{a}_{BA}^\tau$  —  $B$  нүктанинг  $A$  нүктага нисбатан тангенциал тезланиш вектори бўлиб, унинг модуль қиймати  $a_{BA}^\tau = \varepsilon_2 l_{AB}$  дан

ҳисобланади.  $\epsilon_2$  — звено  $AB$  нинг бурчак тезланиши. Унинг қиймати ҳозирча маълум эмас.  $\vec{a}_{BA}^{\tau}$  векторнинг йўналиши  $AB$  звенога тик жойлашади.  $\vec{a}_{B_0}$  — қўзгалмас нуқтанинг тезланиш вектори. Унинг қиймати нолга teng (чунки ползун  $B$  нинг йўналтирувчиси ҳаракат қилмайди);  $\vec{a}_{BB_0}^k$  —  $B$  нуқтанинг  $B_0$  нуқтага (ползуннинг ўз йўналтирувчисига) нисбатан кориолис — бурилма тезланиш вектори. Ползун  $B$  нинг йўналтирувчиси айланма ҳаракат қилмаганлиги сабабли  $\vec{a}_{BB_0}^k$  нинг модуль қиймати нолга teng.  $\vec{a}_{BB_0}^r$  — ползунга тегишли  $B$  нуқтанинг йўналтирувчига тегишли  $B$  нуқтага нисбатан бўйлама (релятив) тезланиш вектори. Унинг таъсир чизиги йўналтирувчининг ўқ чизигига параллел жойлашади.

Тезланишлар планини қуришини қўйидагича бажарамиз (34- шакл, 2). Тенгламалар системасининг биринчи тенгламасига асосан танланган қутб  $\pi$  дан  $A$  нуқта тезланиш вектори  $\vec{a}_A$  ни ифодаловчи ( $\pi a$ ) кесмани  $OA$  звенога параллел равища  $A$  нуқтадан  $O$  нуқтага йўналтирган ҳолда қурамиз. ( $\pi a$ ) кесма узунлигини кривошиппининг чизма узунлиги ( $OA$ ) ga teng қилиб оламиз, яъни тезланишлар планини кривошип масштабида қурамиз. Тезланишлар масштабини ҳисоблаймиз:

$$\mu_a = \frac{a_a}{(\pi a)} = \frac{\omega^2 (OA) \cdot \mu_l}{(\pi a)} = \mu_l \cdot \omega_1^2 = 0,01 \cdot 30^2 = 9 \frac{\text{м/с}^2}{\text{мм}}$$

$a$  нуқтадан  $\vec{a}_{BA}^n$  векторнинг чизма ифодаси  $\vec{an}$  кесмани қўянимиз, унинг қиймати қўйидагича ҳисобланади:

$$an = \frac{a_{BA}^n}{\mu_a} = \frac{v_{BA}^2}{l_{AB} \cdot \mu_a} = \frac{(ba)^2 \cdot \mu_l^2 \cdot \omega_1^2}{(AB) \cdot \mu_l \cdot \mu_l \cdot \omega_1^2} = \frac{(ab)^2}{(AB)} = \frac{22^2}{108} = 4,48 \text{ мм.}$$

$n$  нуқтадан  $AB$  звенога перпендикуляр равища  $\vec{a}_{BA}^{\tau}$  нинг таъсир чизигини ўтказамиз.

Тенгламалар системасининг иккинчи тенгламаси шартига кўра қутб  $\pi$  дан  $B_0$  нуқтанинг тезланиш вектори  $\vec{a}_{B_0}$  ни қўянимиз. Унинг қиймати нолга teng бўлгани учун  $v_0$  нуқта қутб  $\pi$  да жойлашади. Шунингдек, қутб  $\pi$  да  $\vec{a}_{BB_0}^k$  тезланиш векторининг охiri бўлган  $k$  нуқта ҳам жойлашади (чунки кориолис тезланиши нолга teng).  $k$  нуқтадан, яъни  $\pi$  нуқтадан  $\vec{a}_{BB_0}^r$  тезланиш векторининг таъсир чизигини ползун  $Z$  нинг йўналтирувчисига параллел равища ўтказамиз. Унинг  $AB$  чизиқка ўтказилган перпендикуляр билан кесишиш нуқтаси  $c$  тенгламалар системасининг график усулдаги ечимини беради, яъни ( $\pi b$ ) кесма  $B$  нуқтанинг (ползун  $Z$  нинг) абсолют тезланиш вектори  $\vec{a}_B$  ни ифодалайди. Иккинчи звенога тегишли  $C_2$  нуқта тезланиш вектори  $\vec{a}_{C_2}$  нинг охiri бўлган  $c_2$  нуқтани ўхашлик қоидасига биноан аниқлаймиз:

$$(a c_2) = (a \theta) \cdot \frac{(AS_2)}{(AB)} = 22 \cdot \frac{68}{108} = 13,85 \text{ мм.}$$

Цу нүқтани қутб π билан туташтириб,  $c_2$  нүқта абсолют тезланиши вектори  $\vec{a}_{C_2}$  ни ифодаловчи ( $\pi c_2$ ) кесмани ҳосил қиласиз.

Зинолар 4 ва 5 дан ташкил топган группа учун тезланишлар плани қыйидаги вектор тенгламалар системасига асосланыб қурилади:

$$\begin{aligned}\vec{a}_{C_4} &= \vec{a}_{C_2} + \vec{a}_{C_4 C_2}^\kappa + \vec{a}_{C_4 C_2}^r, \\ \vec{a}_{C_5} &= \vec{a}_{C_0} + \vec{a}_{C_5 C_0}^\kappa + \vec{a}_{C_5 C_0}^r,\end{aligned}$$

Бұл ерда  $\vec{a}_{C_4}$  — звено 4 га тегишли  $C_4$  нүқтанинг тезланиш вектори бўлиб,  $C_4$  нүқта айни ҳолатда звено 2 га тегишли  $C_2$  нүқта билан устмаси жойлашган.  $\vec{a}_{C_2}$  — звено 2 га тегишли  $C_2$  нүқтанинг тезланиш вектори бўлиб, тезланиш планида уни ( $\pi s_2$ ) кесма ифодалайди.  $\vec{a}_{C_4 C_2}^\kappa$  — звено 4 га тегишли  $C_4$  нүқтанинг звено 2 га тегишли  $C_2$  нүқтага нисбатан нисбий Кориолис (бурилма) тезланиш векторидир. У звено 2 инд айланма ҳаракати натижасида вужудга келади. Кориолис тезланишининг модуль қиймати қыйидаги формулага асосан ҳисбланди:

$$a_{C_4 C_2}^\kappa = 2 \omega_2 \cdot v_{C_4 C_2} = 2 \cdot \frac{v_{BA}}{l_{AB}} v_{C_4 C_2}.$$

Унинг йўналишини аниқлаш учун звено 4 га тегишли  $C_4$  нүқтанинг звено 2 га тегишли  $C_2$  нүқтага нисбатан кўчирма ҳаракати натижасида ҳосил бўлувчи нисбий тезлик вектори  $\vec{v}_{C_4 C_2}$  ни звено 2 инг бурчак тезлиги йўналиши бўйича  $90^\circ$  га буриш лозим (34-шакл  $\theta$ ,  $e$ ).

$\vec{a}_{C_5 C_0}^r$  —  $C_4$  нүқтанинг  $C_2$  нүқтага (звено 2 га) нисбатан нисбий (релятив) тезланиш векторидир. У звено 2 ўқ чизиги бўйлаб йўналған бўлади  $\vec{a}_{C_5} = \vec{a}_{C_4}$  бўлади.  $\vec{a}_{C_5}^r$  — звено 5 йўналтирувчисига тегиши нисбатан нүқтанинг «тезланиш» вектори (унинг қиймати ишор тенг).  $\vec{a}_{C_5 C_0}^\kappa$  —  $C_5$  нүқтанинг  $C_0$  нүқтага нисбатан кориолис тезланиши вектори. Унинг қиймати ҳам нолга тенг (чунки звено 5 ҳаракатданмайди).  $\vec{a}_{C_5 C_0}^r$  —  $C_5$  нүқтанинг  $C_0$  нүқтага нисбатан илгариялма ҳаракати натижасида вужудга келувчи бўйлама (релятив) тезланиш вектори бўлиб, звено 5 ўқ чизиги бўйича йўналган бўлади. Тезланишлар планини қуришни қыйидаги тартибда давом эттирамиз (34-шакл,  $e$ ). Тенгламалар системасига тегишли биринчи тенгламага асосан  $\vec{a}_{C_5}^r$  векторини ифодаловчи ( $\pi c_2$ ) кесманинг  $c_2$  нүқтасидан  $\vec{a}_{C_5 C_0}^\kappa$ ,

векторни ифодаловчи ( $c_2 \kappa$ ) кесмани ўлчаб қўямиз. Унинг чизма қийматини қўйидагича ҳисоблаймиз:

$$(c_2 \kappa) = \frac{a_{C_4 C_2}}{\mu_a} = 2 \cdot \frac{v_{BA} \cdot v_{C_4 C_2}}{l_{AB} \cdot \mu_a} = 2 \cdot \frac{(ba) \cdot \mu_l \cdot \omega_1 \cdot (c_4 c_2) \cdot \mu_l \cdot \omega_1}{(AB) \cdot \mu_l \cdot \mu_l \cdot \omega_1^2} = \\ = 2 \cdot \frac{(ba)}{(AB)} (c_4 c_2) = 2 \cdot \frac{22 \cdot 20}{108} = 8,14 \text{ мм.}$$

Ифодадаги ( $ba$ ) = 22 мм, ( $c_4 c_2$ ) = 20 мм кесмалар тезлик планидан, ( $AB$ ) = 108 мм схемадан ўлчаб олинган қийматлардир. Аниқланган  $\kappa$  нуқтадан  $\vec{a}_{C_4 C_2}^r$  тезланиш векторининг таъсир чизигини звено 2 нинг ўқ чизигига параллел равишда ўтказамиз.

Тенгламалар системасининг иккинчи тенгламасига асосан, қутб  $\pi$  дан  $\vec{a}_{C_6}^r$  векторни қўямиз. Унинг қиёмати нолга тенг бўлганлиги сабабли  $c_6$  нуқта қутб  $\pi$  да жойлашади.  $c_6$  нуқтадан, демак, қутб  $\pi$  дан боштаб  $\vec{a}_{C_6 C_6}^r$  векторнинг чизма ифодасини қўямиз. Унинг ҳам қиёмати нолга тенг. Шу сабабли  $\vec{a}_{C_6 C_6}^r$  векторнинг охирини ифодаловчи  $\kappa$  нуқта ҳам қутб  $\pi$  да жойлашади,  $\kappa$  нуқтадан, яъни  $\pi$  нуқтадан  $\vec{a}_{C_6 C_6}^r$  векторнинг таъсир чизигини звено 5 ўқ чизигига параллел равишда ўтказилган  $a_{C_6 C_6}^r$ , векторнинг таъсир чизиги билан кесишиш нуқтаси  $c_4$  ( $c_5$ ) тенгламалар системасининг график усулдаги ечимини билдиради, яъни  $c_4$  ( $c_5$ ) нуқтани қутб  $\pi$  билан туташтирувчи ( $\pi s_4$ ) = ( $\pi s_5$ ) кесма  $C_4(C_5)$  нуқтанинг абсолют тезланиш вектори  $a_{C_4}^r$  ( $a_{C_5}^r$ ) ни ифодалайди.

Тезланишларнинг ҳақиқий қийматларини ҳисоблаймиз:

$$a_B = (\pi v) \cdot \mu_a = 20 \cdot 9 = 180 \text{ м/с}^2,$$

$$a_{C_2} = (\pi c_2) \cdot \mu_a = 65 \cdot 9 = 58,5 \text{ м/с}^2,$$

$$a_{BA}^r = (\pi v) \cdot \mu_a = 21 \cdot 9 = 189 \text{ м/с}^2 \text{ ва ҳоказо.}$$

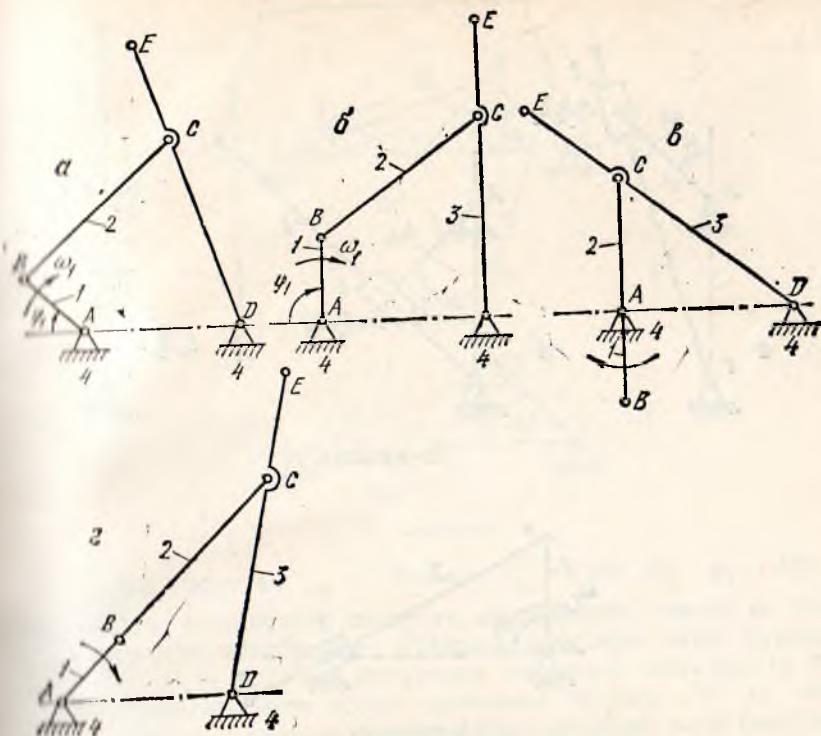
Звено 2 нинг бурчак тезланиши:

$$\epsilon_2 = \frac{a_{BA}^r}{l_{AB}} = \frac{189}{1,18} = 160,17 \text{ рад/с}^2.$$

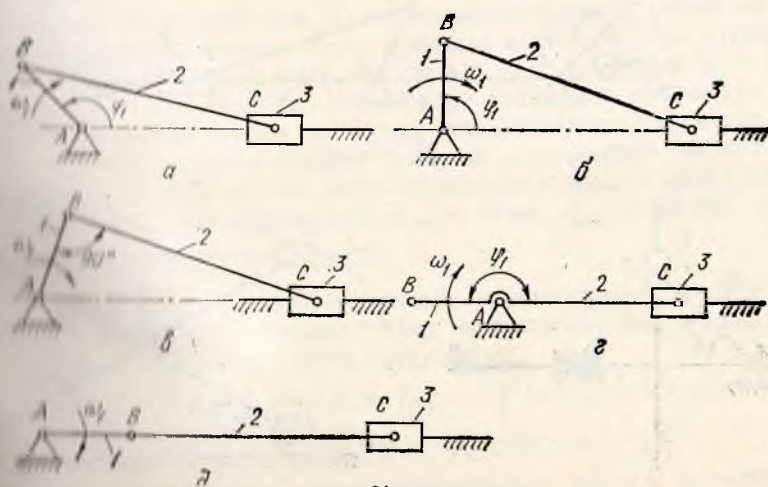
### 30 — 37- масалалар

(Масалалар механизмининг кинематик схемасини чизиш, тезликлар ва тезланишлар планларини қуриш усули билан ечилади).

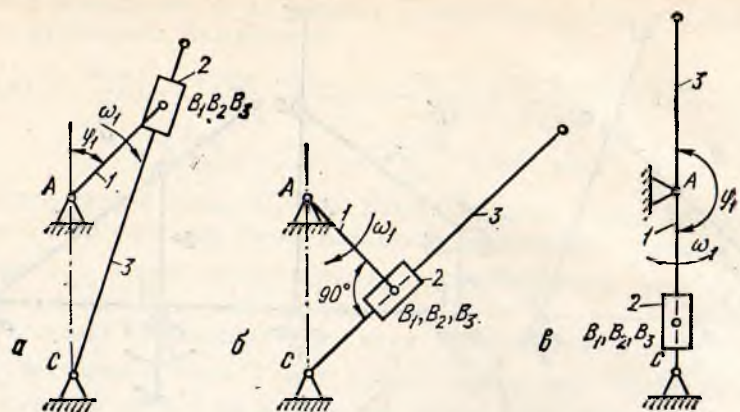
30. Қабул қилинган  $l_{AB} = 130$  мм,  $l_{BC} = l_{DC} = 250$  мм,  $l_{AD} = 200$  мм,  $l_{DE} = 375$  мм,  $\omega_1 = 50 \frac{\text{рад}}{\text{с}}$  қийматларга кўра кривошип-коромис-лоли механизмининг тезлик ва тезланишлар планлари механизмининг қўйидаги ҳолатлари учун қурилсин: а)  $\varphi_1 = 45^\circ$ , б)  $\varphi_1 = 90^\circ$ , в) коромисло 3 нинг энг четки чап ҳолати, г) коромисло 3 нинг энг четки ўнг ҳолати. Шунингдек, Е, С нуқталарнинг абсолют тезлик ва тезланишлари, звенолар 2 ва 3 нинг бурчак тезликлари ҳамда бурчак тезланишларий аниқлансин.



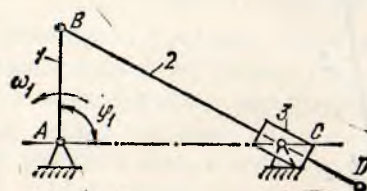
30- масалага.



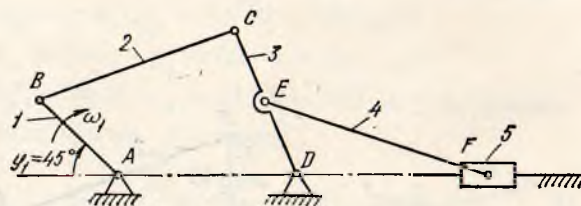
31- масалага.



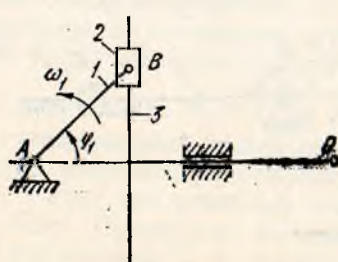
32- масалага.



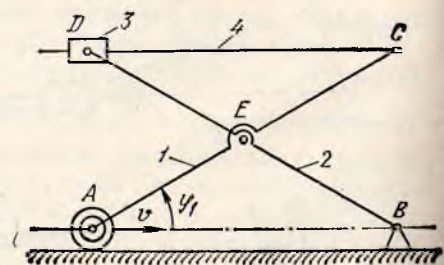
33- масалага.



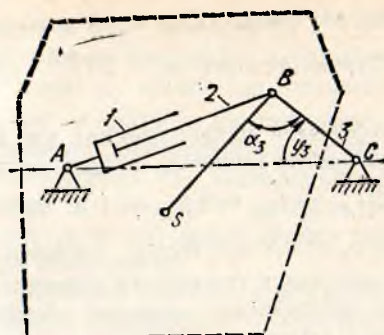
34- масалага.



35- масалага.



36- масалага.



37- масалага.

31. Қабул қилингандай  $l_{AB} = 100$  мм,  $l_{BC} = 300$  мм.  $\omega_1 = 400 \frac{\text{рад}}{\text{с}}$  қийматларга күра кривошип-ползунли механизмнинг тезлик ва тезланишлар планлари механизминг қўйидаги ҳолатлари учун қурилсин: а)  $\varphi_1 = 135^\circ$ , б)  $\varphi_1 = 90^\circ$ , в) шатуннинг юқори энг четки ҳолати (бунда ўнинг кривошип билан ҳосил қиласидаги бурчаги  $90^\circ$  га тенг), г)  $\varphi_1 = 0^\circ$  (шатун кривошипнинг давомида жойлашиб, улар бир тўғри чизигуда ётади), е)  $\varphi_1 = 180^\circ$  (шатун ва кривошип бир-бiri билан устма уст тушиб, улар бир тўғри чизиқда ётади). Шатун BC нинг бурчак тезлиги ва бурчак тезланишлари аниқлансан.

32. Берилган  $l_{AB} = 30$  мм,  $l_{AC} = 40$  мм,  $\omega_1 = 20 \frac{\text{рад}}{\text{с}}$  қийматларга кўра Интиорт механизмининг (кулисали механизминг) тезлик ва тезланишлар планлари механизминг қўйидаги ҳолатлари учун қурилсин: а)  $\varphi_1 = 45^\circ$ , б) кулиса З нинг энг четки ўнг ҳолати, в)  $\varphi_1 = 180^\circ$ . Кривошип I ва кулиса З бир-бiri билан устма-уст жойлашади. Кулиса З нинг бурчак тезлик ва бурчак тезланишлари аниқлансан.

33. Ползуни тебранма ҳаракат қилувчи кривошипли механизм D нуқтасининг абсолют тезлик ва тезланишлари қўйидаги қабул қилингандай қийматларга кўра аниқлансан:  $l_{AB} = 30$  мм;  $l_{AC} = 60$  мм;  $l_{BD} = 120$  мм;  $\varphi_1 = 150^\circ$ ;  $\omega_1 = 40 \frac{\text{рад}}{\text{с}}$ .

34. Тебринувчи конвейер механизми кореткасининг (ползун 5 га теснизи E нуқтасининг) абсолют тезлик ва тезланишлари қўйидаги қабул қилингандай қийматларга кўра аниқлансан:

$$l_{AB} = 0,8 \text{ м}; l_{BC} = 1,6 \text{ м}; l_{CD} = 1,2 \text{ м}; l_{AD} = 1,4 \text{ м};$$

$$l_{DE} = 0,6 \text{ м}; l_{EF} = 1,8 \text{ м}; \varphi_1 = 45^\circ; \omega_1 = 2 \frac{\text{рад}}{\text{с}}.$$

35. Синус механизми C нуқтасининг абсолют тезлиги ва тезланиши

қўйидаги қабул қилинган қийматларга кўра аниқлансин:  $l_{AB} = 30$  мм, кривошип  $AB$  нинг бурчак тезлиги  $\omega_1 = 20 \frac{\text{рад}}{\text{с}}$  бўлиб, ўзгармасдир,  $\varphi_1 = 45^\circ$ .

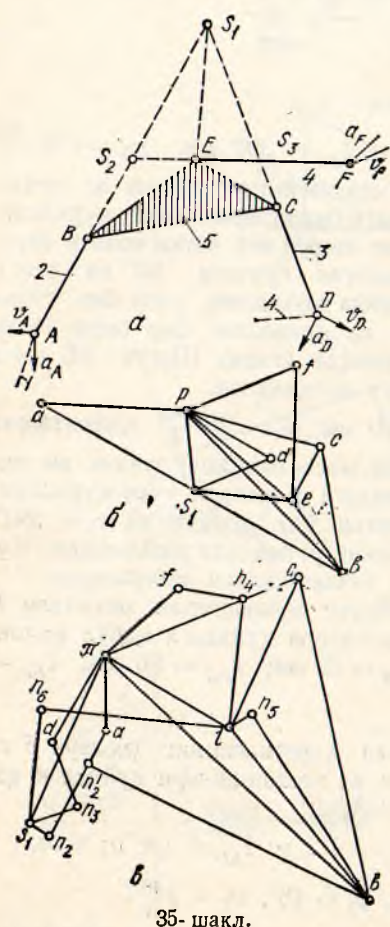
36. Кўтариш платформаси механизмининг юк кўтариш тезлиги ва тезланишини қўйидаги қабул қилинган қийматларга кўра аниқлансин:

$$l_{AC} = 2l_{AE} = l_{BD} = 2l_{BE} = 4 \text{ м}, \varphi_1 = 30^\circ.$$

$A$  нуқтанинг тезлиги  $v_A = 0,2 \text{ м/с}$  бўлиб, ўзгармасдир.

37. Пахта териш машинаси бункерини ағдариш механизми  $S$  нуқтасининг ( $S$  — бункер массасининг маркази) абсолют тезлиги ва тезланиши қўйидаги қабул қилинган қийматларга кўра аниқлансин:

$$l_{CB} = 0,5 \text{ м}; l_{BS} = 0,7 \text{ м}; l_{AC} = 1,3 \text{ м}; \varphi_3 = 40^\circ; \alpha_3 = 90^\circ.$$



Гидроцилиндр штогининг (звено 2) цилиндрга (звено 1) нисбатан нисбий тезлиги ўзгармас қиймат бўлиб,  $v_{21} = 0,1 \text{ м/с}$  га тенг.

**Масалани ечиш учун кўрсатма.**  
Механизмни кинематик текшириш қулај бўлиши учун унга эквивалент бўлган схема танлаймиз. Тезланиш планини қуриш учун тузиладиган вектор тенгламалар системаси

$$\vec{a}_{B_2} = \vec{a}_{B_1} + \vec{a}_{B_2 B_1} = \vec{a}_{B_1}^n + \vec{a}_{B_1}^\tau + \vec{a}_{B_2 B_1}^\kappa + \vec{a}_{B_2 B_1}'$$

$$\vec{a}_{B_3} = \vec{a}_C + \vec{a}_{B_3 C} = \vec{a}_C + \vec{a}_{B_3 C}^n + \vec{a}_{B_3 C}^\tau$$

даги  $\vec{a}_{B_2 B_1}' = O$  бўлади, чунки  $v_{B_2 B_1} = \text{const.}$

#### 8- §. УЧИНЧИ ҚЛАСС АССУР ГРУППАЛАРИ УЧУН ТЕЗЛИК ВА ТЕЗЛНИШ ЛАРНИ АНИҚЛАШ

III класс Ассур группалари учун звено нуқталарининг тезлик ва тезланишларини қутбий планлар қуриш йўли билан аниқлашда алоҳида нуқталардан фойдаланилади. Бундай нуқталар Ассур нуқталари дейилади.

Таркибида З томонли ёпиқ контури бўлган группа (35-шакл, а) учун тезлик ва тезланишлар планини қуришни кўриб чиқамиз (35-шакл, б, в).

Группа базис звено 5 дан ва унга  $B, C, E$  нүқталари айланма кинематик жуфтлар орқали боғланган тортқилар 2, 3, 4 дан ташкил берган. Группа звенолари  $\mu_1$  масштабда чизилган бўлиб, тортқиларни ташкун кинематик жуфтлари нүқталарниг абсолют тезлик ва абсолют тезланишларининг қийматлари ҳамда вектор йўналишлари берсанган бўлсенин. 2 ва 3 тортқи ўқ чизиқларини давом эттириб, уларни кесишиш нүқтаси  $S_1$  ни ҳосил қиласиз. Аниқланган  $S_1$  нутка меню 5 га тааллуқли деб қараб, унинг тезлик ва тезланишини иштаб илани ёрдамида аниқлаймиз.

Буниинг учун ихтиёрий танланган  $p$  нүқтага  $A, D, F$  нүқталарни тезлик масштабида ифодаланган тезлик векторларини ( $pa$ ), ( $pd$ ), ( $pf$ ) кесмалар тарзида қўямиз (35-шакл, б). Базис звено 5 га тегишини  $B, C, E$  нүқталарниг тезлик ва тезланишларини аниқлаш учун тозиб унга тегишли бўлган алоҳида нүқта  $S_1$  нинг тезлик ва тезланишини аниқлаш зарур.  $S_1$  нүқта тезлиги қўйидаги вектор тенгламалар системасидан фойдаланилган ҳолда аниқланади:

$$\begin{aligned}\vec{v}_{S_1} &= \vec{v}_B + \vec{v}_{S_1 B}, \\ \vec{v}_{S_1} &= \vec{v}_C + \vec{v}_{S_1 C}.\end{aligned}\tag{2.17}$$

$$\begin{aligned}\vec{v}_B &= \vec{v}_A + \vec{v}_{BA}, \\ \vec{v}_C &= \vec{v}_D + \vec{v}_{CD}\end{aligned}\tag{2.17'}$$

Иштабигина назарда тутиб (2.17) ва (2.17') тенгламаларни қўйидаги тарнишида умумлаштириб ёзамиш:

$$\begin{aligned}\vec{v}_{S_1} &= \vec{v}_A + \overbrace{\vec{v}_{BA} + \vec{v}_{S_1 B}} \\ \vec{v}_{S_1} &= \vec{v}_D + \vec{v}_{CD} + \vec{v}_{S_1 C}\end{aligned}\tag{2.18}$$

Иштабидан умумий чизиқ билан боғланган векторлар битта чизиқда беради, чунки  $\vec{v}_{BA}$  ва  $\vec{v}_{S_1 B}$  векторлар  $AS_1$  чизиқка,  $\vec{v}_{CD}$  ва  $\vec{v}_{S_1 C}$  векторлар  $DS_1$  чизиқка перпендикуляр йўналган. Шу сабабли уларнинг  $\vec{v}_{BA} + \vec{v}_{S_1 B}$  йигиндиси  $AS_1$  чизиқка  $\vec{v}_{CD} + \vec{v}_{S_1 C}$  вектори  $DS_1$  чизиқка перпендикулар йўналгандир.

(2.18) тенгламадан фойдаланиб, тезлик планидаги  $\vec{v}_A$  векторни ифодалоччи ( $pa$ ) кесманинг  $a$  нүқтасидан  $AS_1$  чизиқка перпендикуляр ётказамиз. Шунингдек,  $\vec{v}_D$  векторни ифодаловчи ( $pd$ ) кесманинг  $d$  нүқтасидан  $DS_1$  чизиқка перпендикуляр ўтказамиз. Уларнинг кесишувини ҳосил бўлган  $s_1$  нүқта тенглама (2.18) нинг ечимини беради, яъни ( $\mu_1$ ) кесма меню 5 га тегишли  $S_1$  нүқтанинг абсолют тезлигини ифодайдан.

$E$  нуқтанинг тезлигини аниқлаш учун чизмадаги  $S$  ва  $E$  нуқталар ўзаро тұғри чизик орқали туташтирилади ва вектор тенгламалар системаси тузылады:

$$\begin{aligned}\vec{v}_E &= \vec{v}_{S_1} + \vec{v}_{ES_1} \\ \vec{v}_E &= \vec{v}_F + \vec{v}_{EF}.\end{aligned}\quad (2.19)$$

Тенгламалар системасини ечиш учун тезлик планидаги  $s_1$  ва  $f$  нуқталардан схемадаги  $S_1E$  ва  $FE$  нурларга перпендикуляр чизиклар ұтказилади ва уларнинг кесишиш нуқтаси  $e$  тенгламалар системасининг график усулда ҳал қилинганини күрсатади, яъни ( $re$ ) —  $E$  нуқтанинг абсолют тезлик вектори  $\vec{v}_E$  ни ифодалайди (35- шакл, б). В нуқтанинг тезлиги қуйидаги вектор тенгламалар системасидан фойдаланылган ҳолда апиқланади:

$$\begin{aligned}\vec{v}_B &= \vec{v}_A + \vec{v}_{BA}, \\ \vec{v}_B &= \vec{v}_E + \vec{v}_{BE}.\end{aligned}\quad (2.20)$$

Бу тенгламалар системаси (2.19) ни ечиш учун тезлик планидаги  $\vec{v}_A$  векторини ифодаловчи ( $Pa$ ) кесманинг охирі  $a$  нуқтадан схемадағи  $AB$  чизикқа перпендикуляр ұтказилади. Шунингдек,  $\vec{v}_E$  векторини ифодаловчи ( $re$ ) кесманинг охирі  $e$  нуқтадан схемадаги  $BE$  чизикқа перпендикуляр ұтказилади. Уларнинг кесишуви натижасида ҳосил бўлган  $v$  нуқтани қутб  $r$  билан туташтириб,  $B$  нуқтанинг абсолют тезлик вектори  $\vec{v}_B$  нинг чизмадаги ифодаси ( $rv$ ) аниқланади.

$C$  нуқта тезлигини аниқлаш учун вектор тенгламалар системасидан ёки ўхшаш учбурчак қуриш усулидан фойдаланиш мумкин. Бунинг учун схемадаги учбурчак  $BE$  га тезлик планида унга ўхшаш бўлган учбурчак  $BC$  қурилади (35- шакл, б).

Алоҳида нуқталар тортқи үқлари давомининг кесишувидан ҳосил бўлиб, базис звено 5 га тегишилдири (35- шакл, а). Мисолимизда бундай нуқталар учта:  $S_1, S_2, S_3$ . Чизма чизишда қайси нуқта қулай бўлса, ўшанисидан фойдаланиш мумкин.

2. III класс Ассур группаси учун тезланышлар планини қуриш ҳам юқоридағидек, алоҳида нуқталардан фойдаланилган ҳолда бажарилади. Тезлик планини қуришда фойдаланилган алоҳида нуқта  $S_1$  дан тезланыш планини кўришда ҳам фойдаланамиз.

Тезланыш планини қуриш учун иктиёрий танлаб олинган қутб  $\pi$  га  $A, D, F$  нуқталарнинг тезланыш векторлари  $\vec{a}_A, \vec{a}_D, \vec{a}_F$  ларни ( $\pi a$ ), ( $\pi d$ ), ( $\pi f$ ) кесмалар тарзида қўямиз (35- шакл, в).

$S_1$  нуқта тезланishi қуйидаги вектор тенгламалар системасидан аниқланади:

$$\begin{aligned}\vec{a}_{S_1} &= \vec{a}_A + \vec{a}_{BA} + \vec{a}_{S_1B}, \\ \vec{a}_{S_1} &= \vec{a}_D + \vec{a}_{CD} + \vec{a}_{S_1C}.\end{aligned}\quad (2.21)$$

Төзланишларни нормал ва тангенциал ташкил этувчиларга ажратында тенгламалар системаси (2.21) ни қойидағи қүрини шағында мумкин:

$$\vec{a}_{S_1} = \vec{a}_A + \overrightarrow{\vec{a}_{BA} + \vec{a}_{S_1B} + \vec{a}_{BA}^\tau + \vec{a}_{S_1B}^\tau} = \vec{a}_A + \vec{a}_{S_1A}^n + \vec{a}_{S_1A}^\tau,$$

$$\vec{a}_{S_1} = \vec{a}_D + \overrightarrow{\vec{a}_{CD} + \vec{a}_{S_1C} + \vec{a}_{CD}^\tau + \vec{a}_{S_1C}^\tau} = \vec{a}_D + \vec{a}_{S_1D}^n + \vec{a}_{S_1D}^\tau.$$

Тенгламалар системасидеги  $\vec{a}_{S_1A}^n$ ,  $\vec{a}_{S_1D}^n$  ҳамда  $\vec{a}_{S_1A}^\tau$ ,  $\vec{a}_{S_1D}^\tau$  векторлар үтікшілдіктерінің векторлардир. Чунки уларнинг ҳар бири таркибиға кирадыган үтікшілдіктерінің ифодасы  $(\pi a)$  кесма охирі  $a$  нүктеге  $\vec{a}_{S_1A}^n = \vec{a}_{BA}^n + \vec{a}_{S_1B}^n$  векторнинг чизма ифодасы  $(an_2) = (an_2^1) + (n_2^1 n_2)$  кесманды  $AS_1$  үтікшілдік параллел равишида  $S_1$  дан  $A$  га томонға йұналишда құйылады:

$$a_{BA}^n = \frac{v_{BA}^2}{l_{AB}}; a_{S_1B}^n = \frac{v_{S_1B}^2}{l_{S_1B}}; a_{CD}^n = \frac{v_{CD}^2}{l_{CD}}; a_{S_1C}^n = \frac{v_{S_1C}^2}{l_{S_1C}}.$$

Төзланиш планица  $S_1$  нүктесінде төзланишини аниқлаш үчүн  $\vec{a}_A$  векторының ифодаловчи ( $\pi a$ ) кесма охирі  $a$  нүктеге  $\vec{a}_{S_1A}^\tau = \vec{a}_{BA}^\tau + \vec{a}_{S_1B}^\tau$  векторнинг чизма ифодасы  $(an_2) = (an_2^1) + (n_2^1 n_2)$  кесманды  $AS_1$  үтікшілдік параллел равишида  $S_1$  дан  $A$  га томонға йұналишда құйылады.

Сүнгра  $\vec{a}_D$  векторының ифодаловчи ( $\pi d$ ) кесманды  $d$  нүктеден  $\vec{a}_{S_1D}^\tau = \vec{a}_{S_1C}^\tau + \vec{a}_{CD}^\tau$  векторнинг чизма ифодасы  $(dn_3) = (dn_3) + (n_3^1 n_3)$  кесманды  $DS_1$  үтікшілдік параллел равишида  $S_1$  дан  $D$  томонға йұналишда үтікшілдік құйылады. Белгиланған  $n_3$  нүктадан натижаловчи тангенциал төзланишлар векторлары  $\vec{a}_{S_1A}^\tau = \vec{a}_{BA}^\tau + \vec{a}_{S_1B}^\tau$  нинг таъсир чизмасы  $AS$  га перпендикуляр қилиб үтказылады. Сүнгра  $\vec{a}_{S_1D}^\tau = \vec{a}_{S_1C}^\tau + \vec{a}_{CD}^\tau$  нинг таъсир чизмасы  $n_3$  нүктадан  $DS_1$  үтікшілдік параллел равишида үтікшілдік қилиб үтказылады. Үтказылған перпендикуляр үтікшілдернинг үзаро кесишиш нүктасы  $s_1$  ин қутб  $\pi$  билан туташтирувчи кесма ( $\pi s_1$ )  $s_1$  нүктесінде төзланишини билдиради.  $E$  нүктесінде төзланишини аниқлаш үшүн қойидағи вектор тенгламалар системасидан фойдаланаңыз:

$$\vec{a}_E = \vec{a}_{S_1} + \vec{a}_{ES_1}^n + \vec{a}_{ES_1}^\tau,$$

$$\vec{a}_E = \vec{a}_F + \vec{a}_{EF}^n + \vec{a}_{EF}^\tau.$$

Ва  $\vec{a}_{EF}^n$  нормал төзланиш векторларининг масштабдагы чизма ифодасы булаган ( $s_1 n_6$ ) ва ( $f n_4$ ) кесмалар төзланиш планица  $s_1$  ва  $f$  нүктесінде үтікшілдік қүйілады. ( $s_1 n_6$ ) кесма  $ES_1$  нурға параллел вә  $E$  нүктесінде  $s_1$  нүкта томонға йұналған бүләді. Шунингдек, ( $f n_4$ ) кесма  $EF$  үтікшілдік параллел бүләді,  $E$  нүктадан  $F$  нүкта томонға йұналған бүләді.

Учинчи класс механизмларининг кинематикасини текширишда Ассур нуқталаридан ёки бошқача айтганда алоҳида нуқталардан фойдаланиш лозимлигини юқорида кўриб ўтган эдик. Группада базис звено 3 га тегишли бўлган алоҳида нуқталар сони 3 та. Уларни қўйидагича аниқлаймиз (36-шакл, б).  $S_1$  нуқта звено  $DC$  ўқ чизиги билан  $E$  нуқтадан ўтувчи ползун йўналтирувчисига ўтказилган тик чизиқнинг кесишувидан ҳосил бўлади.  $S_2$  нуқта звенолар 2 ва 5 нинг айланма кинематик жуфтларига тегишли бўлган  $B$  ва  $E$  нуқталардан ўтувчи ҳамда шу звеноларнинг йўналтирувчиларига тик бўлган чизиқларнинг кесишувидан ҳосил бўлади.  $S_3$  нуқта  $B$  нуқтадан ўтувчи ва звено 2 нинг йўналтирувчисига тик бўлган чизиқ билан звено  $DC$  ўқ чизигининг кесишувидан ҳосил бўлади.

Механизмнинг кинематикасини текширишда биз ўзимиз учун қулай деб хисоблайдиган исталган алоҳида нуқтадан фойдаланишимиз мумкин. Мисолимизда  $S_3$  нуқтадан фойдаланамиз.

$S_1$  нуқтанинг тезлиги қўйидаги вектор тенгламалардан фойдаланилган ҳолда аниқланади:

$$\begin{aligned}\vec{v}_{S_3} &= \vec{v}_{B_3} + \vec{v}_{S_3B_3} = \vec{v}_{B_3} + \overbrace{\vec{v}_{B_3B_2}} + \overbrace{\vec{v}_{S_3B_2}} \\ \vec{v}_{S_3} &= \vec{v}_C + \vec{v}_{S_3C} = \vec{v}_D + \overbrace{\vec{v}_{CD}} + \overbrace{\vec{v}_{S_3C}}\end{aligned}$$

бу ерда  $\vec{v}_{B_3} = \vec{v}_{B_1}$  (чунки 1 ва 2 звенолар ўзаро айланма кинематик жуфт орқали боғланган дирлар);  $\vec{v}_{B_3B_2}$  — кулиса 3 га тегишли  $B_3$  нуқтанинг тош 2 га тегишли  $B_2$  нуқтага нисбатан нисбий (бўйлама) тезлик вектори бўлиб, у звено 3 ўқи бўйича йўналган.  $\vec{v}_{S_3B_2}$  — звено 3 га тегишли бўлган  $S_3$  нуқтанинг шу звенога тегишли  $B_3$  нуқтага нисбатан нисбий тезлик вектори бўлиб  $B_3 S_3$  нурга тик, яъни кулиса 3 ўқига параллел равишда йўналган.  $\vec{v}_D = 0$  бўлиб, қутбда ётади.  $\vec{v}_{CD}$  —  $C$  нуқтанинг айланиш ўқидаги  $D$  нуқтага нисбатан нисбий тезлик вектори бўлиб, звено  $CD$  га тик равишда йўналган бўлади.  $\vec{v}_{S_3C} = S_3$  нуқтанинг  $C$  нуқтага нисбатан нисбий тезлиги бўлиб  $S_3 C$  нурга тик жойлашади.

Тенгламалар системасидаги тепасидан умумий вектор чизиги орқали боғланган тезлик векторлари битта чизиқда ётади, яъни  $\vec{v}_{B_3B_2}$  ва  $\vec{v}_{S_3B_2}$  векторлар звено 3 ўқ чизигига параллел жойлашади.  $\vec{v}_{CD}$  ва  $\vec{v}_{S_3C}$  векторлар эса  $S_3 C$  нурга перпендикуляр йўналган чизиқда ётади.

Тезлик планидаги  $S_3$  нуқтанинг ҳолатини аниқлаш учун тенгламалар системасининг биринчи тенгламасига кўра  $\vec{v}_{B_3}$  векторни ифодаловчи ( $rv_2$ ) кесманинг охри  $v_2$  нуқтадан звено 3 га параллел чизиқ ўтказилади. Иккинчи тенглама шартига кўра,  $\vec{v}_D$  векторни ифодаловчи кутб  $r$ дан кинематик схемадаги  $S_3 C$  нурга тик чизиқ ўтказилади. Ўтказилган чизиқларнинг кесишиш нуқтаси  $S_3$  ни қутб  $\pi$  билан туташти-

риш натижасида ҳосил бўлган ( $ps_3$ ) кесма  $S_3$  нуқтанинг абсолют тезлик вектори  $\vec{v}_{S_3}$  ни ифодалайди.

$E_5$  нуқтанинг тезлигини аниқлаш учун вектор тенгламалар системасини тузамиз:

$$\vec{v}_{E_5} = \vec{v}_{S_3} + \vec{v}_{E_5 S_3},$$

$$\vec{v}_{E_5} = \vec{v}_{E_5} + \vec{v}_{E_5 E_5},$$

бу ерда  $\vec{v}_{E_5 S_3} — E_5$  нуқтанинг  $S_3$  нуқтага нисбатан нисбий тезлик вектори бўлиб,  $E_5 S_3$  нурга тик жойлашади;  $\vec{v}_{E_5}$  қўзғалмас нуқтанинг «тезлик» вектори бўлиб, қутбда жойлашади;  $\vec{v}_{E_5 E_5}$  — звено 5 нинг қўзғалмас звено 6 га нисбатан нисбий тезлик вектори бўлиб,  $x — x$  чизиги бўйлаб йўналган бўлади.

$E_5$  нуқтанинг тезлигини аниқлаш учун тезлик планидаги  $s_3$  нуқтадан, тенгламалар системасининг биринчи тенгламаси шартига кўра, кинематик схемадаги  $S_3 E$  тўғри чизиқка, тенгламалар системасининг иккинчи тенгламаси шартига кўра  $\rho$  қутбдан  $x — x$  йўналтирувчига параллел чизиқ ўтказилади. Ўтказилган чизиқларнинг кесишиш нуқтаси  $e$  нуқта  $E$  нинг тезлигини аниқлайди.

$B_3$  нуқтанинг тезлигини аниқлаш учун вектор тенгламалар системаси қўйидагича ёзилади:

$$\vec{v}_{B_3} = \vec{v}_E + \vec{v}_{B_3 E},$$

$$\vec{v}_{B_3} = \vec{v}_{B_3} + \vec{v}_{B_3 B_3},$$

бу ерда  $\vec{v}_{B_3 E}$  нисбий тезлик вектори звено 3 га тик йўналган бўлиб,

$\vec{v}_{B_3 B_3}$  нисбий тезлик вектори звено 3 бўйлаб жойлашади. Тезлик планида  $B$  нуқтанинг тезлигини аниқлаш учун, тенгламалар системасига асосан, тезлик планидаги  $e$  нуқтадан звено 3 га перпендикуляр чизиқ ва  $v_2$  нуқтадан звено 3 га параллел чизиқ ўтказамиз. Уларнинг кесишиш нуқтаси  $v_3$  ни қутб билан туташтирувчи ( $pv_3$ ) кесма  $B_3$  нуқтанинг абсолют тезлик вектори  $\vec{v}_{B_3}$  ни ифодалайди.

$C$  нуқтанинг тезлигини аниқлаш учун вектор тенгламалар системаси қўйидагича ёзилади:

$$\vec{v}_C = \vec{v}_E + \vec{v}_{CE},$$

$$\vec{v}_C = \vec{v}_D + \vec{v}_{CD}.$$

Тенглама ечимини ҳосил қилиш учун тезлик планидан аниқланган  $l$  нуқтадан  $\vec{v}_{CE}$  вектор таъсир чизигини, яъни звено 3 ўқига перпендикуляр ўтказилади.  $\vec{v}_D = 0$  бўлганилиги сабабли, иккинчи тенгламага кўра, қутб  $\rho$  дан звено 4 га тик чизиқ ўтказилади. Ўтказилган чизиқларнинг кесишиш нуқтаси  $c$  тенгламалар системасининг ечимини белгилайди.

Хақиқий тезліктарни анықлаш үчүн тезлик планидаги кесмалар тезлик масштабига күпайтирилады:

$$v_E = (pe) \cdot \mu_v = 34.0, 12 = 4, 56 \text{ м/с};$$

$$v_{B_3 B_2} = (e_3 e_2) \cdot \mu_v = 21.0, 12 = 2, 52 \text{ м/с};$$

$$v_C = (pc) \cdot \mu_v = 12.0, 12 = 1, 44 \text{ м/с};$$

$$v_{EC} = (ec) \cdot \mu_v = 42.0, 12 = 5, 04 \text{ м/с}.$$

Звенолар 2 ва 3 нинг бурчак тезліктері:

$$\omega_2 = \omega_3 = \frac{v_{EC}}{l_{EC}} = \frac{5,04}{0,525} = 9,6 \frac{\text{рад}}{\text{с}}.$$

Звено 4 нинг бурчак тезлигі:

$$\omega_4 = \frac{v_C}{l_{CD}} = \frac{1,44}{0,175} = 8,23 \frac{\text{рад}}{\text{с}}.$$

4. Механизмнің тезләнешлар планини қурама. Кривошип ұзармас бурчак тезлік билан ҳаракатланади деб қараймиз.

Ү қолда  $B_1$  нүктаның тезләнеші нормал тезләнешдан иборат бўлади:

$$a_{B_1} = a_{BA}^n = \omega_{AB} \cdot l_{AB} = (41, 86)^2 \cdot 0, 1 = 175, 2 \text{ м/с}^2.$$

$B_1$  нүкта тезләнеш вектори  $a_{B_1}$  ни танланган тезләнешлар қутби  $\pi$  нүктадан бошлаб ( $\pi e_1$ ) = 40 мм кесма тарзда кривошипга параллел равишда ҳамда унинг  $B$  нүктасидан айланыш маркази  $A$  га қараб йўз налтирган қолда қурамиз. Шунингдек,  $\vec{a}_{B_1} = \vec{a}_{B_1}$  бўлади (36-шакл, 2).

Тезләнеш масштаби:

$$\mu_a = \frac{a_{B_1}}{(\pi e_1)} = \frac{175 \text{ м/с}^2}{40 \text{ мм}} = 4,38 \frac{\text{м/с}^2}{\text{мм}}.$$

Алоҳида нүкта  $s_3$  нинг тезләнешини анықлаш үчүн вектор тенгламалар системаси тузилади:

$$\vec{a}_{S_3} = \vec{a}_{B_3} + \vec{a}_{S_3 B_3} = \vec{a}_{B_3} + \vec{a}_{B_3 B_2} + \vec{a}_{S_3 B_2},$$

$$\vec{a}_{S_3} = \vec{a}_{C_3} + \vec{a}_{S_3 C_3} = \vec{a}_D + \vec{a}_{C_3 D} + \vec{a}_{S_3 C}.$$

Тезләнешларни ташкил этувчи лагер ажратган қолда ҳаддарни группалаб, тенгламалар системасини қайта ёзамиш:

$$\vec{a}_{S_3} = \vec{a}_{B_3} + \overbrace{\vec{a}_{B_3 B_2} + \vec{a}_{S_3 B_2}}^{\vec{a}_{S_3 B_3}} + \overbrace{\vec{a}_{B_3 B_2} + \vec{a}_{S_3 B_2}}^{\vec{a}_{B_3 B_2}} + \vec{a}_{S_3 B_2},$$

$$\vec{a}_{S_3} = \vec{a}_D + \overbrace{\vec{a}_{CD} + \vec{a}_{S_3 C}}^{\vec{a}_{S_3 C}} + \overbrace{\vec{a}_{CD} + \vec{a}_{S_3 C}}^{\vec{a}_{CD}}.$$

Бу ерда  $\vec{a}_{B_3 B_2}^{\kappa}$  — Кориолис тезләнеш вектори.  $\vec{a}_{S_3 B_3}^n$  —  $s_3$  нүктаның  $B_3$  нүкта атрофида айланма ҳаракати натижасыда ҳосил бўлувчи нормал тезләнеш вектори;  $\vec{a}_{CD}^n$  —  $C$  нүктаның қўзғалмас  $D$  нүкта атрофида ай-

ланиши натижасида ҳосил бўладиган нормал тезланиш вектори;  $\overset{\rightarrow}{a}_{S_3C}$  —  $S_3$  нуқтанинг  $C$  нуқта атрофида айланиши натижасида ҳосил бўладиган нормал тезланиш вектори. Уларнинг чизма қийматларини аниқлаймиз. Кориолис тезланишининг чизма қиймати:

$$(\overset{\rightarrow}{a}_{B_2K}) = \frac{a_{B_3B_2}^{\kappa}}{\mu_a} = \frac{2 \cdot \omega_3 \cdot v_{B_3B_2}}{\mu_a} = \frac{2.9, 6.2, 52}{4, 38} = 11 \text{ мм.}$$

$a_{S_3B_3}^n$  — тезланишнинг чизма узунлиги:

$$(Kn_2) = \frac{a_{S_3B_3}^n}{\mu_a} = \frac{v_{S_3B_3}^2}{l_{S_3B_3} \cdot \mu_a} = \frac{(S_3B_3) \cdot \mu_v)^2}{(S_3B_3) \cdot \mu_e \cdot \mu_a} = \frac{(22,5 \cdot 0,12)^2}{57 \cdot 0,005 \cdot 4,38} = 5,84 \text{ мм.}$$

Бу ерда  $(S_3B_3) = 22,5$  мм кесма тезлик планидан ўлчаб олинган нисбий тезликнинг чизма ифодаси;  $(S_3B_3) = 57$  мм — кинематик схемадан ўлчаб олинган  $S_3$  ва  $B_3$  нуқталар орасидаги масофа.

Кориолис ва нормал тезланиш векторлари бир томонга йўналган. Уларнинг йиғинди қиймати:

$$(a_{B_2n_2}) = (a_{B_2K}) + (Kn_2) = 11 + 5,84 = 16,84 \text{ мм.}$$

С нуқтанинг  $D$  нуқтага нисбатан нормал тезланишининг чизмадаги ифодаси қуйидаги қийматга тенг:

$$\pi n_4 = \frac{a_{CD}^n}{\mu_a} = \frac{v_{CD}^2}{l_{CD} \cdot \mu_a} = \frac{((pc) \cdot \mu_v)^2}{l_{CD} \cdot \mu_a} = \frac{(12 \cdot 0,12)^2}{0,175 \cdot 4,38} = 2,7 \text{ мм.}$$

$S_3$  нуқтанинг  $C$  нуқтага нисбатан нисбий нормал тезланишининг чизмадаги ифодасини аниқлаймиз:

$$(n_4 n_4^1) = \frac{a_{S_3C}^n}{\mu_a} = \frac{v_{S_3C}^2}{l_{S_3C} \cdot \mu_a} = \frac{((S_3C) \cdot \mu_v)^2}{(S_3C) \cdot \mu_e \cdot \mu_a} = \frac{(35 \cdot 0,12)^2}{90 \cdot 0,005 \cdot 4,38} = 8,9 \text{ мм.}$$

Юқоридаги формуулалардаги кесмалар узунлиги  $(pc) = 12$  мм,  $(S_3C) = 35$  мм бўлиб, улар тезлик планидан ўлчаб олинган қийматлардир.  $(S_3C) = 90$  мм кинематик схемадан ўлчаб олинган  $S_3$  ва  $C$  нуқталар орасидаги масофа.

$\overset{\rightarrow}{a}_{CD}^n$  вектор  $C$  дан  $D$  га қараб,  $\overset{\rightarrow}{a}_{S_3C}^n$  вектор  $S_3$  дан  $C$  га қараб йўналган бўлади. Уларнинг натижаловчиси  $\overset{\rightarrow}{a}_{CD}^n + \overset{\rightarrow}{a}_{S_3C}^n$  йиғинди векторнинг модули эса ташкил этувчи векторлар чизма ифодаларининг айирмасидан аниқланади:

$$(\pi n_4^1) = (n_4 n_4^1) - (\pi n_4) = 8,9 - 2,7 = 6,2 \text{ мм.}$$

$S_3$  нуқтанинг тезланишини аниқлаш учун:

а) тенгламалар системасининг биринчи тенгламаси шартига кўра

$\overset{\rightarrow}{a}_{B_3B_2} + \overset{\rightarrow}{a}_{S_3B_3}$  йиғинди векторнинг чизма ифодаси  $a_{B_2n_2} = 16,84$  мм кесмани тезланишлар планидаги  $a_{B_2}$  нуқтадан (36 = шакл, 2) кинематик схемадаги  $S_3B_{2a}$  (36 = шакл, 6) параллел ва  $S_3$  дан  $B$  томонга йўналган тарзда ўлчаб қўямиз. Кесма охири  $n_2$  нуқтадан  $\overset{\rightarrow}{a}_{B_3B_2} + \overset{\rightarrow}{a}_{S_3B_3}$  йи-

Ғипди векторнинг таъсир чизигини — звено 3 га параллел бўлган чизиқни ўтказамиш;

б) тенгламалар системасининг иккинчи тенгламаси шартига кўра

$\overset{\rightarrow n}{a_{CD}} + \overset{\rightarrow n}{a_{S_3C}}$  йиғинди векторининг чизма ифодаси ( $\pi n'$ ) = 6,2 мм кесмани қутб  $\pi$  дан схемадаги  $S_3C$  га параллел ҳамда  $S_3$  дан  $C$  га йўналган

тарзда ўлчаб қўямиз. Кесма охири  $n'_4$  нуқтадан  $\overset{\rightarrow n}{a_{CD}} + \overset{\rightarrow n}{a_{S_3C}}$  векторнинг таъсир чизигини звено 4 га тик равишида ўтказамиш. Ўтказилган чизиқларнинг кесишиши нуқтаси  $S_3$  ни қутб  $\pi$  билан туташтирувчи ( $\pi s_3$ ) кесма  $a_{S_3}$  векторни ифодалайди.

Е нуқтанинг тезланишини аниқлаш учун вектор тенгламалар системасини тузамиш:

$$\begin{aligned}\overset{\rightarrow}{a_{E_b}} &= \overset{\rightarrow}{a_{S_3}} + \overset{\rightarrow n}{a_{E_b S_3}} + \overset{\rightarrow r}{a_{E_b S_3}}, \\ \overset{\rightarrow}{a_{E_b}} &= \overset{\rightarrow}{a_{E_b}} + \overset{\rightarrow r}{a_{E_b E_b}}.\end{aligned}$$

бу ерда  $\overset{\rightarrow n}{a_{E_b S_3}}$  — ползун 5 нинг кулисага тегишли  $S_3$  нуқтага нисбатан нисбий тезланиш векторининг нормал ташкил этувчиси бўлиб,  $\overset{\rightarrow r}{a_{E_b S_3}}$  унинг тангенцијал ташкил этувчисидир;  $\overset{\rightarrow r}{a_{E_b}}$  — қўзғалмас нуқтанинг «тезланиши» вектори;  $\overset{\rightarrow r}{a_{E_b E_b}}$  — ползун 5 нинг бўйлама (релятив) тезланиши вектори  $a_{E_b S_3}^n$ . Тезланиш векторининг чизма қиймати:

$$(s_3 n_3^1) = \frac{a_{E_b S_3}^n}{\mu_a} = \frac{v_{ES}^2}{l_{ES} \cdot \mu_a} = \frac{(s_3 e)^2 \cdot \mu^2 v}{(E s_3) \cdot \mu_e \cdot \mu_a} = 6,94 \text{ мм.}$$

Бу ерда ( $S_3 e$ ) — тезликлар планидан ўлчаб олинган нисбий тезликнинг чизма ифодаси; ( $E s_3$ ) — кинематик схемадан ўлчаб олинган  $E$  ва  $S_3$  нуқталар орасидаги масофа.

Тенгламалар системасини график ҳал қилиш учун тезланишлар планидаги (36 - шакл, г)  $s_3$  нуқтадан  $\overset{\rightarrow n}{a_{E_b S_3}}$  тезланишнинг чизма қиймати ( $s_3 n_3^1$ ) = 6,94 мм кесмани кинематик схемадаги  $ES_3$  чизигига параллел равишида  $E$  дан  $S_3$  га йўналган ҳолатда қурамиз. Сўнгра  $n_3^1$  нуқтадан  $\overset{\rightarrow}{a_{E_b}}$ , тангенцијал вектор таъсир чизигини  $ES_3$  чизигига тик равишида ўтказамиш. Тенгламалар системасининг иккинчи тенгламаси шартига кўра қутб  $\pi$  дан  $x - x$  йўналтирувчига параллел чизиқ ўтказамиш. Ўтказилган чизиқларнинг ўзаро кесишиши нуқтаси  $e$  тенгламалар системасининг ечимини белгилайди.

С нуқта тезланишини аниқлаш учун ўхшаш учбурчак қуриш усулидан фойдаланамиш. Буният учун кинематик схемадаги  $S_3 EC$  учбурчакка айнан ўхшаш бўлган учбурчак тезланишлар планида ҳам қурилади. 36- шакл, г га кўра  $\Delta S_3 EC \sim \Delta s_3 ec$ . З звенога тегишли  $B_3$  нуқта тезланиши пропорционал кесмалар усулидан фойдаланиб аниқланади:

$$(cB_3) = (ce) \cdot \frac{(CB_3)}{(CE)} = 61 \cdot \frac{69}{105} = 40 \text{ мм.}$$

Бу ерда (*ce*) тезланишлар планидан, (*CB<sub>3</sub>*), (*CE*) кинематик схемадан ўлчаб олинган кесмаларнинг узунликларини ифодалайди.

Тезланишлар планидаги *B<sub>3</sub>* нуқтанинг тезланиш векторини аниқлашынчай үндаги (*ce*) кесманинг *c* нуқтасидан бошлаб (*cb<sub>3</sub>*) = 40 мм кесмани ўлчаб қўянимиз ва *b<sub>3</sub>* нуқтанинг ўрнини белгилаймиз. *b<sub>3</sub>* нуқтанинг ўрнини белгилаймиз. *b<sub>3</sub>* нуқтанинг ўрнини белгилаймиз. *b<sub>3</sub>* нуқтанинг ўрнини белгилаймиз.

Ўхшаш учбурчаклар қуриш усули билан аниқланган нуқталарнинг абсолют тезланишларини звено бўйича ва унга тик йўналган ташкил этиувчиларга ажратиш орқали нисбий нормал ва нисбий тангенциал тезланишлар векторларини ҳосил қиласиз.

*C* нуқтанинг *E* нуқтага нисбатан тезланишини нормал ва тангенциал ташкил этиувчиларга ажратиш учун *e* нуқтадан звено *3* га параллел, *C* нуқтадан звено *3* га перпендикуляр чизиқлар ўтказилади. Уларнинг кесишиш нуқтаси *n<sub>3</sub>* ташкил этиувчи векторлар узунлигини белгилайди. Худди шу усул билан *4* звено *C* нуқтасининг нормал ва тангенциал тезланишларининг чизма ифодалари (*n<sub>4c</sub>*) ва (*n<sub>4c</sub>*) ларни ҳосил қиласиз.

Тезланишларнинг ҳақиқий қийматларини аниқлайдимиз:

$$\begin{aligned} a_c &= (\pi c) \cdot \mu_a = 26 \cdot 4,38 = 113,88 \text{ м/с}^2; \\ a_E &= (\pi e) \cdot \mu_a = 41 \cdot 4,38 = 179,58 \text{ м/с}^2; \\ a_{B_3} &= (\pi b_3) \cdot \mu_a = 23 \cdot 4,38 = 100,74 \text{ м/с}^2. \end{aligned}$$

*3* звено *C* нуқтасининг *E* нуқтага нисбатан нисбий тангенциал тезланиши:

$$a_{CE}^t = (n_3c) \cdot \mu_a = 60 \cdot 4,38 = 262,8 \text{ м/с}^2.$$

*4* звено *C* нуқтасининг тангенциал тезланиши:

$$a_{CD}^t = (n_4c) \cdot \mu_a = 27 \cdot 4,38 = 118,26 \text{ м/с}^2.$$

Звеноларнинг бурчак тезланишлари:

$$\varepsilon_3 = \frac{a_{CE}^t}{l_{CE}} = \frac{262,8}{0,525} = 500,57 \frac{\text{рад}}{\text{с}^2};$$

$$\varepsilon_4 = \frac{a_{CD}^t}{l_{DC}} = \frac{118,26}{0,175} = 675,77 \frac{\text{рад}}{\text{с}^2}.$$

Звенолар бурчак тезланишларининг йўналиши шу звеноларга тегишли нуқталарнинг ўзаро нисбий тангенциал тезланиш векторлари йўналишларига кўра аниқланади. Кинематик схемага кўра (36- шакл, б) звено *3* ва звено *4* ларнинг бурчак тезлеклари йўналиши уларнинг бурчак тезланишлари йўналишларига қарама-қаршидир. Демак, механизминг тасвирланган ҳолатида *3* ва *4*-звено *лар* (2- звено ҳам) секинланувчан бурчак тезлик билан ҳаракат қиласиз.

## 3-боб. ҚУЛАЧОҚЛИ МЕХАНИЗМЛарНИ КИНЕМАТИК ТЕКШИРИШ

### 1-§. КИНЕМАТИК ТЕКШИРИШ УСУЛЛАРИ. АЛМАШТИРУВЧИ МЕХАНИЗМЛарНИ ҲОСИЛ ҚИЛИШ

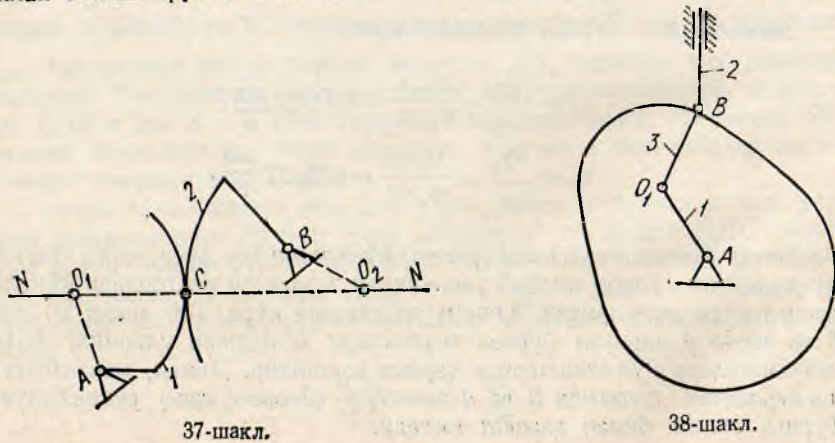
1. Қулачокли механизмларни кинематик текширишда график, графоаналитик, аналитик усуллардан фойдаланилади.

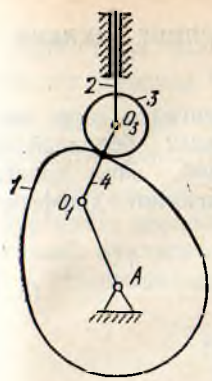
График усулдан фойдаланилганда кулачокнинг кинематик схемасига кўра туртқичнинг ҳаракат диаграммалари ҳосил қилиниб, унинг ҳолати, тезлик ва тезланишлари қийматлари аниқланади.

Туртқининг тезлик ва тезланишларини қутбий тезлик ва қутбий тезланишлар планларини қуриб аниқлаш графоаналитик усул дейиласди. Қулачокли механизмни графоаналитик усул билан текширишда унинг ҳақиқий ёки алмаштирувчи механизмнинг кинематик схемасидан фойдаланилади. Алмаштирувчи механизм ҳақиқий механизмга эквивалент бўлиб, унинг кинематик схемасидан фойдаланиб аниқланадиган тезлик ва тезланиш қийматлари ҳақиқий кинематик схемага кўра аниқланадиган тезлик ва тезланишлар қийматларига teng бўлади.

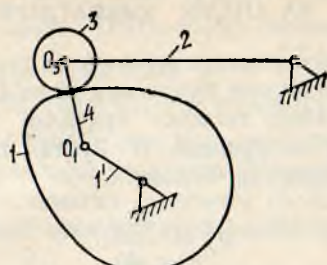
Ҳақиқий механизмни звенолари ўзаро фақат қуви кинематик жуфтлар орқали боғланган алмаштирувчи механизмга айлантирилса, кинематик текшириш усули маълум даражада енгиллашади.

2. Алмаштирувчи механизм ҳосил қилиш усули билан танишиб чиқамиз: 1) механизмнинг ўзаро олий кинематик жуфт орқали боғланган звенолари иҳтиёрий шаклдаги эгри чизиқлар бўлсин (37-шакл). Уларнинг ўзаро уриниш нуқтаси  $C$  га умумий нормал  $N - N$  ўтказилиди ва унда ҳар бир звенога тегишли эгри сирт  $C$  нуқтасининг эгрилик марказлари  $O_1$  ва  $O_2$  лар белгиланади. Ҳосил бўлган нуқталарни айланма кинематик жуфтлар деб ҳисоблаб, уларни ўзаро ҳамда  $A$  ва  $B$  нуқталар билан тўғри чизиқлар орқали туташтирилса, ҳаракатланувчи звенолар  $AO_1$ ;  $O_1O_2$ ;  $O_2B$  лардан ташкил топган алмаштирувчи механизм ҳосил бўлади. Ҳақиқий механизмнинг ҳолати ўзгариши билан алмаштирувчи механизмнинг геометрик ўлчамлари ўзгариб келади.

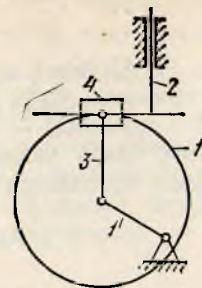




39- шакл.



40- шакл.



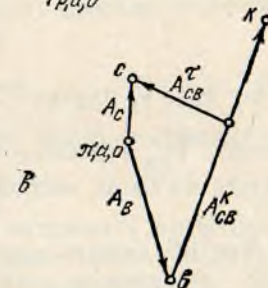
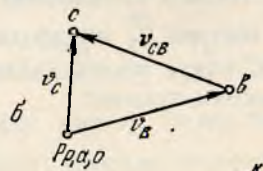
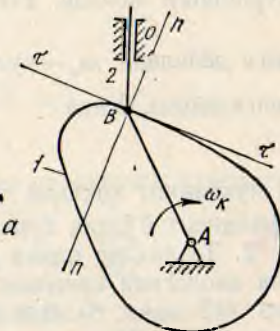
41- шакл.

тади. Чунки эгрилик марказлари  $O_1$  ва  $O_2$  нинг ҳолатлари ўзгаради;

2) агар ўзаро уринувчи элементлардан бири эгри чизиқ бўлиб, иккинчиси нуқта бўлса, унинг эгрилик маркази ўша нуқтанинг ўзида жойлашади. Бу ҳолни биз турткичи ўтири учли бўлиб, илгарилама-қайтма ҳаракатланувчи кулачокли механизм мисолида кўриб чиқамиз (38- шакл). Демак, алмаштирилган механизм қўзғалувчи зенолар 1, 2 ва 3 дан ташкил топган кривошип-ползунли механизмнинг ўзига айланади.

39- ва 40- шаклларда турткичи ролик билан жиҳозланган кулачокли механизмлар учун алмаштирувчи механизм ҳосил қилиш йўллари кўрсатилган;

3) агар ўзаро уринувчи элементлардан бири эгри чизиқ бўлиб, иккинчиси тўғри чизиқ бўлса, унинг эгрилик маркази чексизликда ётади. У ҳолда тўғри чизиқнинг эгрилик маркази ўрнига шартли равища илгарилама кинематик жуфт ҳосил қилувчи шартли зено 4 ни қабул қиласиз (41- шакл) 38, 39, 40, 41- шаклларда ҳосил қилинган алмаштирувчи механизмлар шарнир-ричагли механизмлар бўлиб, уларни кинематик текшириш усуллари II бобда келтирилган. Шу сабабли, биз кейинги параграфда кулачокли механизм кинематикасини унинг ҳақиқий кинематик схемасига кўра аниқлашни кўриб чиқамиз.



42- шакл.

## 2- §. ТЕЗЛИК ВА ТЕЗЛНИШЛАРНИ АНИҚЛАШ. УЛАРНИНГ ҲАҚИҚИЙ ВА АНАЛОГ ҚИЙМАТЛАРИ

1. 42- шакл,  $a$  да тасвирланган кулачок ва турткичнинг ўзаро олий кинематик жуфт ҳосил қилган нуқтасини  $B$  ва  $C$  билан белгилайлик.  $B$  кулачокка,  $C$  турткичга тегишли нуқталар бўлиб, айни ҳолатда улар ўзаро устма-уст жойлашади.  $B$  нуқта тезлигининг дифференциал тенгламаси қўйидагича бўлади:

$$v_B = \frac{dS_B}{dt}. \quad (3. 1)$$

Тенглама (3. 1) ни  $d\varphi$  га кўпайтириб бўлсак у:

$$v_B = \frac{dS_B}{d\varphi} \cdot \frac{d\varphi}{dt} = \frac{dS_B}{d\varphi} \cdot \omega_\kappa \quad (3. 2)$$

кўринишга келади. Тенглама (3. 2) даги  $\frac{dS_B}{d\varphi}$   $B$  нуқтанинг тезлик аналоги дейилади.  $\omega_\kappa$  — кулачокнинг бурчак тезлиги.  $\frac{dS_B}{d\varphi}$  ни  $V_B$  билан белгилаймиз. Унда

$$v_B = V_B \cdot \omega_\kappa. \quad (3. 2')$$

$B$  нуқтанинг ҳақиқий тезлиги  $v_B$  тезлик аналоги билан ўзгармас коэффициент бўлган бурчак  $\omega_\kappa$  орқали муносабатда бўлади.

2. Тезликлар плани учун танланган қутб  $p$  га  $B$  нуқтанинг тезлик аналогини кривошип масштабида ( $pb$ ) кесма тарзида келтириб кўянимиз. (42- шакл, б). Бунда ( $pb$ ) кесма  $AB$  чизиқقا тик равишида  $\omega_\kappa$  бурчак тезлиги йўналишида жойлашади ва ўзида  $B$  нуқта тезлиги аналоги вектори  $\vec{V}_B$  ни ифодалайди.

$C$  нуқта тезлик аналогини аниқлаш учун вектор тенгламалар системасини тузамиз:

$$\begin{aligned} \vec{V}_c &= \vec{V}_B + \vec{V}_{CB}, \\ \vec{V}_c &= \vec{V}_o + \vec{V}_{Co}. \end{aligned} \quad (3. 3)$$

Бу ерда  $\vec{V}_c$  турткич 2 нинг тезлик аналоги  $\frac{ds_c}{dt}$  ни ифодаловчи вектори,  $\vec{V}_{CB}$  турткичга тегишли  $C$  нуқтанинг кулачокка тегишли  $B$  нуқтага нисбатан нисбий тезлик аналоги векторидир. У кулачокнинг  $B$  нуқтасига ўтказилган уринма  $t - t$  чизиги бўйлаб жойлашади;  $\vec{V}_o$  турткич йўналтирувчисига тегишли бўлган  $O$  нуқтанинг «тезлик аналоги» вектори бўлиб, унинг қиймати нолга teng,  $\vec{V}_{Co}$  турткичнинг ўз йўналтирувчисига нисбатан нисбий тезлик аналоги вектори бўлиб, у турткич ўки бўйлаб жойлашади.

Тезликлар планида  $C$  нуқтанинг ҳолатини аниқлаш учун тенгламалар системаси (3. 3) нинг биринчи тенгламасига асосан ( $pb$ ) кесма

охирі в нүктадан  $\vec{V}_{CB}$  векторнинг таъсир чизигиши  $t - t$  чизигига параллел равища үтказамиз. Тенгламалар системаси (3. 3) нинг иккінчи тенгламаси шартыга күра күтб  $r$  га  $\vec{V}_O$  векторни құйымыз. Унинг құймати нолға тенг бўлгани учун  $O$  нүкта қутбда ётади.

$O$  нүктадан, яъни қутб  $r$  дан  $\vec{V}_{C_O}$  векторнинг таъсир чизигини турткичга параллел равища үтказамиз. Үтказилған чизикларнинг кесиши нүктаси с тенгламалар системаси (3. 3) нинг ечимини беради.

Тезлик аналогининг масштаб коэффициентин қ аниқлаймиз:

$$\mu_{\frac{ds}{d\varphi}} = \frac{\frac{ds_B}{d\varphi}}{\frac{(p\theta)}{(p\theta)}} = \frac{l_{AB} \cdot d\varphi}{(p\theta)} = \frac{(AB) \cdot \mu_l}{(p\theta)} = \mu_l.$$

Тезлик аналоги масштаби тезликлар плани қривошип масштабида қурилганда  $((p\theta) = (AB))$  бўлганда узунлик масштабига тенг бўлади.

$$\mu_{\frac{ds}{d\varphi}} = \mu_l. \quad (3. 4)$$

Хақиқий тезлик масштабини аниқлаймиз:

$$\mu_v = \frac{v_B}{(p\theta)} = \frac{l_{AB} \cdot \omega_k}{(p\theta)} = \frac{(AB) \mu_l \cdot \omega_k}{(p\theta)} = \mu_e \cdot \omega_k,$$

яъни:  $\mu_v = \mu_l \cdot \omega_k$ . (3. 5)

3.  $B$  нүкта тезланишининг дифференциал тенгламаси қуидагича бўлади:

$$a_B = \frac{dv_B}{dt} = \frac{d(V_B \omega_k)}{dt} = \frac{dV_B}{dt} \omega_k + V_B \cdot \frac{d\omega_k}{dt}.$$

$\omega_k = \text{const}$  бўлгани учун  $\frac{d\omega_k}{dt} = 0$  бўлади.

Бундан:

$$a_B = \frac{dV_B}{dt} \cdot \omega_k = \frac{dV_B}{d\varphi} \cdot \frac{d\varphi}{dt} \cdot \omega_k = \frac{dV_B}{d\varphi} \cdot \omega_k^2.$$

$\frac{dV_B}{d\varphi} = \frac{d^2 s_B}{d\varphi^2}$  — тезланиш аналоги дейилади, уни  $A_B$  билан белгилаб, ҳақиқий тезланиш билан тезланиш аналоги орасидаги муносабатни ёзамиз:

$$a = A_B \cdot \omega_k^2 = \frac{d^2 s_B}{d\varphi^2} \cdot \omega_k^2. \quad (3. 6)$$

$B$  нүктанинг тезланиши нормал тезланиш бўлиб, у қуидаги формулага кўра аниқланади:

$$a_B = a_{BA}^n = l_{AB} \cdot \omega_k^2. \quad (3. 7)$$

(3. 7) ни (3. 6) билан таққосласак, бош звенога тегишли  $B$  нүкта нормал тезланиш аналоги шу нүктадан айланиш марказигача бўлган узунликка тенг бўлишини қўрамиз:

$$\frac{d^2 s_B}{d\varphi^2} = A_B = l_{AB}.$$

Тезланишлар планинги қривошип масштабида қўрамиз. Бунинг учун

$\frac{d^2 s_B}{d \Phi^2}$  нинг чизма қиймати ( $\omega$ ) ни ( $AB$ ) га тенг қилиб олган ҳолда қутб  $\pi$  га құйымиз. Бунда ( $\omega$ ) кесма ( $AB$ ) кесмеге параллел равишда  $B$  дан  $A$  га йўналган ҳолда қурилади (42- шакл, в). Тезланиш аналоги масштаб коэффициентини ҳисоблаймиз:

$$\mu_A = \mu_{\frac{ds}{d\Phi^2}} = \frac{l_{AB}}{(\pi a)} = \frac{(AB) \mu_l}{(\pi a)} = \mu_l.$$

Тезланиш аналоги масштаби узунлик масштабига тенгдир:

$$\mu_A = \mu_l.$$

С нүкта тезланиши қуйидаги вектор тенгламалар системасига кўра аниқланади:

$$\begin{aligned}\vec{A}_C &= \vec{A}_B + \vec{A}_{CB}^\kappa + \vec{A}_{CB}^n + \vec{A}_{CB}^\tau, \\ \vec{A}_C &= \vec{A}_o + \vec{A}_{CO}.\end{aligned}\quad (3.8)$$

С нүктанинг  $B$  нүктага нисбатан Кориолис тезланиш аналогининг модуль қиймати қуйидаги формуладан аниқланади:

$$A_{CB}^\kappa = 2 \Omega_1 \cdot V_{CB} = 2 \cdot \Omega_1 (c\theta) \cdot \mu_{\frac{ds}{d\Phi^2}}.$$

Бу ерда  $\Omega_1$  кулачокнинг бурчак тезлик аналоги дейилади. Унинг қиймати 1 га тенг:

$$\Omega_1 = \frac{d\Phi_1}{d\Phi} = 1.$$

Кориолис тезланиши вектори  $\vec{A}_{CB}^\kappa$  нинг чизма қиймати ( $c\theta$ ) ни аниқлаймиз:

$$(c\theta) = \frac{A_{CB}^\kappa}{\mu_{\frac{ds}{d\Phi^2}}} = \frac{2 \cdot 1 \cdot (c\theta) \cdot \mu_{\frac{ds}{d\Phi^2}}}{\mu_{\frac{ds}{d\Phi^2}}} = 2 \cdot (c\theta), \quad (3.9)$$

яъни Кориолис тезланишининг чизма қиймати нисбий тезлик вектори чизма қийматини икки марта узайтирилганига тенг бўлади.

Кориолис тезланиши векторининг йўналишини аниқлаш учун нисбий тезлик аналоги вектори  $\vec{V}_{CB}$  ни кулачок бурчак тезлиги  $\omega_\kappa$  йўналиши бўйича  $90^\circ$  га буриш лозим. Демак, у кулачокнинг С нүктасига ўтказилган уринма  $t - t$  чизиқка тик бўлган  $n - n$  чизиғида ётади ва юқори томонга йўналган бўлади. (42- шакл, в).

$A_{CB}^n - C$  нүктанинг  $B$  нүктага нисбатан нормал тезланиш аналоги вектори бўлиб, унинг модуль қиймати қуйидаги формуладан аниқланади:

$$A_{CB}^n = \frac{(V_{CB})^2}{l_{CZ}} = \frac{(c\theta)^2 \cdot \mu_V^2}{(CZ) \cdot \mu_l} = \frac{(c\theta)^2}{(CZ)} \cdot \mu_l.$$

Формуладаги  $V_{CB}$  нисбий тезлик аналогини, (св) унинг чизма қийматини ифодалайди;  $I_{CZ}$  С нуқтадан эгрилик марказигача бўлган масофа  $\vec{A}_{CB}^t$  векторининг чизмадаги қиймати ( $kn$ ) ни аниқлаймиз:

$$(kn) = \frac{\vec{A}_{CB}^t}{\mu_{\frac{d^2 s}{d\varphi^2}}} = \frac{(\vec{ce})^2}{(CZ)} \cdot \frac{\mu_I}{\mu_{\frac{d^2 s}{d\varphi^2}}} = \frac{(ce)^2}{(CZ)}. \quad (3.10)$$

Нормал тезланишнинг чизма қийматини аниқлаш учун нисбий тезлик чизма қийматининг квадратига оширилган ўлчамини эгрилик радиусининг чизма қийматига бўлиш керак. Нормал тезланиш векторлари доимо айланиш маркази томон йўналган бўлади. Шу сабабли  $\vec{A}_{CB}^t$  векторнинг йўналиши  $B$  нуқтадан ўтган нормал  $n - n$  чизиги бўйлаб жойлашади ва у эгрилик маркази  $Z$  га қараб йўналади.

$\vec{A}_{CB}^t$  С нуқтанинг  $B$  нуқтага нисбатан нисбий тангенциал тезланиш векторидир. У  $t - t$  чизик бўйлаб жойлашади. Қиймати ҳозирча но маълум.  $A_0$  — қўэзғалмас нуқта «тезланиш» аналоги векторидир. У қутп  $\pi$  да ётади.

$\vec{A}_{CO}$  — турткич 2 нинг ўз йўналтирувчисига нисбатан тезланиш аналоги векторидир. У турткич ўқи бўйлаб йўналган бўлади.

Тезланишлар планини қуриш учун вектор тенгламалар системаси (3.8) нинг биринчи тенгламасига асосан  $\vec{A}_B$  векторни ифодаловчи (լв) кесма охри  $e$  нуқтадан  $\vec{A}_{CB}^k$  векторни ифодаловчи (вк) кесмани қўя- миз. (42-шакл, в)  $k$  нуқтадан  $\vec{A}_{CB}^n$  векторни ифодаловчи ( $kn$ ) кесманни (вк) кесманинг ўзида жойлаштириб ундаги  $n$  нуқтани аниқлаймиз.  $n$  нуқтадан  $\vec{A}_{CB}^t$  нинг таъсир чизигини ўтказамиз.

Тенгламалар системаси (3.8) нинг иккинчи тенгламаси шартига биноан қутб  $\pi$  га  $\vec{A}_0$  векторини қўямиз. Демак,  $\vec{A}_{CO}$  векторнинг таъсир чизигини қутб  $\pi$  дан турткич ўқига параллел равишда ўтка- замиз. Ўтказилган чизикларнинг кесишиш нуқтаси  $c$  ни қутб  $\pi$  билан туташтирувчи  $\lambda c$  кесма  $C$  нуқтанинг тезланиш аналоги вектори  $\vec{A}_c$  ни билдиради.

Қурилган тезликлар аналоги ёки тезланишлар аналоги планлари ҳақиқий тезлик ва ҳақиқий тезланиш планлари ҳам бўлади. Тезлик аналоги ва тезланиш аналоги планлари узунлик масштабида қурилган планлар ҳисобланади, яъни:

$$\mu_{\frac{d^2 s}{d\varphi^2}} = \mu_{\frac{ds}{d\varphi}} = \mu_I. \quad (3.11)$$

$C$  нуқта тезланишининг аналог қиймати

$$A_c = \frac{d^2 s_c}{d\varphi^2} = (\lambda c) \cdot \mu_{\frac{d^2 s}{d\varphi^2}}$$

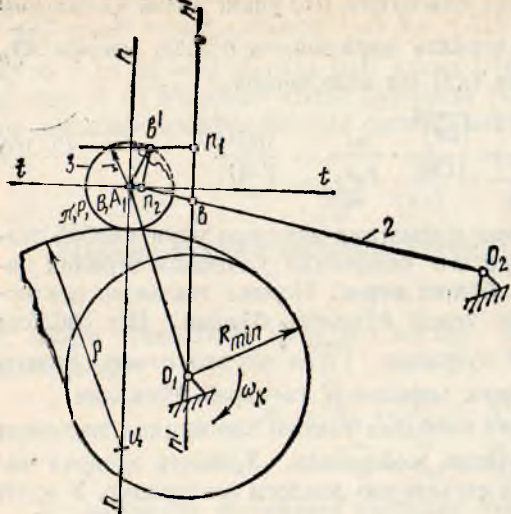
Хақиқий төзланиш масштаби:

$$\mu_a = \frac{a_{BA}^n}{(\pi a)} = \frac{\omega^2 \cdot l_{OA}}{(\pi a)} = \\ = \frac{\omega^2 (OA) \mu_e}{(\pi a)} = \mu_l \cdot \omega^2,$$

ёки  $\mu_a = \mu_l \cdot \omega$  (3. 12)

**Мисол.** Қуйида берилған қыйматларга күра кулачокли механизм кинематик текширилсін (43- шакл).

$l_{O_1 O_2} = 67$  мм;  $l_{O_2 B} = 77$  мм;  
 $l_{O_1 B} = 41$  мм;  $r_{po1} = 9$  мм;  
 $R_{min} = 25$  мм. Кулачок профилининг ролик билан уриниш нүктаси әгриланиш маркази  $\bar{C}$  нүктаның ҳолаты  $l_{O_1 C} = 20$  мм;  $l_{B C} = 56$  мм  $\omega_k = 20$  рад/с = const.



43- шакл.

**Ечиш.** 1. Узунлик масштаби  $\mu_l = 1 \frac{\text{мм}}{\text{мм}} = 0,001$  м/мм қабул қилиб кулачок— 1, ролик— 3, турткыч— 2 ларнинг айланыш үқлары  $O_1$ ,  $B$ ,  $O_2$  ларни белгилаймиз. Үлар орасидаги масофаларнинг чизма қыйматлари

$$(O_1 O_2) = \frac{l_{O_1 O_2}}{\mu_l} = 67 \text{ мм}; (O_2 B) = 77 \text{ мм}, (O_1 B) = 41 \text{ мм}.$$

$\bar{C}$  нүктаның үрнини  $(O_1 \bar{C}) = 20$  мм,  $(B \bar{C}) = 56$  мм кесма узунликтерига күра аниқладаймиз.  $B$  нүктадан ролик айланасини  $r = 9$  мм қилиб үтказамиз.  $\bar{C}$  нүктаны марказ қилиб роликка уринма тарзыда кулачок профилининг кинематик текширишга алоқадор қисмини радиуси  $r = 47$  мм бўлган ёй бўлгалиши шаклида чизамиз.

$$r = (B \bar{C}) - r = 56 - 9 = 47 \text{ мм} \text{ бўлади.}$$

2. Механизмнинг  $90^\circ$  га бурилган тезліклар планини қуйидаги вектор тенгламалар системасига асосан қурамиз:

$$\vec{u}_B = \vec{u}_A + \vec{u}_{BA},$$

$$\vec{u}_B = \vec{u}_{O_1} + \vec{u}_{BO_1}.$$

Бу ерда  $\vec{u}_B$  турткыч 2 B нүктаси тезлигининг  $90^\circ$  га бурилган вектори.

$\vec{u}_A$  кулачок назарий профилига тегишили, айни ҳолатда турткичнинг  $B$  нуқтаси билан устма-уст тушувчи  $A$  нуқтанинг  $90^\circ$  га бурилган тезлик вектори. У  $A$  дан  $O$  томонга йўналган бўлади.

$\vec{u}_{BA}$  турткичга тегишили  $B$  нуқтанинг кулачок назарий профилига тегишили  $A$  нуқтага нисбий тезлигининг  $90^\circ$  га бурилган вектори. У кулачок назарий эгри чизиги  $A$  нуқтасига ўтказилган нормал бўйлаб жойлашади.

$\vec{u}_{O_2}$  —  $O_2$  нуқтанинг тезлик вектори бўлиб қиймати полга тенг.

$\vec{u}_{BO_2}$  —  $B$  нуқтанинг  $O_2$  нуқтага нисбий тезлигининг  $90^\circ$  га бурилган тезлиги вектори. У турткич 2 бўйлаб жойлашади. Бурилган тезликлар планини қуриш учун қутб  $p$  ни тўғридан-тўғри механизмнинг  $B$  нуқтасига жойлаймиз ва кривошип масштабидан фойдаланамиз. Бундада кулачокка тегишили  $A$  нуқта тезлигининг чизма ифодаси ( $OA$ ) га тенг қилиб олинади.

Вектор тенгламалар системасининг биринчи тенгламаси шартига кўра  $\vec{u}_{A_1}$  ни ифодаловчи ( $pa$ ) кесмани ( $O, A$ ) кесма устига жойлаймиз.

Сўнгра  $a$  нуқтадан  $\vec{u}_{BA}$  нинг таъсир чизигини  $A$  нуқтадан ўтувчи нормалга параллель равища ўтказамиз.

Тенгламалар системаси иккинчи шартига кўра  $\vec{u}_{O_2} = 0$  бўлгани учун  $\vec{u}_{BO_2}$  таъсир чизигини қутб  $p$  дан звено  $BO_2$  га параллель равища ўтказамиз ва ўтказилган чизиклар кесишув нуқтаси  $v$  ни ҳосил қиласиз. Ҳосил бўлган ( $pv$ ) кесма  $B$  нуқтанинг  $90^\circ$  бурилган тезлиги вектори  $\vec{u}_B$  ни ифодалайди.

Кулачок  $A$  нуқтасининг ҳақиқий тезлиги:

$$v_A = l_{O_1 A} \cdot \omega_k = (O_1 A) \cdot \mu_l \cdot \omega_k.$$

Тезлик масштаби:

$$\mu_v = \frac{v_A}{(pa)} = \frac{(O_1 A) \cdot \mu_l \cdot \omega_k}{(pa)} = \mu_l \cdot \omega_k = 0,001 \cdot 20 = 0,02 \frac{\text{м/с}}{\text{мм}}.$$

$B$  нуқта тезлигининг ҳақиқий қиймати:

$$v_B = (pv) \cdot \mu_v = 13 \cdot 0,02 = 0,26 \text{ м/с.}$$

Турткичнинг бурчак тезлиги:

$$\omega_a = \frac{v_B}{l_{O_2 B}} = \frac{0,26}{0,077} = 3,38 \frac{\text{рад}}{\text{с}}.$$

3. Механизмнинг тезланишлар планини қурамиз. Ролик ўқи —  $B$  нуқтанинг тезланиш аналоги вектори  $\vec{A}_B$  қуйидаги вектор тенгламалар системасига аниқланади:

$$\vec{A}_B = \vec{A}_A + \vec{A}_{BA}^k + \vec{A}_{BA}^n + \vec{A}_{BA}^t.$$

$$\vec{A}_B = \vec{A}_{O_2} + \vec{A}_{BO_2}^n + A_{BO_2}^t.$$

Бу ерда  $\vec{A}_{BA}^k$   $B$  нүктанинг  $A$  нүктасига нисбий Кориолис тезланиши аналогининг вектори. Унинг чизма қиймати  $(\vec{ak}) = 2(v_a) = 2 \cdot 36 = 72$  мм бўлиб (қаранг: 3, 9), у бурилган тезлик вектори  $\vec{u}_{BA}$  йўналиши бўйича жойлашади,  $(v_a) = 36$  мм кесма тезлик планидан ўлчаб олинади.  $\vec{A}_{BA}^n - B$  нүктанинг  $A$  нүктага нисбий ҳаракатидаги нормал тезланиш аналоги вектори бўлиб, унинг чизма қиймати

$$(kn) = \frac{(av)^2}{(B\Gamma)} = \frac{36^2}{56 \text{ мм}} = 23,14 \text{ мм бўлади},$$

у  $n - n$  чизиги бўйича  $A$  нүктадан  $C$  нүктага қараб йўналади.  $\vec{A}_{BA}^t$   $B$  нүктанинг  $A$  нүктага нисбатан тангенциал тезланиш аналоги вектори бўлиб,  $A$  нүктага ўтказилган уринма  $t - t$  чизиги бўйлаб жойлашади.

$\vec{A}_{O_2} - O_2$  нүктанинг тезланиши вектори. Қиймати нолга тенг.  $\vec{A}_{BO_2}^n - B$  нүктанинг  $O_2$  нүктага нисбатан нормал тезланиш аналоги вектори, бўлиб  $B$  нүктадан  $O_2$  нүктага қараб йўналади.

Формула (3. 10) га асосан унинг чизма қиймати

$$(\pi n_2) = \frac{(pv)^2}{(O_2 B)} = \frac{13^2}{77} = 2,2 \text{ мм.}$$

$\vec{A}_{BO_2}^t B$  нүктанинг  $O$  нүктага нисбатан тангенциал тезланиш аналоги вектори бўлиб, турткич 2 га тик жойлашади, қиймати ҳозирча но маълум.

Тезланишлар планини қўйидаги тартибда қурамиз. Тезланишлар плани учун қутб  $\pi$  ни ролик маркази бўлган  $B$  нүктага жойлаймиз (43-шакл). Тенгламалар системасининг биринчи тенгламасига кўра  $A$  нүктанинг тезланиш аналогининг чизма ифодаси  $(\pi a)$  ни  $O_1 A$  га тенг қилиб  $\pi$  нүктадан ўлчаб қўямиз.  $(\pi a)$  кесманинг охири бўлган  $a$  нүкта кинематик схеманинг  $O_1$  нүктасида жойлашади. Чунки  $\omega_k = \text{const}$  бўлгани учун  $A$  нүкта тезланиши фақат нормал тезланишдан иборат бўлади.

$a$  нүктадан  $\vec{A}_{BA}^k$  векторнинг чизма ифодаси  $(ak) = 2(av) = 72$  мм кесмани ўлчаб қўямиз. Унинг йўналиши  $\vec{u}_{BA}$  вектор йўналиши билан мос тушади.  $\vec{A}_{BA}^n$  векторнинг чизма ифодаси  $(kn) = 23,4$  мм кесмани  $\kappa$  нүктадан бошлаб  $ak$  чизиги бўйича тескари тартибда ўлчаб қўямиз.  $\vec{A}_{BA}^t$  векторнинг таъсир чизигини  $n_1$  нүктадан  $t - t$  чизигига паралель равища ( $kn_1$  чизиқга тик равища) ўтказамиз.

Тенгламалар системасининг иккинчи тенгламаси шартига қўра қутб  $\pi$  га  $\vec{A}_{O_2}$  векторнинг чизма ифодасини қўямиз. Унинг қиймати нолга тенг бўлгани учун  $O_2$  нүкта ҳам  $\pi$  нүктада жойлашади.  $O_2$  нүкгадан, демак,  $\pi$  дан  $O_2$  нүктага йўналган тарзда  $\vec{A}_{BO_2}^n$  векторнинг чизма

Қийматини ( $\pi n_2 = 2,2$  мм кесмани үрнатамиз.  $n_2$  нүктадан звено 2 га-тик равиша  $\vec{A}_{BO_2}^t$  векторининг таъсир чизигини ўтказамиз. Ўтказилган чизиқларнинг кесишув нүктаси  $\sigma'$  тенгламалар системасининг ечимини билдиради. Биз тезлик ва тезланиш планларини кривошип масштабида қурганимиз сабабли тезлик ва тезланиш аналоглари масштаби узунлик масштабига тенг бўлади: (қаранг 3. 11)

$$\mu_{d\frac{s}{\psi^2}} = \mu_{ds} = \mu_t = 0,001 \text{ м/мм.}$$

Ҳақиқий тезланиш масштаби (3. 12) га кўра:

$$\mu_a = \mu_t \omega_1^2 = 0,001 \cdot 20^2 = 0,4 \frac{\text{м/с}^2}{\text{мм}} \text{ бўлади.}$$

Турткич учи тўла тезланишнинг модуль қиймати:

$$a_B = (\pi \sigma') \mu_a = 9 \cdot 0,4 = 3,6 \text{ м/с}^2.$$

Турткич учи  $B$  нүктанинг тангенциал тезланиши:

$$a_{BO_2}^t = (n_2 \sigma') \cdot \mu_a = 8 \cdot 0,4 = 3,2 \text{ м/с}^2.$$

Туркичининг бурчак тезланиши:

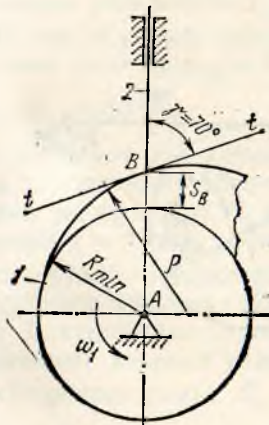
$$\epsilon_2 = \frac{a_{BO_2}^t}{l_{BO_2}} = \frac{3,2}{0,077} = 41,56 \text{ рад/с}^2.$$

### 38 — 47- масалалар

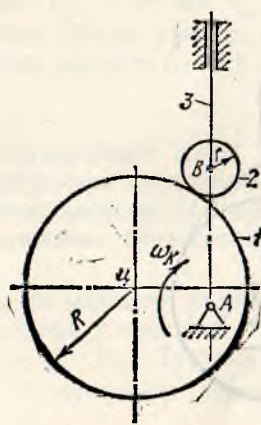
(Масалалар кулачокли механизм ҳолатини, тезлик ва тезланишларни куриш йўли билан ечилади.)

38. Қўйидаги берилган қийматларга кўра марказий кулачокли механизм туркичининг тезлик ва тезланишлари аниқлансан.

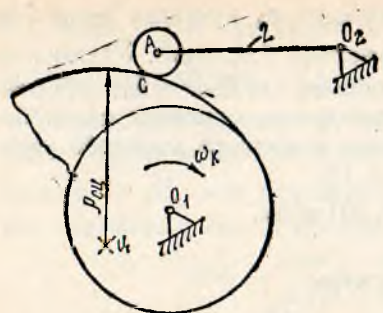
Кулачокнинг минимал радиуси  $R_{min} = 21$  мм. Туркичининг кўтарилигани йўли  $S_B = 4$ мм. Туркичининг кулачок  $B$  нүктасига ўтказил-



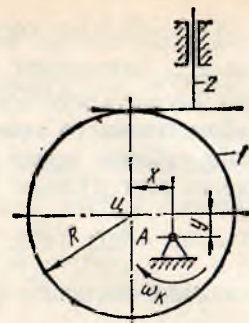
38- масалага.



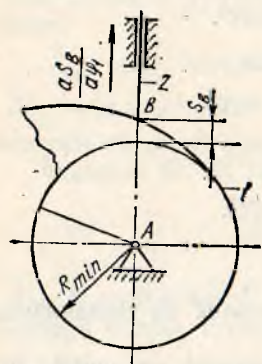
39- масалага.



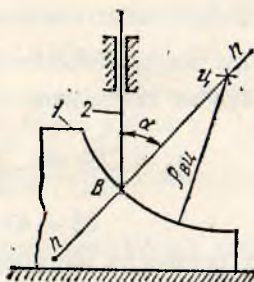
40- масалага.



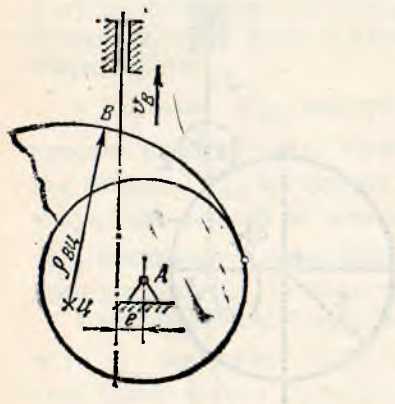
41- масалага.



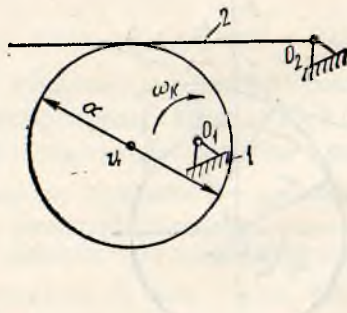
42- масалага.



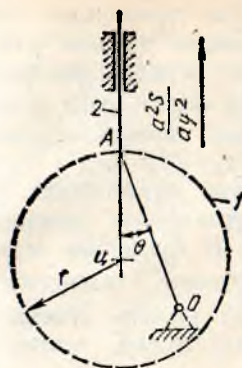
43- масалага.



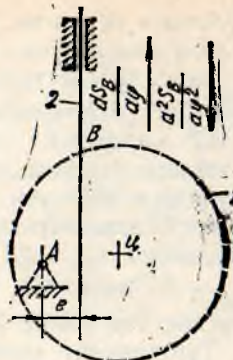
44- масалага.



45- масалага.



46- масалага.



47- масалага.

ГЭЕ уринма ҳосил қылган бурчаги  $\gamma = 70^\circ$ . Кулачок сирти  $B$  нүқтанинг эгрилик маркази  $C$  кулачок айланиш ўқи бүлгөн  $A$  нүқтадан турткич ўқига ўтказилган перпендикулярда ётади. Кулачокнинг бурчак тезлиги  $\omega_K = 100 \frac{\text{рад}}{\text{с}}$ .

39. Қыйда берилган қийматларга кўра кулачоги доира шаклида бўлган марказий кулачокли механизм турткичининг тезлик ва тезланишлари аниқлансан.

Кулачокнинг радиуси  $R = 22$  мм. Роликнинг радиуси  $r = 5$  мм. Кулачокнинг доира маркази  $C$  ва айланиш ўқлари орасидаги масофа  $l_{AC} = 15$  мм,  $\omega_K = 20 \frac{\text{рад}}{\text{с}}$ .

Кулачок ва ролик марказлари орасидаги масофа  $l_{AB} = 27$  мм.

40. Қыйда берилган қийматларга кўра турткич учи  $A$  нүқтасининг тезлиги ва тезланиши, турткич 2 нинг бурчак тезлиги ва бурчак тезланиши аниқлансан.  $l_{O_1O_2} = 50$  мм,  $l_{O_1A} = 30$  мм,  $l_{O_2A} = 42$  мм.  $R_{\min} = 22$  мм. Кулачок сиртининг ролик билан уриниш нүқтаси  $C$  нинг эгрилик радиуси  $\rho_{CQ} = 34$  мм, ролик радиуси  $r = 4,5$  мм,  $l_{O_1C} = 11$  мм,  $\omega_K = 50 \frac{\text{рад}}{\text{с}}$ .

41. Қыйда берилган қийматларга кўра кулачоги доира шаклидаги механизм турткичининг тезлик ва тезланишлари аниқлансан.

Кулачок радиуси  $R = 22$  мм. Кулачок маркази  $C$  нүқтанинг координаталари  $x = 11$  мм,  $y = 4$  мм. Кулачокнинг бурчак тезлиги  $\omega_K = 20 \frac{\text{рад}}{\text{с}}$  бўлиб, ўзгармасдири.

42. Қыйнадаги берилган қийматларга кўра марказий кулачокли механизмнинг  $B$  нүқтасидан ўтувчи аниқ нормал ўтказилсан.

Кулачокнинг минимал радиуси  $R_{\min} = 23$  мм. Турткич  $B$  нүқтанинг кўтарилиш ҳолати:  $S_B = 4$  мм.  $B$  нүқтанинг тезлик аналоги  $\frac{d\theta_B}{d\varphi} = 9$  мм.

**43.** Қүйидаги берилган қийматларга күра турткичнинг тезлик ва тезланишлари аниқлансан. Қулачок профилининг турткич учи  $B$  нүқта билан ҳосил қилган уриниш нүқтасининг эгрилик радиуси  $r_{B\Gamma} = 30$  мм бўлиб,  $B\Gamma$  чизикнинг турткич ўқи билан ҳосил қилган бурчаги  $\alpha = 45^\circ$  ни ташкил этади. Илтаришама ҳаракат қилувчи кулачокнинг тезлиги ўзгармас бўлиб, қиймати  $v_1 = 0,5$  м/с.

**44.** Қүйидаги берилган қийматларга күра кулачокнинг ўзгармас қийматга эга бўлган бурчак тезлиги ва турткичнинг чизиқли тезланиши аниқлансан.  $l_{AB} = 28$  мм,  $e = 5$  мм.  $B$  нүқтанинг эгрилик радиуси  $r_{B\Gamma} = 30$  мм бўлиб, кулачок  $B$  нүқтасига ўтказилган нормал  $n - n$  турткич ўқи билан  $30^\circ$  бурчак ҳосил қиласди (босим бурчаги  $\alpha = 30^\circ$ ). Турткичнинг ҳаракат тезлиги  $1\text{м}/\text{с}$  бўлиб, тезлик вектори юқорига йўналган.

**45.** Кулачоги доира шаклида бўлган механизм турткичнинг бурчак тезлиги ва бурчак тезланиши қүйидаги берилганларга күра аниқлансан.  $l_{O_1C} = 15$  мм,  $l_{O_1O_2} = 50$  мм,  $l_{CO_2} = 50$  мм. Кулачок диаметри  $d = 40$  мм. Кулачокнинг бурчак тезлиги  $\omega_K = 20 \frac{\text{рад}}{\text{с}}$  бўлиб, ўзгармасдир.

**46.** Қүйидаги берилган қийматларга күра доира шаклидаги кулачокнинг радиуси  $r$  аниқлансан.  $\theta = 30^\circ$ . Турткичнинг тезланиш аналоги вектори юқорига йўналган бўлиб, қиймати  $\frac{d^2S}{d\varphi^2} = 5$  мм,  $l_{OA} = 30$  мм. Доира маркази турткич ўқ чизигида жойлашган.

**47.** Қүйидаги берилган қийматларга күра доира шаклидаги кулачокнинг диаметри аниқлансан. Эксцентритет  $e = 10$  мм. Кулачок ва ролик марказлари орасидаги масофа  $l_{AB} = 40$  мм. Турткичнинг тезлик аналоги  $\frac{dS_B}{d\varphi} = 0,02$  м. Турткичнинг тезланиш аналоги  $\frac{d^2S_B}{d\varphi^2} = 0,005$  м.

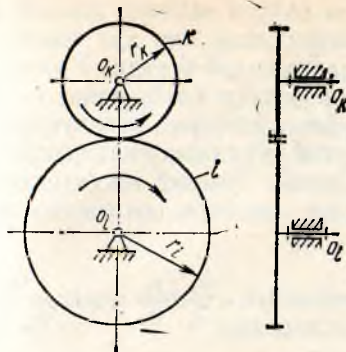
#### 4-боб. МУРАҚКАБ ТИШЛИ ФИЛДИРАҚЛИ МЕХАНИЗМЛАРНИ КИНЕМАТИК ТЕҚШИРИШ

##### 1-§. ЎҚЛАРИ ҚЎЗҒАЛМАС БЎЛГАН ТИШЛИ УЗАТМАЛАРНИ КИНЕМАТИК ТЕҚШИРИШ

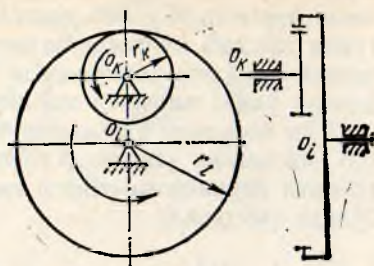
1. Бир босқичли ёки оддий узатма деб бир жуфт тишли филдиракнинг илашмасига айтилади. Бундай узатмалар ташқи (44-шакл) ва ички (45-шакл) илашишли узатмаларга бўлинади.

$K$  звено бурчак тезлиги  $\omega_K$  нинг (айланишлар сони  $n_K$  нинг)  $i$ -звено бурчак тезлиги  $\omega_i$  га (айланишлар сони  $n_i$  га) нисбати  $K$  звено-нинг  $i$ -звенога узатиш нисбати дейилади. У қўйидагича ёзилади:

$$n_{Ki} = \frac{\omega_i}{\omega_K} = \frac{n_i}{n_K}.$$



44- шакл.



45- шакл.

Гашқи илашмада (44- шакл) ғилдираклар турли томонга айланганлиги сабабли узатиш нисбатининг ишораси манфий бўлади:

$$u_{kl} = \frac{\omega_k}{\omega_l} = \frac{n_k}{n_l} = -\frac{r_l}{r_k} = -\frac{z_l}{z_k}.$$

Ички илашмада (45- шакл) ғилдираклар бир хил томонга айланганлиги сабабли узатиш нисбатининг ишораси мусбат бўлади.

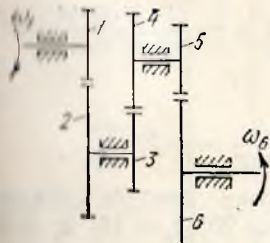
$$u_{kl} = \frac{\omega_k}{\omega_l} = \frac{n_k}{n_l} = \frac{r_l}{r_k} = \frac{z_l}{z_k}.$$

Бу ерда  $r_k$ ,  $r_l$  ғилдираклар бошланғич айланаларининг радиуслари  $z_k$ ,  $z_l$  уларнинг тишилари сони.

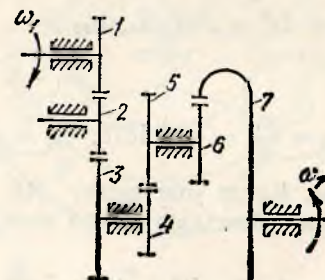
2. Кўп босқичли узатмалар бир босқичли узатмаларнинг кетма-кет боғлинишидан ҳосил бўлади. Уларнинг узатиш нисбати узатма тарқибига кирувчи бир босқичли узатмаларнинг узатиш нисбатлари қийматларини ўзаро кўпайтириб аниқланади (46, 47- шакллар):

$$u_{1n} = (-1)^q \cdot u_{12} \cdot u_{2'3} \cdots u_{(n-1)n}.$$

Бунда  $q$  бир босқичли ташқи илашмалар сони. Кўп босқичли узатмада узатиш нисбатининг ишораси ундаги ташқи илашмалар сонининг



46- шакл.



47- шакл.

**43.** Қуйидаги берилган қийматларга күра турткичнинг тезлик ва тезланишлари аниқлансан. Қулачок профилининг турткич учи  $B$  нүкта билан ҳосил қылган уриниш нүктасининг эгрилик радиуси  $\rho_{B\Gamma} = 30$  мм бўлиб,  $B\Gamma$  чизиқнинг турткич ўқи билан ҳосил қылган бурчаги  $\alpha = 45^\circ$  ни ташкил этади. Илгарилама ҳаракат қилувчи кулачокнинг тезлиги ўзгармас бўлиб, қиймати  $v_1 = 0,5$  м/с.

**44.** Қуйидаги берилган қийматларга күра кулачокнинг ўзгармас қийматга эга бўлган бурчак тезлиги ва турткичнинг чизиқли тезланиши аниқлансан.  $l_{AB} = 28$  мм,  $e = 5$  мм.  $B$  нүктасига ўтказилган нормал  $n - n$  турткич ўқи билан  $30^\circ$  бурчак ҳосил қиласди (босим бурчаги  $\alpha = 30^\circ$ ). Турткичнинг ҳаракат тезлиги  $1\text{м}/\text{с}$  бўлиб, тезлик вектори юқорига йўналган.

**45.** Кулачоги доира шаклида бўлган механизм турткичнинг бурчак тезлиги ва бурчак тезланиши қуйидаги берилганларга күра аниқлансан.  $l_{O_1\Gamma} = 15$  мм,  $l_{O_1O_2} = 50$  мм,  $l_{O_2\Gamma} = 50$  мм. Кулачок диаметри  $d = 40$  мм. Кулачокнинг бурчак тезлиги  $\omega_K = 20 \frac{\text{рад}}{\text{с}}$  бўлиб, ўзгармасдир.

**46.** Қуйидаги берилган қийматларга кўра доира шаклидаги кулачокнинг радиуси  $r$  аниқлансан.  $\theta = 30^\circ$ . Турткичнинг тезланиш аналоги вектори юқорига йўналанган бўлиб, қиймати  $\frac{d^2S}{d\varphi^2} = 5$  мм,  $l_{OA} = 30$  мм. Доира маркази турткич ўқ чизигида жойлашган.

**47.** Қуйидаги берилган қийматларга кўра доира шаклидаги кулачокнинг диаметри аниқлансан. Эксцентритет  $e = 10$  мм. Кулачок ва ролик марказлари орасидаги масофа  $l_{AB} = 40$  мм. Турткичнинг тезлик аналоги  $\frac{dS_B}{d\varphi} = 0,02$  м. Турткичнинг тезланиш аналоги  $\frac{d^2S_B}{d\varphi^2} = 0,005$  м.

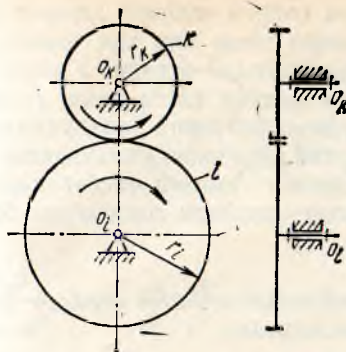
#### 4-боб. МУРАҚҚАБ ТИШЛИ ФИЛДИРАҚЛИ МЕХАНИЗМЛАРНИ КИНЕМАТИК ТЕҚШИРИШ

##### 1-§. ЎҚЛАРИ ҚЎЗҒАЛМАС БЎЛГАН ТИШЛИ УЗАТМАЛАРНИ КИНЕМАТИК ТЕҚШИРИШ

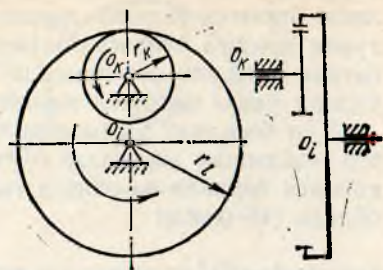
1. Бир босқичли ёки оддий узатма деб бир жуфт тишли филдиракнинг илашмасига айтилади. Бундай узатмалар ташқи (44-шакл) ва ички (45-шакл) илашишли узатмаларга бўлинади.

$K$  звено бурчак тезлиги  $\omega_K$  нинг (айланишлар сони  $n_K$  нинг)  $i$ -звено бурчак тезлиги  $\omega_i$  га (айланишлар сони  $n_i$  га) нисбати  $K$  звено нинг  $i$ -зенога узатиш нисбати дейилади. У қуйидагича ёзилади:

$$u_{Ki} = \frac{\omega_K}{\omega_i} = \frac{n_K}{n_i}.$$



44- шакл.



45- шакл.

Ташқи илашмада (44- шакл) ғилдираклар турли томонга айланганлиги сабабли узатиш нисбатининг ишораси манфий бўлади:

$$u_{kl} = \frac{\omega_k}{\omega_l} = \frac{n_k}{n_l} = -\frac{r_l}{r_k} = -\frac{z_l}{z_k}.$$

Ички илашмада (45- шакл) ғилдираклар бир хил томонга айланганлиги сабабли узатиш нисбатининг ишораси мусбат бўлади.

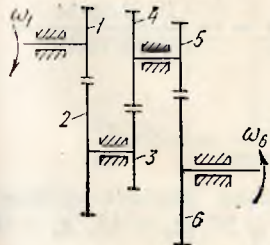
$$u_{kl} = \frac{\omega_k}{\omega_l} = \frac{n_k}{n_l} = \frac{r_l}{r_k} = \frac{z_l}{z_k}.$$

Бу ерда  $r_k$ ,  $r_l$  ғилдираклар бошланғич айланаларининг радиуслари  $z_k$ ,  $z_l$  уларнинг тишилари сони.

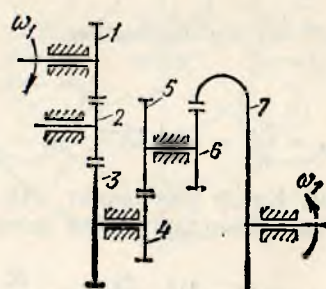
2. Кўп босқичли узатмалар бир босқичли узатмаларнинг кетма-кет сюгланишидан ҳосил бўлади. Уларнинг узатиш нисбати узатма таркибига кирувчи бир босқичли узатмаларнинг узатиш нисбатлари қийматларини ўзаро кўпайтириб аниқланади (46, 47- шакллар):

$$u_{1n} = (-1)^q \cdot u_{12} \cdot u_{23} \cdots u_{(n-1)n}.$$

Бунда  $q$  бир босқичли ташқи илашмалар сони. Кўп босқичли узатмада узатиш нисбатининг ишораси ундаги ташқи илашмалар сонининг



46- шакл.



47- шажл.

жұфт ёки тоқылғига бөглиқ бұлади ва охирги валнинг ҳаракат йұналиши бириңчи валнинг ҳаракат йұналиши билан бир хил томонға ёки турли томонға йұналғанлығини аниқлашга ёрдам беради. Узатиш нисбатини аниқлаш формуласыда ишоралы ҳысабда олиш фақат ғилдирап үқілары үзаро параллел жойлашган узатмаларғагина тааллуқлады.

Күп босқычли узатмаларнинг хусусий күриниши ғилдираплары қатар жойлашган узатмалар бұлар, уларнинг узатиш нисбатининг сондықтамати бириңчи ва охирги ғилдираплар тищлары сонигагина бөглиқ бұлади (48-шакл):

$$u_{1n} = (-1)^q \cdot u_{12} \cdot u_{23} \cdots u_{(n-1)n} = (-1)^q \cdot \frac{z_2}{z_1} \cdot \frac{z_3}{z_2} \cdots \frac{z_n}{z_{(n-1)}} = \\ = (-1)^q \cdot \frac{z_n}{z_1}.$$

Оралық ғилдираплар тищларининг сондықтаматлари узатиш нисбатининг абсолют сондықтаматига таъсир этмайды. Бундай узатмалар охирги валнинг зарур бўлган йұналишини белгилаш учун қўлланилади. Баъзизда етакловчи ва етакланувчи валлар ораси бир-биридан узоқда жойлашганда ҳам бундай узатмадан фойдаланиш мумкин.

**1-мисол.** Қўйидаги келтирилган қийматларга кўра кўп босқычли узатманинг (46-шакл) узатиш нисбати ва охирги валнинг айланишлар сони аниқлансан:

$$z_1 = 17, z_2 = 34, z_3 = 18, z_4 = 24, z_5 = 16, z_6 = 36, n_1 = 150 \frac{\text{айл}}{\text{мин.}}$$

Ечиш:

$$u_{16} = (-1)^3 u_{12} \cdot u_{23} \cdot u_{34} \cdot u_{56} = - \frac{z_2 \cdot z_4 \cdot z_6}{z_1 \cdot z_3 \cdot z_5} = - \frac{34 \cdot 24 \cdot 36}{17 \cdot 18 \cdot 16} = - 6.$$

$$u_{16} = \frac{n_1}{n_6} = - 6 \quad n_6 = \frac{n_1}{-6} = - \frac{150}{6} = - 25 \frac{\text{айл}}{\text{мин.}}$$

**2-мисол.** Қўйидаги келтирилган қийматларга кўра кўп босқычли узатманинг (47-шакл) узатиш нисбати ва охирги валнинг айланишлар сони аниқлансан.  $z_1 = 18, z_2 = 15, z_3 = 27, z_4 = 16, z_5 = 22, z_6 = 18,$

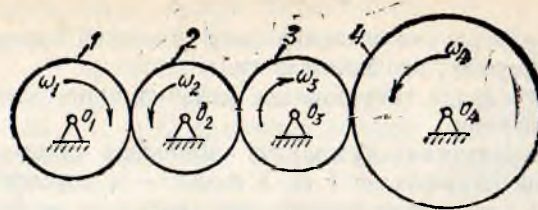
$$z_7 = 54, n_1 = 148,5 \frac{\text{айл}}{\text{мин.}}$$

$$u_{17} = (-1)^3 u_{12} \cdot u_{23} \cdot u_{45} \cdot u_{67} = - \frac{z_2 \cdot z_3 \cdot z_5 \cdot z_7}{z_1 \cdot z_2 \cdot z_4 \cdot z_6} = - \frac{15 \cdot 27 \cdot 22 \cdot 54}{18 \cdot 15 \cdot 16 \cdot 18} = \\ = - 6,1875.$$

$$u_{17} = \frac{n_1}{n_7} = - 6,1875, \quad n_7 = \frac{n_1}{u_{17}} = \frac{148,5}{- 6,1875} = - 24 \frac{\text{айл}}{\text{мин.}}$$

**3-мисол.** Қатор узатманинг (48-шакл) узатиш нисбати қўйидаги келтирилган қийматларга кўра аниқлансан:  $z_1 = 20, z_2 = 18, z_3 = 16, z_4 = 40.$

$$\text{Ечиш. } u_{14} = (-1)^3 \cdot \frac{z_4}{z_1} = - \frac{40}{20} = - 2.$$

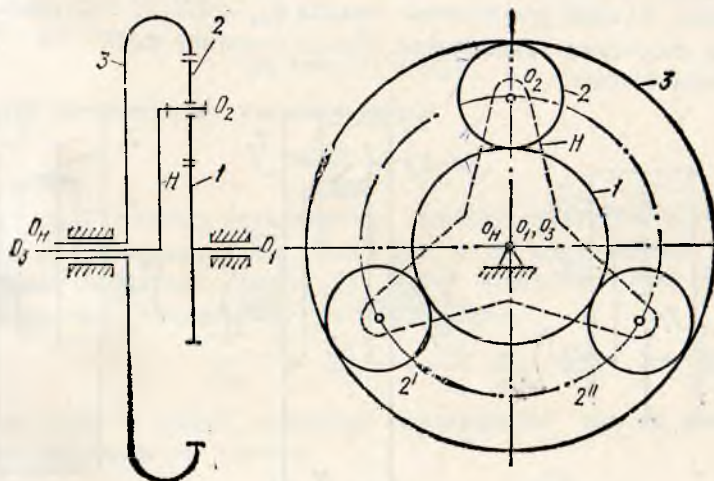


48- шакл.

## 2- §. ҮҚЛАРИ ҲАРАКАТЛАНУВЧИ ТИШЛИ ФИЛДИРАКЛИ МЕХАНИЗМЛАР (ЭПИЦИКЛИК МЕХАНИЗМЛАР)

1. Бундай механизмлар құзғалувчанлик даражасининг сон қийматына күра дифференциал ёки планетар механизмларга бўлинади. Планетар механизмнинг құзғалувчанлик даражаси  $W = 1$  бўлиб, асосан, стакловчи валнинг айланма ҳаракатини маълум бир узатиш нисбатига кўра етакланувчи валга узатиб беради. Дифференциал механизмнинг құзғалувчанлик даражаси  $W > 1$  бўлиб, турли звенолар айланма ҳаракатини қўшиб, бирор звенога узатиш ёки бирор звено айланма ҳаракатини турли звеноларга тақсимлаб узатиш учун хизмат қиласди. 49- шаклда тасвирланган дифференциал механизмда марказий гидрирлар 1 ва 3 водило  $H$  ягона құзғалмас геометрик үқ  $O_1, O_3, O_n$  атрофида айланма ҳаракат қиласди. Сателлит деб аталувчи гидрир 2 нинг ҳаракати мураккаб бўлади. У ўз үқи  $O_2$  атрофида айланма ҳаракат қилиб,  $O_2$  үқнинг ўзи ҳам водило билан бирга марказий  $O_n$  үқи атрофида айланма ҳаракатда бўлади.

2. Тишли узатмаларнинг құзғалувчанлик даражасини қуийдаги формулага асосан аниқлаш қулай:



49- шакл.

$$W = n - p + s, \quad (4.1)$$

бу ерда  $n$  — құзғалувчи звенолар сони,  $p$  — олий кинематик жуфтлар сони,  $s$  — тақрорланувчи звенолар сони.

**Мисол.** 49-шаклда тасвирланган механизмнинг құзғалувчанлик даражаси анықлансын.

**Ечиш.** Механизмнинг құзғалувчи звенолари сони олтита ( $n = 6$ ). Улар марказий фидираклар 1 ва 3, водило —  $n$ , сателлит 2, 2', 2'' лардир. Ҳар бир сателлит иккитадан олий кинематик жуфтлар қылған-лиги сабабли олий кинематик жуфтлар сони олтита ( $P = 6$ ). Тақрорланувчи звенолар сони иккита. Улар сателлит 2' ва 2'' лардир. Чунки уларнинг геометрик ўлчамлари бошқа звенолар билан боғланиши бүйича сателлит 2 ни айнан тақрорлаб, кинематик параметларнинг ҳосил бўлишида улар ҳеч қандай қўшимча роль ўйнамайди. Демак, механизмнинг құзғалувчанлик даражаси формула (4.1) га асосан:

$$W = n - p + s = 6 - 6 + 2 = 2.$$

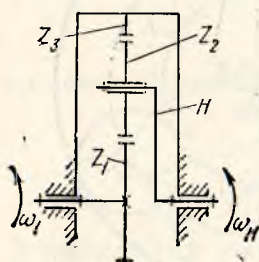
Демак, 49-шаклда тасвирланган механизм дифференциал механизм бўлиб етакчи звенолар сони 2 га teng. Дифференциал механизмнинг құзғалувчи звенолари сонини камайтириш билан етакловчи звеноси ягона бўлган планетар механизм ҳосил қилинади. 49-шаклда тасвирланган механизмнинг бирор құзғалувчи звеносини, айтайлик, фидирак 3 ни құзғалмас қилиб қотирсак, у ҳолда  $n = 5$  га teng бўлиб, механизмнинг құзғалувчанлик даражаси фоъмула (4.1) га асосан:

$$W = 5 - 6 + 2 = 1 \text{ бўлади.}$$

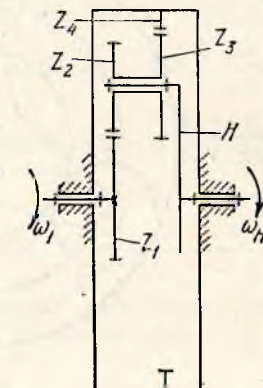
### 3- §. ПЛАНЕТАР РЕДУКТОРЛАРНИНГ ХАРАКТЕРИСТИКАЛАРИ

Фидиракларининг ўқлари параллел жойлашган планетар механизмларнинг қўйидаги асосий турлари мавжуд.

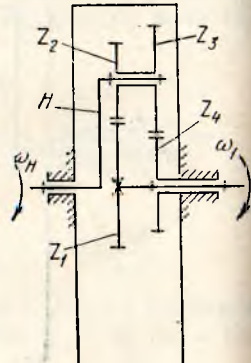
1. Бир қатор илашмали планетар механизм (Жемс редуктори, 50-шакл). Бундай редукторлар амалда  $i_{\text{пл}} = 2,3 \dots 12$  оралиғидаги узатиш нисбатини таъминлайди. Бунда уларнинг ФИК  $0,9 \dots 0,95$  оралиғида бўлади.



50- шакл.



51- шакл.

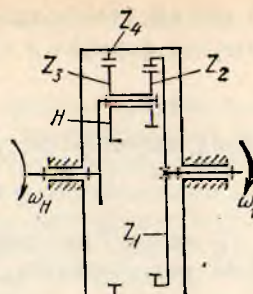


52- шакл.

2. Икки қаторли битта ташқи, битта ички илашмали редуктор (51-шакл). Бундай механизмнин ишатиши нисбатини таъминлашда ишлатиш мақсадга мувофиқ. Уларнинг ФИК 0,85 . . . 0,92 оралиғида бўлади.

3. Икки қаторли иккитадан ташқи илашмали редуктор (52-шакл).

4. Икки қаторли иккитадан ички илашмали редуктор (53-шакл) 3- ва 4- пунктларда таърифланган редукторлар Давид редукторлари дейилади. Улардан катта куч ишлатилмайдиган ҳолларда ҳамда катта узатиши нисбатини таъминлаш мақсадида фойдаланилади. Улардаги узатиши нисбати  $u_{пл} = 100 . . . 5000$  оралиғида бўлиб ФИК 0,1 дан (10 % дан) кам бўлади.



53- шакл.

#### 4-§. ПЛАНЕТАР МЕХАНИЗМЛАРНИ АНАЛИТИК УСУЛДА ТЕКШИРИШ (ВИЛЛИС ФОРМУЛАСИ)

Планетар механизмнинг (51-шакл) ғилдираклари тишлари сони  $Z_1, Z_2, Z_3, Z_4$  ва уларнинг модули  $m$  маълум бўлса, системага қиймат жиҳатидан водилонинг бурчак тезлигига тенг бўлган, йўналиши бўйича унга қарама-қарши бўлган бурчак тезлик берсак, у ҳолда водило ҳаракатдан тўхтайди ва қўйидаги муносабат ўринли бўлади:

$$u_{14}^n = \frac{\omega_1 - \omega_H}{\omega_4 - \omega_H}.$$

$\omega_1 = O$  эканлигини эътиборга олсақ, қўйидагини ҳосил қиласиз:

$$\omega_1 - \omega_H = - u_{14}^n \cdot \omega_H,$$

буидан

$$\omega_1 = \omega_H (1 - u_{14}^n).$$

Планетар механизмнинг узатиши нисбати:

$$u_{пл} = \frac{\omega_1}{\omega_H} = 1 - u_{14}^n, \quad (4.2)$$

Бу ерда  $u_{14}^n$  — планетар механизмни г водилоси тўхтатилгандаги ҳамда ҳаракат ғилдирак 1 дан ғилдирак 4 га узатилгандаги узатиши нисбатини билдиради. Бироқ бу ўқлар қўзғалмас икки босқичли узатма узатиши нисбатининг ўзгинаси. Демак,

$$u_{14}^n = u_{12}^n \cdot u_{34}^n = - \frac{s_2}{s_1} \cdot \frac{s_4}{s_3}. \quad (4.3)$$

(4.3) ии (4.2) га қўйсак, планетар механизмнинг узатиши нисбатини тиңилаш формуласини оламиз:

$$u_{пл} = 1 - \left( - \frac{s_2}{s_1} \cdot \frac{s_4}{s_3} \right) = 1 + \frac{s_2 \cdot s_4}{s_1 \cdot s_3}. \quad (4.4)$$

50-шаклда тасвириланган Жемс редуктори учун узатиш нисбатини аниқлаш формуласи күйидаги күрнишда бўлади:

$$u_{\text{пл}} = 1 - u_{13}^n = 1 + \frac{z_3}{z_1}. \quad (4.5)$$

Давид редукторлари учун (52-ва 53-шакллар)

$$u_{\text{пл}} = 1 - u_{14}^n = 1 - \frac{z_2 \cdot z_4}{z_1 \cdot z_3}. \quad (4.6)$$

**1-мисол.** Филдирак тицлар сони  $z_1 = 20$ ,  $z_2 = 40$ ,  $z_3 = 100$  бўлган Жемс редукторининг узатиш нисбати аниқлансан (50-шакл).

**Ечиш.** Формула (4.5) га асосан  $u_{\text{пл}} = 1 - u_{13}^n = 1 + \frac{z_3}{z_1} = 1 + \frac{100}{20} = 6$ .

**2-мисол.** Филдирак тицлари сони  $z_1 = 18$ ,  $z_2 = 72$ ,  $z_3 = 30$ ,  $z_4 = 120$  бўлган икки қаторли битта ташқи, битта ички илашмали редукторининг (51-шакл) узатиш нисбати аниқлансан. Филдирак I нинг минутига айланишлар сонини  $n_1 = 340$  деб қабул қилиб, водилонинг ва сателлитнинг айланишлар сони аниқлансан.

**Ечиш.** Формула (4.4) га кўра механизмнинг узатиш нисбати:

$$u_{\text{пл}} = 1 + \frac{z_2 \cdot z_4}{z_1 \cdot z_3} = 1 + \frac{72 \cdot 120}{18 \cdot 30} = 1 + 16 = 17$$

$u_{\text{пл}} = \frac{n_1}{n_n} = 17$  га кўра водилонинг айланишлар сони  $n_n = \frac{n_1}{u_{\text{пл}}} = \frac{340}{17} = 20$  айл/мин.

Сателлитнинг айланишлар сонини аниқлаш учун марказий филдиракнинг сателлитга ёки водилонинг сателлитга узатиш нисбати ифодасидан фойдаланамиз.

Филдирак I нинг сателлитга узатиш нисбати  $u_{1c} = \frac{n_1}{n_c}$  сурат ва маҳражини  $n_c$  га бўлсак:

$$\begin{aligned} u_{1c} &= \frac{n_1/n_n}{n_c/n_n} = \frac{u_{\text{пл}}}{u_{\text{чн}}} = \frac{1 - u_{14}^n}{1 - u_{34}^n} = \frac{1 + \frac{z_2 \cdot z_1}{z_1 \cdot z_2}}{1 - \frac{z_4}{z_3}} = \frac{1 + \frac{72 \cdot 120}{18 \cdot 30}}{1 - \frac{120}{30}} = \frac{1 + 16}{1 - 4} = \\ &= \frac{17}{3} = -5,66 \dots \end{aligned}$$

Сателлитнинг бурчак тезлиги:

$$n_c = \frac{n_1}{u_{1c}} = \frac{340}{-5,66} = -60 \text{ айл/мин.}$$

Хосил қилинган натижанинг тўғрилигини текшириш учун водилонинг сателлитга узатиш нисбатидан фойдаланиб, сателлитнинг айланишлар сонини аниқлаймиз.

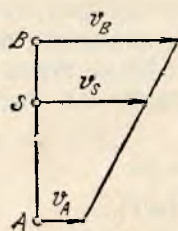
$$u_{\text{чн}} = \frac{1}{u_{\text{чн}}} = \frac{1}{1 - u_{34}^n} = \frac{1}{1 - \frac{z_4}{z_3}} = \frac{1}{1 - \frac{120}{30}} = -0,3333,$$

бундан

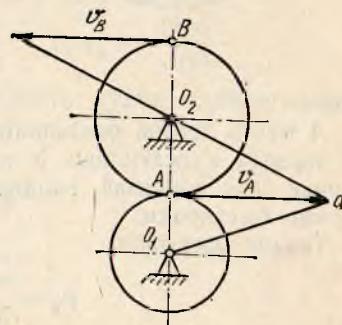
$$n_c = \frac{n_n}{u_{\text{чн}}} = \frac{20}{-0,3333} = -60 \text{ айл/мин.}$$

## 5-§. ПЛАНЕТАР МЕХАНИЗМЛАРНИ ГРАФИК УСУЛДА ТЕКШИРИШ (СМИРНОВ УСУЛИ)

1. Бирор құйғалмас үқ атрофида айланма ҳаракат қилювчи звеноға тегишли нүкталарнинг чизиқли тезликлари шу нүкталардан айланыш марказига бұлған масофага пропорционал равишида, тұғри чизиқли қонуният билан үзгәриб боради. Юқорида айтилғанларга күра, звенога тегишли икки нүктаның тезлик векторлари қурилған бўлса, векторлар учларини тұғри чизиқ билан туташтириб, қолган нүкталарнинг тезликларини осонгина аниқлаш мумкин (54- шакл).



54- шакл.



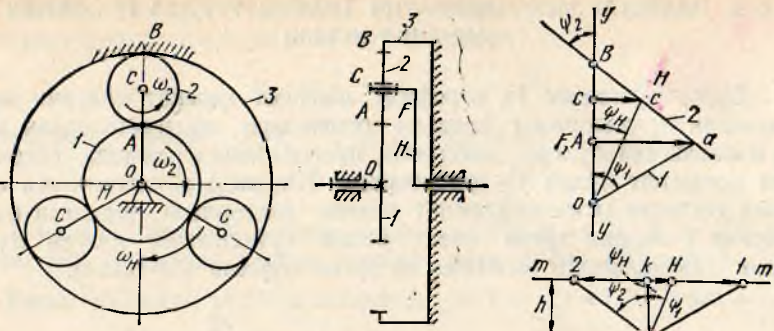
55- шакл.

Звенога тегишли икки нүкта тезлиги векторининг охирларини туташтирувчи чизиқ тезликнинг тақсимланиш чизиги ёки тезлик тасвири дейилади. Шунга күра, құйғалмас үқ атрофида айланма ҳаракат қилювчи тишли ғилдиракнинг тезлик тасвирини ҳосил қилиш учун айланыш марказидан  $R$  масофада ётувчи бирор нүктаның тезлик векторини аниқлаш кифоя, чунки айланыш марказининг тезлиги үз-үзидан маълум, у нолга teng.

Бир жуфт ғилдирак илашмасида иккала ғилдиракка тегишли нүкталарнинг тезликлари бир хил қийматта эга бўлишидан фойдаланиб, илашиб нүктасининг тезлик вектори учини иккинчи ғилдиракка тегишли, тезлиги нолга teng бўлған нүкта билан тұғри чизиқ орқали туташтириб, иккинчи звено учун тезликнинг тасвири ҳосил қилинади (55- шакл). Мураккаброқ механизмлар учун тезлик тасвирини қуриш шу усулда давом эттирилади.

2. Планетар механизм кинематикасини тезлик тасвири ёрдамида график усул билан текшириш яққол ва осон усул бўлиб, у чизиқли ва бурчак тезликлар тасвиirlарини қуришга асосланган.

Бунинг учун механизм схемаси  $\mu_1$  масштабда қурилади (56- шакл, а ва б) ҳамда ундағы характерлы нүкталар—ғилдиракларнинг айланыш марказлари, уларнинг үзаро илашувчи нүкталари  $O, A, C, B$  билан белгиланади ва схема ён томонидан тик чизиқ ўтказилиб, унга характерлы  $O, A, C, B$  нүкталар параллел равишида күчирилади (56- шакл, в).



56- шакл.

*A* нүқта тезлик векторининг чизмадаги қийматини бирор ( $Aa$ ) кесма тарзида күрсатилади. У ҳолда ҳосил бўлган тўғри бурчакли учбурчак  $Oa$  марказий филдирак учун тезликнинг тақсимланиш тасвирини билдиради.

Тезлик масштаби:

$$\mu_n = \frac{v_A}{(Aa)} = \frac{\omega_1 l_{OA}}{(Aa)} \text{ [м/с].}$$

Звено 3 қўзгалмас эканлиги ҳисобга олинса,  $y - y$  чизигидаги *B* нүқта сателлитнинг тезлиги нолга teng бўлган нүқтасидир. Шу сабабли *a* ва *B* ни туташтириш натижасида ҳосил бўлган учбурчак  $BAa$  сателлит учун тезликнинг тақсимланиш тасвири бўлади. Мана шу тасвирдаги ( $Cc$ ) кесма сателлит марказининг ва у билан айланма кинематик жуфт ҳосил қиливчи водилога тегишли *C* нүқтанинг ҳам тезлик векторини кўрсатади. Бинобарин, водило учун тезликнинг тақсимланиши чизигини ҳосил қилиш учун ундаги *C* ва *O* нүқталарга тегишли тезлик векторларининг учларини туташтирувчи  $Oc$  нурини ўтказишимиш керак бўлади.  $\Delta COc$ —водилонинг тезлик тасвиридир.

Схемадаги марказий филдирак, сателлит ёки водилога тегишли исталган нүқтанинг тезлик қийматини аниқлаш керак бўлса, шу нүқтанинг  $y - y$  ўқидаги проекциясидан горизонтал чизиқ ўтказамиз. Шу чизиқдаги бирор звено тезлигининг тақсимланиш учбурчагидаги бўлалиги аниқланадиган нүқта тезлигининг чизма ифодасини билдиради.

Механизм звеноларининг бурчак тезликларини, узатиш нисбатини аниқлаш учун бурчак тезлик тасвиридан фойдаланиш мумкин. Бурчак тезлик тасвири чизиқли тезлик тасвиридан фойдаланган ҳолда қурилади.

Марказий филдирак, сателлит ва водилолар тезликлари тақсимланиш чизиқларининг  $y - y$  ўқи билан ҳосил қилган бурчаклари мос равища  $\psi_1, \psi_2, \psi_n$  билан белгиланган бўлсин (56-шакл, б).

$$\Delta AOa \text{ дан: } \omega_1 = \frac{v_A}{l_{OA}} = \frac{(Aa) \mu_n}{(OA) \mu_l} = \operatorname{tg} \psi_1 \cdot \frac{\mu_n}{\mu_l};$$

$$\Delta AaB \text{ дан: } \omega_2 = \frac{v_A}{l_{AB}} = \frac{(Aa) \cdot \mu_v}{(AB) \cdot \mu_l} = \operatorname{tg} \psi_2 \cdot \frac{\mu_v}{\mu_l};$$

$$\Delta CcO \text{ дан: } \omega_n = \frac{v_c}{l_{OC}} = \frac{(Cc) \cdot \mu_v}{(OC) \cdot \mu_l} = \operatorname{tg} \psi_n \cdot \frac{\mu_v}{\mu_l}.$$

Бурчак тезликларни чизмада тасвирлаш учун бирор горизонтал чизик  $m-m$  да  $K$  нуқтани танлаб, шу нуқтадан  $m-m$  чизигига перпендикуляр йўналишда пастки томонга ( $KP$ ) кесмани қўйамиз ва  $P$  нуқтадан  $\psi_1, \psi_2, \psi_3$  бурчаклар остида нурлар ўтказамиз ҳамда шу нурларнинг горизонтал  $m-m$  чизиги билан кесишиш нуқталарини мос равинда  $I, 2, H$  билан белгилаймиз (56-шакл, г), у ҳолда

$$\operatorname{tg} \psi_1 = \frac{(KI)}{(KP)}; \quad \operatorname{tg} \psi_2 = \frac{(K2)}{(KP)}; \quad \operatorname{tg} \psi_n = \frac{(KH)}{(KP)}$$

бўлади. Буларни юқоридаги ифодалар ўрнига қўйиб, қўйидагиларни ҳосил қиласиз:

$$\omega_1 = (KI) \frac{\mu_v}{(KP) \cdot \mu_l};$$

$$\omega_2 = (K2) \frac{\mu_v}{(KP) \cdot \mu_l};$$

$$\omega_n = (KH) \frac{\mu_v}{(KP) \cdot \mu_l}.$$

Бунда ( $KI$ ), ( $K2$ ), ( $KH$ ) лар звенолар бурчак тезликларининг чизма ифодалари бўлиб, бурчак тезлик масштаби

$$\mu_\omega = \frac{\mu_v}{(KP) \cdot \mu_l} \frac{\text{рад}}{\text{с.мм}} \qquad \text{бўлади.}$$

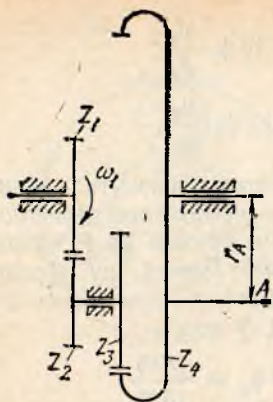
$K1, K2$  векторларнинг  $K$  нуқтадан турли томонга йўналганлиги филдирек 1 ва 2 ларнинг бурчак тезликлари турли томонга йўналганлигини билдиради. Бурчак тезлик тасвиридан фойдаланилганда механизм тузатиш нисбати қўйидагича топилади:

$$u_{in} = \frac{\omega_1}{\omega_n} = \frac{(KI)}{(KH)}.$$

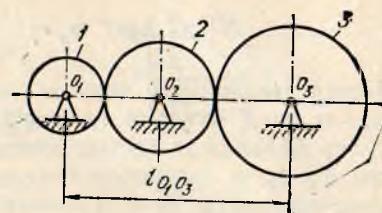
#### 48 — 53- масалалар

(Тишли филдирекли механизмларнинг кинематик схемасини чизиш талаб қилинганда филдирекларнинг бошланғич айланалари радиуслари формула  $r_i = \frac{m z_i}{2}$  га кўра аниқланади. Бу ерда  $z_i$  — филдирек тишларинсони;  $m$  — бошланғич айлана бўйича тиш модули.  $m = \frac{P}{\pi}$  бўлиб,  $P$  — бошланғич айлана бўйича ўлчанадиган тиш қадами.)

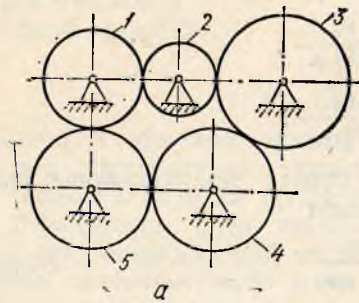
48. Қўйида берилган қийматларга кўра  $A$  нуқтанинг тезлиги аниқлансин.  $z_1 = 24, z_2 = 18, z_3 = 30, z_4 = 72, r_A = 0,21\text{м}, \omega_1 = 20 \text{ рад/с.}$



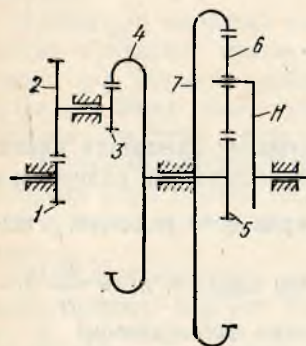
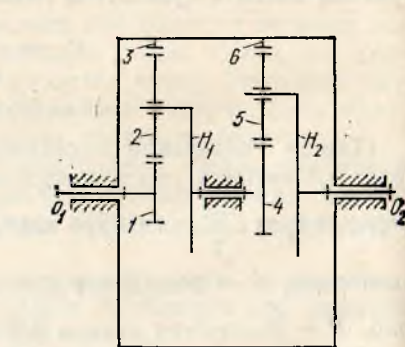
48- масалага.



49- масалага.

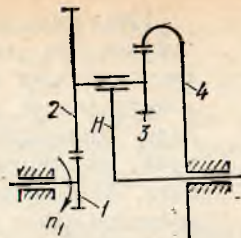


50- масалага.



51- масалага.

52- масалага.



53- масалага.

49. Фидираклари қатор жойлашган узатманинг узатиш нисбатини ҳамда биринчи ва охирги фидираклар ўқлари орасидаги масофа  $l_{O_1 O_2}$  ни қыйидаги берилгиларга кўра аниқланг.

Ҳамма фидираклар учун модуль  $m = 5$ ,  $z_1 = 17$ ,  $z_2 = 24$ ,  $z_3 = 34$ .

50. Ёпиқ контурли фидираклари қатор жойлашган узатмаларнинг қўзғалувчанлик даражасини формуулалар (1. 1) ва (4. 1) га асоссан хисобланг. Фидираклари сони жуфт бўлган бундай узатмаларнинг қўзғалувчанлик даражаси нима сабабли 1 га тенг бўлади. Сабабини исботлаб изоҳланг.

51. Қыйидаги берилган қийматларга кўра редукторнинг умумий узатиш нисбати  $\mu_{1n_1}$  ни аниқланг.  $z_1 = 10$ ,  $z_2 = 40$ ,  $z_3 = 12$ ,  $z_4 = 60$ ,  $z_5 = 18$ ,  $z_6 = 54$ ,  $z_7 = 126$ .

52. Қыйидаги берилган қийматларга кўра редукторнинг узатиш нисбати  $\mu_{1n_2}$  ни аниқланг.  $z_1 = 18$ ,  $z_2 = 36$ ,  $z_4 = 30$ ,  $z_5 = 30$ ,  $z_3 = z_6 = 90$ .

53. Қыйидаги берилган қийматларга кўра икки қаторли битта ташқи, битта ички илашмали планетар редукторнинг узатиш нисбати ҳамда унинг водилоси ва сателлитнинг бурчак тезликлари аниқлансан.  $z_1 = 18$ ,  $z_2 = 54$ ,  $z_3 = 24$ ,  $z_4 = 96$ ,  $n_1 = 650$  айл/мин.

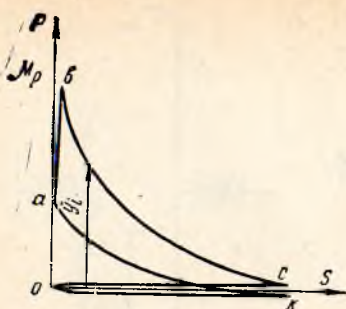
## 5- боб. МЕХАНИЗМЛАРНИ ҚУЧЛАР ТАЪСИРИДА ТЕҚШИРИШ

### 1- §. МЕХАНИЗМГА ТАЪСИР ЭТУВЧИ ҚУЧЛАР

Механизмни кучлар таъсирида текширишда унга таъсир этувчи ҳамма ташқи кучларнинг қийматлари ва йўналишлари аниқланган бўлини ёки уларнинг сон қийматини аниқлаш усувлари кўрсатилган бўлини керак.

Механизмга таъсир этувчи кучларга қуйидагилар киради.

1. Ҳаракатлантирувчи кучлар ёки моментлар. Механизмни ҳаралатга келтирувчи, уни бирор иш бажаришга мажбур этувчи куч ёки момент бирор энергия манбай ёки ташқи таъсиридан вужудга келади. Ҳаракатлантирувчи куч вектори билан шу куч қўйилиш нуқтасининг тезлик вектори орасидаги бурчак доимо  $90^\circ$  дан кам бўлади. Ҳаракатлантирувчи моментнинг йўналиши эса шу момент таъсир этаётган висенонинг йўналиши билан бир хил бўлади.



57- шакл.

Ички ёнув двигателларида ҳаракатлантирувчи күч цилиндрга киритилган сиқилган ёнилтирилген күчтеги ва ҳаво аралашмасининг алангаланиши натижасида вужудга келади. Цилиндрдаги ёнган газнинг босим кучи, маълумки, унинг эгаллаган ҳажмига, бинобарин, поршенинг энг юқори ҳолатдан қанча узоқлашганлигига боғлиқ.

Механизмнинг текширилаётган ҳолатида поршенга таъсир этувчи ҳаракатлантирувчи кучни аниқлаш учун аввало цилиндрдаги босим кучини аниқлаш лозим бўлади. Босимнинг қиймати термодинамика қонунларига асосланниб, қурилган

машинанинг механик характеристикасини ифодаловчи индикатор диаграммадан фойдаланиб аниқланади. 57- шаклда карбюраторли двигателлар учун индикатор диаграмма тасвирланган бўлиб, ундаги ордината ўқи  $P$  цилиндрдаги босимни, абсцисса ўқи  $s$  поршенинг юқори чекка нуқтадан масофасини ифодалайди.

Индикатор диаграммасидаги  $a - b - c$  чизиги ёниш тактидаги,  $c - o$  чизиги чиқариш тактидаги,  $o - k$  чизиги ўзгириш тактидаги,  $k - a$  чизиги сиқиши тактидаги босимнинг ўзгариш қонуниятини ифодалайди.

Босимнинг ўзгариш чизигигача бўлган ордината босим қийматини ифодалайди.

Механизмнинг текширилаётган ҳолати учун поршенга таъсир этувчи босим натижасида ҳосил бўлувчи кучнинг қиймати қўйидаги ифодадан аниқланади:

$$F_{\text{куч}} = (y_i) \cdot \mu_p \cdot S_{\text{юза}},$$

бу ерда  $(y_i)$  — босимнинг чизмадаги қиймати,  $\mu_p$  — босим масштаби,  $S_{\text{юза}}$  — поршень юзаси.

**2. Фойдали қаршилик кучлари.** Механизм ҳаракатланиш жараёнида лойиҳада назарда тутилган ҳамма қаршилик кучларини енгизи керак бўлади. Фойдали қаршилик кучлари механизминг иш бажарувчи звеносига қўйилган бўлиб, шу звено тезлик вектори ва куч вектори орасидаги бурчак  $90^\circ$  дан ортиқ бўлади. Бунда ҳаракатга тўсқинлик содир бўлади, яъни манфий иш бажарилади. Қирқиш станокларида қирқилувчи деталнинг кескичга қаршилиги, насосларда суюқлик ёки газнинг поршенга таъсир кучи ва ҳоказолар фойдали қаршилик кучига мисол бўла олади. Лойиҳада фойдали қаршилик кучининг механизм ҳолатига боғлиқ бўлган циклограммаси берилган бўлади.

**3. Зарарли қаршилик Кучлари** механизм ҳаракатига тўсқинлик килиб, унинг фойдали иш коэффициентини камайтиришга сабаб бўлади.

Бу кучлар асосан ташқи муҳит таъсири, кинематик жуфтлардаги ишқаланиш кучлари бўлиб, куч ва тезлик векторлари ўзаро қарама-қарши йўналган бўлади, бинобарин, улар бажарган иш ҳам манфийдир.

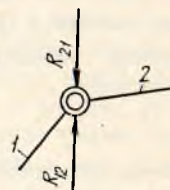
4. Оғирлик күчлари доимо ер марказига йұналған бўлиб, оғирлик күчлари векторлари билан шу күч таъсир этувчи нүкта тезлиги вектори орасидаги бурчак  $0^\circ$  дан  $180^\circ$  гача бўлған қийматни ташкил этиши мумкин. Шу бурчакнинг ўтқир ёки ўтмас бўлишига қараб, оғирлик күчлари ҳаракатлантирувчи ёки қаршилик күчлари қаторига кириши мумкин. Бу күчнинг бажарған иши юқоридаги мулоҳазаларга кўра мусбат ёки манфий бўлади.

5. Инерция күчлари доимо массалар маркази тезланишига қарама-қаршы йұналади. Инерция күчлари векторлари билан шу күч қўйилған нүкта тезлиги орасидаги бурчак  $0^\circ$  дан  $180^\circ$  гача ўзгариши, бино-барин, инерция күчлари мусбат ёки манфий иш бажариши мумкин. Юқоридаги мулоҳазаларга кўра инерция күчлари маханизм учун ҳам ҳаракатлантирувчи, ҳам қаршилик кучи бўла олади. Ҳозирги тезюарар мининадарда инерция күчлари жуда катта қийматта эга. Шунинг учун ҳам механизмни лойиҳалаш ва текширишда инерция күчларини ҳисобга олмасдан бўлмайди.

6. Реакция күчлари кинематик жуфтларда звено-ларининг бир-бирига таъсир кучи бўлиб, бу күчларни аниқлаш механизмини күчлар таъсирида ҳисоблашинг асосий масалаларидан биридир.

Айланма кинематик жуфтларда реакция күчларининг қўйилиш нүқталари маълум, қийматлари ша йұналиши номаълумдир (58- шакл):

$$R_{12} = -R_{21}.$$



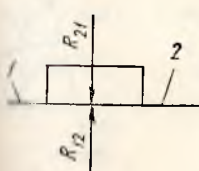
58- шакл.

Илгарилама кинематик жуфтларда реакция күчларининг йұналиши маълум бўлиб, у звенони йўналтирувчи сиртга иерпендикулярdir. Күчнинг қўйилиш нүқтаси ўса номаълум (59- шакл).

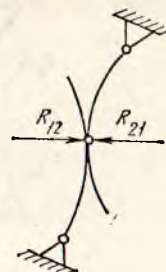
Олий кинематик жуфтларда реакция күчлари уриниш нүқталаридан ўтувчи нормал чизиқда ётади (60- шакл).

## 2- §. МЕХАНИЗМ ЗВЕНОЛАРИДАГИ ИНЕРЦИЯ КҮЧЛарини АНИҚЛАШ

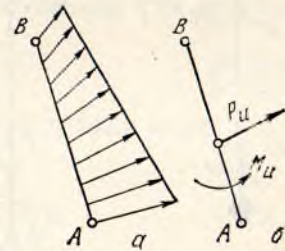
Механизм звеноси моддий нүқталар системасидан иборат бўлғандиги сабабли ҳаракат жараённда звенога тегишли нүқталарининг тезланишилари ҳар хил йұналишда бўлиши мумкин. Бинобарин, звенодаги



59- шакл.



60- шакл.



61- шакл.

моддий нүкталарга таъсир этувчи инерция кучларининг қийматлари ҳам ҳар хил бўлади. Моддий жисмга таъсир этувчи ҳар қандай кучлар системасини битта бош куч ва унинг бош моменти билан алмаштириш мумкин бўлгани каби, звено нүкталарига таъсир этувчи инерция кучларини шу звено массалари марказига таъсир этувчи ягона бош инерция кучи ва звенонинг бурчак тезланиши сабабли вужудга келувчи бош инерция моментига алмаштириш мумкин бўлади.

61- шакл, *a* да звено моддий нүкталарига қўйилган инерция кучларининг тақсимланиш эпюраси, 61- шакл, *b* да уларни ягона бош инерция куч ва бош инерция моменти билан алмаштириш кўрсатилган.

Инерция кучининг бош вектори  $P_u$  звено оғирлик марказига қўйилган бўлиб, қиймат жиҳатидан звено массаси  $m$  билан массалар маркази тезланиши  $a_s$  пинг кўпайтмасига тенг ва йўналиши унга қарама-қарши:

$$P_u = -m \cdot a_s.$$

Инерция кучи бош момент  $M_u$  ининг қиймати звенонинг оғирлик марказидан ўтувчи ўққа нисбатан олинган инерция моменти  $J_s$  нинг бурчак тезланиши  $\epsilon$  га кўпайтмасига тенг бўлиб, йўналиши унга тескари:

$$M_u = -J_s \cdot \epsilon.$$

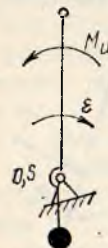
Механизм ҳаракати жараёнида звеноларда вужудга келадиган инерция кучлари ва унинг моментлари ҳам қиймат жиҳатидан, ҳам йўналиши жиҳатидан ўзгариб туради. Звеноларнинг турлича ҳаракатида уларда вужудга келадиган бош инерция кучлари ва бош инерция моментини аниқлашни ва уларни ягона натижаловчи инерция кучи билан алмаштириш усулларини кўриб чиқамиз.

1. Звено тўғри чизиқли илгарилама ҳаракатда бўлганда унда фагат инерция кучи вужудга келади:

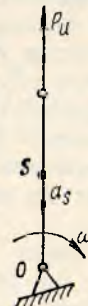
$$P_u = -ma.$$

2. Мувозанатланган кривошип:

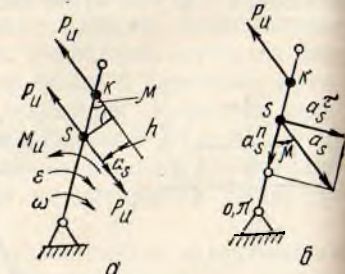
а) ўзгармас бурчак тезлек ( $\omega = \text{const}$ ) билан ҳаракатланганда, унда ҳеч қандай инерция кучи ёки унинг моменти вужудга келмайди;



62- шакл.



63- шакл.



64- шакл.

б) ўзгарувчан бурчак тезлик билан ҳаракатланса (62- шакл), унда фақат инерция күчининг моменти  $M_u$  вужудга келади:

$$M_u = -J\epsilon.$$

3. Мувозанатланмаган кривошип:

а) ўзгармас бурчак тезлик билан ( $\omega = \text{const}$ ) ҳаракатланса (63-шакл), унда фақат инерция күчи  $P_u$  вужудга келади:

$$P_u = -ma_s;$$

б) ўзгарувчан бурчак тезлик билан ҳаракатланганда (64- шакл, а) унга ҳам инерция күчи, ҳам инерция күчининг моменти таъсир қилиди:

$$P_u = -ma_s,$$

$$M_u = -J_s \cdot \epsilon$$

Оғирлик маркази айланиш маркази билан устма-уст тушмаганда ша звено ўзгарувчан бурчак тезлик билан ҳаракатланганда, юқорида кўрганимиздек, унда ҳам инерция күчи, ҳам инерция күчининг моменти пайдо бўлади. Ҳисоблашни осонлаштириш мақсадида уларнинг ҳар иккаласини звенонинг бошқа бир нуқтасига қўйилган натижаловчи ягона инерция күчи билан алмаштириш мумкин. Бунинг учун инерция күчининг моментини ўзаро  $h$  масофада ётувчи қийматлари  $P_u$  га тенг бўлган жуфт күч билан алмаштирамиз (64- шакл, а), яъни:

$$M_u = -J_s \cdot \epsilon = -P_u \cdot h, \quad (5. 1)$$

бу ерда  $h = \frac{M_u}{P_u}$  бўлиши назарда тутилади.

Натижада инерция күчи  $P_u$  нуқта  $K$  га кўчадики, у звенога таъсир ётувчи инерция моменти  $M_u$  ва  $S$  нуқтага қўйилган инерция күчи  $P_u$  га ўзининг бажарадиган ишига кўра эквивалентdir.

$K$  нуқта звенодаги барча инерция кучларининг натижаловчиси қўйилган нуқтадир.  $K$  нуқтага қўйилган инерция күчи натижаловчи инерция күчи,  $K$  нуқтанинг ўзи зарб нуқтаси дейилади. Зарб нуқтанини аниқлаш лойихалашда ҳисобга олиниши зарур бўлган күч ва моментни битта күч билан алмаштиришга имкон бериб, масалани очишни енгиллаштиради. Техникада звенонинг зарб нуқтасига қўйилган инерция кучлари фойдали иш бажарадиган ҳодисалар кўп учрайди.

$$64\text{- шакл, б} \text{ га кўра } \epsilon = \frac{a_s^r}{l_{sk}} = \frac{a_s \sin \mu}{l_{sk}} \quad \text{бўлади.}$$

$P_u = -ma_s; n = l_{sk} \cdot \sin \mu; J_s = mp^2$  эканлигини ҳисобга олсак: формула (5. 1) қўйидаги кўринишга келади:

$$mp^2 \frac{a_s \sin \mu}{l_{sk}} = m \cdot a_s \cdot l_{sk} \cdot \sin \mu. \quad (5. 2)$$

Формула (5. 2) га кўра звено зарб нуқтаси  $K$  нинг оғирлик маркази  $N$  даги ҳоснл қилган масофасини аниқлаймиз:

$$l_{sk} = \frac{\rho^2}{l_{ns}} = \frac{J}{m \cdot l_{ns}}, \quad (5.3)$$

Агар чизма масштаби ҳисобга олинса, формула (5.3) ҳисоблаш учун қуладай бўлган қўйидаги кўринишга келади:

$$(SK) = \frac{J}{m(\pi s) \cdot \mu_l^2}, \quad (5.3)$$

бу ерда  $(SK)$ ,  $(\pi s)$  — чизмадан олинган ўлчамлар.  $\mu_l$  — узунлик масштаби.

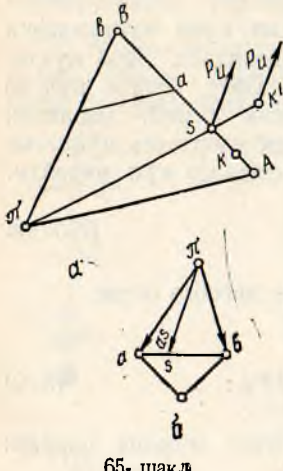
4. Мураккаб ҳаракатланувчи звено шатуннинг бош инерция кучини ва бош инерция моментини аниқлаш ва зарб нуқтасини белгилаш мувозанатланмаган кривошилни текширганимиздек бажарилади. Масаланинг бир оз мураккаблиги шундан иборатки, кривошип звеноси учун тезланиш, тезлик марказларининг ҳолати бир нуқтада ётса, шатун звеноси учун уларнинг ҳолатлари чизма текислигининг турли нуқталарида ётади. Илгарилама ўзгарувчан ҳаракат натижасида вужулга келадиган ва звено оғирлик марказига қўйилган инерция кучи  $P_u$  ва бурчак тезликнинг ўзгариши натижасида вужудга келадиган инерция кучининг моменти  $M_u$  ларни зарб нуқтасига қўйилган натижаловчи инерция кучи билан алмаштириш қўйидагича амалга оширилади. Шатун звеносига тегишли тезланишлар марказини (тезланиш қўймати нолга teng бўлган нуқтани) тезланишлар планидан фойдаланилган ҳолда, ўхшаш учбурчак қуриш усулидан фойдаланиб аниқлаймиз (65- шакл). Сўнгра шатуннинг тезланиш маркази  $\pi$  ни массалар маркази  $S$  билан туташтириб,  $S$  нуқтанинг давомида  $(SK')$  масофада  $K'$  нуқта белгиланади ва инерция кучи  $P_u$  параллел равища  $S$  нуқтадан  $K'$  нуқтага кўчирилади.

$(SK')$  масофа формула (5.3') га кўра аниқланади:

$$(SK') = \frac{J_s}{m(\pi s) \cdot \mu_l^2},$$

бу ерда,  $J_s$  — шатуннинг ўз оғирлик маркази  $S$  нуқтага нисбатан олинган инерция моменти,  $m$  — шатуннинг массаси,  $(\pi s)$  — шатуннинг тезланиш марказидан унинг оғирлик марказигача бўлган чизма узунлиги;  $(SK')$  — оғирлик маркази  $S$  нуқтадан  $K'$  нуқтасигача бўлган ва  $\pi s$  чизигининг давомида ётувчи масофа,  $\mu_l$  — чизма масштаби.

$K'$  нуқтага кўчирилган инерция кучи  $P_u$  нинг таъсир чизиги билан шатуннинг кесишув нуқтаси  $K$  зарб нуқтаси бўлади.



65- шакл

### 3-§. МЕХАНИЗМЛАРНИ КУЧЛАР ТАЪСИРИДА ҲИСОБЛАШ. КИНЕМАТИК ЖУФТЛАРДА КУЧЛАРНИ АНИҚЛАШ УСУЛИ

1. Механизмни кучлар таъсирида ҳисоблаш кинематик жуфтлардаги таянч кучларини, шунингдек, номаълум ташқи куч ёки моментларни аниқлашдан иборат.

Кучлар таъсирида ҳисоблашни кинематик жуфтлардаги ишқаланиши ҳисобга олиб ёки ҳисобга олмасдан бажариш мумкин. Кучлар таъсирида ҳисоблаш—механизм деталларини мустаҳкамлаш шартига кўра ҳисоблашда ва механик фойдали иш коэффициентини аниқлаш учун мурдир. Механик ФИК ни аниқлаш мақсадида механизмни кучлар таъсирида ҳисоблаш учун, албатта, кинематик жуфтлардаги ишқаланиши назарга олиш зарур. Одатда, механизм деталларини мустаҳкамликка ҳисоблашда кинематик жуфтлардаги кучлар қийматларининг цикл давомидаги ўзгаришини билиш керак. Курс лойиҳасида эса энг катта қийматларга эга бўлган ташқи кучлар таъсиридаги механизмнинг битта ёки иккита ҳолати кучлар таъсирида ҳисобланади.

Кучлар таъсирида ҳисоблаш учун қуидагилар берилган бўлади:

1) механизм звеноларининг узунлик ўлчамлари, бош звено координатаси;

2) бутун цикл давомида механизмга таъсир этувчи ташқи кучнинг ўзгариш диаграммаси;

3) звено оғирликлари;

4) оғирлик марказларига нисбатан олинган звеноларининг инерция моментлари;

5) келтириш звеносининг ҳаракат қонуни.

2. Звеноларнинг бир-бирига таъсир кучларини иккита индексли  $R_{ik}$  ҳарфи билан белгланади. Индексдаги биринчи сон, шу звенога куч билан таъсир этувчи бошқа звенонинг тартиб номерини, иккинчи сон — куч қўйиладиган звенонинг тартиб номерини кўрсатади, масалан,  $R_{12} - I$  звенонинг 2 звенога таъсир кучи.

Кучлар таъсирида ҳисоблаш Ньютон қонунига асосланган Даламбер принципини қўллаш натижасида амалга оширилади. Даламбер принципига кўра механизмга таъсир этувчи ҳамма кучлар қаторида звеноларнинг тезланиши таъсирида вужудга келувчи инерция кучлари ҳам ҳисобга олинса, механизмни мувозанат ҳолатда деб қарап мумкин. Бунда механизмга таъсир этувчи номаълум кучларни—реакция кучларини аниқлаш учун статика қоидаси қўлланishi мумкин бўлади.

Бундай усул билан масала ечишда ягона звено ёки звеноларнинг Лассур группалари алоҳида ажратиб олинади. Ҳар бир звенога таъсир этувчи ташқи куч ва моментлар, оғирлик кучлари, инерция кучлари ва унинг моментлари қўйилади. Шунингдек, группадан (звенодан) ажралиб қолган боғланишлар ўрнига (кинематик жуфтлар ўрнига) ташқи реакция кучлари қўйилади. Сўнгра системанинг динамик мувозанат шартига кўра Даламбер принципи татбиқ қилиниб, мувозанат тенгламаси ёзилади.

Мувозанат тенгламасининг шартига кўра системага таъсир этувчи ҳамма кучларнинг бош вектори ёки ҳамма моментларнинг бош моменти қиймати нолга teng бўлиши зарур.

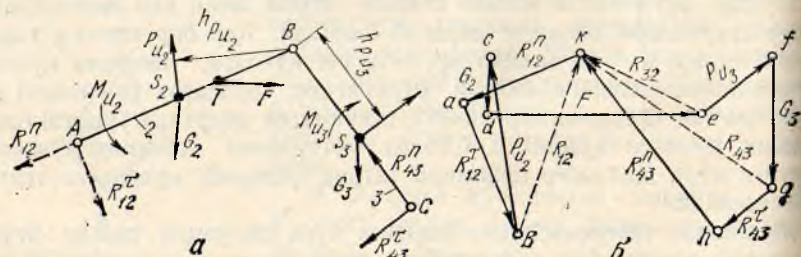
Шуни эсда тутиш керакки, моментлар тенгламасида уларнинг ишо  
ралари ҳисобга олинади.

Куч ва моментлар таъсиридаги алоҳида звено учун куч кўпбурчагини  
қуриш усули билан кинематик жуфтлардаги реакция кучларини аниқлаш  
да тенглама таркибига кирувчи номаълум кучларнинг таъсир чизиги  
маълум бўлса, уларнинг сони иккитадан ошмаслиги шарт. Агар реак  
ция кучнинг таъсир чизиги олдиндан аниқланмаган бўлса, тенглама  
даги номаълумлар сони биттадан ошмаслиги лозим. Шу сабабли тенг  
лама таркибида иккита номаълум куч бўлса, уларни звенога параллел  
йўналган нормал ва унга перпендикуляр бўлган тангенциал ташкил  
этувчиларга ажратиб олинади ва тангенциал ташкил этувчи кучнинг  
қиймати ҳамда қайси томонга йўналганлиги моментлар тенгламасидан  
фойдаланиб аниқланади.

Бу ҳол текширилиши лозим бўлган звенога таъсир этувчи реакция  
кучларини аниқлаш учун унга боғланган бошقا звенонинг мувозанат  
шартидан ҳам фойдаланишга олиб келади. Шу сабабли механизмни  
кучлар таъсирида текширишда механизмлар Ассур группаларига ажра  
тилиб текширилиши анча қулай. Чунки, тенгламада ифодаланган  
номаълум кучлар ташкил этувчиларга ажратилганда уларнинг танген  
циал ташкил этувчилари шу групсадаги звенонинг мувозанат шарти  
дан аниқланади.

#### 4- §. АЙЛАНМА КИНЕМАТИК ЖУФТЛИ ИККИНЧИ КЛАСС АССУР ГРУППАСИ УЧУН КИНЕМАТИК ЖУФТЛАРДАГИ РЕАКЦИЯ КУЧЛАРИНИ АНИҚЛАШ

Группага тегишли звенолар 2 ва 3 га қуйидаги ташки кучлар таъсир  
қиладилар деб фараз қиласмиш (66- шакл, а):  $G_2$ ,  $G_3$  — звеноларнинг  
офирилик кучлари; улар звенолар массаларининг марказлари  $S_2$  ва  $S_3$   
нуқталарга қўйилган бўлади;  $P_{u_2}$  ва  $P_{u_3}$  — звеноларнинг илгарилама  
ҳаракат натижасида вужудга келадиган инерция кучлари, улар ҳам  
массаларнинг марказлари  $S_2$  ва  $S_3$  га мос равишда қўйилган бўлади;  
 $M_{u_2}$ ,  $M_{u_3}$  — звеноларнинг бурчак тезланиш билан айланма ҳаракати  
натижасида вужудга келадиган инерция кучларининг моментлари;  
 $F$  — звено 2 нинг  $T$  нуқтасига қўйилган ташки куч,  $R_{12}^n$ ,  $R_{12}^t$  — звено  
1 нинг звено 2 га реакция кучининг звено 2 бўйлаб йўналган нор-



66- шакл.

мал ҳамда звено 2 га тик йұналған тангенциал ташкил этувчилари, уларнинг қийматлари ва ҳақиқий йұналишлари номаълум;  $R_{43}^n$ ,  $R_{43}^t$  звено 4 нинг звено 3 га нисбатан реакция кучининг звено 3 бўйлаб йұналған нормал ва звено 3 га тик йұналған тангенциал ташкил этувчилари, уларнинг қийматлари ва ҳақиқий йұналишлари ҳам ҳозирча номаълум.

Группага таъсир этувчи кучларнинг Даламбер принципига асосланган мувозанат шартини вектор тенглама кўринишида ёзамиш. Тенглама тузганда номаълум кучнинг нормал ва тангенциал ташкил этувчилари ёнма-ён ёзилиши керак. Шунингдек, номаълум кучлардан бири тенгламанинг олдига, иккинчиси охирига ёзилади.

$$\vec{R}_{12}^n + \vec{R}_{12}^t + \vec{P}_{u_2} + \vec{G}_2 + \vec{F} + \vec{P}_{u_3} + \vec{G}_3 + \vec{R}_{43}^t + \vec{R}_{43}^n = 0. \quad (5.4)$$

Таъсир чизиги маълум бўлиб, қиймати ва вектор йұналиши номаълум бўлган  $R_{12}^t$  ва  $R_{43}^t$  кучларнинг қийматлари ва вектор йұналишлари тенгламани тузишдан олдинроқ, Даламбер принципига кўра аниқлиб олинган бўлади, яъни звеноларга таъсир этувчи кучлардан ва моментлардан звенонинг бирор нуқтасига нисбатан олинган бош момент нолга тент бўлиши керак.  $\sum M_{pi} = 0$  шарти ҳар бир звено учун алоҳида тузилади. Звено 2 га таъсир этувчи кучлардан ва  $M_2$  моментдан  $B$  нуқтага нисбатан олинган моментлар йиғиндиси нолга тент:

$$-R_{12}^t \cdot l_{AB} + P_{u_2} \cdot h_{Pu_2} - G_2 \cdot h_{G_2} - F \cdot h_F - M_{u_2} = 0, \\ \text{тенгламада } h_{Pu_2}, h_{G_2}, h_F \text{ лар} - \text{куч елкалари.} \quad (5.5)$$

Звено 3 га таъсир этувчи кучлардан ва  $M_3$  моментдан  $B$  нуқтага нисбатан олинган моментларнинг йиғиндиси ҳам нолга тент:

$$R_{43}^t \cdot l_{BC} - P_{u_3} \cdot h_{Pu_3} + G_3 \cdot h_{G_3} + M_{u_3} = 0. \quad (5.6)$$

Тенглама (5.5) га асосан

$$R_{12}^t = \frac{P_{u_2} \cdot h_{Pu_2} - G_2 \cdot h_{G_2} - F \cdot h_F - M_{u_2}}{l_{AB}}. \quad (5.7)$$

Тенглама (5.6) га асосан:

$$R_{43}^t = \frac{P_{u_3} \cdot h_{Pu_3} - G_3 \cdot h_{G_3} - M_{u_3}}{l_{BC}}.$$

Аниқланган  $R_{12}^t$ ,  $R_{43}^t$  ларнинг ишоралари манфий бўлса уларнинг бигина томондан дастлабки белгиланган йұналишлари ҳақиқий йұналишларига қарама-қарши, яъни хато бўлганлигини билдиради.  $R_{12}^n$  ва  $R_{43}^n$  кучларнинг қийматлари ва қайси томонга йұналғанликларини аниқлаш учун тенглама (5.4) га асосан куч кўпбурчаги қурилади. Куч кўпбурчагини қуришда дастлаб қиймати маълум бўлган кучларнинг чизма үзүнликларини ихтиёрий куч масштаби  $\mu_p \left[ \frac{\text{Н}}{\text{ММ}} \right]$  га кўра аниқлаб олиниди, яъни:

$$\left( \vec{R}_{12}^t \right) = \frac{R_{12}^t}{\mu_p} [\text{ММ}]; \quad \left( \vec{P}_{u_2} \right) = \frac{P_{u_2}}{\mu_p} [\text{ММ}] \quad \text{в. x.}$$

Күч күпбұрчаги құйидагича қурилади. Ихтиерий танланған бирор  $a$  нұқтадан (66-шакл, б) тенглама (5.4) даги күчларнинг кетма-кет жойлашув тартибига күра чизма құйматлари аниқ бўлган күч векторлари занжири  $\vec{R}_{12}^t + \vec{P}_{u_1} + \vec{G}_2 + \vec{F} + \vec{P}_{u_2} + \vec{G}_3 + \vec{R}_{43}^t$  ни ифодаловчи синиқ чизиқлар занжири ( $a - b - c - d - e - f - g - h$ ) ни қурамиз. Сүнгра  $\vec{R}_{12}^t$  векторнинг бошланиш нұқтаси  $a$  дан звено 2 га параллел равишида  $\vec{R}_{12}^n$  векторнинг таъсир чизигини,  $\vec{R}_{43}^t$  векторнинг охири бўлган  $h$  нұқтадан звено 3 га параллел равишида  $\vec{R}_{43}^n$  векторнинг таъсир чизигини ўтказамиз. Уларнинг кесишиш нұқтаси  $K$  тенгламалар системасининг ечимини беради, яъни ( $K_a$ ) —  $\vec{R}_{12}^n$  векторни, ( $h_K$ ) —  $\vec{R}_{43}^n$  векторни ифодалайди.  $\vec{R}_{12}^n$  ва  $\vec{R}_{43}^t$  векторларнинг йигиндиси бўлган  $\vec{R}_{12}$  ни ( $K_\theta$ ) кесма  $\vec{R}_{43}^t$  ва  $\vec{R}_{43}^n$  векторларнинг йигиндиси бўлган  $\vec{R}_{43}$  векторни ( $gK$ ) кесма ифодалайди (66-шакл, б), улар пункттир чизиқлар билан кўрсатилган. Аниқланған реакция күчларининг ҳақиқий құйматлари күч планидаги кесма узунликларини масштабга кўпайтириб аниқланади:

$$R_{12} = (K_\theta) \cdot \mu_p[H]; R_{43} = (gK) \cdot \mu_p[H].$$

В шарнирдаги реакция күчини аниқлаш учун группадаги звенолардан бирини (звено 3 ни) хаёлан олиб ташлаб, иккинчиси учун күчларнинг мувозанат шартини ёзамиш:

$$\vec{R}_{12} + \vec{P}_{u_2} + \vec{G}_2 + \vec{F} + \vec{R}_{32}. \quad (5.8)$$

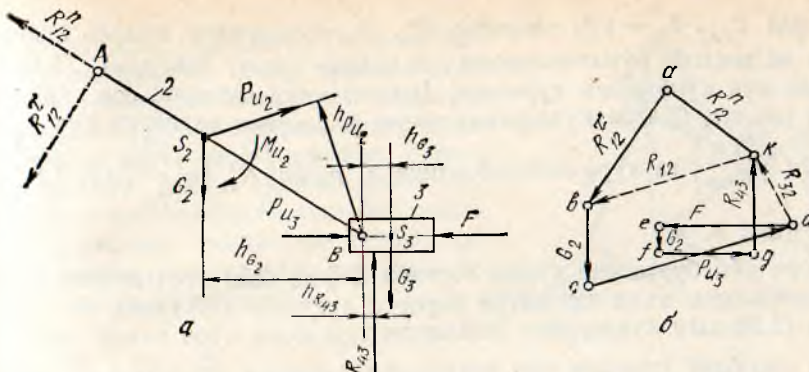
Тенгламадаги  $R_{32}$  ҳам вектор йўналиши, ҳам құймати номаълум бўлган, группадан ажратиб олинган зве о 3 нинг звено 2 га тўлиқ реакция кучи. Тенглама (5.8) га асосан  $\vec{R}_{12}$  векторнинг бошланиши  $k$  нұқта билан  $F$  векторнинг охирини ифодаловчи  $e$  нұқтани ўзаро туаштириб, реакция кучи  $\vec{R}_{32}$  векторни тасвирловчи кесмани ҳосил қиласмиш. У  $e$  нұқтадан  $K$  нұқтага қараб йўналган бўлади. Унинг ҳақиқий құймати құйидагича аниқланади;

$$R_{32} = (eK) \cdot \mu_p[H].$$

Звено 2 нинг звено 3 га реакция кучи  $\vec{R}_{23} = -\vec{R}_{32}$  бўлади, яъни  $\vec{R}_{23}$  векторнинг йўналишини аниқлаш учун  $\vec{R}_{32}$  векторнинг йўналишини қарама-қарши томонга ўзgartариш кифоя.

### 5-§. ИЛГАРИЛАМА ВА АЙЛАНМА 1 КИНЕМАТИК ЖУФТЛИ ИККИНЧИ КЛАСС АССУР ГРУППАСИ УЧУН КИНЕМАТИК ЖУФТЛАРДАГИ РЕАКЦИЯ КҮЧЛАРИНИ АНИҚЛАШ

Группага тегишли звенолар 2 ва 3 га (67-шакл, а) құйидаги ташқи күчлар таъсир қиласётган бўлсин:  $G_2$  ва  $G_3$  — звеноларнинг оғирлик күчлари, улар звенолар массаларининг маркази  $S_2$  ва  $S_3$  нұқталарига



67- шакл.

қүйилган бўлади.  $P_{u_1}$ ,  $P_{u_2}$  — илгариlama ҳаракат натижасида звеноларди вужудга келадиган инерция кучлари, улар ҳам массалар маркази  $S_2$ ,  $S_3$  нуқталарга қўйилган бўлади.  $M_{u_1}$  — звено 2 нинг бурчак тезлини билан айланма ҳаракат қилиши натижасида вужудга келадиган инерция кучининг моменти;  $F$  — звено 3 га таъсир этувчи ҳаракатлантирувчи куч,  $\vec{R}_{12}^n$ ,  $\vec{R}_{12}^t$  — звено 1 нинг звено 2 га реакция кучининг звено 2 бўйлаб йўналган нормал ва звено 2 га тик йўналган тангенциал ташкил этувчилари, уларнинг қийматлари ва ҳақиқий йўналишлари номаълум,  $R_{43}$  — ползун йўналтирувчисининг ползунга реакция кучи бўлиб, унинг таъсир чизиги йўналтирувчи сиртга тик жойлашади. Бу кучнинг қўйилиш нуқтаси ва қайси томонга йўналганлиги номаълум. Кўраётган мисолимизда ползун илгариlama ҳаракатланётганинги сабабли масаланинг ҳал қилиниши бирмунча осонроқ бўлади.

Группага таъсир этувчи кучларнинг Даламбер принципига асосланган мувозанат шартини вектор тенглами кўриннишида ёзамиз. Группага таъсир этувчи ҳамма кучлар жумласига инерция кучини ҳам қўшишак, Даламбер принципига кўра бу кучлардан тузилган куч кўпурчиги ёниқ бўлиши керак. Қиймати ва вектор йўналиши номаълум кучлар тенгламанинг олдига ва охирiga ёзилади.

$$\vec{R}_{12}^n + \vec{R}_{12}^t + \vec{G}_2 + \vec{P}_{u_2} + \vec{F} + \vec{G}_3 + \vec{P}_{u_3} + \vec{R}_{43} = 0. \quad (5.9)$$

$R_{12}^n$  кучининг қиймати ва вектор йўналишини тенгламани тузишдан оғизроқ Даламбер принципига асосан аниқлаб олинган бўлади. Бундай звено 2 га таъсир этувчи ҳамма кучлардан ва  $M_{u_1}$  моментдан  $B$  нидтирига нисбатан олинган мөментлар йигиндиси нолга тенг бўлади:

$$-R_{12}^t \cdot l_{AB} + P_{u_2} \cdot h_{P_{u_2}} - G_2 \cdot h_{G_2} + M_{u_1} = 0.$$

Бундай:

$$R_{12}^t = \frac{P_{u_2} \cdot h_{P_{u_2}} - G_2 \cdot h_{G_2} + M_{u_1}}{l_{AB}},$$

Бу ерда  $h_{P_{u_2}}$ ,  $h_{G_3}$  — күч елкалари.  $R_{12}^n$ ,  $R_{43}$  күчларнинг модуль қийматлари ва вектор йўналишларини аниқлаш учун тенглама (5.9) га асосан күч кўпбурчаги қурилади. Бунинг учун аввалроқ сон қийматлари маълум бўлган күчларнинг чизма ўлчамлари ихтиёрий күч масштаби  $\mu_p \left[ \frac{H}{MM} \right]$  га кўра аниқлаб олинади, яъни:  $\left( \vec{R}_{12}^t \right) = \frac{\vec{R}_{12}^t}{\mu_p} [MM]$ ;  $\left( \vec{P}_{u_2} \right) = \frac{\vec{P}_{u_2}}{\mu_p} [MM]$  в. х.

Күч кўп бурчагини қуриш тартиби 4-§ да баён этилганидек амалга оширилади, яъни танланган бирор  $a$  нуқтадан (67-шакл, б) тенглама (5.9) даги күчларнинг жойлашув тартибига кўра чизма қийматлари ҳисоблаб топилган күч векторлари занжири  $\vec{R}_{12}^t + \vec{G}_2 + \vec{P}_{u_2} + F + \vec{G}_3 + \vec{P}_u$  ни ифодаловчи чизиклар занжири ( $a - e - c - d - e - f - g$ ) ни қурамиз. Сўнгра  $\vec{R}_{12}^t$  векторнинг бошланиш нуқтаси  $a$  дан звено 2 га параллел равишида  $\vec{R}_{12}^n$  векторнинг таъсир чизигини,  $\vec{P}_{u_2}$  векторнинг охири бўлган  $g$  нуқтадан ползун йўналтирувчисига тик равишида  $\vec{R}_{43}$  векторнинг таъсир чизигини ўтказамиз. Уларнинг кесиши нуқтаси  $k$  тенгламалар системасининг ечимини беради, яъни ( $ka$ ) —  $\vec{R}_{12}^n$  векторни, ( $gk$ ) —  $\vec{R}_{43}$  векторни ифодалайди.  $\vec{R}_{12}^n$  ва  $\vec{R}_{12}^t$  векторларнинг йиғиндиси бўлган  $\vec{R}_{12}$  ни ( $kv$ ) кесма ифодалайди (67-шакл, б)  $\vec{R}_{12}$  ва  $\vec{R}_{43}$  реакция күчларнинг модуль қийматлари масштаб коэффициентидан фойдаланиб аниқланади:

$$R_{12} = (kv) \cdot \mu_p [H], R_{43} = (gv) \cdot \mu_p [H].$$

В шарнирдаги реакция кучини аниқлаш учун бирор звенонинг, айтайлик, звено 2 нинг мувозанат шарти ёзилади:

$$\vec{R}_{12} + \vec{G}_2 + \vec{P}_{u_2} + \vec{R}_{32}. \quad (5.10)$$

Тенгламадаги  $\vec{R}_{32}$  ҳам вектор йўналиши, ҳам модуль қиймати но маълум бўлган звено 3 нинг звено 2 га тўлиқ реакция кучидир. Тенглама (5.10) га кўра  $\vec{R}_{12}$  векторнинг бошланиши  $k$  нуқта билан  $\vec{P}_{u_2}$  векторнинг охирини ифодаловчи  $d$  нуқтани ўзаро туташтириб,  $\vec{R}_{22}$  векторни ифодаловчи ( $dk$ ) кесмани ҳосил қиласми (67-шакл, б). У  $d$  нуқтадан  $k$  нуқтага қараб йўналган бўлади. Қиймати эса қуидагича аниқланади:

$$R_{22} = (dk) \cdot \mu_p [H].$$

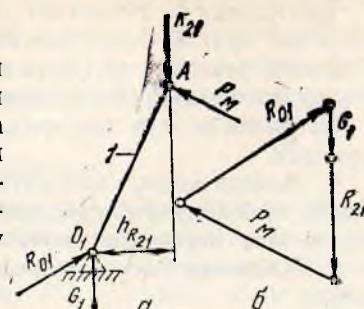
Реакция кучи  $R_{43}$  нинг қўйиши нуқтасини аниқлаш учун ползуннинг мувозанат шартини ёзамиш:

$$R_{43} \cdot h_{R_{43}} - G_3 \cdot h_{G_3} = 0,$$

бундан

$$h_{R_{43}} = \frac{G_3}{R_{43}} \cdot h_{G_3}.$$

Механизмда учрайдиган II класс Ассур группаларининг бошқа турлари учун кучлар таъсирида ҳисоблаш усуллари юқорида көлтирилган усуллардан принцип жиҳатидан катта фарқ қылмайды. Бошқа күрнинишдаги Ассур группаларини куч таъсирида ҳисоблашда юқорида көлтирилган усуллардан фойдаланилди. Шу сабабли қолган Ассур группалари учун бу усул алоҳида күрсатилмади.



68- шакл.

#### 6- §. АЙЛАНМА ҲАРАКАТ ҚИЛУВЧИ ЕТАКЛОВЧИ ЗВЕНО КИНЕМАТИК ЖУФТЛАРИДАГИ РЕАКЦИЯ КУЧЛАРИНИ АНИҚЛАШ

Етакчи звенога таъсир этувчи кучлар (68- шакл, a):  $R_{21}$  — шатун-шинг кривошилга таъсир кучи;  $G_1$  — звенонинг оғирлик кучи;  $R_{01}$  — құзғалмас звенонинг кривошилга таъсир кучи.

Кривошилнинг оғирлик маркази айланыш марказида бўлганлиги (кривошип оғирлиги посанги ёрдамида  $O_1$  ўққа нисбатан мувозанатланғанда бўлади) ва кривошилнинг бурчак тезлиги ўзгармас деб қаралғанлиги сабабли бош звенога инерция кучлари ва инерция кучи моменти таъсир этмайди деб оламиз. Юқорида күрсатилган кучлар шатижасида кривошип мувозанатланмайды. Шу сабабли звенонинг мувозанат шарти ёзилганда звенога таъсир этувчи мувозанатловчи момент ёки звенонинг бирор нүктасига иктиёрий йўналишда қўйиладиган мувозанатловчи куч ҳисобга олинади.

Дарҳақиқат, механизмга таъсир этувчи ҳамма кучларнинг мумкин бўлған силжишдан бажарган ишлар мувозанатловчи кучнинг мумкин бўлған силжишдан бажарган ишларига tengdir. Мувозанатловчи момент ёки мувозанатловчи куч бош звенога механизм звеноларига таъсир этувчи ҳамма кучлардан көлтирилган моментга ёки кучга teng болади. Демак, звенонинг мувозанат шартини ёзишдан олдин мувозанатловчи кучнинг қиймати тонилади. Мувозанатловчи кучнинг қиймати одатда, кривошилга перпендикуляр равишида унинг A нүктасига кўйилган деб қараб, аниқланади:

$$\sum M_{Pi} = R_{21} \cdot h_{R_{21}} - P_M \cdot l_{OA} = 0,$$

бундан

$$P_M = R_{21} \cdot \frac{h_{R_{21}}}{l_{OA}},$$

бу ерда  $h_{R_{21}}$ ,  $l_{OA}$  — куч елкалари.

Таяниг реакция кучларини аниқлаш учун кривошилга таъсир этувчи кучларнинг мувозанат шарти ёзилади:

$$\vec{G}_1 + \vec{R}_{21} + \vec{P}_M + \vec{R}_{01} = 0. \quad (5.11)$$

Тенгламадаги таянчнинг кривошилга реакция кучи  $R_{01}$  қиймат жиҳатдан ҳам, йўналиши жиҳатдан ҳам номаълум. Унинг қиймати ва йўналиши тенглама (5.11) га кўра ўзаро кетма-кет туташган мъалум кучлар векторининг ёпувчисидан аниқланади (68-шакл, б).

Механизмни куч таъсирида ҳисоблаш қўйидаги тартибда олиб борилади.

1. Механизмнинг кинематик схемаси чизилади. Механизмга таъсири этувчи ташқи кучларнинг қийматлари ҳамда уларнинг звеноларга таъсири этиш нуқталари аниқланади.

2. Механизм Ассур группаларига ажратилади. Етакчи звено белгиланади.

3. Статик аниқланадиган система бўлган ҳар бир группа куч таъсирида алоҳида-алоҳида ҳисобланади. Механизмни куч таъсирида ҳисоблаш бош звенодан боғланиш тартиби бўйича энг узоқда жойлашган группадан бошланиб, бош звенонинг ўзини куч таъсирида ҳисоблаш билан тугалланади.

## 7- §. МУВОЗАНАТЛОВЧИ КУЧНИ ЖУКОВСКИЙ УСУЛИ БИЛАН АНИҚЛАШ

1. Баъзи ҳолларда фақат мувозанатловчи кучни ёки мувозанатловчи моментни аниқлаш талаб қилинганда механизмни кинетостатик ҳисоблаб ўтирмастан, уларни тўғридан-тўғри Жуковский усулидан фойдаланиб аниқлаш маъқулдир. Бу усул мумкин бўлган силжишлар принципига асосланган бўлиб, бу принципига асосан идеал механизм звеноларига таъсири этувчи ҳамма ташқи кучларнинг, жумладан инерция кучлари ва мувозанатловчи кучнинг механизм звеноларининг мумкин бўлган силжишидаги бажарган ишлари йигинидиси нолга teng бўлади, яъни

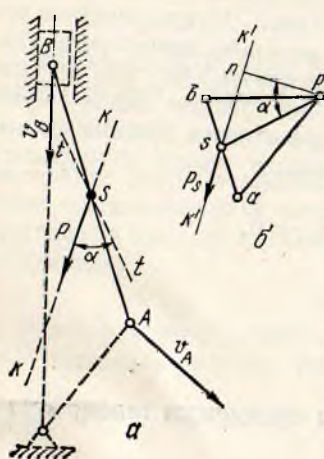
$$\sum_i^{n-1} P_i \delta S_i \cos \alpha_i + P_M \cdot \delta S_M \cdot \cos \alpha_M = 0. \quad (5.12)$$

Тенгламани  $\delta t$  га бўлиб, ҳамма кучларнинг ҳосил қилган қуввати нолга tengлиги шартини ҳосил қиласиз:

$$N_M + \sum_i^{n-1} N_i = 0, \quad (5.13)$$

бу ерда,  $N_M$  — мувозанатловчи кучнинг қуввати,  $\sum_i^{n-1} N_i$  — механизм звеноларига қўйилган мувозанатловчи кучдан бошқа ҳамма ташқи кучлар қувватларининг йигинидиси.

2. Механизмнинг исталган звеносига қўйилган кучнинг қувватини аниқлаш учун ҳақиқий йўналишлари  $90^\circ$  га бурилган тезликлар планидан фойдаланиш мумкин. Мисол учун  $AB$  звенониг (69-шакл, а)  $S$  нуқтасига таъсири этаётган  $P$  кучнинг қувватини аниқлайлик. Бунинг учун звенонинг бурил-



69- шакл.

тәзликлар планиниң қурамынан (69-шакл, б). Үхашашлык усулидан фойдаланып,  $S$  нүктанынг  $90^\circ$  га бурилган тәзлик вектори охире бүлгән  $s$  нүктаны ( $P_i$  күч қўйиладиган нүктаны) планда аниқлаймиз. Тәзлик планида  $S$  нүктадан  $P$  кучнинг таъсир чизиги  $k - k'$  га параллел бүлгән  $k' - k'$  чизик ўтказиб, унда  $P_i$  кучни қўямиз ва шу кучдан қутб  $p$  га нисбатан момент оламиз:

$$M_p = P \cdot h_p = P \cdot (pS) \cos \alpha'. \quad (5.14)$$

Бу момент  $P$  кучнинг қувватига пропорционал эканлигини қўйидаги исботлаш мумкин.  $S$  нүктадан тәзликлар планидаги  $pS$  чизиқка тик  $t - t'$  чизигини ўтказамиз ва  $S$  нүкта тәзлик векторининг ҳақиқий таъсир чизигини ҳосил қиласми. Унинг  $P$  куч билан ҳосил қиласми бурчаги  $\alpha = \alpha'$  бўлади, чунки бу бурчакларнинг ён томонлари ўзаро тик жойлашган чизиқлардир, яъни  $p_n \perp k - k'$  чизигига,  $p_s \perp t - t'$  чизигига.

$P$  куч қувватининг ифодаси:

$$N = P \cdot v_s \cdot \cos \alpha = P \cdot (ps) \cos \alpha' \cdot \mu v, \quad (5.15)$$

бунда ( $ps$ ) — тәзликлар планидан олинган кесма,  $\alpha = \alpha'$  — куч ва тәзлик векторлари орасидаги бурчак. Формула (5.14) ва (5.15) га кўра:

$$N = M_p \cdot \mu_v = P \cdot h_p \cdot \mu_v. \quad (5.16)$$

(5.16) ни (5.13) га қўйиб қўйидагини ҳосил қиласми:

$$P_m \cdot h_m = \sum_{i=1}^n P_i h_i = 0,$$

бундандан

$$P_m = \frac{\sum_{i=1}^n P_i h_i}{h_m}. \quad (5.17)$$

3. Мувозанатловчи кучни Жуковский усули билан аниқлаш оддийни универсал усул бўлиб, унинг ёрдамида:

а) кинематик жуфтлардаги кучларни аниқлаб ўтирмасдан, мувозанатловчи куч тўғридан-тўғри аниқланади;

б) механизм ҳаракатини унга қўйилган кучларга кўра текширишда келтирилган куч ёки моментлар аниқланади.

Мувозанатловчи кучни аниқлаш учун:

1) механизмнинг бурилган тәзликлар плани қурилади;  
2) планда үхашашлык қоидасига биноан ташқи кучларнинг қўйилиш шукралари аниқланади;

3) кучларни параллел равишда тәзликлар планидаги мос нүкталарга кўчириб келтирилади;

4) бурилган тәзликлар планини таянч нүктаси қутб  $p$  да бўлган ригаг деб билиб, унинг мувозанат тенгламаси тузилади. Тузилган тенгламага кўра мувозанатловчи куч  $P_m$  нинг қиймати аниқланади.

Шу нарсани таъкидлаб ўтиш лозимки, агар механизмга ташқи момент қўйилган бўлса, уни кривошилга келтириш лозим. Келтирилган

момент қувватининг тенглиги формуласи  $N_{M_i} = N_{\text{кел}}$  га асосан аниқланади, яъни  $M_{\text{кел}} = M_i \frac{\omega_i}{\omega_1}$ . Бу формуланинг фойдаланиш учун қулай кўриниши агар тезликлар плани келтириш звеноси бўлмиш кривошип масштабида қурилган бўлса, қуйидагича бўлади:

$$M_{\text{кел}} = M_i \frac{(va)}{(AB)},$$

бу ерда  $(va)$  — тезликлар планидан,  $(AB)$  — кинематик схемадан ўлчаб олинадиган кесмаларнинг узунликлари (б-боб, 1-§ га қаранг).

**Мисол.** Цилиндрлари  $V$  — симон жойлашган ЗИЛ типидаги автомобиль ички ёнув двигатели механизми қуйидаги кўрсатилган параметрларнинг қийматларига кўра кинетостатик тадқиқ қилинсин (70-шакл,  $a$ ).  $\beta = 45^\circ$ ,  $\alpha = 90^\circ$ ,  $\varphi = 90^\circ$ ,  $l_{OA} = 0,125$  м,  $l_{AB} = 0,375$  м,  $l_{AS_2} = l_{AS_4} = 0,125$  м. Кривошиппининг бурчак тезлиги  $\omega_1 = 300 \frac{\text{рад}}{\text{с}}$ .

Шатун 2 ва 4 нинг оғирликлари  $G_2 = G_4 = 19,62$  н бўлиб, оғирлик марказларига нисбатан инерция моментлари  $I_{S_2} = I_{S_4} = 0,0475 \text{ кгм}^2$ . Поршень 3 ва 5 нинг оғирликлари  $G_3 = G_5 = 9,81$  н. Поршень 5 га қўйилган, ёнган газ босимидан вужудга келувчи ҳаракатлантирувчи куч  $P_5 = 25000$  Н. Поршень 3 га қўйилган бензин ва ҳаво аралашмасининг сиқилишидан вужудга келувчи қаршилик кучи  $P_3 = 5000$  Н. Мувозанатланувчи момент звено 1 га қўйилган.

**Ечиш. 1.** Механизмга таъсир этувчи инерция кучларини аниқлаймиз. Бунинг учун механизмнинг кинематик схемасини  $\mu_i = 0,005 \frac{\text{м}}{\text{мм}}$  узунлик масштабида қурамиз (70-шакл,  $a$ ). Сўнгра тезликлар планини қуриб, упдан фойдаланган ҳолда тезланишлар планини қурамиз (70-шакл б, в). Мисолда кўрсатилган узунлик ўлчамларига кўра цилиндрлари  $V$ -симон жойлашган двигатель механизмининг қутбий тезлик ва қутбий тезланиш планларини қуриш 2-боб, 7-§ даги биринчи мисолда кўрсатилган.

1) шатун 2 нинг оғирлик марказига қўйилган инерция кучи:

$$P_{u_2} = -m_2 a_{S_2} = -\frac{G_2}{g} \cdot (\pi S_2) \cdot \mu_a = -\frac{19,62}{9,81} \cdot 20,5 \cdot 450 = -18450 \text{ Н}; \text{ унинг вектори } \vec{P}_{u_2} \text{ тезланиш вектори } \vec{a}_{S_2} \text{ га қарама-қарши йўналади.}$$

Шатун 2 нинг бурчак тезланиш билан айланма ҳаракати натижасида вужудга келадиган инерция кучининг моменти қуйидаги формула билан аниқланади:

$$M_{u_2} = -I_{S_2} \cdot \epsilon_2,$$

бу ерда  $\epsilon_2$  — шатуннинг бурчак тезланиши.

Бироқ масалани ечишни осонлаштириш учун  $\vec{P}_{u_2}$  инерция кучи векторини  $S_2$  нуқтадан  $K_2$  нуқтага йўналишини ўзгартирмаган ҳолда қўчирамиз, яъни инерция кучи  $P_{u_2}$  ва унинг моменти  $M_{u_2}$  ни зарб нуқтаси  $K_2$  га қўйилган натижаловчи  $P_{u_2}$  билан алмаштирамиз.  $K_2$  нуқтадан

ұтувчи  $\vec{P}_{u_2}$  вектор шатун текислигидаги  $K'_2$  нүктадан ҳам ұтади,  $K'_2$  нүктанинг  $S_2$  нүктадан масофасини аниқлаймиз.

Формула (5.3') га күра:

$$(S_2 K'_2) = \frac{I_{S_2}}{m \cdot (\pi' S_2) \cdot \mu_l^2} = \frac{0,0475}{2,95 \cdot (0,005)^2} = 10 \text{ мм.}$$

( $\pi' S_2$ ) — шатун 2 нинг ойн тезланиш маркази  $\pi'$  нүктадан  $S_2$  нүктағача бұлган чизмадаги масофа, ( $S_2 K'_2$ ) —  $\pi' S_2$  чизикнинг давомидаги масофа  $K'_2$  нүктанинг  $A$  нүктеге нисбатан чизмадаги ҳолати ( $A K'_2$ ) = = 12 мм,

2) шатун 4 нинг оғирлик маркази  $S_4$  нүктеге құйилған инерция кучі:

$$P_{u_4} = -m_4 a_{S_4} = -\frac{G_4}{g} \cdot (\pi S_4) \cdot \mu_a = -\frac{19,62}{9,81} \cdot 20,5 \cdot 450 = -18450 \text{ Н.}$$

Демек, мисолимизда  $P_{u_4} = P_{u_1}$  бўлади.

Шатун 4 даги зарб нүктаси  $K_4$  ни аниқлаш учун дастлаб ( $S_4 K'_4$ ) ни аниқлаймиз:

$$(S_4 K'_4) = \frac{I_{S_4}}{m \cdot (\pi' S_4) \cdot \mu_l^2} = \frac{0,0475}{2,95 \cdot (0,005)^2} = 10 \text{ мм.}$$

$K_4$  нүктанинг  $A$  нүктадан чизмадаги масофаси ( $A K_4$ ) = 12 мм. Демак, мисолимизда ( $A K'_4$ ) = ( $A K_2$ ) = 12 мм бўлади,

3) поршень 3 нинг ўзгарувчан тезлік билан ҳаракатланиши натижасида ҳосил қиласынан инерция кучи:

$$P_{u_3} = -m_3 a_B = -\frac{G_3}{g} \cdot (\pi \cdot 8) \cdot \mu_a = \frac{9,81}{9,81} \cdot 17 \cdot 5 \cdot 450 = 7875 \text{ Н.}$$

4) поршень 5 нинг инерция кучи:

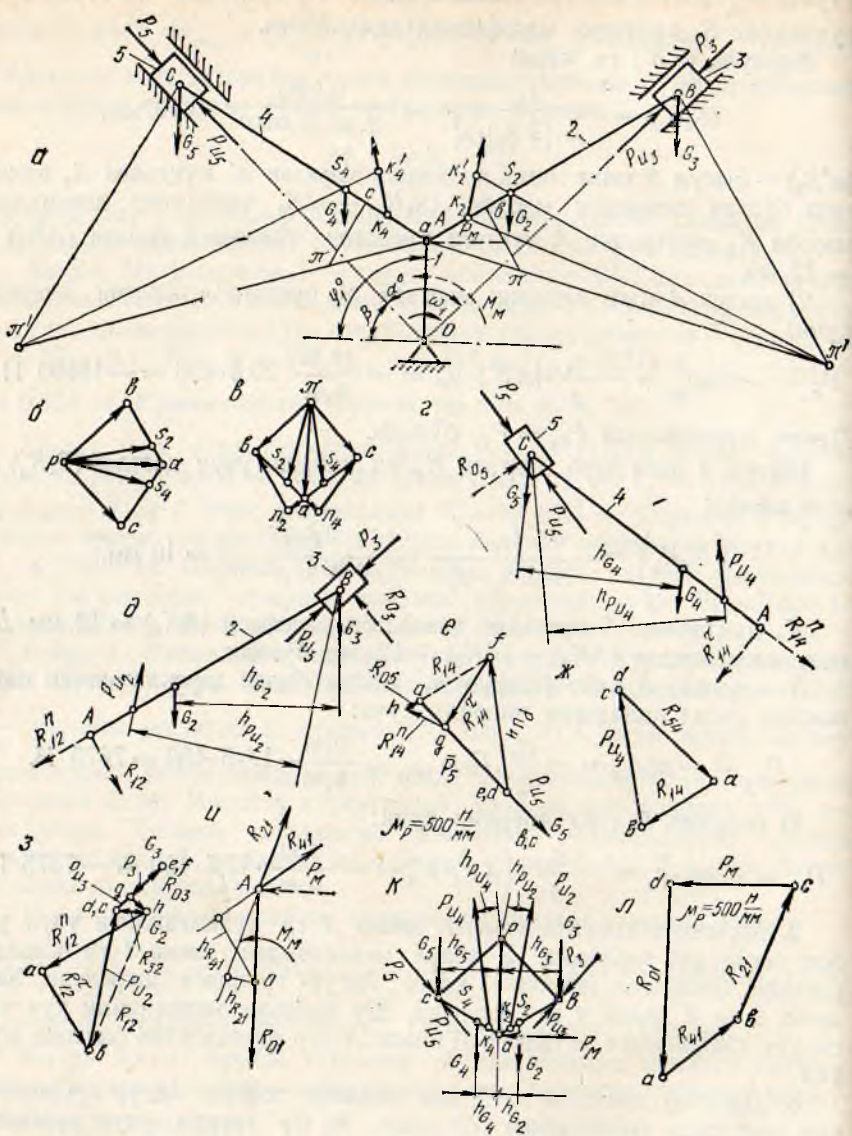
$$P_{u_5} = -m_5 \cdot a_c = -\frac{G_5}{g} \cdot (\pi c) \cdot \mu_a = -\frac{9,81}{9,81} \cdot 17,5 \cdot 450 = -7875 \text{ Н.}$$

2. Мувозанатланувчи момент звено 1 га құйилғанлығи учун унибон звено деб қараймиз. У ҳолда механизмдан звено 1 га параллел равишда болған иккита II класс Ассур группаси ажралади. Улар менен 2 ва 3 ҳамда 4 ва 5 лардир. Шу сабабли механизмни күч таъсирида ҳисоблашни исталған II класс Ассур группасидан бошлаш мумкин.

3. Дастлаб звено 4 ва 5 дан ташкил топған Ассур группасини күч таъсирида ҳисоблашмиз (70-шакл, ә). Бу группа учун мувозанат төңгілесаси қуйидагича ёзилади:

$$\vec{R}_{05} + \vec{P}_5 + \vec{G}_5 + \vec{P}_{u_5} + \vec{G}_4 + \vec{P}_{u_4} + \vec{R}_{14}^r + \vec{R}_{14}^n = 0.$$

Төңгілесада  $\vec{R}_{05}$  құзгалмас звенонинг поршень 5 га реакция күчи вектори бўлиб, у поршень ён томонига тик жойлашади, қиймати по йўналиши номаълум.  $\vec{R}_{14}^n$  кривошип 1 нинг шатун 4 га реакция



70- шакл.

кучи векторининг нормал ташкил этувчиси бўлиб, у шатун бўйлаб жойлашади, унинг ҳам қиймати ва йўналиши номаълум  $\vec{R}_{14}^t$  кривошиб I нинг шатун 4 га реакция кучининг векторининг тангенциал ташкил этувчиси бўлиб, у шатунга тик жойлашади, унинг қиймати ва йўналиши шатунчнг мувозанат шартидан аниқланади. Группага таъсир этувчи кучлардан С нуқтага нисбатан олинган моментларнинг йигидиси нолга тенглик шартидан:

$$R_{14}^t \cdot AB - P_{u_4} \cdot h_{pu_4} + G_4 \cdot h_{G_4} = 0,$$

буидан  $R_{14}^t$  ни аниқлаишмиз:

$$R_{14}^t = \frac{P_{u_4} \cdot h_{pu_4} - G_4 \cdot h_{G_4}}{(AB)} = \frac{18450 \cdot 46 - 19,62 \cdot 43}{75} = 11304,75 \text{ Н},$$

бу ерда  $h_{pu_4} = 46$  мм,  $h_{G_4} = 43$  мм,  $(AB) = 75$  мм чизмадан ўлчаб олинган елка қийматлари.  $R_{14}^t$  қийматининг мусбат ишоралиги унинг дастлабки белгиланган йўналиши (70-шакл, e) тўғри эканлигини билдиради.

Куч масштабини  $\mu_p = 500 \frac{\text{Н}}{\text{мм}}$  қабул қилиб, звенога таъсир этувчи қиймати маълум кучларнинг чизма узунликларини аниқлаб оламиз:

$$(ad) = \frac{P_s}{\mu_p} = \frac{25000}{500} = 50 \text{ мм}, (bc) = \frac{G_s}{\mu_p} = 0,02 \text{ мм}, (cd) = \frac{P_{u_5}}{\mu_p} = 15,75 \text{ мм},$$

$$(de) = \frac{G_4}{\mu_p} = 0,04 \text{ мм}, (ef) = \frac{P_{u_4}}{\mu_p} = 36,9 \text{ мм}, (fg) = \frac{R_{14}^t}{\mu_p} = 22,6 \text{ мм}.$$

Кучлар планида мувозанат тенгламасидаги чизма қийматлари аниқланган кучлар вектори занжири  $\vec{P}_5 + \vec{G}_5 + \vec{P}_{u_5} + \vec{G}_4 + \vec{P}_{u_4} + \vec{R}_{14}^t$  ни (a — — — b — c — d — e — f — g) кесмалар занжири ифодалайди (70-шакл, e). Шаклда  $G_5 \approx 0$ ,  $G_4 \approx 0$  бўлгани учун *b* ва *c* ҳамда *d* ва *e* нуқталар устма-уст жойлашган.  $\vec{P}_5$  векторнинг бошланшини ифодалайдиган *a* нуқтадан цилиндрга тик равишда  $\vec{R}_{05}$  векторнинг таъсир чизигини  $\vec{R}_{14}^t$  векторнинг охирини ифодаловчи *g* нуқтадан шатун 4 га параллел равинча  $\vec{R}_{14}^n$  векторнинг таъсир чизигини ўтказамиз. Уларнинг кесишиш нуқтаси *h* тенгламанинг ечимини беради, яъни (gh) кесма  $\vec{R}_{14}^n$  реакция кучи векторини, (ha) кесма  $\vec{R}_{05}$  реакция кучи векторини ифодалайди. Кривошибининг шатунга тўла реакция кучи  $\vec{R}_{14}^t$  ва  $\vec{R}_{14}^n$  векторларнинг ёпувчисига кўра аниқланади, яъни:  $R_{14} = (\vec{f}h) \cdot \mu_p = 25 \cdot 500 = 12500 \text{ Н}$ .  $R_{05} = (ha) \cdot \mu_p = 4 \cdot 500 = 2000 \text{ Н}$ .

4. Поршень 5 нинг шатун 4 га реакция кучини аниқлаш учун шатуннинг мувозанат тенгламасини ёзамиз.

$$\vec{R}_{14} + \vec{P}_{u_4} + \vec{G}_4 + \vec{R}_{54} = 0.$$

Қиймати ва йўналиши номаълум бўлган  $\vec{R}_{14}$  чизма қийматлари маълум бўлган  $\vec{R}_{14} + \vec{P}_{n_4} + \vec{G}_4$  векторлар занжирининг ёпувчисига кўра аниқланади. (73-шакл, ж) дан  $G_4 = (cd) \cdot \mu_p \approx 0$ ,  $R_{n_4} = (da) \cdot \mu_p = 34 \cdot 500 = 17000$  Н бўлади.

5. Звено 2 ва 3 дан ташкил топган Ассур группаси учун (70-шакл, д) кучларнинг мувозанат тенгламаси қўйидагича ёзилади:

$$\vec{R}_{12}^n + \vec{R}_{12}^t + \vec{P}_{u_2} + \vec{G}_2 + \vec{P}_{u_3} + \vec{G}_3 + \vec{P}_3 + \vec{R}_{03} = 0.$$

Тенгламадаги  $\vec{R}_{12}^n$  кривошиб 1 нинг шатун 2 га реакция кучи векторининг нормал ташкил этувчиси. У шатун бўйлаб йўналган бўлиб, қиймати ва йўналиши номаълум,  $\vec{R}_{03}$  қўзғалмас звенонинг поршень 3 га реакция кучи вектори. У поршень ён сиртига тик жойлашади. Унинг ҳам қиймати ва йўналиши номаълум. В нуқтага нисбатан группа звеноларига таъсир этувчи кучларнинг ҳосил қиласидаги моментлари йиғиндиси нолга тенглик шарти:

$$-R_{12}^t \cdot (AB) + P_{u_2} \cdot (h_{p_{u_2}}) - G_2 \cdot (h_{G_2}) = 0,$$

бундан  $R_{12}^t$  ни аниқлаймиз:

$$R_{12}^t = \frac{P_{u_2} \cdot (h_{p_{u_2}}) - G_2 \cdot (h_{G_2})}{(AB)} = \frac{18450 \cdot 46 - 19,62 \cdot 43}{75} = 11304, 75 \text{ Н.}$$

$R_{12}^t$  нинг ҳосил қилинган мусбат ишорали сон қиймати 70-шакл, д да унинг йўналиши тўғри кўрсатилганлигизи билдиради. Куч масштаби  $\mu_p = 500 \frac{\text{Н}}{\text{мм}}$  га кўра сон қиймати маълум бўлган кучларнинг чизма узуунликларини аниқлаб оламиш: (а в)

$$\begin{aligned} (\vec{R}_{12}^t) &= \frac{R_{12}^t}{\mu_p} = \frac{11304,75}{500} = 22,6 \text{ мм; } (ac) = \frac{P_{u_2}}{\mu_p} = 36,9 \text{ м; } (c d) = \frac{G_2}{\mu_p} = \\ &= 0,04 \text{ мм; } (de) = \frac{P_{u_3}}{\mu_p} = 15,75 \text{ мм; } (e f) = \frac{G_3}{\mu_p} = 0,02 \text{ мм; } (f G) = \frac{P_3}{\mu_p} = \\ &= 10 \text{ мм. } \end{aligned}$$

Мувозанат тенгламасига кўра чизма қийматлари аниқланган куч векторлари занжири  $\vec{R}_{12}^n + \vec{P}_{u_2} + \vec{G}_2 + \vec{P}_{u_3} + \vec{G}_3 + \vec{P}_3$  ни синиқ чизиклар занжири ( $a - b - c - d - e - f - g$ ) орқали чизамиш (70-шакл, з)  $(cd) = \frac{G_2}{\mu_p} \approx 0$ ;  $(e f) = \frac{G_3}{\mu_p} \approx 0$  бўлганлиги учун  $d$  ва  $e$  ва  $f$  нуқталар куч планида устма-уст жойлашган (70-шакл, з).  $\vec{R}_{12}^n$  векторининг бошланиншини ифодалайдиган  $a$  нуқтадан шатун 2 га параллел равишда  $\vec{R}_{12}^n$  векторининг таъсир чизигини,  $\vec{P}_3$  векторининг охирини ифодалайдиган  $g$  нуқтадан поршень сиртига тик равишда  $\vec{R}_{03}$  векторининг таъсир чизигини ўтказамиш ва уларнинг кесишиш нуқтаси  $h$  ни ҳосил қиласимиш:

$$R_{12}^n = (ha) \cdot \mu_p = 30 \cdot 500 = 15000 \text{ Н.}$$

Кривошиппинг шатунга тұла реакция күчи  $\vec{R}_{12} = \vec{R}_{12}^n + \vec{R}_{12}^t$  га күра аниқланади:

$$R_{12} = (hb) \cdot \mu_p = 39 \cdot 500 = 19500 \text{ Н.}$$

6. Поршень 3 нинг шатун 2 га реакциясими аниқлаш учун шатуннинг мувозанат тенгламасини ёзамиз:

$$\vec{R}_{12} + \vec{P}_{u_2} + \vec{G}_2 + \vec{R}_{32}.$$

Қурилган күч күп бурчагидаги  $\vec{R}_{12} + \vec{P}_{u_2} + \vec{G}_2$  векторлар занжирии ифодаловчи ( $h - b - c - d$ ) контурни ёпувчи кесма ( $d h$ ) —  $\vec{R}_{32}$  векторни ифодалайды (70-шакл, 3).  $R_{32} = (d h) \cdot \mu_p = 8 \cdot 500 = 4000 \text{ Н.}$

7. Бөш звено 1 ни күчта ҳисоблаймиз. Бунинг учун кривошиппи механизмдан ажраттан қолда чизиб (70-шакл, 4) ажратилған шатун 4 ўрнига унинг кривошиппа реакция күчи  $\vec{R}_{41}$  ни шатун 2 ўрнига унинг реакция күчи  $\vec{R}_{21}$  ни қўямиз. Ажратилған фундамент 0 ўрнига унинг реакция күчи  $\vec{R}_{01}$  ни қўямиз. Мувозанатловчи күч  $P_m$  ни кривошиппа тик равишида A нуқтага қўямиз. Қўйилған күчлар натижасида кривошиппа мувозанатда бўлади. Биз илгарироқ  $\vec{R}_{14}$  ва  $\vec{R}_{12}$  ларни аниқлаган эдик. Демак,  $\vec{R}_{41} = \vec{R}_{14}$ ;  $\vec{R}_{21} = -\vec{R}_{12}$  бўлади.

Мувозанатловчи күчнинг қийматини аниқлаш учун кривошипп 1 га таъсири этувчи күчлардан (70-шакл, 4) 0 нуқтага нисбатан момент оламиз:

$$-P_m \cdot (OA) + R_{21} \cdot h_{R_{21}} + R_{41} \cdot h_{R_{41}} = 0,$$

Бундан

$$P_m = \frac{R_{21} \cdot h_{R_{21}} + R_{41} \cdot h_{R_{41}}}{(OA)} = \frac{19500 \cdot 9 + 12500 \cdot 19}{25 \text{ ММ}} = 16520 \text{ Н.}$$

Мувозанатловчи моментнинг қиймати:

$$M_m = P_m \cdot l_{OA} = 16520 \cdot 0,125 = 2065 \text{ Н.м.}$$

Кривошиппинг мувозанат шарти қўйидагича ёзилади:

$$\vec{R}_{41} + \vec{R}_{21} + \vec{P}_m + \vec{R}_{01} = 0.$$

$\vec{R}_{41} + \vec{R}_{21} + \vec{P}_m$  векторлар занжирининг бошланиш ва охирги нуқталари  $d$  ҳамда  $a$  ни туташтирувчи кесма пойдеворнинг кривошиппа реакция күчи вектори  $\vec{R}_{01}$  ни ифодалайды (70-шакл, 4). Унинг модул қиймати:

$$R_{01} = (da) \cdot \mu_p = 52 \cdot 500 = 26000 \text{ Н.}$$

8. Мувозанатловчи күч ва мувозанатловчи моментнинг қийматини Жуковский усули билан аниқлаймиз. Бунинг учун механизмнинг 90° бурнлган тезликлар планини қурамиз (70-шакл, 5). Ўхашалик усулдан фойдаланилган қолда планда  $s_2$ ,  $k_2$ ,  $s_4$ ,  $k_4$  нуқталарни аниқлаймиз.

Механизм схемасидаги кучларнинг йўналишини ўзгартирмаган ҳолда уларни параллел равишда бурилган тезликлар планидаги мос нуқтадарга кучирамиз.

Мувозанатловчи куч  $P_m$  ни кривошипга тик равиша унинг  $A$  нуқтасига қўйилган деб қараб (70-шакл,  $a$ ), уни ҳам бурилган тезлик планидаги ( $P_a$ ) кесманинг охири  $a$  нуқтага қўяимиз (70-шакл,  $c$ ). Агар унинг йўналишини нотўғри белгилаган бўлсақ, ҳисоблаш натижасида мувозанатловчи кучнинг қиймати манфий чиқади. Тезлик планини ричаг деб қараб, таъсир этувчи кучлардан қутб  $P$  га нисбатан моментлар тенгламасини тузамиз:

$$-(P_5 - P_{u_5}) \cdot (pc) - G_5 \cdot h_{G_5} + P_{u_4} \cdot h_{P_{u_4}} - G_4 \cdot h_{G_4} - (P_{u_3} - P_3) \cdot (pe) + \\ + G_3 \cdot h_{G_3} - P_{u_2} \cdot h_{P_{u_2}} + G_2 \cdot h_{G_2} + P_m \cdot (pa) = 0.$$

бундан

$$P_m = \frac{(P_5 - P_{u_5})(pc) + G_5 \cdot h_{G_5} - P_{u_4} \cdot h_{P_{u_4}} + G_4 \cdot h_{G_4} + (P_{u_3} - P_3)(pe) - G_3(pe) + \\ + P_{u_2} \cdot h_{P_{u_2}} - G_2 \cdot h_{G_2}}{25} = \frac{(25000 - 7875) \cdot 22,5 + 9,81 \cdot 15 - 18450 \cdot 6 + 99,6 \cdot 4 + \\ + (7875 - 5000) \cdot 22,5 - 9,81 \cdot 15 + 18450 \cdot 6 - 19,6 \cdot 4}{25} = 17326 \text{ Н.}$$

Мувозанатловчи моментини аниқлаймиз:

$$M_m = P_m \cdot l_{OA} = 17326 \text{ н} \cdot 0,125 \text{ м} = 2165,75 \text{ Нм.}$$

9. Икки хил усул билан аниқланган мувозанатловчи момент қийматлари орасидаги фарқ:

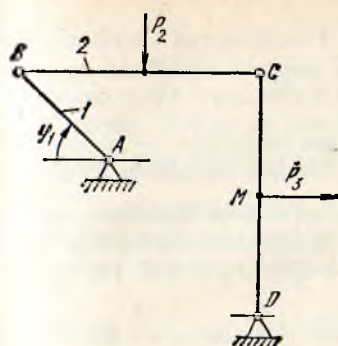
$$\frac{M_m - M_{m'}}{M_m} = \frac{2165,75 - 2065}{2165,75} \cdot 100 = 4,65 \text{ %.}$$

$M_{m'}$  — мувозанатловчи моментнинг икки хил усул билан ҳосил қилингандаги кам қиймати.

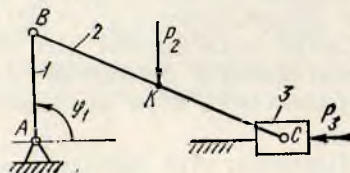
### 54 — 58 - масалалар

54. Шарнир тўрт звеноли механизмнинг  $A, B, C, D$  кинематик жуфтларида вужудга келадиган реакция кучлари ва  $AB$  звенога қўйилган мувозанатловчи моментнинг қиймати қўйида берилганларга кўра аниқлансин:  $\varphi_1 = 45^\circ$ ,  $l_{AB} = 50$  мм,  $l_{BC} = l_{CD} = 100$  мм.  $BC$  звено ўқи горизонтал,  $CD$  звено ўқи вертикал жойлашган.  $P_2$  ва  $P_3$  кучлар звеноларнинг teng ўртасида жойлашган  $K$  ва  $M$  нуқталарга қўйилган.  $P_2 = P_3 = 200$  Н бўлиб, звеноларга тик йўналишда таъсир қиласди.

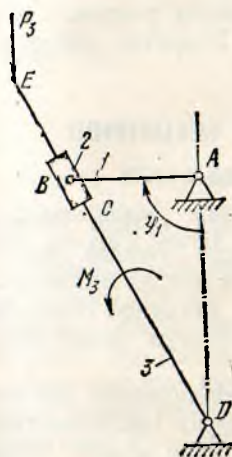
55. Кривошип ползунли механизмнинг  $A, B, C, D$  кинематик жуфтларида вужудга келадиган реакция кучлари ва  $AB$  звенога қўйилган мувозанатловчи моментнинг қиймати қўйида берилганларга кўра аниқлансин:  $l_{AB} = 100$  мм,  $l_{BC} = 250$  мм,  $\varphi_1 = 90^\circ$ ,  $P_2 = P_3 = 1000$  Н.  $P_2$  куч қўйилган  $K$  нуқта  $BC$  звенонинг teng ўртасида жойлашган ва вертикал йўналишда таъсир қиласди.



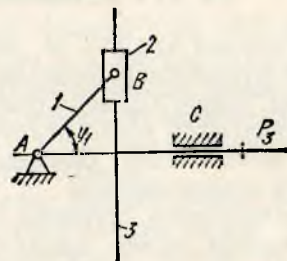
54- масалага.



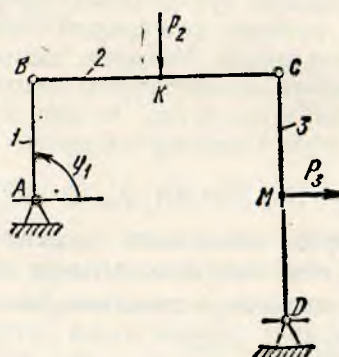
55- масалага.



56- масалага.



57- масалага.



58- масалага.

56. Күлисали механизмнинг  $A$ ,  $B$ ,  $C$ ,  $D$  кинематик жуфтларида вужудга келадиган реакция кучлари ва  $AB$  звенога қўйилган мувозанатловчи моментнинг қиймати қўйидаги берилганларга кўра аниқлансан.  $l_{AB} = 125$  мм,  $l_{AD} = 250$  мм,  $l_{DE} = 400$  мм,  $\varphi_1 = 90^\circ$ , звено 3 га қўйилган момент  $M_3 = 100$  Н·м.  $E$  нуқтага қўйилган куч вертикал йўналган бўлиб, қиймати  $P_3 = 500$  Н.

57. Синус механизмнинг  $AB$  звеносига қўйилган мувозанатловчи моментнинг қиймати Жуковский усулидан фойдаланилган ҳолда қўйида берилганларга кўра аниқлансан:  $\varphi_1 = 45^\circ$ ,  $P_3 = 100$  Н,  $l_{AB} = 100$  мм.

58. Шарнирли тўрт звеноли механизмнинг  $AB$  звеносига қўйилган мувозанатловчи моментнинг қиймати Жуковский усулидан фойдаланилган ҳолда қўйида берилганларга кўра аниқлансан:  $l_{AB} = 50$  мм,  $l_{BC} = l_{CD} = 100$  мм,  $\varphi_1 = 90^\circ$ ,  $BC$  звено ўқи горизонтал,  $CD$  звено ўқи вертикал жойлашган. Кучлар звеноларга тик равишда уларнинг тенг ўрталаридаги  $K$  ва  $M$  нуқталарга таъсир қиласди. Уларнинг қийматлари  $P_2 = P_3 = 500$  Н.

## 6-боб. МЕХАНИЗМЛАР ДИНАМИКАСИНИ ТЕКШИРИШ

### 1-§. КУЧ ВА МАССАЛАРНИ ҚЕЛТИРИШ УСУЛИ

1. Механизм ҳар хил куч ва моментлар таъсири остида бўлган звеноларнинг мураккаб системасидан ташкил топади. Бундай мураккаб системани тадқиқ қилишни осонлаштириш учун куч ва массаларни бош звенога қелтириш усули қўйланилади. Бунда механизм бажарган иши мавжуд механизмнинг бажарган ишига тенг бўлган ягона айланувчи звенога алмаштирилади.

Куч ва моментларни қелтириш усули бутун механизмнинг ҳар хил звеноларига таъсир этувчи ҳамма куч ва моментларни механизмнинг ягона айланувчи звеносига қўйилган якка куч ёки якка момент билан алмаштиришга имкон беради. Бу звенони қелтириш звеноси деб, алмаштирилган моментни қелтирилган момент деб аталади. Қелтирилган моментнинг қиймати ҳақиқий куч ва моментларнинг мумкин бўлган силжишдаги бажарган ишининг қелтирилган момент бажарган ишга тенглиги шартидан аниқланади. Механизм звеносига тегишли бирор  $K$  нуқтага қўйилган  $P$  кучни алмаштирувчи қелтирилган момент  $M^{\text{kel}}$  нинг қийматини аниқлаш керак бўлса, мумкин бўлган силжишдаги  $P$  куч ва  $M^{\text{kel}}$  моменти учун элементар ишларнинг тенглик шарти қўйидагича ёзилади:

$$M^{\text{kel}} \cdot \delta\varphi = P \cdot \delta S_k \cdot \cos(P \cdot \delta S_k), \quad (6.1)$$

бу ерда  $\delta\varphi$  — қелтириш звеносининг мумкин бўлган силжишдаги бурилиш бурчаги;  $\delta S_k$  —  $K$  нуқтанинг мумкин бўлган силжиши.

(6.1) тенгликининг ҳар иккала томонини ишнинг бажарилиш вақти  $\delta t$  га бўлиб ҳамда  $\delta t$  нинг қиймати нолга интилади деб қараб, қўйидагилар ҳосил қилинади:

$$M^{\text{kel}} \omega_1 = P \cdot v_k \cdot \cos(\bar{P} \cdot \bar{v}_k),$$

бундан

$$M^{\kappa_{el}} = P \cdot \frac{v_k}{\omega_1} \cos (\bar{P} \cdot \hat{v}_k), \quad (6.2)$$

бу ерда  $\omega_1$  — келтириш звеносининг бурчак тезлиги. Механизм  $i$  звеносига қўйилган ҳақиқий момент  $M_i$  ни келтириш звеносига қўйилган келтирилган момент  $M^{\kappa_{el}}$  билан алмаштириш талаб этилса, механизм звеноларининг элементтар силжишидаги моментлар бажарган ишларнинг тенглиги шартини қўйидагича ёзиш мумкин:

$$M^{\kappa_{el}} \delta \varphi_i = M_i \delta \varphi_i.$$

бу тенгликнинг ҳар иккала томонини  $\delta t$  га бўлиб ва  $\delta t$  нолга интияди деб қарасак, формула қўйидаги кўринишга келади:

$$M^{\kappa_{el}} \omega_1 = M_i \omega_i,$$

бундан

$$M^{\kappa_{el}} = M_i \cdot \frac{\omega_i}{\omega_1}, \quad (6.3)$$

бу ерда  $\omega_i$  —  $i$ -звенонинг бурчак тезлиги.

Келтирилган моментнинг ишораси ҳақиқий куч (ёки момент) ларнинг ишораси билан аниқланади, яъни куч вектори йўналишининг шу куч қўйилган нуқтанинг тезлик вектори йўналиши билан ҳосил қилинган бурчаги  $90^\circ$  дан кам бўлса ёки момент йўналиши бурчак тезлик йўналиши билан бир хил бўлса, у ҳолда куч ва моментлар мусбат қўйиматли, акс ҳолда манғий қўйиматли бўлади.

Агар ҳақиқий куч (ёки момент) нинг ишораси мусбат бўлса, келтирилган моментнинг ишораси ҳам мусбат бўлади. Бунда келтирилган моментнинг йўналиши келтириш звеносининг бурчак тезлиги йўналиши билан устма-уст тушади.

Агар тезликлар плани кривошип масштабида қурилса, тезлик масштаби коэффициенти  $\mu_v = \mu_i \cdot \omega_1$  га қўра аниқланади ва формула (6.2) қўйидаги кўринишга келади:

$$M^{\kappa_{el}} = P \cdot \frac{v_k}{\omega_1} \cdot \cos (\bar{P} \cdot \hat{v}_k) = P \cdot \frac{(v_k) \cdot \mu_i \cdot \omega_1}{\omega_1} \cdot \cos (\bar{P} \cdot \hat{v}_k)$$

екан

$$M^{\kappa_{el}} = P \cdot (v_k) \cdot \mu_i \cdot \cos (\bar{P} \cdot \hat{v}_k). \quad (6.4)$$

$v_k = P$  куч қўйилган нуқта тезлигининг тезлик планидан ўтчаб олинган кесма ифодаси,  $\mu_i$  — узунлик масштаби коэффициенти.

Формула (6.3) нинг кўриниши эса қўйидагича бўлади:

$$M^{\kappa_{el}} = M_i \frac{\omega_i}{\omega_1} = M_i \frac{v_{NM} / l_{NM}}{\omega_1} = M_i \frac{(nm) \cdot \mu_i \cdot \omega_1 / (NM) \cdot \mu_i}{\omega_1} = M_i \frac{(nm)}{(NM)}, \quad (6.5)$$

бу ерда  $v_{NM}$  —  $i$ - звено бирор четки нүктаси  $N$  нинг иккинчи четки нүктаси  $M$  га иисбатан нисбий тезлиги;  $l_{NM}$  — звенонинг  $N$  ва  $M$  нүкталири орасидаги ўлчами;  $(nm)$  — нисбий тезлик,  $v_{NM}$  нинг тезликлар планидан ўлчаб олинадиган кесма ифодаси;  $(NM)$  — кинематик схемадан ўлчаб олинадиган  $N$  ва  $M$  нүкташар орасидаги масофа.

Формула (6.4) ва (6.5) дан кўриниб турибдики, келтирилган моментнинг ўлчами механизминг кинематик параметрларига боғлиқ бўлмасдан, балки фақат геометрик параметрларигагина боғлиқ бўлади.

Агар механизм звеноларига таъсир этувчи ҳамма кучлар ва моментлардан бosh звенога келтирилган моментни аниқлаш лозим бўлса, у холда келтирилган моментларнинг алгебраик йиғиндиси алоҳида ҳисобланади:

$$M^{ke, \alpha} = \sum_{i=1}^n M_i^{ke, \alpha} = M_1^{ke, \alpha} + M_2^{ke, \alpha} + M_3^{ke, \alpha} + \dots + M_n^{ke, \alpha}.$$

**1- мисол.** Қўйида келтирилган қийматларга кўра кривошип иолзумли механизм звеноларига таъсир этувчи  $P_2$  ва  $P_3$  кучлардан ҳамда момент  $M_2$  дан кривошипга келтирилган момент ҳисоблансан (71-шакл, *a*):

$\varphi_1 = 45^\circ$ ,  $l_{OA} = 100$  мм,  $l_{AB} = 250$  мм,  $l_{AS_2} = 100$  мм,  $P_2 = 400$  Н,  $M_2 = 50$  Нм,  $P_3 = 1000$  Н.

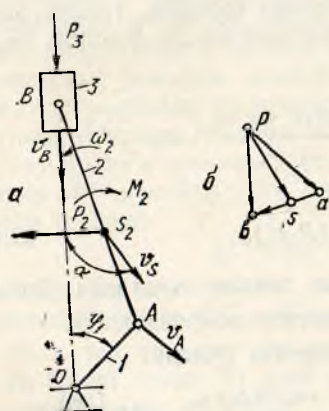
**Ечиш.** 1. Механизмнинг кинематик схемасини  $\mu_l = 5 \frac{\text{мм}}{\text{мм}}$  масштабга кўра чизамиз (71-шакл, *a*).

2. Механизм кинематик схемасига кўра кривошип масштабида тезликлар планини қурамиз (71-шакл, *b*).

3. Алоҳида куч ёки моментдан ҳосил бўлган келтирилган момент қийматларини аниқлаймиз.

$P_2$  кучдан келтирилган момент формула (6.4) га кўра:

$$M_1^{ke, \alpha} = P_2 \cdot (ps_2) \cdot \mu_l \cdot \cos(P_2 \cdot v_s) = 400 \cdot 18 \cdot 0,005 \cdot \cos 119^\circ = -400 \cdot 18 \cdot 0,005 \cdot 0,515 = -18,54 \text{ Н.м.}$$



71- шакл.

$P_2$  куч ва  $v_s$  тезлик векторлари орасидаги бурчак  $\alpha = 119^\circ$  бўлиб, транспортир ёрдамида аниқланган, яъни  $\cos 119^\circ = -0,515$ .

$(ps_2) = 18$  мм тезликлар планидан олинган ўлчам.

$M_2$  моментдан келтирилган момент формула (6.5) га кўра:

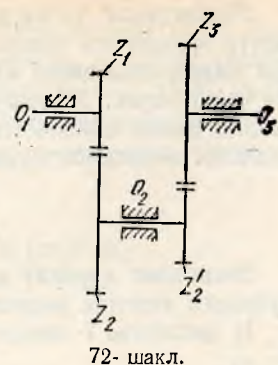
$$M_1^{ke, \alpha} = -M_2 \frac{(ba)}{(AB)} = -50 \frac{15}{50} = -15 \text{ Н.м.}$$

$(ba) = 15$  мм тезликлар планидан,  $(AB) = 50$  мм кинематик схемадан олинган ўлчамлар. Бурчак тезлик  $\omega_2$  ва момент

$M_2$  нинг йўналишлари турли томонга бўлганлиги учун (71- шакл, а)  $M_2^{\text{кел}}$  қийматиниши ораси манфий бўлади.  $P_3$  кучдан келтирилган момент:

$M_3^{\text{кел}} = P_3 \cdot (\vec{P}b) \cdot \mu_i \cdot \cos(\vec{P}_3 \cdot \vec{v}_B) = 1000 \cdot 19 \cdot 0,005 \cdot \cos 0^\circ = 95 \text{ Н}\cdot\text{м}$  Бунда  $\cos 0^\circ = 1$  бўлади. Механизмга таъсир этувчи ҳамма кучлар  $P_2$  ва  $P_3$  дан ҳамда момент  $M_2$  дан келтирилган момент формула (6.6) га кўра:

$$M_3^{\text{кел}} = \sum_{i=1}^3 M_i^{\text{кел}} = M_1^{\text{кел}} + M_2^{\text{кел}} + M_3^{\text{кел}} = -18,54 - 15 + 95 = 61,46 \text{ Н}\cdot\text{м}.$$



72- шакл.

**2- Мисол.** 72- шаклда икки босқичли тишпи узатма тасвирланган.

Унинг  $O_1$  валига  $M_1 = 20 \text{ Н}\cdot\text{м}$ ,  $O_2$  валига  $M_2 = 50 \text{ Н}\cdot\text{м}$ ,  $O_3$  валига  $M_3 = 160 \text{ Н}\cdot\text{м}$ . моментлар таъсир қилади. Ҳамма моментлар  $\omega_1$  йўналиши бўйича йўналади. Тишлар сони:  $z_1 = 17$ ,  $z_2 = 34$ ,  $z_2' = 20$ ,  $z_3 = 40$ .

Бош звено вали 0 га келтирилган момент ҳисоблансан.

**Ечиш.**  $O_2$  валга таъсир этувчи  $M_2$  моментдан келтирилган моментни ҳисоблаймиз:

$$M_2^{\text{кел}} = M_2 \cdot \frac{\omega_2}{\omega_1} = M_2 \cdot u_{21} = -M_2 \cdot \frac{z_1}{z_2} = -50 \cdot \frac{17}{34} = -25 \text{ Н}\cdot\text{м}.$$

$O_3$  валга таъсир этувчи  $M_3$  моментдан келтирилган моментни ҳисоблаймиз:

$$M_3^{\text{кел}} = M_3 \cdot \frac{\omega_3}{\omega_1} = M_3 \cdot u_{31} = M_3 \cdot u_{32}' \cdot u_{21} = M_3 (-1)^2 \cdot \frac{z_1}{z_3} \cdot \frac{z_1}{z_2} = 160 \cdot \frac{20}{40} \cdot \frac{17}{34} = 40 \text{ Н}\cdot\text{м}.$$

$O_1$  валга ҳамма моментлардан келтирилган моментнинг қиймати:

$$M_1^{\text{кел}} = M_1 + M_2^{\text{кел}} + M_3^{\text{кел}} = 20 - 25 + 40 = 35 \text{ Н}\cdot\text{м}.$$

2. Массаларни келтириш усули реал механизминг ҳамма звенолари массаларини шартли равишда айланма ҳаракат қилувчи звенога келтиришга имкон берадики, бунда келтирилган масса ҳамма звенолар массаларига эквивалент бўлади. Келтириш звеноси алмашувчи звено, келтириш натижасида ҳосил бўлган унинг инерция моменти келтирилган инерция моменти дейлади.

Массаларни бош звенога келтириш реал механизм кинетик энергиясининг алмашувчи звено кинетик энергиясига тенглиги шартига яхосланган. Бунда алмашувчи звенонинг ҳаракат қонуни қандай бўлса, реал механизм келтириш звеносининг ҳаракат қонуни ҳам шундай бўлади. Механизмнинг келтирилган инерция моменти қиймати  $I^{\text{кел}}$  механизм таркибидаги алоҳида-алоҳида ҳаракатланувчи звенолар келтирилган инерция моментларининг йиғиндисидан иборат бўлади.

Механизмга тегишли ҳар бир звенонинг келтирилган инерция моменти қийматини топиш учун ана шу звено ва унга эквивалент бўлган алмашувчи звено кинетик энергияларининг ўзаро тенглик шартини ёзиш керак. Алмашувчи звено, яъни келтириш звеноси  $\omega_1$  бурчак тезлик билан айланётган бўлса, унга эквивалент бўлган звенонинг кинетик энергияси қуйидагига teng бўлади:

$$(T_i)_{\text{экв}} = \frac{I_i^{\text{кел}} \cdot \omega_1^2}{2}.$$

Звенонинг ҳаракат қилиш характеристига кўра, кинетик энергиянинг қуйидаги тенглик варианatlари бўлиши мумкин:

1) механизм  $i$ - звеноси илгарилама ҳаракат қилганда:

$$\frac{m_i v_{s_i}^2}{2} = \frac{I_i^{\text{кел}} \omega_1^2}{2},$$

бундан  $i$ - звенонинг илгарилама ҳаракати натижасида вужудга келадиган келтирилган инерция моменти:

$$I_i^{\text{кел}} = m_i \frac{v_{s_i}^2}{\omega_1^2}; \quad (6.7)$$

2) звено  $S_i$  нуқта атрофида айланма ҳаракат қилганда:

$$\frac{I_{s_i} \cdot \omega_i^2}{2} = \frac{I_i^{\text{кел}} \cdot \omega_1^2}{2},$$

бундан  $i$ - звенонинг айланма ҳаракати натижасида вужудга келадиган келтирилган инерция моменти:

$$I_i^{\text{кел}} = I_{s_i} \cdot \frac{\omega_i^2}{\omega_1^2}, \quad (6.8)$$

3) звено мураккаб ҳаракат қилганда:

$$m_i \frac{v_{s_i}^2}{2} + \frac{I_{s_i} \cdot \omega_i^2}{2} = \frac{I_i^{\text{кел}} \cdot \omega_1^2}{2},$$

бундан  $i$ - звенонинг мураккаб ҳаракати натижасида вужудга келадиган келтирилган инерция моменти:

$$I_i^{\text{кел}} = m_i \frac{v_{s_i}^2}{\omega_1^2} + I_{s_i} \frac{\omega_i^2}{\omega_1^2}. \quad (6.9)$$

Қўзгалувчи звенолар сони  $n$  та бўлган механизмининг келтирилган инерция моменти ундаги ҳаракатланувчи звеноларнинг келтирилган инерция моментлари йиғиндисига кўра аниқланади:

$$I^{\text{кел}} = \sum_{i=1}^n I_i^{\text{кел}} = I_1^{\text{кел}} + I_2^{\text{кел}} + I_3^{\text{кел}} + \dots + I_n^{\text{кел}}. \quad (6.10)$$

Келтирилган инерция моментларининг қийматларини ҳисоблашда звеноларнинг чизиқли ёки бурчак тезликларини ҳисоблаш мақсадида

қутбий тезликлар планларидан фойдаланишга тұғри келади. Агар қутбий тезликлар плани кривошип масштабида қурилса, у ҳолда тезлик масштаби  $\mu_i = \mu_i \cdot \omega_i$  га күра аниқланып, формула (6.7), (6.8), (6.9) лар ҳисоблаш учун қулай бұлган қүйидеги күренишга келади.

1. Илгарилама ҳаракатланувчи  $i$ - звенонинг келтирилган инерция моменті:

$$I_{i(\text{илг})}^{\text{кел}} = m_i \frac{v_{s_i}^2}{\omega_i^2} = m_i \frac{(ps_i)^2 \cdot \mu_i^2 \cdot \omega_i^2}{\omega_i^2} = m_i (ps_i)^2 \cdot \mu_i,$$

яъни:

$$I_{i(\text{илг})}^{\text{кел}} = m_i (ps_i)^2 \cdot \mu_i^2, \quad (6.7')$$

бу ерда  $(ps_i)$  тезликлар планидан үлчаб олинадиган  $S_i$  нүкта абсолют тезлигининг чизма ифодаси.

2. Айланма ҳаракатланувчи  $i$ - звенонинг келтирилган инерция моменті

$$I_{i(\text{айл})}^{\text{кел}} = I_{s_i} \cdot \frac{\omega_i^2}{\omega_i^2} = I_{s_i} \frac{(v_{NM} / l_{NM})^2}{\omega_i^2} = I_{s_i} \frac{(nm)^2 \mu_i^2 \cdot \omega_i^2}{\omega_i^2 \cdot (NM)^2 \cdot \mu_i^2} = I_{s_i} \frac{(nm)^2}{(NM)^2},$$

яъни

$$I_{i(\text{айл})}^{\text{кел}} = I_{s_i} \frac{(nm)^2}{(NM)^2}, \quad (6.8')$$

бу ерда  $I_{s_i}$  —  $i$ - звенонинг  $S$  нүктага нисбатан инерция моменті;  $v_{NM}$  —  $i$ - звенога тегишли бирор четки нүкта  $N$  нинг иккінчи четки нүкта  $M$  га нисбатан нисбий тезлиги,  $l_{NM}$  звенонинг  $N$  ва  $M$  нүкталары орасидаги масофа;  $(nm)$  — нисбий тезлик  $v_{NM}$  нинг тезликлар планидан үлчаб олинадиган кесма ифодаси;  $(NM)$  — кинематик схемадан үлчаб олинадиган  $N$  ва  $M$  нүкталар орасидаги масофа.

3.  $i$ - звенонинг мураккаб ҳаракати натижасыда ҳосил бұлладиган келтирилган инерция моменті

$$I_i^{\text{кел}} = m_i (ps_i)^2 \cdot \mu_i^2 + I_s \frac{(nm)^2}{(NM)^2}. \quad (6.9')$$

(6.7'), (6.8'), (6.9') формулалардан күренинб турибдик, келтирилган инерция моментларининг қыйматлари кинематик параметрларга бөлінсө бұлмасдан, геометрик параметрларга бөлінсө бұлар экан.

1 - мисол. Қуйда келтирилган қыйматларға күра кривошип-ползули механизмнинг ҳаракатланувчи звеноларидан звено 1 га келтирилган инерция моменті ҳисоблансын (73- шакл, a):

$\varphi_1 = 60^\circ$ ,  $l_{OA} = 100$  мм,  $l_{AB} = 250$  мм,  $l_{AS} = 100$  мм,  $m_3 = 2$  кг,  $m_2 = 3$  кг,  $I_{s_i} = 0,05$  кг м<sup>2</sup>,  $I_1 = 0,01$  кг м<sup>2</sup>, кривошип мувозанатланған.

**Ечиш.** 1. Механизмнинг кинематик схемасини  $\mu_i = 5 \frac{\text{мм}}{\text{мм}}$  масштабга кўра чизамиз (73-шакл, а).

2. Кривошип бурчак тезлиги учун ихтиёрий қиймат қабул қилиб, қутбий тезликлар планини кривошип масштабида қурамиз (73-шакл, б), яъни  $\mu_v = \mu_i \cdot \omega_1$  бўлади.

3. Келтирилган инерция моментини ҳисоблајмиз. Шатуннинг айланма ҳаракати натижасида вужудга келадиган келтирилган инерция моменти:

$$I_{z(\text{айл})}^{\text{кел}} = I_{s_z} \frac{(ba)^2}{(AB)^2} = 0,05 \left( \frac{10}{50} \right)^2 = 0,002 \text{ кг} \cdot \text{м}^2.$$

Шатуннинг илгарилама ҳаракати натижасида вужудга келадиган келтирилган инерция моменти:

$$I_{z(\text{илг})}^{\text{кел}} = m_2 \cdot (ps_2)^2 \cdot \mu_i = 3 \cdot (20)^2 \cdot (0,005)^2 = 0,03 \text{ кг} \cdot \text{м}^2.$$

Ползуннинг илгарилама ҳаракати натижасида вужудга келадиган келтирилган инерция моменти:

$$I_{z_z}^{\text{кел}} = m_3 \cdot (pb)^2 \cdot \mu_i = 2 \cdot (21)^2 \cdot (0,005)^2 = 0,022 \text{ кг} \cdot \text{м}^2.$$

Ҳамма ҳаракатланувчи звенолардан кривошипга келтирилган инерция моменти:

$$I_{\text{кел}}^{\text{кел}} = I_1 + I_{z(\text{айл})}^{\text{кел}} + I_{z(\text{илг})}^{\text{кел}} + I_{z_z}^{\text{кел}} = 0,01 + 0,002 + 0,03 + 0,022 = 0,064 \text{ кг} \cdot \text{м}^2.$$

**2 - мисол.** Фидираклари қатор жойлашган узатмадаги фидираклар 1, 2 ва 3 дан  $O_1$  валга келтирилган инерция моменти  $I_{\text{кел}}^{\text{кел}}$  нинг қиймати аниқлансин (74- шакл.) Берилганлар:

Фидиракларнинг тишлилари сони

$$z_1 = 24, z_2 = 16, z_3 = 72.$$

Фидиракларнинг ўз айланиш ўқларига нисбатан инерция моментлари қийматлари:  $I_{0_1} = 0,02 \text{ кг} \cdot \text{м}^2$ ,  $I_{0_2} = 0,01 \text{ кг} \cdot \text{м}^2$ ,  $I_{0_3} = 0,06 \text{ кг} \cdot \text{м}^2$ .

Формула (6.8) га асосан фидирак 2 массасидан келтирилган инерция моменти:

$$I_{z_z}^{\text{кел}} = I_{0_2} \left( \frac{\omega_2}{\omega_1} \right)^2 = I_{0_2} \cdot u_{z_1}^2 = I_{0_2} \cdot \left( \frac{z_1}{z_2} \right)^2 = 0,01 \left( \frac{24}{16} \right)^2 = 0,0225 \text{ кг} \cdot \text{м}^2.$$

Фидирак 3 массасидан келтирилган инерция моменти:

74- шакл.

$$I_{\text{з}}^{\text{кел}} = I_{0_3} \left( \frac{\omega_3^2}{\omega_1^2} \right) = I_{0_3} \cdot U_{\text{з}}^2 = I_{0_3} \cdot \left( \frac{e_1}{e_3} \right)^2 = 0,06 \cdot \left( \frac{24}{72} \right)^2 = 0,0067 \text{ кг}\cdot\text{м}^2.$$

Тишли гилдиракли узатманинг  $O_1$  валга келтирилган инерция момен-ти:

$$I^{\text{кел}} = I_{0_1}^{\text{кел}} + I_{\text{з}}^{\text{кел}} + I_s^{\text{кел}} = 0,02 + 0,0225 + 0,0067 = 0,0492 \text{ кг}\cdot\text{м}^2.$$

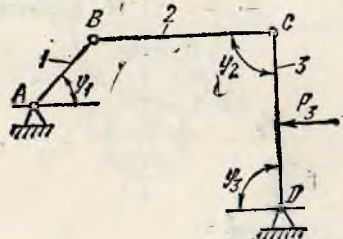
### 59 — 75- масалалар

59. Кривошип-ползунли пресс механизмининг валига  $P_3 = 10000 \text{ Н}$  кучдан келтирилган момент  $M^{\text{кел}}$  нинг қиймати ва ползун массаси  $m_3 = 400 \text{ кг}$  дан келтирилган инерция моменти  $I^{\text{кел}}$  нинг қиймати ҳисоблансан. Берилганлар:  $l_{AB} = 100 \text{ мм}$ ,  $l_{BC} = 400 \text{ мм}$ ,  $\varphi_1 = 30^\circ$ .

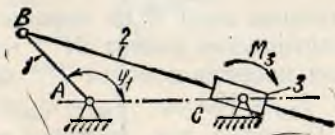
60. 59- масаланинг шартини қаноатлантирган ҳолда  $\varphi_1 = 90^\circ$  қа-бул қилиб,  $A$  валга келтирилган момент  $M^{\text{кел}}$  нинг қиймати ва келти-рилган инерция моменти  $I^{\text{кел}}$  нинг қиймати аниқлансан.



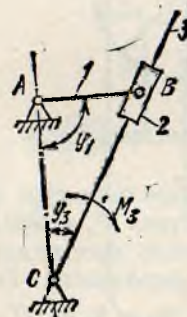
59 ва 60- масалага.



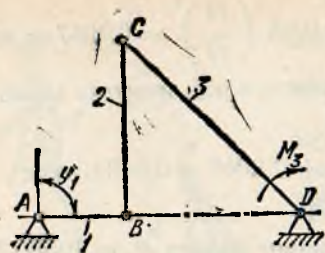
61- масалага.



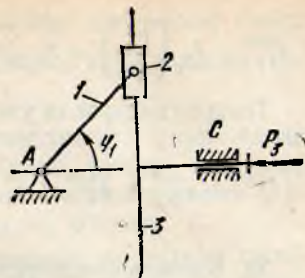
62- масалага.



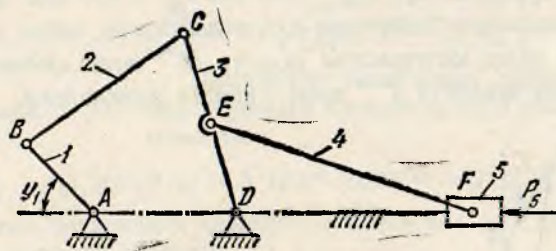
63- масалага.



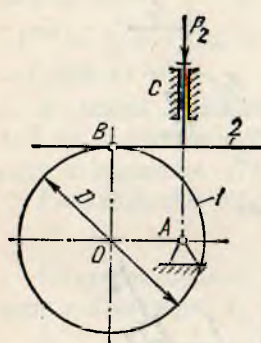
64- масалага.



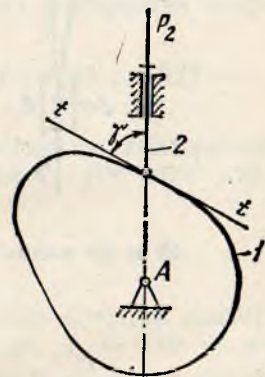
65- масалага.



66- масалага.

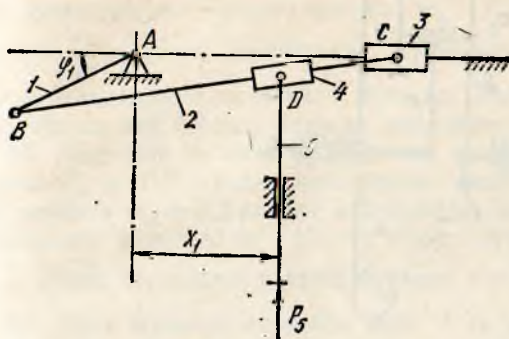


67- масалага.

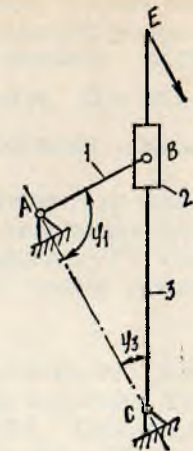


68- масалага.

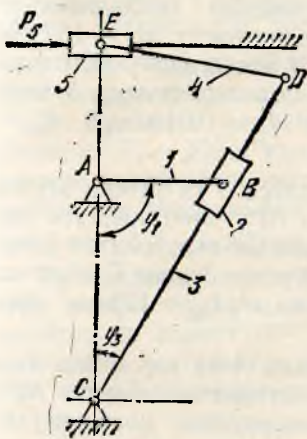
**61.** Шарнирли түрт звеноли механизм вали  $A$  га коромисло  $3$  га таъсир этувчи  $P_3 = 400$  Н кучдан келтирилган момент  $M_{\text{кея}}$  нинг ҳамда коромисло массасидан келтирилган инерция моменти  $I_{\text{кея}}$  нинг қийматлари ҳисоблансин. Берилгандар:  $l_{AB} = 100$  мм,  $l_{BC} = l_{CD} = 200$  мм,  $\varphi_1 = 45^\circ$ ,  $\varphi_2 = \varphi_3 = 90^\circ$ ,  $P_3$  куч  $CD$  звенога тик равишда ва унинг тенг ўртасига таъсир қиласди. Коромисло  $3$  нинг  $D$  ўққа нисбатан инерция моменти  $I_{3D} = 0,02$  кг.м<sup>2</sup>.



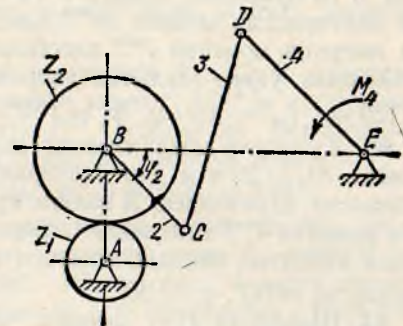
69- масалага.



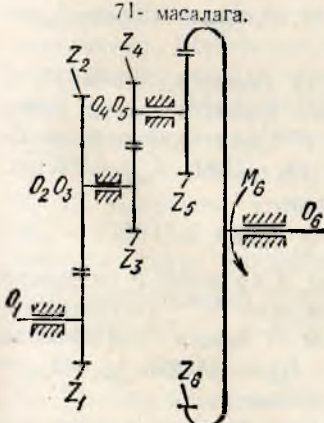
70- масалага.



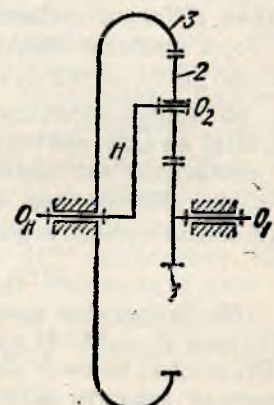
71- масалага.



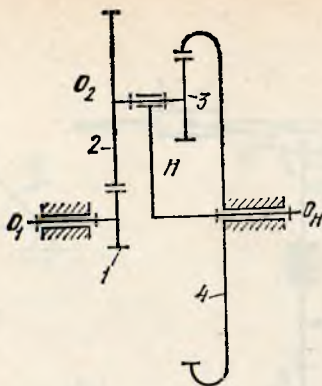
72- масалага.



73- масалага.



74- масалага.



75- масалага.

62. Ползуни тебранма ҳаракатланувчи кривошип механизмининг вали  $A$  га қўйилган, ползун  $3$  га таъсир этувчи момент  $M_3 = 10 \text{ Н}\cdot\text{м}$ . дан келтирилган момент  $M^{\text{кея}}$  ҳамда ползун  $3$  массасидан келтирилган инерция моменти  $I^{\text{кея}}$  ҳисоблансан. Берилганлар: ползун  $3$  нинг  $C$  айланиш ўқига нисбатан инерция моменти  $I_{C_3} = 0,01 \text{ кг}\cdot\text{м}^2$ ,  $l_{AB} = 120 \text{ мм}$ ,  $l_{AC} = 300 \text{ мм}$ ,  $\varphi_1 = 180^\circ$ .

63. Кулисали механизмнинг вали  $A$  га кулиса  $3$  га таъсир этувчи момент  $M_3 = 20 \text{ н}\cdot\text{м}$  дан келтирилган момент  $M^{\text{кея}}$  нинг қиймати ҳисоблансан. Шунингдек,  $A$  валига кулиса массасидан келтирилган инерция моменти  $I^{\text{кея}}$  аниқлансан. Берилганлар: Кулиса  $3$  пинг  $C$  айланиш ўқига нисбатан инерция моменти  $I_{C_3} = 0,032 \text{ кг}\cdot\text{м}^2$ ,  $l_{AB} = 120 \text{ мм}$  бурчаклар  $\varphi_1 = 90^\circ$ ,  $\varphi_3 = 30^\circ$ .

64. Шарнирли тўрт звеноли механизм вали  $A$  га коромисло  $3$  га таъсир этувчи момент  $M_3 = 200 \text{ Н}\cdot\text{м}$ . дан келтирилган момент  $M^{\text{кея}}$  нинг қиймати ҳамда коромисло массасидан келтирилган инерция моменти  $I^{\text{кея}}$  нинг қиймати аниқлансан. Берилганлар: коромисло  $3$  нинг  $D$  ўқига нисбатан инерция моменти  $I_D = 0,1 \text{ кг}\cdot\text{м}^2$ ,  $l_{AB} = 100 \text{ мм}$ ,  $l_{BC} = 200 \text{ мм}$ ,  $l_{CD} = 282,84 \text{ мм}$ ,  $l_{AD} = 300 \text{ мм}$ .

65. Синус механизми вали  $A$  га звено  $3$  га таъсир қилувчи  $P_3 = 60 \text{ Н}$  кучдан келтирилган момент  $M^{\text{кея}}$  нинг қиймати ҳамда звено  $3$  массасидан келтирилган инерция моменти  $I^{\text{кея}}$  нинг қиймати ҳисоблансан. Берилганлар: звено  $3$  нинг массаси  $m_3 = 1 \text{ кг}$   $l_{AB} = 100 \text{ мм}$ . Ҳисоблаш қўйидаги ҳолатлар учун бажарилсан.

а)  $\varphi_1 = 0^\circ$ , б)  $\varphi_1 = 45^\circ$  в)  $\varphi_1 = 90^\circ$ .

66. Тебранувчи конвейер механизми вали  $A$  га звено  $5$  га таъсир қилувчи  $P_5 = 500 \text{ Н}$  кучдан келтирилган момент  $M^{\text{кея}}$  ҳисоблансан. Шунингдек, звено  $5$  массаси  $m_5 = 100 \text{ кг}$  дан  $A$  валига келтирилган инерция моменти аниқлансан. Берилганлар:  $l_{AB} = 100 \text{ мм}$ ,  $l_{BC} = l_{DC} = 200 \text{ мм}$ ,  $l_{AD} = 150 \text{ мм}$ ,  $l_{DE} = 100 \text{ мм}$ ,  $l_{EF} = 300 \text{ мм}$ .

67. Кулачокли механизм вали  $A$  га турткич  $2$  га таъсир этувчи

$P_2 = 60 \text{ Н}$  күчдан келтирилган момент  $M_{\text{кел}}$  нинг ҳамда турткич масасидан келтирилган инерция моменти  $I_{\text{кел}}$  нинг қийматлари аниқлансан. Берилганлар: турткич массаси  $m_2 = 0,8 \text{ кг}$ , турткичнинг тезлик аналоги  $\frac{ds_2}{d\varphi} = 15 \text{ мм}$ , доирасимон кулачокнинг диаметри  $D = 40 \text{ мм}$ .

Кулачок маркази  $O$  ва унинг айланиш ўқи  $A$  турткичнинг ҳаракат йўналишига тик бўлган чизиқда жойлашган.

68. Марказий кулачокли механизм вали  $A$  га турткич 2 га таъсир этувчи  $P_2 = 10 \text{ Н}$  күчдан келтирилган момент  $M_{\text{кел}}$  нинг ҳамда турткич массаси  $m_2 = 0,1 \text{ кг}$  дан келтирилган инерция моменти  $I_{\text{кел}}$  нинг қийматлари аниқлансан. Берилганлар; турткичнинг тезлик аналоги  $\frac{ds_2}{d\varphi} = 20 \text{ мм}$ , ҳаракатни узатиш бурчаги  $\gamma = 60^\circ$ .

69. Ёғоч арралаш механизм вали  $A$  га арра ўрнатиладиган даста 5 га таъсир этувчи, қирқилишдан вужудга келадиган қаршилик кучи  $P_5 = 500 \text{ Н}$  дан келтирилган момент  $M_{\text{кел}}$  аниқлансан. Шунингдек,  $A$  валига звено 5 массасидан келтирилган инерция моменти  $I_{\text{кел}}$  аниқлансан. Берилганлар: даста 5 нинг массаси  $m_5 = 20 \text{ кг}$ ,  $l_{AB} = 200 \text{ мм}$ ,  $l_{BC} = 600 \text{ мм}$ ,  $X_1 = 240 \text{ мм}$ . Ҳисоблаш  $\varphi_1 = 0^\circ$  ва  $\varphi_1 = 180^\circ$  ҳолатлар учун бажарилсан.

70. Кулисли механизм вали  $A$  га кулиса 3 нинг  $E$  нуқтасига қўйилган  $P_3 = 100 \text{ Н}$  күчдан келтирилган момент  $M_{\text{кел}}$  ва кулиса массасидан келтирилган инерция моменти  $I_{\text{кел}}$  ҳисоблансан. Берилганлар: кулисанинг айланиш ўқи  $C$  нуқтага нисбатан инерция моменти  $I_{C_3} = 0,8 \text{ кг}\cdot\text{м}^2$ ,  $l_{AB} = 200 \text{ мм}$ ,  $l_{CE} = 600 \text{ мм}$ ,  $\varphi_1 = 90^\circ$ ,  $\varphi_3 = 30^\circ$ .

71. Рандалаш станоги вали  $A$  га звено 5 га таъсир этувчи деталнинг қирқилишидан ҳосил бўладиган қаршилик кучи  $P_5 = 800 \text{ Н}$  дан келтирилган момент  $M_{\text{кел}}$  аниқлансан. Шунингдек,  $A$  валига звено 5 массасидан келтирилган инерция моменти  $I_{\text{кел}}$  аниқлансан. Берилганлар: звено 5 нинг массаси  $m_5 = 4 \text{ кг}$ ,  $l_{AB} = 100 \text{ мм}$ ,  $l_{CD} = 300 \text{ мм}$ ,  $l_{DE} = 150 \text{ мм}$ .  $\varphi_1 = 90^\circ$ ,  $\varphi_3 = 30^\circ$ .

72. Сомон преслаш механизми  $A$  валига звено 4 га таъсир қилувчи қаршилик моменти  $M_4 = 800 \text{ Н.м}$  дан келтирилган момент  $M_{\text{кел}}$  аниқлансан. Шунингдек,  $A$  валига звено 4 ва 2 ларнинг массаларидан келтирилган инерция моменти  $I_{\text{кел}}$  аниқлансан. Берилганлар: коромисло 4 нинг  $E$  ўқи нисбатан инерция моменти  $I_{E_4} = 20 \text{ кг}\cdot\text{м}^2$ . Звено 2ничг  $B$  ўқи нисбатан инерция моменти  $I_{B_2} = 0,6 \text{ кг}\cdot\text{м}^2$ ,  $z_1 = 18$ ,  $z_2 = 36$ ,  $l_{BC} = 250 \text{ мм}$ ,  $l_{CD} = 470 \text{ мм}$ ,  $l_{ED} = 400 \text{ мм}$ ,  $l_{BE} = 600 \text{ мм}$ ,  $\varphi_2 = 45^\circ$ .

73. Босқичли узатманинг  $O_1$  валига фидирлак 6 валига қўйилган  $M_6 = 1000 \text{ Н.м}$  моментдан келтирилган момент  $M_{\text{кел}}$  аниқлансан. Шунингдек, ҳамма фидирлакларнинг массаларидан фидирлак 1 нинг  $O_1$  валига келтирилган инерция моменти аниқлансан. Берилганлар:  $I_{O_1} = 0,02 \text{ кг}\cdot\text{м}^2$ ,  $I_{O_{2,3}} = 0,06 \text{ кг}\cdot\text{м}^2$ ,  $I_{O_{4,5}} = 0,04 \text{ кг}\cdot\text{м}^2$ ,  $I_{O_6} = 0,2 \text{ кг}\cdot\text{м}^2$ ,  $z_1 = 16$ ,  $z_2 = 32$ ,  $z_3 = 18$ ,  $z_4 = 12$ ,  $z_5 = 24$ ,  $z_6 = 72$ .

74. Бир қатор ташки ва ички илашмани планетар механизмнинг етакловчи фидирлак вали  $O_1$  га водилога қўйилган момент  $M_n = 120 \text{ Н.м}$

дан келтирилган момент аниқлансан. Шунингдек, механизмнинг барча ҳаракатланувчи звенолари массаларидан ғилдирак 1 валига келтирилган инерция моменти  $I_{\text{кел}}^{\text{ин}}$  аниқлансан. Берилганлар: планетар механизмнинг узатиш нисбати  $\mu_{\text{пл}} = 4$ . Марказий ғилдирак 1 нинг  $O_1$  ўққа нисбатан инерция моменти  $I_{10_1} = 0,02 \text{ кг}\cdot\text{м}^2$ . Сателлитнинг ғилдирак маркази  $O_2$  ўққа нисбатан инерция моменти  $I_{20_2} = 0,015 \text{ кг}\cdot\text{м}^2$ . Водило  $H$  нинг айланиш ўқига нисбатан инерция моменти  $I_{O_H} = 0,1 \text{ кг}\cdot\text{м}^2$ . Сателлитлар сони  $K = 3$ ,  $z_3 = 3z_1$ ,  $z_2 = z_1$ .

75. Икки қатор ташқи ва ички илашмали планетар механизмнинг марказий ғилдирак вали  $O_1$  га водилога қўйилган момент  $M = 100 \text{ н}\cdot\text{м}$  дан келтирилган момент  $M_{\text{кел}}^{\text{ин}}$  аниқлансан. Шунингдек, механизмнинг барча ҳаракатланувчи звенолари массаларидан ғилдирак 1 валига келтирилган инерция моменти  $I_{\text{кел}}^{\text{ин}}$  аниқлансан. Берилганлар: планетар механизмнинг узатиш нисбати  $\mu_{\text{пл}} = 13$ . Марказий ғилдирак 1 нинг ўз айланиш ўқига нисбатан инерция моменти  $I_{10_1} = 0,02 \text{ кг}\cdot\text{м}^2$ . Сателлитлар 2 ва 3 блокининг  $O_2$  ўққа нисбатан инерция моменти  $I_{O_{2,3}} = 0,08 \text{ кг}\cdot\text{м}^2$ . Водило  $H$  нинг марказий ўқ  $O_H$  га нисбатан инерция моменти  $I_{O_H} = 0,1 \text{ кг}\cdot\text{м}^2$ . Сателлит блокларининг сони  $K = 3$ . Планетар механизм ҳаракатланувчи ғилдираклари тишиларининг сони  $z_1 = 24$ ,  $z_2 = 72$ ,  $z_3 = 32$ ,  $z_4 = 128$ .

## ИККИНЧИ ҚИСМ. МЕХАНИЗМЛАРНИ ЛОЙИХАЛАШ

### 7-бөб. КУЛАЧОҚЛИ МЕХАНИЗМЛАРНИ ЛОЙИХАЛАШ

Кулачокли механизмлар эңг күп тарқалған механизмлардан бўлиб, ички ёнувдвигателларида, компрессорларда, станокларда ва бошқа технологик ҳамда иш машиналарида қўлланилади.

Кулачокли механизмлар етакловчи звено — кулачокнинг текис ҳаракатини иш органи — турткичнинг маълум қонуниятга бўйсунувчи ҳаракатига айлантириш учун хизмат қилади.

#### 1-§. КУЛАЧОҚЛИ МЕХАНИЗМЛАРНИ ЛОЙИХАЛАШ ТАРТИБИ

Кулачокли механизмни динамик лойиҳалашда қуйидаги тартибга амал қилиш мақсадга мувофиқдир:

1. Механизм схемасини танлаш.
2. Турткич ҳаракати қонунини белгилаш.
3. Механизмнинг асосий геометрик параметрларини аниқлаш.
4. Кулачок профилини чизиш.
5. Ролик радиусини танлаш.

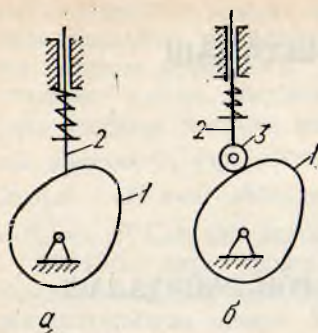
Лойиҳалаш ишлари тугаллангандан сўнг механизм кинематик анализ қилинади. Бунда механизмнинг ҳосил бўлган кинематик схемасига кўра турткичнинг тезлик ва тезланишлари (ёки уларнинг аналоглари) аниқланади. Сўнгра аниқланган қийматлар диаграмма қийматлари билан таққосланади.

#### 2-§. МЕХАНИЗМ СХЕМАСИНИ ТАНЛАШ

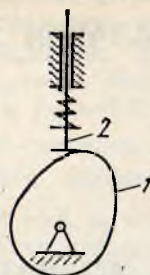
Керакли схема мавжуд кулачокли механизмлар туркумларидан танлаб олинади, бу механизм ишлаш шароитида бошқа турдаги кулачокли механизмларга қараганда динамик, кинематик ва конструктив талабларни кўпроқ қондириши лозим бўлади. Кулачокли механизмларнинг техникада кенг миқёсда қўлланиладиган асосий турлари қуйидагилардан иборат:

1. Турткичи илгарилама-қайтма ҳаракатланувчи кулачокли механизмлар (75 ва 76-шакллар).
2. Турткичи тебранма ҳаракат қилувчи кулачокли механизмлар (77-шакл).

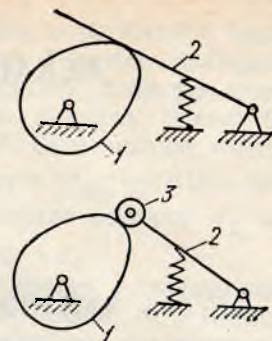
75-шакл *a* ва *b* да тасвириланган кулачокли механизмлар ўзининг бирмунча ихчамлиги билан бошқа турдаги механизмлардан фарқ қиласди. 76-шакл ва 77-шакл, *a* да тасвириланган кулачокли механизмлар



75- шакл.



76- шакл.



77- шакл.

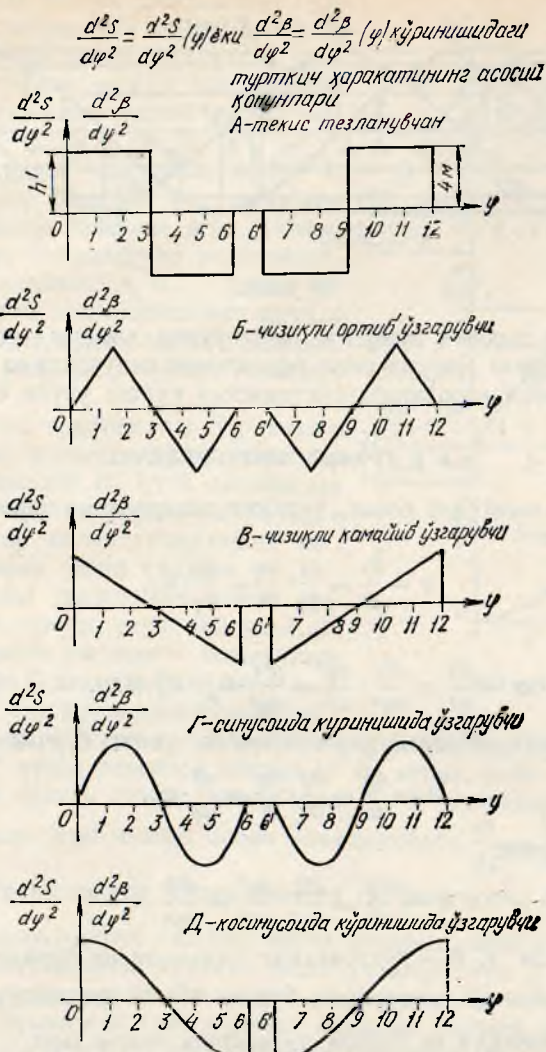
75- шаклда тасвирланган кулачокли механизмларга қараганда динамик талабға күпроқ жавоб беради, яғни бу туркумдаги кулачокли механизмларнинг ФИКи бошқа турдагиларниң қараганда бирмунча юқори бўлади. Чунки бундай механизмларда турткич билан кулачокнинг ҳосил қиласидан кинематик жуфтida босим бурчаги доимо ноль градусга тенг. Аммо бундай механизмларда кулачок профилининг доимо қавариқ бўлиши талаб қилинади. Бунинг натижасида зарур кинематик талабға (бинобарин, динамик талабға ҳам) жавоб бериши лозим бўлган кулачок профили каттароқ чиқади.

### 3- §. ТУРТКИЧНИНГ ҲАРАКАТ ҚОНУНИНИ БЕЛГИЛАШ

Баъзи кулачокли механизмларда турткич олдиндан белгиланган йўл графиги бўйича ҳаракат қилиши зарур. Бундай механизмларни лойиҳалашда турткич ҳолатининг кулачок бурилиш бурчагига боғлиқ бўлган графиги, яғни  $S = S(\phi)$  ёки  $\beta = \beta(\phi)$  олдиндан берилган бўлиши шарт.

Бошқа ҳолларда турткич маълум бир тезлик графигига бўйсуниб ҳаракатланиши талаб қилинади. Масалан, бўйлама ишлов бериш автомат станогида кескич ўзгармас тезликда ҳаракат қилиб, ҳаракат кулачокли механизм орқали амалга оширилади. Албатта, бундай ҳолларда тезлик графиги олдиндан берилиши керак.

Бундай ҳаракат қонунига бўйсунувчи кулачокли механизмларга хос бўлган асосий камчилик турткичда кескин зарбнинг ҳосил бўлишидир. Чунки турткич тезлигининг кескин ўзгариши унинг катта тезланиши билан ҳаракатланишига сабаб бўлади. Бундай ҳаракат кучли зарбни вужудга келтиради. Кескин зарб натижасида турткич кулачокдан маълум муддатга ажралиб қолиши мумкин. Бу эса турткич ҳаракатининг бузилишига, профилнинг тез едирилишига сабаб бўлади. Лойиҳаланаётган кулачокли механизмларда турткич ҳаракати технологик процесслар билан боғлиқ бўлмаганда, унда ортиқча инерция кучларининг пайдо бўлишига йўл қўймаслик мақсадида, тезланиш диаграммаси асосий ҳаракат қонуни сифатида қабул қилинади. Тезлик ва



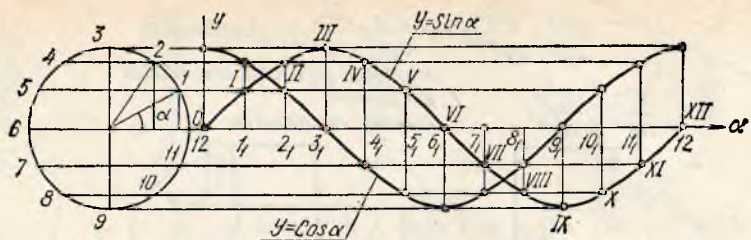
78- шакл.

Йүл диаграммалари эса график интеграллаш усули билан тезланиш диаграммасидан ҳосил қилинади.

Ҳаракат қонуни тезланиш диаграммаси тарзида берилганды үларни 2 турга бүлиш мүмкін:

1. Кескін зарбали.
2. «Юмшок» зарбали.

78- шаклда түрткіч учи тезланишининг кулачок бурилиш бурчагына боғлиқлик диаграммаси тарзидаги ҳаракат қонунлари күрсатылған.



79- шакл.

Улар «юмшоқ» зарбани вужудга келтирувчи ҳаракат қонунлариidir. 79- шаклда ҳаракат қонунларини ифодаловчи синусоида ва косинусоида егри чизиқларини координата системасыда қуриш усули тасвиirlанган.

#### 4- §. ГРАФИК ИНТЕГРАЛЛАШ

Агар  $\omega_k = \text{const}$  деб олсак, турткич илгариланма ҳаракат қилганда унинг тезлиги:

$$v = \frac{ds}{dt} = \frac{ds}{d\varphi} \cdot \frac{d\varphi}{dt} = \frac{ds}{d\varphi} \cdot \omega_k,$$

тезланиши:

$$\alpha = \frac{d^2s}{dt^2} = \frac{d^2s}{d\varphi^2} \cdot \frac{d\varphi^2}{dt^2} = \frac{d^2s}{d\varphi^2} \cdot \omega_k^2 \quad \text{бўлади.}$$

Агар турткич тебранма ҳаракат қилса, унинг бурчак тезлиги:

$$\omega = \frac{d\beta}{dt} = \frac{d\beta}{d\varphi} \cdot \frac{d\varphi}{dt} = \frac{d\beta}{d\varphi} \cdot \omega_k,$$

бурчак тезланиши:

$$\epsilon = \frac{d^2\beta}{dt^2} = \frac{d^2\beta}{d\varphi^2} \cdot \frac{d\varphi^2}{dt^2} = \frac{d^2\beta}{d\varphi^2} \cdot \omega_k^2$$

бўлади, бу ерда  $s$ ,  $\beta$  — турткичнинг чизиқли ва бурилиш йўллари;  $\frac{ds}{d\varphi}$ ;  $\frac{d\beta}{d\varphi}$  — турткичнинг чизиқли ва бурчак тезлик аналоглари;  $\frac{d^2s}{d\varphi^2}$ ;  $\frac{d^2\beta}{d\varphi^2}$  — турткичнинг чизиқли ва бурчак тезланиши аналоглари.

Тезлик ва тезланишларнинг ҳақиқий ва аналог қийматлари ўзаро боғлиқ бўлганлиги сабабли қуидаги функционал боғланиш лойиҳалашада етарлидир. Турткич илгариланма ҳаракат қилганда:

$$s = s(\varphi); \frac{ds}{d\varphi} = \frac{ds}{d\varphi}(\varphi); \frac{d^2s}{d\varphi^2} = \frac{d^2s}{d\varphi^2}(\varphi),$$

турткич тебранма ҳаракат қилганда:

$$\beta = \beta(\varphi); \frac{d\beta}{d\varphi} = \frac{d\beta}{d\varphi}(\varphi); \frac{d^2\beta}{d\varphi^2} = \frac{d^2\beta}{d\varphi^2}(\varphi).$$

График интеграллаш жараёни график дифференциаллаш жараёнига тескари тартибдаги амалдир. (Қаранг. 2- боб, 4- §). Бунда тезланиш

диаграммасидан тезлик диаграммаси, ундан эса йўл диаграммаси ҳосил қилинади. 80-шаклда кўрсатилган тезланиш диаграммасидан тезлик ва йўл диаграммаларини ҳосил қилишини амалий кўриб чиқайлик:

1. оғ ўқидаги (80-шакл, а) 0 — 1, 1 — 2 оралиқлар ўртаси  $a$ ,  $c \dots$  ларга мос келувчи тезланиш графиги эгри чизиғининг ордината ўлчамларини аниқлаймиз. Аниқланган нуқталар  $b$ ,  $d \dots$  ларни ордината ўқи  $od$  га проекциялаймиз ва унда  $b'', d'' \dots$  нуқталарни ҳосил қиласиз, яъни  $(ob'') = (ab)$ ,  $(od'') = (cd) \dots$  ва ҳоказо бўлади.

2. Тезланиш графиги оғ ўқ чизиги йўналишининг қарама-қарши томонида  $O$  нуқтадан бошлаб  $H_2$  қутб масофасида танланган  $\pi$  нуқтани ордината ўқидаги  $b'', d'' \dots$  нуқталар билан туташтириб,  $\pi b'', \pi d'' \dots$  нурларни ҳосил қиласиз.

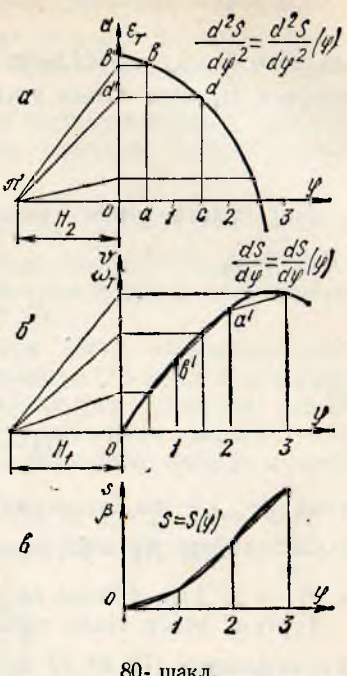
3. Тезланиш графигидан тезлик графигини ҳосил қилиш учун (80-шакл, б) унинг координата системаси бошланishi нуқтаси бўлган  $O$  дан оғ ўқининг  $0 — 1$  оралиғида  $\pi b''$  нурга параллел бўлган  $(ob')$  кесма ўтказамиз. Сўнгра кесма охири  $b'$  нуқтадан оғ ўқининг  $1 — 2$  оралиғида  $\pi d''$  нурга параллел бўлган  $(b' d')$  кесма ҳосил қиласиз ва ҳоказо. Ҳосил бўлган синиқ чизиқларни  $b'$ ,  $d'$  нуқталардан ўтувчи узлуксиз лекало эгри чизиги билан алмаштирилса,  $\frac{ds}{d\varphi} = \frac{ds}{d\varphi}$  ( $\varphi$ ) ёки  $\frac{d\beta}{d\varphi} = \frac{d\beta}{d\varphi}$  ( $\varphi$ ) кўринишидаги тезлик аналоги графиги ҳосил бўлади.

Ҳосил бўлган график яна бир марта юқорида баён этилган усулда график интегралланса, турткич босиб ўтадиган йўл  $S$  нинг кулачок бурилиш бурчаги  $\varphi$  га боғлиқлик диаграммаси  $S = S(\varphi)$  ёки турткич бурилиш бурчаги  $\beta$  нинг кулачок бурилиш бурчаги  $\varphi$  га боғлиқлик диаграммаси  $\beta = \beta(\varphi)$  ҳосил бўлади (80-шакл, в).

##### 5- §. ДИАГРАММАЛАР УЧУН ҚУТБ МАСОФАСИ $H_1$ ВА $H_2$ НИ ТАНЛАШ

Динамик талабга жавоб берадиган механизм кулачогининг минимал радиусини аниқлаш учун турткич йўли  $S$  нинг тезлик аналоги  $\frac{ds}{d\varphi}$  га боғлиқлик диаграммаси  $S = S\left(\frac{ds}{d\varphi}\right)$  ни бир хил масштабда қуриш лозим бўлади. Йўл ва тезлик аналоглари масштаб коэффициентлари ўзаро қўйидагича боғланган:

$$\mu_{\frac{ds}{d\varphi}} = \frac{\mu_s}{H_1 \cdot \mu_\varphi}, \quad \mu_{\frac{d\beta}{d\varphi}} = \frac{\mu_\beta}{H_1 \cdot \mu_\varphi}.$$



80- шакл.

Формуладан күриниб турибдики,  $\mu_{\frac{ds}{d\varphi}} = \mu_s$  ёки  $\mu_{\frac{d\beta}{d\varphi}} = \mu_\beta$  қабул қилиш учун  $H_1 \cdot \mu_\varphi = 1$  бўлиши керак. Бундан тезлик диаграммаси қутб масофаси  $H_1$  нинг чизма узунлиги аниқланади:

$$H_1 = \frac{1}{\mu_\varphi}.$$

$\mu_\varphi$  нинг ўрнига унинг ифодаси  $\mu_\varphi = \mu_\varphi^\circ \cdot \frac{\pi}{180^\circ}$  ни қўйисак (қаранг: 2- боб, 4- §),

$$H_1 = \frac{1 \text{рад}}{\mu_\varphi^\circ \cdot \frac{\pi}{180^\circ}} = \frac{57,3^\circ}{\mu_\varphi}$$

ёки

$$H_1 = 57,3 \cdot \frac{(\varphi_{\text{иш}})}{\varphi_{\text{иш}}} [\text{мм}],$$

бунда ( $\varphi_{\text{иш}}$ ) — иш бурчагининг чизма ифодаси, бундан, агар  $\mu_\varphi^\circ = 1 \frac{\text{град}}{\text{мм}}$  бўлса,  $H_1 = 57,3 \text{ мм}$  га teng бўлади. Агар  $\mu_\varphi^\circ = 2 \frac{\text{град}}{\text{мм}}$  бўлса,  $H_1 = 28,5 \text{ мм}$  бўлади ва ҳоказо.

Турткич асоси текис тарелкасимон кўринишда бўлган кулачокли механизмларни (76 ва 77- шакл, а) лойиҳалашда  $S = S\left(\frac{d^2 s}{d\varphi^2}\right)$  диаграммасини қуриш лозим бўлади. Бунда тезланиш аналогининг масштаби  $\mu_{\frac{d^2 s}{d\varphi^2}}$  йўл масштаби  $\mu_s$  га teng бўлади, яъни:

$$\mu_s = \mu_{\frac{d^2 s}{d\varphi^2}} = \frac{\mu_s}{H_1 \cdot H_2 \cdot \mu_\varphi^2}.$$

Бунинг учун  $H_1 \cdot H_2 \cdot \mu_\varphi^2 = 1$  бўлиши зарур. Бундан тезланиш қутб масофаси  $H_2$  аниқланади:

$$H_2 = \frac{1}{H_1 \cdot \mu_\varphi^2}.$$

#### 6-§. КУЛАЧОК МЕХАНИЗМЛАРНИ КИНЕМАТИК ЛОЙИҲАЛАШ (КУЛАЧОК ПРОФИЛИНИ ҚУРИШ)

1. Кулачокли механизмларни кинематик лойиҳалашда қўйидаги параметрлар берилган бўлади:

- 1) турткич йўли ва унинг ҳаракат графиги,
- 2) кулачокнинг иш бурчаги ёки фаза бурчаклари (81-шакл).

Фаза бурчаклари қўйидагилардан иборат бўлади:  $\mu_y$  — кулачокнинг турткич узоқлашу-

вига мос келувчи бурилиш бурчаги;  $\Phi_{ym}$  —кулачокнинг турткичнинг маълум узқликда қўзғалмай туришига мос келувчи бурилиш бурчаги;  $\Phi_y$  кулачокнинг турткич яқинлашувига мос келувчи бурилиш бурчаги;  $\Phi_{yt}$  —кулачокнинг турткичнинг маълум яқинликда қўзғалмай туришига мос келувчи бурилиш бурчаги.

Агар лойиҳада кулачокнинг иш бурчаги берилган бўлса, у ҳолда уни ташкил этувчи фаза бурчакларига ажратиб олинади. Бунда қўйидаги шарт бажарилиши лозим

$$\Phi_{uu} = \Phi_y + \Phi_{ym} + \Phi_{yt};$$

3) кулачок назарий профилининг минимал радиуси— $R_{min}$ .

Яна қўшимча параметрлар лойиҳаланувчи механизм турига кўра белгиланади.

2. а) Турткич ролик билан жиҳозланган ҳамда илгарилама-қайтма ҳаракатланувчи марказий кулачокли механизмни (75-шакл, б) кинематик лойиҳалашда юқорида кўрсатилган параметрларга қўшимча равиша ролик радиуси  $r_{rol}$  ҳам берилган бўлиб, турткич йўли графиги  $S=S(\phi)$  кўринишда бўлади. Кулачок профилини ҳосил қилиш қўйидаги тартибда олиб борилади:

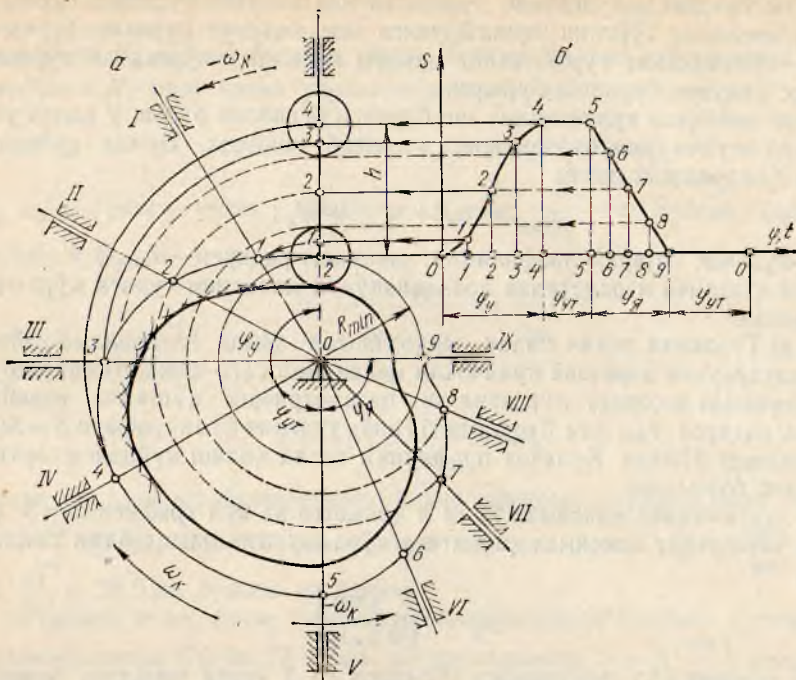
1) турткичнинг максимал йўли  $h$  қийматга ва йўл графиги  $S=S(\phi)$  эгри чизиғининг максимал қийматига кўра узунлик масштабини танлаймиз:

$$\mu_S = \frac{h}{(h)} \left| \frac{\text{мм}}{\text{мм}} \right|$$

2) турткич йўл диаграммаси (82-шакл, б)  $S$  ўқига параллел равиша турткичнинг асосий вазиятини чизамиз (82-шакл, а) ҳамда унда турткич учининг ҳолатлари  $0, 1, 2, \dots$  ларни  $S=S(\phi)$  диаграммасига мувофиқ равиша белгилаймиз;

3) турткич учининг қуи ҳолати  $\theta$  дан бошлаб унинг пастки томонида турткич ўқ чизиги бўйича  $R_{min}$  масофада кулачок маркази  $\theta$  ни белгилаймиз.  $\theta$  нуқтани марказ қилган ҳолда  $R_{min}$  радиусли айланма ўтказамиз. Турткич ўқ чизигидан бошлаб кулачок бурчак тезлиги  $\omega_k$  йўналишига қарама-қарши йўналиш бўйича кулачокнинг фаза бурчаклари  $\Phi_y, \Phi_{ym}, \Phi_{yt}$  ни белгилаймиз.

Кулачокнинг профилини ҳосил қилиш мақсадида «Ҳаракатни тескари томонга йўналтириш» усулидан фойдаланамиз, яъни бунда чизма текислигига кулачок айланиш маркази  $\theta$  нуқта атрофида айланма ҳаракат берилади. Айланма ҳаракатнинг бурчак тезлиги кулачокнинг бурчак тезлигига teng бўлиб, йўналиши унга қарама-қарши бўлади. Бунинг натижасида кулачок қўзғалмас бўлиб қолади, чунки унинг ҳаракати йигиндиси  $\omega_k + (-\omega_k) = 0$  бўлади. Турткич эса ўз йўналтирувчиси бўйича илгарилама-қайтма ҳаракатда бўлишдан ташқари, яна кулачок айланиш ўқи  $\theta$  нуқта атрофида ҳам айланма ҳаракат қиласди. Бу ҳаракат жараённида турткичнинг кулачок фаза бурчаклари  $\Phi_y$  ва  $\Phi_{yt}$  га мос келувчи  $n$  тадан ҳолатларини тасвирлаймиз. Ҳар бир фаза бурчагида турткич ҳолатлари ўзаро teng бурчакда жойлашади, Сўнгра турткичнинг бошланғич вазиятидаги ролик маркази бўлган  $A$  нуқтанинг ҳолатларини



82- шакл.

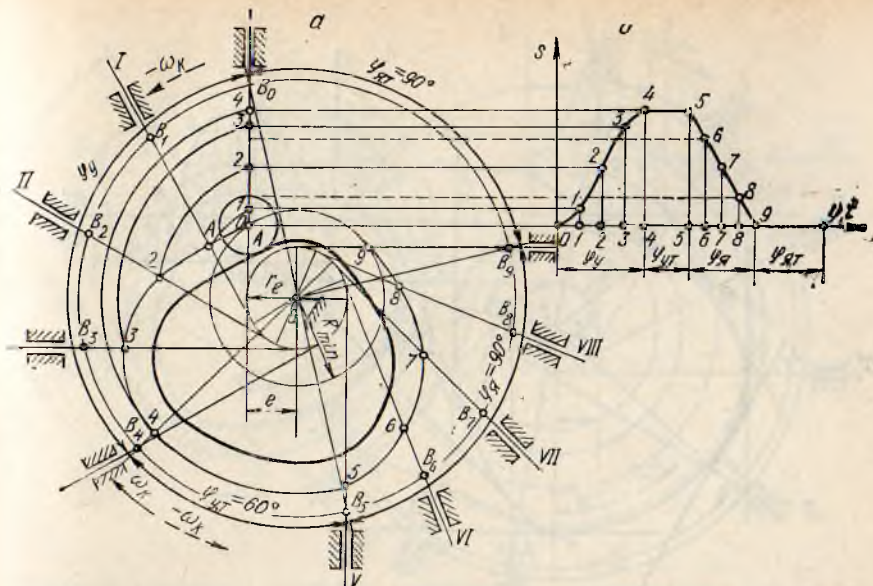
циркуль ёрдамида мос равиша нисбий ҳаракатдаги турткичнинг  $I, II, \dots$  вазиятларига кўчирамиз. Белгиланган нуқталар  $1, 2, 3, \dots$  ролик маркази  $A$  нуқтанинг турткичнинг турли вазиятидаги ўршини билдиради. Ҳосил бўлган нуқталар узлуксиз эгри чизиқ билан туташтирилса, кулачокнинг назарий профили ҳосил бўлади.

Кулачокнинг ҳақиқий профилини ҳосил қилиш учун назарий профилидаги нуқталарни марказ қилиб олган ҳолда  $r_{\text{пол}}$  радиусли ёй бўлакларини ўтказамиз. Чизилган ёй бўлакларига ўтказилган умумий уринма кулачокнинг ҳақиқий профили бўлади. 82-шакл, а да  $r_{\text{пол}}$  радиусли ёй бўлаклари фақат кулачокнинг узоқлашув бурчаги учун кўрсатилган.

б) Турткич ролик билан жиҳозланган ҳамда илгарилама-қайтма ҳаракатланувчи, марказий бўлмаган кулачокли механизмларни лойихалаш (75-шакл) марказий кулачокли механизмни лойиҳалашдан принцип жиҳатидан катта фарқ қилмайди. Бундай механизмни лойиҳалашда қўшимча равиша турткич ўқининг кулачок йўланиш маркази  $O$  нуқтадан силжиш масофаси (эксцентритет) е нинг қиймати берилади.

Лойиҳалаш қуйидаги тартибда бажарилади:

Кулачок соат стрелкаси ўналишида ҳаракатланади деб қараб унинг айланиш ўқи бўлган  $O$  нуқтани турткич ўқ чизигидан ўнг томонда белгилаймиз (83-шакл, а). Бунинг учун турткич ўқ чизигига параллел равиша унинг ўнг томонидан вертикал чизиқ ўтказамиз. Ўтказилган



83- шакл.

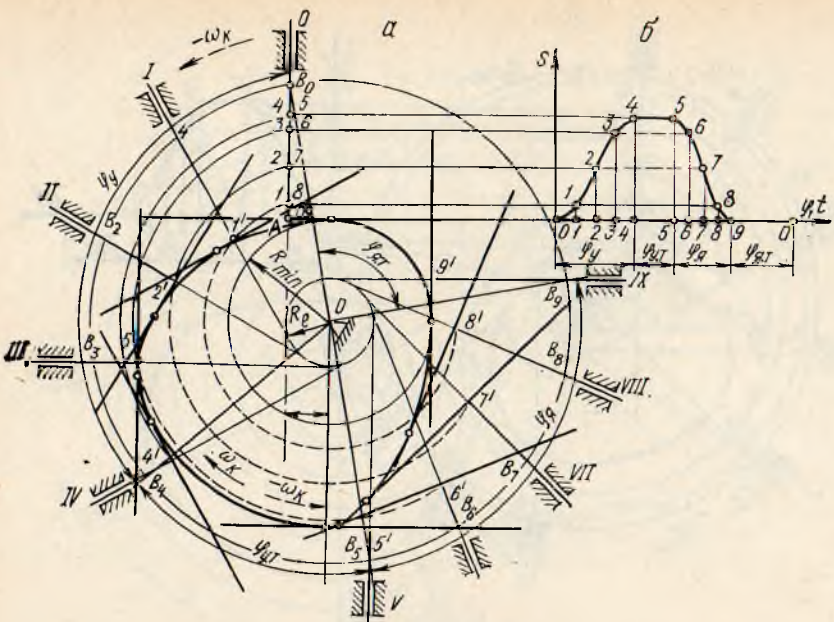
чизиқнинг ролик маркази бўлган  $A$  нуқтадан циркуль ёрдамида ўтказилгани радиусли ёй билан кесишиш нуқтаси  $O$  кулачокнинг айланниш ўқини билдиради. Турткич ўқ чизиғидаги ихтиёрий танланган  $B_o$  нуқтани кўзгалмас звенога тегишли деб қараб, унинг траекторияси  $OB_o$  радиусли айланани чизамиз. Айлананинг  $B_o$  нуқтасидан бошлаб, кулачокнинг бурчак тезлиги  $\omega_k$  йўналишига қарама-қарши йўналишда кулачокнинг фаза бурчакларига тиравиб турувчи ёй бўлакларини ажратамиз. Узоқлашув бурчаги  $\Phi_y$  ва яқинлашув бурчаги  $\Phi_x$  ларга тиравиб ёй бўлакларининг ҳар бирини ўзаро тенг бўлган  $n$  қисмга бўлиб, турткич  $B$  нуқтасининг турли вазиятлари  $B_1, B_2, \dots$  ларни белгилаймиз. Белгиланган нуқталардан  $r_e$  радиусли айлананинг чап томонига ўткашланган уринмалар турткич ўқининг турли вазиятларини тасвиirlайди. Кулачокнинг назарий ва ҳақиқий профилларини ҳосил қилиш олдингиз мисолда баён этилган усулдагидек бажарилади.

3. Турткич асоси текис тарелкасимон бўлган ҳамда илгарилама-қайтма ҳаракатланувчи кулачокли механизмни (76-шакл) кинематик лойиҳалаш қўйишдаги параметрлар қийматларига кўра бажарилади:

- 1) турткич йўли  $h$  ва унинг йўл графиги  $S = S(\varphi)$  (84-шакл, б);
- 2) кулачокнинг фаза бурчаклари  $\Phi_y; \Phi_{ym}; \Phi_x$ ;
- 3) кулачокнинг минимал радиуси  $R_{min}$ ;

4) турткич ўқининг кулачок марказидан силжиш масофаси (эксцен-  
триитет)  $e$  нинг қиймати.

Кулачок профили қуйидаги тартибда ҳосил қилинади:

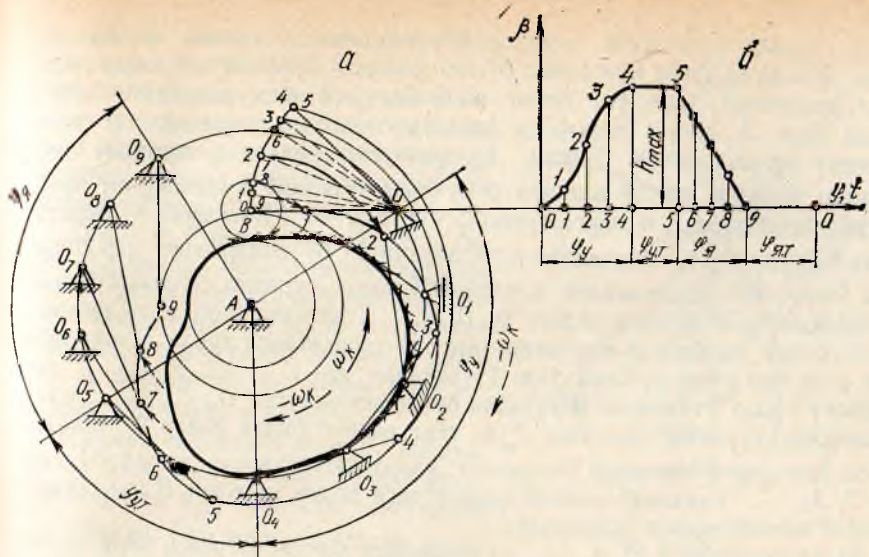


84- шакл.

- 1) узунлик масштаби  $\mu_s$  танланади;
- 2) турткич йўл диаграммасининг (84-шакл. б)  $S$  ўқига параллел равишида турткичининг асосий вазияти чизилади (84-шакл. а). Асосий вазиятда турткич тарелкасининг вазиятлари  $0, 1, 2, \dots$  лар  $S=S(\varphi)$  диаграммасига мувофиқ ҳолда белгиланади;

3) кулачок айланиш ўқи  $O$  нуқтанинг вазияти аниқланади. Бунинг учун турткич тарелкасининг қуий томонида, ҳамда ундан  $\sqrt{R_{min}} - e^2$  масофада горизонтал чизиқ, турткич ўқидан  $e$  масофада вертикаль чизиқ ўтказилади. Ўтказилган чизиқларнинг кесишиш нуқтаси  $O$  кулачок айланыш ўқини билдиради. Агар кулачок соат стрелкаси йўналишида ҳаракатланади деб қаралса, кулачок ўқи турткич ўқ чизигининг ўнг томонида жойлашади. Турткичининг ўқ чизиги кулачок маркази  $O$  нуқтадан ўтказилган, радиуси  $e$  га teng бўлган айланага уринади;

4) турткич ўқ чизигидаги ихтиёрий танланган  $B_o$  нуқтани турткич йўналтирувчисига тегишли деб қараб, «Ҳаракатни тескарига айлантириш» усулига кўра кулачок ўқини  $O$  нуқта атрофида айланма ҳаракатга келтирамиз. Унинг траекторияси  $OB_o$  радиусли айланга бўлади. Айлананинг  $B_o$  нуқтасидан бошлаб —  $\omega_k$  бурчак тезлик йўналишида кулачокнинг фаза бурчакларига тирави турувчи ёй бўлакларини ажратамиз. Узоқлашув бурчаги  $\varphi_y$  ва яқинлашув бурчаги  $\varphi_x$  ларга тиравувчи ёй бўлакларининг ҳар бирини ўзаро teng  $n$  тадан бўлакка бўлиб  $B_o$  нуқтанинг турли вазиятлари  $B_1, B_2, B_3, \dots$  ларни белгилаймиз. Белгилangan нуқталардан  $R_e$  радиусли айланага ўтказилган уринмалар турткич ўқининг турли вазиятларини тасвирлайди.



85- шакл.

Кулачок маркази  $O$  нүктадан турткичнинг асосий вазиятидаги  $1, 2, 3$  нүқталаргача бўлган масофаларни радиус қилиб олган ҳолда ёйлар ўтказамиз. Уларнинг турткич турли вазиятларидағи ўқ чизиқлари билан кесишиш нүқталари  $1', 2', 3' \dots$  турткич асосидаги  $A$  нүктанинг нисбий ҳаракатдаги вазиятларини билдиради.

Ҳосил бўлган  $1', 2', 3'$  нүқталардан, ўша вазиятдаги турткич ўқига тик равишда, унинг тарелкасимион асосларини чизамиз. Сўнгра уларга умумий уринма бўлган равон эгри чизиқни—кулачок профилини ҳосил қиласмиз.

4. Турткичи ролик билан жиҳозланган ҳамда тебранма ҳаракат қилувчи кулачокли механизмни (77-шакл, б) кинематик лойиҳалаш қўйидаги параметрлар қийматларига кўра бажарилади:

1) тебранма ҳаракат қилувчи турткичнинг пастки вазиятдан максималь оғиш бурчаги  $\beta_{max}$  ва турткичнинг бурчак йўли графиги  $\beta = \beta(\phi)$  (85-шакл, б);

2) кулачокнинг фаза бурчаклари— $\Phi_y, \Phi_{y.m}, \Phi_x$ ;

3) кулачок назарий профилининг минимал радиуси  $R_{min}$ ;

4) ролик радиуси  $r_{rol}$ ;

5) коромисло кўринишидаги турткич узунлиги  $l_{OB}$ ;

6) кулачок ва турткич айланиш ўқлари орасидаги масофа  $l_{AO}$  (85-шакл, а).

Кулачок профилини қуриш учун қуйидаги ишларни бажарамиз:

1) чизма масштаби  $\mu_1$  га кўра, бўрилган ўлчамларни чизиб, турткичнинг пастки вазиятини тасвирлаймиз. Шунингдек бурчак йўли графигига мунофиқ равишида ролик маркази  $B$  нүктанинг четки ва оралиқ вазиятлари  $1, 2, 3 \dots$  ни аниқлаймиз.

2)-«Ҳаракатни тескари томонга йўналтириш» усулидан фойдаланамиз. Бунда кулачок қўзгалмас бўлиб қолади. Турткич тебранма ҳаракат қилишдан ташқари, унинг айланиш ўқи  $\theta$  кулачокнинг айланиш ўқи  $A$  нуқта атрофида айланма ҳаракат қилади.  $\theta$  нуқтанинг траекторияси бўлган  $l_{AO}$  радиусли айланада, турткич тебраниш ўқининг асосий вазияти  $\theta$  нуқтадан бошлаб кулачокнинг фаза бурчаклари  $\Phi_y$ ,  $\Phi_{y,m}$ ,  $\Phi_x$  ларга тиради турувчи ёй бўлакларини ажратамиз. Сўнгра  $\Phi_y$ ,  $\Phi_x$  бурчакларга тирадувчи ёй бўлакларининг ҳар бирини ўзаро тенг узунликдаги  $n$  тадан бўлакка ажратиб, турткич ўқи  $\theta$  нуқтанинг нисбий ҳаракатдаги  $\theta_1, \theta_2, \theta_3, \dots$  вазиятларини аниқлаймиз.

3) ролик маркази  $B$  нуқтанинг нисбий ҳаракатдаги турли вазиятлари ни аниқлаш учун кулачок ўқи  $A$  нуқтадан  $A-1, A-2, A-3, \dots$  радиусли ёйлар ўтказамиз. Шу билан бирга аниқланган  $\theta_1, \theta_2, \theta_3, \dots$  нуқталардан турткич узунлиги  $l_{OB}$  га тенг радиус билан ёйлар ўтказамиз. Мос равишда ўтказилган ёйларнинг ўзаро кесишувидан ҳосил бўлган  $1, 2, 3, \dots$  нуқталар нисбий ҳаракатдаги ролик маркази  $B$  нуқтанинг турли вазиятларини билдиради;

4) аниқланган  $1, 2, 3, \dots$  нуқталардан узлуксиз равон эгри чизиқ ўтказиб, кулачокнинг назарий профилини ҳосил қиласиз. Сўнгра назарий профил нуқталаридан  $r_{pol}$  масофада ётувчи нуқталарни аниқлаймиз ва шу нуқталардан ўтувчи кулачокнинг ҳақиқий профилини қурамиз.

## 7- §. КУЛАЧОКЛИ МЕХАНИЗМЛАРНИ ДИНАМИК ЛОЙИХАЛАШ

1. Кулачокли механизмлар кинематик лойиҳаланганда кулачокнинг минимал радиуси  $R_{min}$  нинг қиймати тўғридан-тўғри қабул қилинади. Бироқ кинематик лойиҳаланган кулачокли механизмлар динамика нуқтai назаридан мутлақо яроқсиз бўлиши мумкин. Чунончи, турткич ва кулачок орасида вужудга келадиган ишқаланиш кучи кулачок сиртининг маълум бир қисмida ҳаддан ташқари ортиб кетиши, ҳатто турткич билан кулачок ўзаро қадалиб қолиши мумкин. Бу ҳол кулачок ва турткичнинг ишлаш шароитида ўзаро ҳосил қиладиган босим бурчаги маълум бир қийматдан ошиб кетгандан содир бўлади. Бундай ҳодисани бартараф қилиш учун кулачокнинг минимал радиуси шундай танланадики, ишлаш шароитида вужудга келадиган босим бурчагининг энг катта қиймати рухсат этилган босим бурчаги қийматидан катта бўлмайди.

2. Масаланинг физик моҳиятини тушуниб олиш мақсадида 86-шаклга мурожаат қиласиз. Шаклга кўра кулачок  $I$  турткич  $2$  га  $N$  куч билан таъсир этадиган бўлсин.  $N$  куч кулачок профилининг  $A$  нуқтасидан ўтувчи  $n-n$  нормал чизиқда ётади.  $N$  кучни турткич  $2$  ўқи бўйича ҳамда турткичга тик бўлган ташкил этувчиларга ажратсан ҳамда  $N$  куч билан турткич ўқ чизиги орасидаги бурчакни  $\alpha$  десак, қўйидагиларни ҳосил қиласиз:

$$P = N \cos \alpha$$

$$T = N \sin \alpha,$$

бу ерда  $P-N$  кучнинг фойдали ташкил этувчиси,  $T-N$  кучнинг зарарли ташкил этувчиси.

$\alpha$  бурчак босим бурчаги дейилади. 86-шаклдан босим бурчаги  $\alpha$  нинг қиймати ошиб борган сари  $N$  кучнинг зарарли ташкил этувчиси  $T$  нинг қиймати ошиб боришини ва фойдали ташкил этувчиси  $P$  нинг қиймати камайиб боришини кўриш қийин эмас.

Демак,  $\alpha$  бурчак сшиб бориши билан кулачокли механизминг ишлаши хам қийинлаша боради ва у маълум қийматга эришганда кулачок турткични ҳаракатлантира олмай қолиши мумкин.  $\alpha$  бурчакнинг бу қиймати  $\alpha_{\text{кад}}$  — қадалиш бурчаги дейилади.

Кулачокли механизмларни лойихалашда босим бурчагининг рухсат этилган қиймати  $\alpha_{pyx}$  олдиндан белгиланган бўлади. Биз лойихалайдиган кулачокли механизмларда ҳосил бўладиган босим бурчагининг энг катта қиймати  $\alpha_{\text{max}}$  қўйидаги шартни қаноатлантириши керак:

$$\alpha_{\text{max}} \leq \alpha_{pyx} < \alpha_{\text{кад}},$$

бу ерда  $\alpha_{pyx}$  — бурчакнинг рухсат этилган қиймати.

Одатда, босим бурчаги  $\alpha$  ўрнига уни  $90^\circ$  га тўлдирувчи бурчак  $\gamma$  дан фойдаланилади,  $\gamma$  бурчак ҳаракатни узатиш бурчаги дейилади:

$$\gamma = 90^\circ - \alpha \text{ бўлади.}$$

Кулачокка тегишли  $A$  нуқтани қутб сифатида танлаб ҳақиқий йўнашлари  $90^\circ$  га бурилган тезликлар планининг тенгламалар системаси:

$$\begin{aligned}\vec{u}_B &= \vec{u}_A + \vec{u}_{BA} \\ \vec{u}_B &= \vec{u}_O + \vec{u}_{BO}\end{aligned}$$

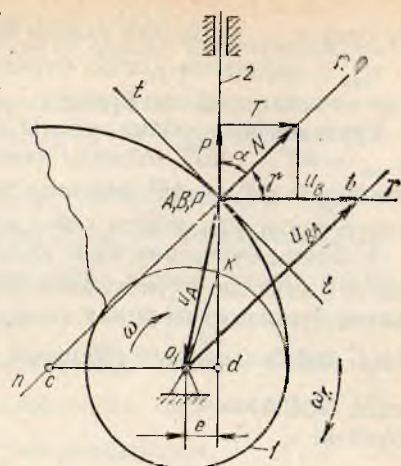
га кўра қурамиз (3-бсб, 2-§. Мисол).

Тезликлар планидаги  $\vec{u}_B = \frac{(dS_B)}{d\varphi}$  турткичнинг ҳақиқий йўналиши  $90^\circ$  га бурилган абсолют тезлик аналоги векторидир, У турткич ўқига тик жойлашади.

$\vec{u}_{BA}$  — турткичнинг кулачокка нисбатан нисбий тезлиги векторининг  $90^\circ$  га бурилган вазияти. У кулачок айланиш ўқи билан  $\left(\frac{dS_B}{d\varphi}\right)$  векторининг охирини туташтиради.

86-шаклдан кўриниб турибидики,  $\gamma$  — турткичнинг абсолют тезлик вектори билан унинг кулачокка нисбатан нисбий тезлик вектори орасидаги бурчакдир. Демак,

$$\gamma_{\min} \geq \gamma_{pyx} > \gamma_{\text{кад}}$$



86- шакл.

бу ерда:  $\gamma_{min}$  ҳаракатни узатиш бурчагининг энг кам қиймати,

$\gamma_{pux}$  — ҳаракатни узатиш бурчагининг рухсат этилган қиймати,  $\gamma_{kad}$  турткичнинг қадалиш бурчаги.

Турткичи илгарилама ҳаракат құлувчи кулачокли механизмлар учун  $\gamma_{min} = 60^\circ \dots 65^\circ$ , тебранма ҳаракат құлувчи кулачокли механизмларда еса  $\gamma_{min} = 40^\circ \dots 45^\circ$  белгиланған бўлиб, кам қийматларни турткични учига ролик ўрнатганда қабул қилиш мумкин.

3. Босим бурчаги  $\alpha$  нинг кулачок минимал радиуси  $R_{min}$  га боғлиқлигини анықлаш учун кулачок айланыш марказы  $O_1$  нүктадан горизонтал чизиқ ўтказамиш ва унинг  $n-n$  нормал чизиқ билан кесишиш нүктаси ни  $C$  деб белгилаймиз (86-шакл), у ҳолда ( $co_1$ ) = ( $B\theta$ ) =  $\frac{dS_B}{d\varphi}$  ҳосил бўлади.  $\angle CAD = \alpha$  бундан:

$$\operatorname{tg} \alpha = \frac{(cd)}{(Bd)} = \frac{(co_1) + (o_1 d)}{(B\kappa) + (kd)} \quad (7.1)$$

бу ерда ( $co_1$ ) = ( $B\theta$ ) =  $\frac{ds_B}{d\varphi}$  чунки параллелограмм  $CB\theta o_1$  нинг қарама-қарши томонлари ўзаро тенг.  $\frac{ds_B}{d\varphi} = B$  нүктанинг ихтиёрий ҳолатдаги  $90^\circ$  бурилган тезлик аналогидир ( $\mu_{as} = \mu_s$  масштабида  $(o_1 d) = e$  эксцентрицитет қийматининг чизмадаги ифодаси).

( $B\kappa$ ) =  $S_B$  турткичнинг босиб ўтган йўли:

$$(kd) = \sqrt{(o_1 k)^2 - (o_1 d)^2} = \sqrt{R^2_{min} - e^2}. \quad (7.2)$$

(7.2) ни (7.1) га қўйсак:

$$\operatorname{tg} \alpha = \frac{\left(\frac{ds_B}{d\varphi}\right) + e}{S_B + \sqrt{R^2_{min} - e^2}} \quad (7.3)$$

Агар турткич ўқ чизиги кулачок марказининг чап томонида жойлашса формула (7.3) қўйидагича ифодаланади:

$$\operatorname{tg} \alpha = \frac{\left(\frac{ds_B}{d\varphi}\right) + e}{S_B - \sqrt{R^2_{min} - e^2}} \quad (7.3')$$

(3) ва (3') ларни умумлаштирусак:

$$\operatorname{tg} \alpha = \frac{\left(\frac{dS_B}{d\varphi}\right) \pm e}{S_B + \sqrt{R^2_{min} - e^2}}. \quad (7.4)$$

Формула (7.4) ва 86-шаклдая кўрамизки, босим бурчаги  $\alpha$  нинг қийматини камайтириш учун кулачокнинг минимал радиуси  $R_{min}$  ни катталаштириш ҳамда эксцентрицитет  $e$  нинг ишорасини манфий қилиб олиш лозим.

## 8- §. КУЛАЧОКНИНГ МИНИМАЛ РАДИУСИ

### $R_{\min}$ НИ ДИНАМИК ТАЛАБНИ ҚАНОАТЛАНТИРАДИГАН ҚИЛИБ АНИҚЛАШ

1. Турткичи илгариlama-қайтма ҳаракатланувчи, 75-шакл,  $a$  ва  $b$  да тасвирланган кулачокли механизмлар учун  $R_{\min}$  қуйидаги тартибда аниқланади:

87-шакл,  $a$  да тасвирланган  $S = S(\varphi)$  диаграммаси ( $\varphi$ ) ўқининг давомида бирор  $O$  нуқтани танлаб ундан  $S$  ва  $\frac{dS}{d\varphi}$  координата ўқларини ўтказамиз (87-шакл, e) ва турткич йўли  $S$  нинг унинг тезлик аналоги  $\frac{dS}{d\varphi}$  га боғлиқ бўлган диаграммаси  $S = S\left(\frac{dS}{d\varphi}\right)$  ни қурамиз.

Бунинг учун йўл диаграммаси  $S = S(\varphi)$  дан турткич вазиятлари тўғридан-тўғри ўлчаб олинниб  $S$ ,  $\frac{dS}{d\varphi}$  координата системасидаги (87-шакл, e)  $S$  ўқига қўйилади, ёки йўл диаграммасидаги  $1'$ ,  $2'$ ,  $3'$  ... нуқталар  $S$ ,  $\frac{dS}{d\varphi}$  координата системасидаги  $S$  ўқига проекциялаб келтирилади.

Ҳосил қилинган ҳар бир вазиятда шу вазиятдаги тезлик аналоги диаграммасидан ўлчаб олинган аналог қийматлари  $90^\circ$  га бурилган кесмалар тарзида келтириб қўйилади, яъни  $1$ -нуқтага  $1' - 1''$  кесма,  $2$ -нуқтага  $2 - 2''$  кесма,  $3$ -нуқтага  $3 - 3''$  кесма қўйилади ва ҳоказо. Аналог қийматлари мусбат бўлса, диаграмманинг ўнг томонига, манфий бўлса, диаграмманинг чап томонига қўйилади.

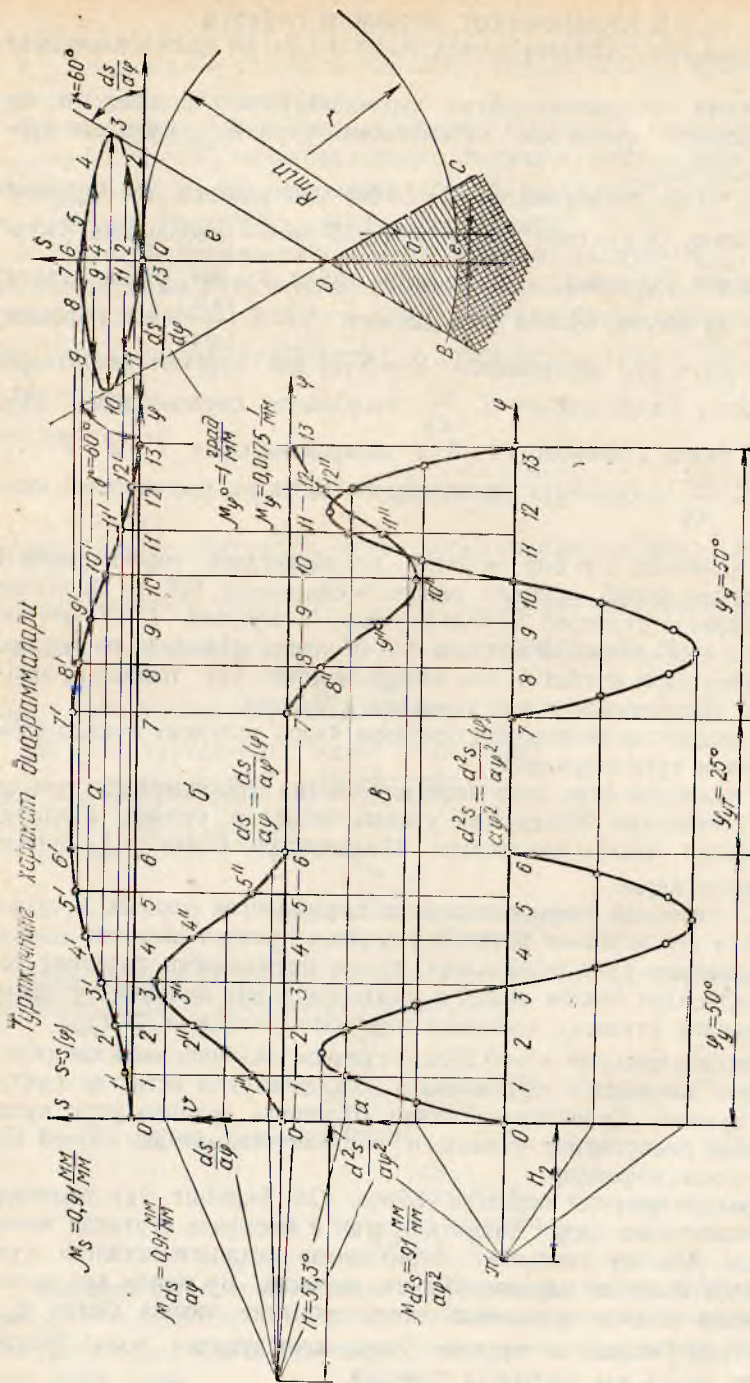
Ҳамма аналоглар векторлари охирлари ўзаро узлуксиз лекало эгри чизиғи орқали туташтирилади.

Ҳосил қилинган ёпиқ эгри чизиқнинг четки томонларидан уринма чизиқлар ўтказилади. Ўтказилган уринма чизиқлар уриниш нуқталарига тақалувчи тезлик аналоглари йўналишлари билан  $\gamma_{\min}$  бурчак ҳосил қилиши керак.

Уринма чизиқлар ўзаро кесишганда штрихланган соҳа  $BO_1C$  ҳосил бўлади. Ана шу соҳанинг исталган нуқтаси кулачок айланиси марказининг геометрик ўрни бўла олади, чунки штрихланган соҳанинг исталган нуқтасидан тезлик аналоги векторларининг охирини туташтирувчи чизиқлар ўтказсан, қуйидаги шарт бажарилади:  $\gamma_i \geq \gamma_{\min}$ .

Агар эксцентрицитет  $e = 0$  бўлса, кулачок айланиси маркази қилиб  $OS$  — чизиги давомидаги штрихланган соҳада ётувчи исталган нуқтаси олиш мумкин. Кулачокнинг ихчам бўлишига эришиш учун кулачок минимал радиусининг чизмадаги энг кам қийматидан  $3 - 4$  мм каттароқ олиш кифоядир.

Агар эксцентрициитет берилган бўлса,  $OS$  ўқининг ўнг томонидан эксцентрициитетнинг чизма қиймати бўлган  $e$  масофада вертикал чизик ўтказилади. Ана шу чизиқнинг штрихланган соҳадаги исталган нуқтаси кулачок айланиси маркази бўлиши мумкин. Бу ҳолда ҳам минимал радиусли айлана марказини эксцентрициитет чизиги билан  $\gamma_{\min}$  бурчак остида ўтказилган нурнинг ўзаро кесишувидан ҳосил бўлган нуқтасидан  $3 - 4$  мм пастроқда олинади.



87- шаалт.

Агар масала шартида қийматлари олдиндан берилган параметрлар-га құшымча равиша радиуси  $r_{\text{пол}}$  қиймати күрсатылған болса, бу ҳолда минимал радиус маркази штрихланған соңда бўлиши керак ва қуйидаги талабни ҳам қаноатлантириши шарт:

$$(R_{\min}) \geq \frac{r_{\text{пол}}}{0,4\mu_s}$$

бу ерда:  $\mu_s$ — узунлик масштаби.

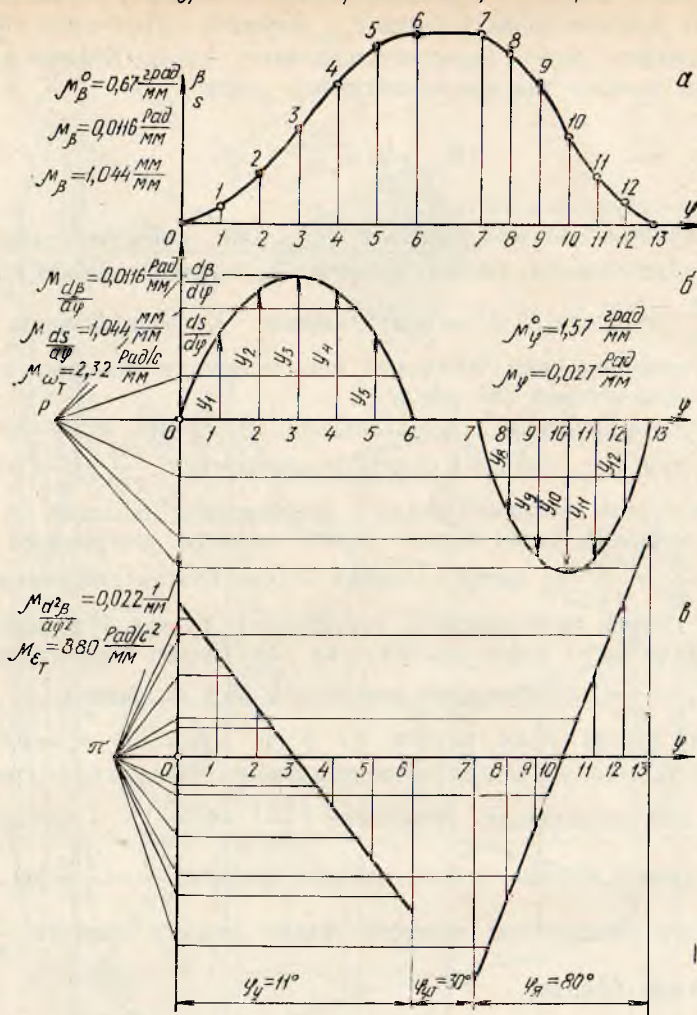
Бу ҳолда кулачок минимал радиуси  $R_{\min}$  нинг қийматини аниқлаш мақсадида турткичнинг пастки вазияти  $B_0$  нүктаны марказ қилиб,  $(R) = \frac{r_{\text{пол}}}{0,4\cdot\mu_s}$  радиуси ёй бўлагини ўтказамиз. Кулачок айланиш марказининг геометрик ўрни ўтказилған ёйнинг пастки томонидаги штрихланған соңда ётади (87- шакл, e).

2. Турткич тебранма ҳаракатланувчи кулачокли механизм (77-шакл, б) учун  $R_{\min}$  қуйидаги тартибда аниқланади.  $\frac{d^2\beta}{d\varphi^2} = \frac{d^2\beta}{d\varphi^2}(\varphi)$  қўрнишдаги бурчак тезланиш аналоги диаграммаси (88-шакл, в) график интегралланиб, ундан бурчак тезлик аналоги диаграммаси (88-шакл, б)  $\frac{d\beta}{d\varphi} = \frac{d\beta}{d\varphi}$  ( $\varphi$ ) ҳосил қилилади. Ҳосил бўлган диаграмма яна бир марта график интегралланиб, турткичнинг бурчак йўли диаграммаси  $\beta = \beta(\varphi)$  ҳосил қилинади (88-шакл, а). Бунда тезлик қутб ма-софаси  $H_1 = \frac{1}{\mu_\varphi}$  нисбатга кўра аниқланади (5- § га қаранг).

Турткич бурчак йўли графиги  $\beta = \beta(\varphi)$  муносабат  $s_i = \beta_i l_T$  га кўра ( $l_T$  — турткич узунлиги) ролик марказининг чизиқли йўли графиги  $S = S(\varphi)$  ҳам ҳисобланади. Бинобарин  $\left(\frac{dS}{d\varphi}\right)_i = \frac{d\beta}{d\varphi}|_i \cdot l_T$  муносабатга кўра турткич бурчак тезлик аналоги графиги  $\frac{d\beta}{d\varphi} = \frac{d\beta}{d\varphi}$  ( $\varphi$ ) айни шактда ролик марказининг чизиқли тезлик аналоги графиги  $\frac{dS}{d\varphi} = \frac{dS}{d\varphi}$  ( $\varphi$ ) ҳам бўлади.

Биз кулачокнинг минимал радиуси  $R_{\min}$  ни аниқлаш учун йўлини тезлик аналогига боғлиқ диаграммаси  $S = S\left(\frac{dS}{d\varphi}\right)$  ни қуришчимиз керак. Бунинг учун тебранувчи турткични  $\mu_s = \mu_\beta \cdot l_T$  ифодага биноан аниқланадиган масштаб коэффициентига кўра ( $O_3B$ ) кесма тарзида чизамиз (88-шакл, е)  $O_3$  нүкта турткичнинг айланиш ўқини,  $B$  нүкта турткич учининг, яъни ролик марказининг энг пастки вазиятини ифодалайди. Турткич учининг (ролик марказининг) траекто-риясини  $O_3B$  радиусли ёй тарзида тасвирлаб (шаклда  $BR$  ёй), унда ролик марказининг оралиқ ҳамда чекка вазиятларини  $\beta = \beta(\varphi)$  диаграммасига (яъни  $S = S(\varphi)$  диаграммасига) мувофиқ белгилаймиз. (Ролик марказининг аниқ ҳолатларини қуриш 8- § даги 2- мисолда кўр-

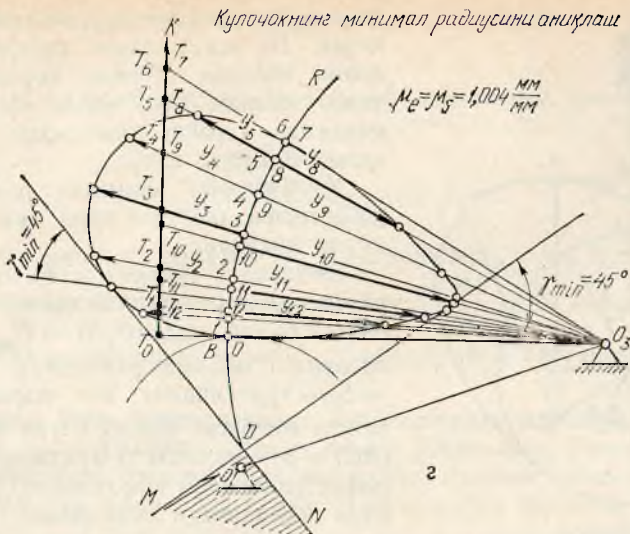
Турткичнинг ҳаракат диаграммалари



88- шакл.

сатилган). Белгиланган ролик марказининг турли вазиятлари  $1, 2, 3, \dots$  лар турткичнинг айланыш ўқи бўйлган  $O_3$  нуқта билан туташтирилиб, турткичнинг турли вазиятлари ҳосил қилинади.

Ролик марказининг вазиятлари  $1, 2, 3, \dots$  нуқталарга уларнинг тезлик аналоглари чизма қийматлари  $y_1, y_2, y_3$  ларни тезлик аналоги диаграммасидан (88- шакл, б) турткич вазиятлари  $O_3 - 1, O_3 - 2, O_3 - 3 \dots$  лар бўйлаб жойлаштирамиз. Уларнинг вектор йўналишини аниқлаш учун ролик маркази тезлигининг ҳақиқий вектор йўна-



88- шакл.

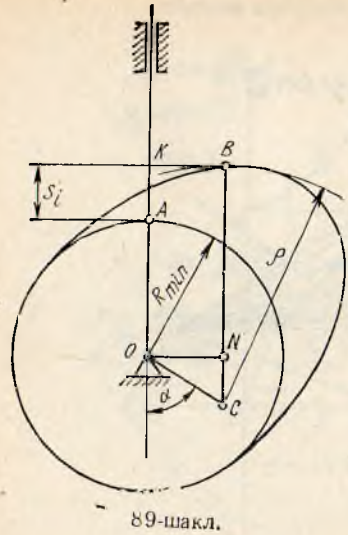
лишини кулачокнинг бурчак тезлиги  $\omega_k$  йўналиши бўйича  $90^\circ$  га буриш керак бўлади. Қурилган  $y_1, y_2, y_3$  — векторларнинг охирларини узлуксиз равон эгри чизик билан туташтириб тезлик аналогининг вазиятга боғлиқлик диаграммаси  $S = S\left(\frac{dS}{d\varphi}\right)$  ҳосил қилинади.

Кулачокнинг минимал радиуси  $R_{min}$  ни аниқлаш учун ҳосил қилинган эгри чизик  $S = S\left(\frac{dS}{d\varphi}\right)$  графигининг ҳар иккала четки томонидан уринма чизиқлар ўтказамиз. Уринма чизиқлар уриниш нуқтагарига туташувчи ҳамда ҳақиқий йўналиши  $90^\circ$  га бурилган тезлик аналогларини ифодаловчи  $y_t$  кесмаларнинг вектор йўналишлари билан  $v_{min}$  бурчак ҳосил қиласди. Уринма чизиқларнинг ўзаро кесишувидан ҳосил бўлган штрихланган  $MDN$  соҳанинг исталган нуқтаси кулачок айланиш марказининг геометрик ўрни бўла олади.

3. Турткич асоси текис тарелкасимон бўлган ҳамда илгарилама-қайтма ҳаракатланувчи кулачокли механизмлар (76-шакл) учун кулачокнинг минимал радиуси  $R_{min}$  ни аниқлаш усули бошқа кўринишдаги кулачокли механизмларнидан фарқ қиласди.

Турткич асоси текис тарелкасимон кулачокли механизмда босим бурчагининг қиймати ҳамма ҳолатларда ноль градусга тенг бўлади ( $v = 90^\circ$ ). Шу сабабли кулачокнинг турткичга қадалиш ҳодисаси бўлмайди, яъни кулачок минимал радиусининг ҳар қандай қиймати ҳам динамик талабга жавоб берга олади.

Бундай механизмларга геометрик талаб қўйилади, яъни турткич тарелкаси механизм ҳаракати давомида кулачок профилининг сирти-



еки

бундан

$$R_{\min} + S_i = \rho - (OC) \cos \alpha,$$

$$S_i = \rho - (OC) \cos \alpha - R_{\min}. \quad (7.6)$$

Тенглама (7.6) ни кулачокнинг бурилиш бурчаги  $\varphi$  га кўра икки марта кетма-кет дифференциалласак, тезлик ва тезланиш аналоглари ни ҳосил қиласиз.

Тезлик аналоги:

$$\frac{dS_i}{d\varphi} = (OC) \sin \alpha, \quad (7.7)$$

Тезланиш аналоги:

$$\frac{d^2S}{d\varphi^2} = (OC) \cos \alpha.$$

Формула (7.6) га эътибор берсак, ундаги  $(OC) \cos \alpha$  тезланиш аналогининг ўзи экан. Формула (7.6) ни қуийдагича янгидан ёзамиш:

$$S_i + R_{\min} + \frac{d^2S}{d\varphi^2} = \rho > 0.$$

Дарҳақиқат,  $\rho > 0$  бўлиши шарт. Акс ҳолда кулачок қабариқ бўлмаган бўлур эди. Бунда қуийдаги тенгсизлик ўринли бўлади:

$$S_i + R_{\min} + \frac{d^2S}{d\varphi^2} > 0. \quad (7.8)$$

Формула (7.8) да

$$R_{\min} + S_i > - \frac{d^2S}{d\varphi^2} \quad (7.9)$$

бўлади.

даги нуқталарга доимо уринма бўлиши керак. Бу эса кулачок профилининг доимо қабариқ бўлиши кераклигини талаб қиласи. Акс ҳолда кулачокли механизм ҳаракат диаграммасига мос келмаган бўлур эди.

Кулачокнинг минимал радиусини қабариқлик шартига кўра аниқлашни кўриб чиқайлик.

89-шаклда турткис асоси текис тарелкасимон кулачокли механизм тасвирланган бўлиб, унда  $(O_1A) = R_{\min}$  — кулачокнинг минимал радиусини,  $(AK) = S_i$  — турткичнинг энг пастки вазиятга нисбатан босиб ўтган йўлини,  $(BC) = \rho$  — кулачок  $B$  нуқтасининг эргилик радиусини ифодалайди. Шаклга кўра қуийдагини аниқлаймиз:

$$(O_1A) + (AK) = (BC) - (CN) \quad (7.5)$$

(7.9) нинг иккала томонини  $R_{\min} + S_i$  га бўлсак:

$$\frac{\frac{d^2S}{d\varphi^2}}{R_{\min} + S_i} < 1 \text{ келиб чиқади. } \operatorname{tg} 45^\circ = 1 \text{ эканлигини ҳисобга олсак:}$$

$$\frac{\frac{d^2S}{d\varphi^2}}{R_{\min} + S_i} < \operatorname{tg} 45^\circ \quad (7.10)$$

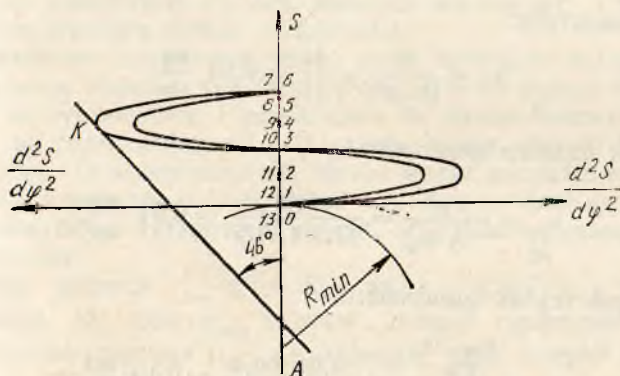
Кулачокниг минимал радиуси  $R_{\min}$  ни аниқлаш учун йўлнинг тезланиш аналогига боғлиқ диаграммаси  $S = S\left(\frac{d^2S}{d\varphi^2}\right)$  бир хил масштабда курилади (90- шакл) яъни,  $\mu_S = \mu_{\frac{d^2S}{d\varphi^2}}$  бўлади (5- § га қаранг).

Диаграмма эгри чизигига унинг чап томонидан вертикал ўқ билан  $45^\circ$  бурчак ҳосил қилувчи уринма чизик ўтказилади. Уринма чизикниг чап томонида олинган исталган нуқта кулачок айланиш марказининг геометрик ўрни бўла олади. Чунки қабул қилинган нуқтадан  $S = S\left(\frac{d^2S}{d\varphi^2}\right)$  диаграммасининг чап томонига ўтказилган уринма вертикал ўқ билан  $45^\circ$  дан кичик бурчак ҳосил қилади.

Агар эксцентрицитет  $e$  нинг қиймати нолга тенг бўлса, кулачок айланиш марказини турткич ўқ чизигида унинг уринма чизик билан кесишиш нуқтаси  $O'$  дан  $5 \dots 10$  мм пастроқда олиш керак (90- шакл).

**1- мисол.** Қўйидаги келтирилган параметрларнинг қийматларига кўра ички ёнувдвигатели учун кулачокли механизм динамик лойиҳалансин.

Турткич йўли  $h = 10$  мм, турткич ўқининг кулачок марказидан сипчиш масофаси  $e = 3$  мм, кулачокниг фаза бурчаклари:  $\Phi_y = 50^\circ$ ,  $\Psi_{yt} = 25^\circ$ ,  $\Phi_x = 50^\circ$ ; босим бурчагининг рухсат этилган қиймати  $\alpha_{\text{тұх}} = 30^\circ$ , турткичнинг  $\frac{d^2S}{d\varphi^2} = \frac{d^2S}{d\varphi^2}(\varphi)$  кўринишдаги ҳаракат қонуни. (78-



90- шакл.

шаклга қаранг). Кулачокнинг айланышлар сони  $n_K = 2000 \frac{\text{айл}}{\text{мин}}$ .

**Ечиш.** 1. (75-шакл, б) да тасвирланган кулачокли механизм схемасини лойиҳалаш учун қабул қиласиз.

Кулачокнинг бурчак тезлиги:

$$\omega_K = \frac{\pi \cdot n_K}{30} = \frac{3,1416 \cdot 2000}{30} = 209,2 \frac{\text{рад}}{\text{с}}.$$

Кулачокнинг иш бурчаги:

$$\Phi_{\text{иш}} = \Phi_y + \Phi_{y,T} + \Phi_x = 50^\circ + 25^\circ + 50^\circ = 125^\circ.$$

Қоғоз сатхини ҳисобга олган ҳолда кулачок профили иш бурчагининг чизмадаги ифодасини  $\Phi_{\text{иш}} = 125$  мм деб қабул қиласиз: (87-шакл, в). У ҳолда градусда ифодаланган бурчак масштаби:

$$\mu_\Phi^{\circ} = \frac{125^\circ}{125 \text{ мм}} = 1 \frac{\text{град}}{\text{мм}}$$

бўлади.

Мисолимизда  $\mu_\Phi^{\circ} = 1 \frac{\text{град}}{\text{мм}}$  бўлгани сабабли тезлик аналоги диаграммаси қутб масофасини  $H_1 = 57,3$  мм деб қабул қиласиз. Тезланиши аналоги диаграммаси қутб масофаси  $H_2$  эса ихтиёрий танланади. Бизда  $H_2 = 25$  мм қабул қилинган.

Тезланиш диаграммаси бўлган  $\frac{d^2S}{d\varphi^2} = \frac{d^2S}{d\varphi^2}$  ( $\varphi$ ) кўринишдаги ҳаракат қонуни — синусоида эгри чизигини 79-шаклда тасвирланган кўрсатмага асосан қурамиз. Қурилган тезланиш диаграммасини икки марта кетма-кет график усууда интеграллаб, тезлик ва йўл диаграммаларини ҳосил қиласиз (4-§ га қаранг).

Диаграммалар учун масштабларни аниқлајмиз:

1) радианда ифодаланган бурчак масштаби:

$$\mu_\varphi = \mu_\Phi^{\circ} \cdot \frac{\pi}{180^\circ} = 1 \frac{\text{град}}{\text{мм}} \cdot 0,0175 = 0,0175 \frac{1}{\text{мм}};$$

2) йўл масштаби:

$$\mu_s = \frac{h}{(6 - 6')} = \frac{10}{11} = 0,91 \frac{\text{мм}}{\text{мм}};$$

3) тезлик аналоги масштаби:

$$\mu_{\frac{ds}{d\varphi}} = \frac{\mu_s}{H_1 \cdot \mu_\varphi} = \frac{0,91}{57,3 \cdot 0,0175} = 0,91 \frac{\text{мм}}{\text{мм}};$$

4) ҳақиқий тезлик масштаби:

$$\mu_v = \frac{\mu_{\frac{ds}{d\varphi}} \cdot \omega_K}{1000} = \frac{0,91 \cdot 209,2}{1000} \approx 0,19 \frac{\text{м/с}}{\text{мм}};$$

5) тезланиш аналоги масштаби:

$$\mu_{\frac{d^2S}{d\varphi^2}} = \frac{\frac{\mu_d S}{d\varphi}}{H_2 \cdot \mu_\varphi} = \frac{0,91}{25 \cdot 0,0175} = 2,08 \frac{\text{мм}}{\text{мм}};$$

6) ҳақиқий тезланиш масштаби:

$$\mu_a = \frac{\frac{\mu_d S \cdot \omega_K^2}{d\varphi^2}}{1000} = 2,08 \frac{(209,2)^2}{1000} = 91,03 \frac{\text{м/c}^2}{\text{мм}}.$$

2. Кулачокнинг динамик талабга жавоб берувчи минимал радиуси қийматини аниқлаш учун йўл  $S$  нинг тезлик аналоги  $\frac{dS}{d\varphi}$  га боғлиқ диаграммаси қурилди (87- шакл, е)  $S = S\left(\frac{dS}{d\varphi}\right)$  диаграммасини қуриш ва ҳосил бўлган диаграммага кўра кулачокнинг минимал радиуси  $R_{\min}$  ини аниқлаш 8.1- § да тушунтирилган тартибда амалга оширилади.

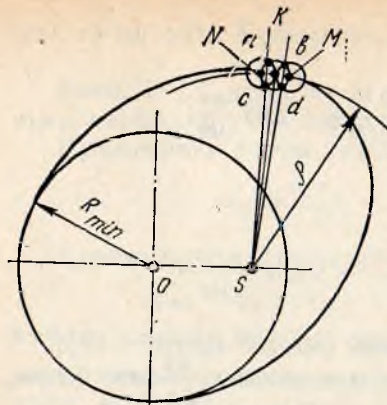
3. Кулачок профилини ҳосил қиласиз. Бунинг учун турткичнинг асосий вазиятидаги турткич учининг ҳолатлари 1, 2, 3, ... ларни белгилаймиз. (83- шакл,). Кулачокнинг айланиш ўқи 0 турткич ўқи чизигидан  $e$  масофада ўнг томонда жойлашади. 0 нуқтани марказ қилинб олган ҳолда  $R_{\min} = (OA_0)$  радиус билан айланади.

Кулачок соат стрелкаси йўналишида ҳаракатланади деб қарайдиз ва бутун система (чизма текислигига) кулачок йўналишига қарама-қарши ҳаракат берадиз. Бунда кулачок айланышдан тўхтайди ва турткич илгарилама, қайтма ҳаракат қилишдан ташкири яна кулачокнинг айланиш ўқи атрофида ҳам айланма ҳаракат қила бошлайди.

Турткичнинг кулачок атрофида айланма ҳаракати йўналиши бўйича  $\Psi_y = 50^\circ$ ,  $\Psi_{ym} = 25^\circ$ ,  $\Phi_y = 50^\circ$  бурчакларни белгилаймиз ва турткичнинг  $\Psi_y$  бурчакка бурилиш давридаги бир-бири билан тенг бурчак ташкил этувчи  $b$  вазиятни ва  $\Phi_y =$  бурчакка бурилиш даврида яна бир-бири билан тенг бурчак ташкил этувчи  $b$  вазиятини белгилаймиз. Турткич ўқи ҳамма вазиятларда кулачок айланиш марказидан  $e$  радиус билан ўтказилган айланага уринма жойлашади.

Кулачокнинг профилини чизиш учун қуйидаги ишларни бажарамиз: Кулачок айланиш ўқи  $O$  нуқтадан ( $O - 1$ ) радиус билан ёй ўтказамиз ва турткичнинг I вазиятидаги ўқ чизиги билан кесишиш нуқтаси  $A_1$  ни белгилаймиз. ( $O - 2$ ) радиус билан яна ёй ўтказамиз ва турткичнинг II вазиятидаги ўқ чизиги билан кесишиш нуқтаси  $A_2$  ни белгилаймиз ва ҳоказо. Аниқланган  $A_1$ ,  $A_2$  ... нуқталарни узлуксиз ири чизиқ билан туташтириб чиқсан, кулачокнинг назарий профили ҳосил бўлади.

Ролик радиуси  $r_{rol} \leq 0,4 R_{\min}$  ва  $r_{rol} \leq 0,7 R_{\min}$  шартга кўра инциклиданади. Бу ерда  $R_{\min}$  кулачок назарий профилининг энг эгри қисми эгрилик радиуси  $\rho_{min}$  ни аниқлаш учун назарий профилининг ири қисмига радиуси 4 ... 6 мм оралиқда бўлган ва чизиқлари бир-



91- шакл.

миз. Уларга ички томондан умумий уринма эгри чизиқ үтказсак, назарий профилга эквидистант бўлган профиль — иш профили ҳосил бўлади.

**2- мисол.** Қўйида келтирилган параметрлар қўйматларига кўра кўндаланг рандалаш станогининг турткичи тебранма ҳаракат қилувчи кулачокли механизми динамик лойиҳалансин.

Турткичнинг максимал оғиш бурчаги  $\beta_{\max} = 30^\circ$ ; кулачокнинг фаза бурчаклари:  $\varphi_y = 110^\circ$ ,  $\varphi_{y,t} = 30^\circ$ ,  $\varphi_x = 80^\circ$  турткичнинг узунлиги  $l_T = 0,09$  м, босим бурчагининг рухсат этилган қиймати  $\alpha = 45^\circ$ , турткичнинг  $\frac{d^2 \beta}{d \varphi^2} = \frac{d^2 \beta}{d \varphi^2}$  ( $\varphi$ ) кўринишдаги ҳаракат қонуни —  $B$

(78- шаклга қаранг.) Кулачокнинг бурчак тезлиги:  $\omega_K = 200 \frac{\text{рад}}{\text{с}}$ .

**Ечиш.** 1.  $\frac{d^2 \beta}{d \varphi^2} = \frac{d^2 \beta}{d \varphi^2}$  ( $\varphi$ ) диаграммасини чизища (88- шакл в) кулачок иш бурчагининг чизмадаги ифодасини  $\varphi_{ish} = 140^\circ$  мм қабул қиласиз. Қурилган бурчак тезланиш аналоги диаграммасини икки марта кетма-кет график усулида интеграллаб, бурчак тезлик ва бурчак йўли диаграммасини ҳосил қиласиз (88- шакл, б, а; 4- § га қаранг.)

Диаграммалар учун масштабларни аниқлаймиз:

1) градусда ифодаланган турткичнинг бурчак йўли масштаби

$$\mu_\beta^\circ = \frac{\beta_{\max}^\circ}{(\beta_{\max})} = \frac{30^\circ}{45 \text{ мм}} \approx 0,67 \frac{\text{град}}{\text{мм}},$$

2) радианда ифодаланган турткичнинг бурчак йўли масштаби

$$\mu_\beta = \mu_\beta^\circ \cdot \frac{\pi}{180^\circ} = 0,0116 \frac{\text{рад}}{\text{мм}},$$

3) турткич учининг (ролик марказининг) ҳақиқий йўл масштаби

$$\mu_s = \mu_\beta \cdot l_T = 0,0116 \frac{1}{\text{мм}} \cdot 90 \text{ мм} = 1,044 \frac{\text{мм}}{\text{мм}},$$

бирининг айланиш марказидан ўтвучи З та айланга үтказамиз (91-шакл) ва уларнинг ўзаро кесишиш нуқтасини  $a$ ,  $b$ ,  $d$ ,  $c$  ҳарфлар билан белгилаймиз. Сўнгра  $a$  ва  $c$  дан ҳамда  $b$  ва  $d$  нуқталардан ўтвучи нурлар үтказамиз. Бу нурларнинг ўзаро кесишиш нуқтаси  $S$  — эгри чизиқ к нуқтасининг эгрилик маркази бўлади.

к нуқтадан  $s$  нуқтагача бўлган ма-софа назарий профиль к нуқтасининг эгрилик радиуси бўлади:  $r = (s \ k)$ .

Назарий профилининг иш бурчагига мос келувчи қисмида ҳар 2...3 мм масофада олинган нуқталарни айланиш маркази қилиб, ролик радиуси  $r_{\text{пол}}$  билан ёй бўлакларини үтказа-

4) кулачокнинг иш бурчаги масштаби:

а) градусдаги ифодаси

$$\mu_{\varphi}^{\circ} = \frac{\Phi_{\text{иш}}}{(\Phi_{\text{иш}})} = \frac{220}{140 \text{ мм}} = 1,57 \frac{\text{град}}{\text{мм}},$$

б) радиандаги ифодаси

$$\mu_{\varphi} = \mu_{\varphi}^{\circ} \cdot \frac{\pi}{180^{\circ}} = 0,027 \frac{\text{рад}}{\text{мм}},$$

бу ерда,  $\Phi_{\text{иш}} = \Phi_y + \Phi_{y,t} + \Phi_{\text{я}} = 110^{\circ} + 30^{\circ} + 80^{\circ} = 220^{\circ}$  бўлади.  
 $\Phi_{\text{иш}} = (0 - 13)$  — абсцисса ўқидан ўлчаб олинади;

5) турткичнинг бурчак тезлик аналоги масштаби

$$\mu_{\frac{d\beta}{d\varphi}} = \frac{\mu_{\beta}}{H_1 \cdot \mu_{\varphi}} = \frac{0,0116}{37 \cdot 0,027} = 0,0116 \frac{1}{\text{мм}},$$

6) ролик марказининг чизиқли тезлик аналоги масштаби

$$\mu_{\frac{ds}{d\varphi}} = \mu_{\frac{d\beta}{d\varphi}} \cdot l_T = 1,044 \frac{\text{мм}}{\text{мм}},$$

7) турткичнинг бурчак тезлик масштаби

$$\mu_{\omega_T} = \mu_{\frac{d\beta}{d\varphi}} \cdot \omega_k = 0,0116 \cdot 200 = 2,32 \frac{\text{рад/с}}{\text{мм}},$$

8) турткич учининг (ролик марказининг) чизиқли тезлик масштаби

$$\mu_v = \frac{\mu_{\omega_T} \cdot l_T}{1000} = \frac{2,32 \cdot 90}{1000} = 0,209 \frac{\text{м/с}}{\text{мм}},$$

9) турткичнинг бурчак тезланиш аналоги масштаби

$$\mu_{\frac{d^2\beta}{d\varphi^2}} = \frac{\mu_{\frac{d\beta}{d\varphi}}}{H_2 \cdot \mu_{\varphi}} = \frac{0,0116}{20 \cdot 0,027} = 0,022 \frac{1}{\text{мм}},$$

10) ролик марказининг чизиқли тезланиш аналоги масштаби

$$\mu_{\frac{d^2s}{d\varphi^2}} = \mu_{\frac{d^2\beta}{d\varphi^2}} \cdot l_T = 0,022 \cdot 90 = 1,98 \frac{\text{мм}}{\text{мм}},$$

11) турткичнинг бурчак тезланиш масштаби

$$\mu_{e_T} = \mu_{\frac{d^2\beta}{d\varphi^2}} \cdot \omega_k^2 = 0,022 \cdot (200)^2 = 880 \frac{\text{рад/с}^2}{\text{мм}},$$

12) ролик марказининг тангенциал тезланиш масштаби

$$\mu_a = \frac{\mu_{e_T} \cdot l_T}{1000} = \frac{880 \cdot 90}{1000} = 79,2 \frac{\text{м/с}^2}{\text{мм}}.$$

Биз йўл ва тезлик аналоглари масштаб коэффициентларининг

Үзаро тенг бұлиш шартидан тезлик аналоги қутб масофасини қуидаги үсулда аниқлаймиз (5-§ га қаранг).

$$H_1 = \frac{1}{\mu \varphi} = \frac{1}{0,027} \approx 37 \text{ мм.}$$

2. Кулачокнинг минимал радиусини аниқлаш учун ролик марказининг йұлы  $S$  ва унинг тезлик аналоги  $\frac{ds}{d\varphi}$  нинг үзаро боғлиқлик диаграммаси қурилади (88-шакл, 2). Бунинг учун эса аввало ролик марказининг аниқ вазиятлари  $\beta = \beta(\varphi)$  диаграммасига мувофиқ равишда аниқланыши лозим.

Буни қуидаги тартибда бажарамиз:

1) турткичнинг эң пастки вазияти  $O_3B$  ни  $\mu_l = \mu_e = 1,044 \frac{\text{мм}}{\text{мм}}$  масштабда қурамиз.

2) ролик маркази  $B$  нүктанинг траектория чизиғини  $O_3B$  радиусли өй тарзда чизамиз.

3) турткичнинг пастки вазияти  $O_3B$  га нисбатан унинг турли вазиятларидаги оғиш бурчаклари  $\beta_i^\circ$  ларни ҳисоблаймиз. Улар бурчак йұлы диаграммаси  $\beta = \beta(\varphi)$  даги (88-шакл, a) турли вазиятлар ордината қийматтарининг бурчак масштаби  $\mu_\beta^\circ = 0,67 \frac{\text{град}}{\text{мм}}$  га күпайтмасидан аниқланади. Ҳисоблаш натижалари:

$$\beta_1^\circ = \mu_\beta^\circ \cdot (1 - 1) = 0,67 \cdot 4,1 = 2^\circ 43' 50'';$$

$$\beta_2^\circ = \mu_\beta^\circ \cdot (2 - 2) = 0,6712 = 8, 11^\circ = 8^\circ 6';$$

$$\beta_3^\circ = \mu_\beta^\circ \cdot (3 - 3) = 0,67 \cdot 23 = 15, 3^\circ \approx 15^\circ 19' 48'';$$

$$\beta_4^\circ = \mu_\beta^\circ \cdot (4 - 4) = 0,67 \cdot 33 = 22^\circ;$$

$$\beta_5^\circ = \mu_\beta^\circ \cdot (5 - 5) = 0,67 \cdot 41 = 27, 33^\circ = 27^\circ 20';$$

$$\beta_6^\circ = \mu_\beta^\circ \cdot (6 - 6) = 0,67 \cdot 45 = 30^\circ;$$

$$\beta_7^\circ = \beta_6^\circ = 30^\circ;$$

$$\beta_8^\circ = \mu_\beta^\circ \cdot (8 - 8) = 0,67 \cdot 41 = 27^\circ 20';$$

$$\beta_9^\circ = \mu_\beta^\circ \cdot (9 - 9) = 0,67 \cdot 33 = 22^\circ;$$

$$\beta_{10}^\circ = \mu_\beta^\circ \cdot (10 - 10) = 0,67 \cdot 21 = 14^\circ;$$

$$\beta_{11}^\circ = \mu_\beta^\circ \cdot (11 - 11) = 0,67 \cdot 11 = 7, 3^\circ \approx 7^\circ 20';$$

$$\beta_{12}^\circ = \mu_\beta^\circ \cdot (12 - 12) = 0,67 \cdot 5 = 3, 33^\circ \approx 3^\circ 20';$$

$$\beta_{13}^\circ = \mu_\beta^\circ \cdot 0 = 0.$$

4) турткичнинг асосий пастки вазиятидаги  $O_3$  нүктадан бошлаб 100 мм масофадаги  $T_o$  нүктаны белгилаймиз (88-шакл, 2).  $T_o$  нүктадан  $O_3 - T_o$  чизиққа перпендикуляр бұлган  $T_o - K$  чизиқни үтказа-

миз ва унда  $T_1, T_2, T_3, \dots, T_{13}$  нүкталарни қўйидаги ифодага кўра белгилаймиз:

$$(T_o - T_i) = (O_3 - T_o) \operatorname{tg} \beta_i.$$

Ҳисоблаш натижалари:

$$\begin{aligned}(T_o - T_1) &= 100 \cdot \operatorname{tg} 2^\circ 44' = 4,78 \text{ мм}; \\(T_o - T_2) &= 100 \cdot \operatorname{tg} 8^\circ 6' = 14,23 \text{ мм}; \\(T_o - T_3) &= 100 \cdot \operatorname{tg} 15^\circ 20' = 27,42 \text{ мм}; \\(T_o - T_4) &= 100 \cdot \operatorname{tg} 22^\circ = 40,4 \text{ мм}; \\(T_o - T_5) &= 100 \cdot \operatorname{tg} 27^\circ 20' = 51,91 \text{ мм}; \\(T_o - T_6) &= 100 \cdot \operatorname{tg} 30^\circ = 57,74 \text{ мм}; \\(T_o - T_7) &= (T - T_6) = 57,74 \text{ мм}; \\T_o - T_8 &= 100 \cdot \operatorname{tg} 27^\circ 20' = 51,91 \text{ мм}; \\T_o - T_9 &= 100 \cdot \operatorname{tg} 22^\circ = 40,4 \text{ мм}; \\T_o - T_{10} &= 100 \cdot \operatorname{tg} 14^\circ = 24,93 \text{ мм}; \\T_o - T_{11} &= 100 \cdot \operatorname{tg} 7^\circ 20' = 17,87 \text{ мм}; \\T_o - T_{12} &= 100 \cdot \operatorname{tg} 3^\circ 20' = 5,83 \text{ мм}; \\T_o - T_{13} &= 100 \cdot \operatorname{tg} 0^\circ = 0 \text{ мм}.\end{aligned}$$

Аниқланган  $T_1, T_2, T_3 \dots$  нүкталарни  $O_3$  нүкта билан тўғри чизиқлар орқали туаштириш натижасида турткичнинг турли вазиятлари ҳосил қилинади. Уларнинг  $O_3B$  радиусли ёй билан кесишиш нүкталари  $1, 2, 3 \dots$  ролик марказининг турли вазиятлари бўлади.

5) Ролик маркази траекториясида аниқланган  $1, 2, 3 \dots$  нүкталарга айни нүкталар тезлик аналогларининг чизма ўлчамларини  $\frac{ds}{d\varphi} = -\frac{ds}{d\varphi}(\varphi)$  диаграммасидан ўлчаб қўйиб, турткич ўқ чизиқлари бўйлаб жойлаймиз. Келтирилган тезлик аналоглари векторларининг йўналиши ҳақиқий тезлик векторлари йўналишини кулачок бурчак тезлиги йўналиши бўйича  $90^\circ$  га буриш натижасида аниқланади. Келтириб қўрилган тезлик аналоглари векторларининг охирларини узлуксиз роён лекало эгри чизиги билан туаштириб, тезлик аналогининг йўлга боғлиқ диаграммаси  $S = S\left(\frac{ds}{d\varphi}\right)$  ни ҳосил қиласиз.

Ҳаракатни узатиш бурчаги  $\gamma_{\min}$  ни аниқлаймиз:

$$\gamma_{\min} = 90^\circ - \alpha = 90^\circ - 45^\circ = 45^\circ.$$

Ҳосил бўлган диаграмма  $S = S\left(\frac{ds}{d\varphi}\right)$  ёпиқ эгри чизигининг ҳар иккни томонидан уринмалар ўтказамиш. Улар уриниш нүкталаридан ўтувчи турткичнинг вазият чизиқлари билан  $\gamma_{\min} = 45^\circ$  бурчак ҳосил қиласиди. Уринма чизиқларнинг ўзаро кесишишидан ҳосил бўлган штрихланган соҳа  $MDN$  ичida олинган  $O_1$  нүкта кулачок айланиш ўқининг геометрик ўрни бўлади, яъни  $R_{\min} = O_1B$ .

Кулачокни соат стрелкасига тескари йўналишда  $\omega_k$  бурчак тезлик билан айланма ҳаракат қилади деб қараб, системага (чизма текислигига) қиймати —  $\omega_k$  бўлган ва  $O$  нуқта атрофида айланувчи бурчак тезлик берамиз. Бунда кулачок ҳаракатдан тұхтайди ва турткич  $O_3$  нуқта атрофида төбранма ҳаракат қилишдан ташқари  $O_3$  нуқтанинг ўзи ҳам кулачок ўқи атрофида —  $\omega_k$  бурчак тезлик билан  $l_{AO}$  радиуси доира чизиқ бўйлаб ҳаракатга тушиди. (85- шакл).

Турткич ўқи  $O$  ни кулачок айланыш маркази  $A$  билан туташтирувчи нур ўтказамиз ва бу нурдан —  $\omega_k$  йўналишида кулачокнинг фафа бурчакларига тирагиб турувчи ёй бўлакларини ажратиб, уларнинг  $\Phi_y$  ва  $\Phi_a$  бурчакларга тирагиб турувчи қисмларининг ҳар бирини тенг **6** бўлакка бўламиз. Натижада турткич ўқи  $O$  нуқтанинг нисбий ҳаракатдаги вазиятлари  $1, 2, 3 \dots$  ни ҳосил қиласиз.

Кулачок профилини келтириб чиқариш учун кулачок маркази  $A$ , нуқтадан ролик марказининг турли вазиятларигача бўлган масофаларни радиус қилиб олган ҳолда ёйлар ўтказамиз. Айни вақтда турткич ўзунлиги бўлган ( $OB$ ) кесмани радиус қилиб,  $A$  нуқтанинг нисбий ҳаракатдаги турли вазиятларини марказ қилиб олган ҳолда ёйлар ўтказамиз. Ўтказилган ёйларнинг мос равишда кесишувидан ҳосил бўлган нуқта  $B_1, B_2, B_3 \dots$  ролик марказининг нисбий ҳаракатдаги вазиятларини билдиради. Уларни равон эгри чизиқ орқали туташтириш натижасида кулачокнинг назарий профилини ҳосил қиласиз.

Ролик радиусини аниқлаш ва кулачокнинг иш профилини чизиш **6- §** да кўрсатилганидек амалга оширилади.

**3- мисол.** Қўйида келтирилган параметрлар қийматларига кўра мой насосининг кулачокли механизми кулачогининг минимал радиуси  $R_{\min}$  аниқлансан. Кулачокли механизм марказий бўлиб, турткич асоси тикис тарелкасимон кўринишга эга.

Берилганлар: турткич йўли  $h = 12$  мм, кулачокнинг иш бурчаги  $\Phi_{ish} = 330^\circ$ , ҳаракатни узатиш бурчаги  $\gamma_{\min} = 90^\circ$ ,  $\frac{d^2 s}{d \varphi^2} = \frac{d^2 s}{d \Phi^2} (\varphi)$  кўринишдаги турткичнинг ҳаракат қонуни —  $A$  (78- шаклга қаранг).

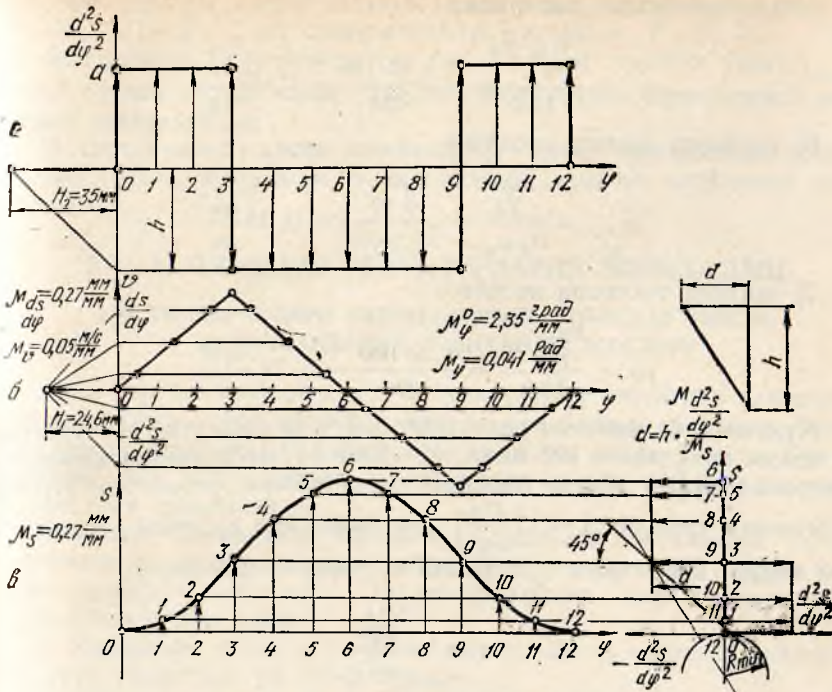
Кулачокнинг бурчак тезлиги  $\omega_k = 188 \frac{\text{рад}}{\text{с}}$ .

**Ечиш.** 76- шаклда тасвиirlанган кулачокли механизм схемаси лойи-ҳалаш учун қабул қилинади. Кулачокнинг фаза бурчаклари унинг ишлаш шароити ҳисобга олинган ҳолда белгиланади. Баъзи мулоҳазаларга асосан кулачокнинг узоқлашув ва яқинлашув бурчакларини ўзаро тенг қилиб олган ҳолда, фаза бурчакларни қўйидагича қабул қиласиз:

$$\Phi_y = 165^\circ, \Phi_a = 165^\circ, \Phi_{y, \tau} = 0^\circ,$$

$$\text{яъни } \Phi_{ish} = \Phi_y + \Phi_{y, \tau} + \Phi_a = 165^\circ + 0^\circ + 165^\circ = 330^\circ.$$

Чизма кўламини ҳисобга олган ҳолда кулачок иш бурчагининг чизма ифодасини  $\Phi_{ish} = 140$  мм қабул қилиб, тезланиш аналоги диаграммаси  $\frac{d^2 s}{d \varphi^2} = \frac{d^2 s}{d \Phi^2} (\varphi)$  ни қурамиз (92- шакл, *a*). Сўнгра уни график интеграллаб, тезлик аналоги диаграммаси  $\frac{ds}{d \varphi} = \frac{ds}{d \Phi} (\varphi)$  ни ҳосил қиласиз



92- шакл.

(92- шакл, б). Ҳосил бўлган диаграммани яна бир марта интеграллаб, йўл диаграммаси  $S = S(\varphi)$  ни қурамиз (92- шакл, в).

Диаграммалар учун масштаб коэффициентларини аниқлаймиз:

1) градусда ифодаланган бурчак масштаби

$$\mu_{\varphi}^{\circ} = \frac{\Phi_{\text{иш}}}{(1 - 12)} = \frac{330^{\circ}}{140 \text{ мм}} = 2,35 \frac{\text{град}}{\text{мм}},$$

2) радианда ифодаланган бурчак масштаби

$$\mu_{\varphi} = \mu_{\varphi}^{\circ} \cdot \frac{\pi}{180^{\circ}} = 0,041 \frac{\text{рад}}{\text{мм}},$$

3) йўл масштаби

$$\mu_s = \frac{h}{(6 - 6)} = \frac{12 \text{ мм}}{45 \text{ мм}} = 0,27 \frac{\text{мм}}{\text{мм}},$$

бу ерда  $(6 - 6) = 45 \text{ мм}$  йўл диаграммасидаги максимал ордината қиймати,

4) тезлик аналоги масштаби

$$\mu_{\frac{ds}{d\varphi}} = \frac{\mu_s}{H_1 \cdot \mu_{\varphi}} = \frac{0,27}{24,6 \cdot 0,041} = 0,27 \frac{\text{мм}}{\text{мм}},$$

5) ҳақиқий тезлик масштаби

$$\mu_v = \frac{\mu_{ds} \cdot \omega_k}{\frac{d\varphi}{1000}} = \frac{0,27 \cdot 188}{1000} = 0,05 \frac{\text{м/c}}{\text{мм}}$$

6) тезланиш аналоги масштаби

$$\mu_{\frac{d^2 s}{d\varphi^2}} = \frac{\mu_{ds}}{H_2 \cdot \mu_\varphi} = \frac{0,27}{35 \cdot 0,041} = 0,19 \frac{\text{мм}}{\text{мм}}$$

7) ҳақиқий тезланиш масштаби

$$\mu_d = \frac{\mu_{\frac{d^2 s}{d\varphi^2}} \cdot \omega^2}{1000} = \frac{0,19 \cdot 188^2}{1000} = 6,71 \frac{\text{м/c}^2}{\text{мм}}$$

Кулачокнинг минимал радиусини 8.3-§ да баён этилган кўрсатмада асосан аниқлаймиз (92-шакл, 2). Бизнинг мисолимизда кинематик диаграммалардаги йўл ва тезланиш масштаблари қийматлари турлича бўлганлиги сабабли  $S = S\left(\frac{d^2 s}{d\varphi^2}\right)$  диаграммасини қуришда уларни бир хил қиймат масштабига қўйидагича келтирамиз (92-шакл):

$$d = h \cdot \frac{\mu_{\frac{d^2 s}{d\varphi^2}}}{\mu_s},$$

бу ёрда  $h$  — тезланиш диаграммасидан олинадиган ордината ўлчами,  $d$  — унинг  $S = S\left(\frac{d^2 s}{d\varphi^2}\right)$  диаграммасига келтириладиган ўлчами.

Кулачок профилини қўйидаги тартибда чизамиз (84-шакл):

- 1) бирор О нуқтани кулачокнинг айланиш маркази сифатида танлаб  $R_{min}$  радиус билан айланга ўтказамиз:
- 2) А нуқтадан вертикал йўналишда  $AO$  чизигини ўтказамиз ва унинг  $R_{min}$  радиусли айланада билан кесишган нуқтасидан бошлаб юқори томонга турткич вазиятлари 1, 2, 3 ... ларни  $S = S(\varphi)$  диаграммасига муваффик равишда белгилаймиз;

3) системага —  $\omega_k$  бурчак тезлик берамиз. Бунда кулачок ҳаракатдан тўхтайди ва турткич ўз ўқи бўйича илгарилама-қайтма ҳаракат қилишдан ташқари яна кулачок ўқи атрофида ҳам —  $\omega_k$  бурчак тезлиги бўйича айланма ҳаракатда бўлади.

Турткичнинг асосий вазияти  $AO$  чизигидан бошлаб —  $\omega_k$  йўналишида кулачокнинг фаза бурчаклари  $\Phi_y$ ,  $\Phi_{y,T}$ ,  $\Phi_x$  ларни белгилаймиз ва  $\Phi_y$ ,  $\Phi_x$  бурчакларининг ҳар бирини тенг бўлакка бўлувчи нурлар ўтказамиз. Сўнгра турткичнинг О ўқи атрофида айланма ҳаракати жараёнидаги вазиятларини рим рақамлари I, II, III ... билан белгилаймиз;

4) кулачокнинг айланиш маркази бўлган О нуқтадан турткичнинг турли вазиятлари 1, 2, 3 ... ларгача бўлган масофаларни ифодаловчи ( $R_{min} + S_i$ ) радиус билан ёйлар ўтказиб, ўтказилган ёйларнинг

турткич ўқиининг нисбий айланма ҳаракатидаги турли вазиятлари  $I-I'$ ,  $II-2'$ ,  $III-3' \dots$  лар билан кесишиш нуқталари  $1'$ ,  $2'$ ,  $3'$ , ... ларни белгилаймиз. Белгиланган ҳар бир нуқтадан турткич ўқига  $\gamma_{\min} = 90^\circ$  бурчак остида чизик ўтказиб, турткичнинг тарелкасимон асосларини тасвирлаймиз;

5) турткичнинг ҳамма вазиятларида унинг тарелкасимон асосига уриниб ўтувчи равон эгри чизик ўтказиб, кулачок профилини ҳосил қиласмиш.

## 8-боб. ПЛАНЕТАР РЕДУКТОРЛАРНИ ЛОЙИХАЛАШ

### 1-§. ФИЛДИРАКЛАРИ ЦИЛИНДРСИМОН ПЛАНЕТАР ТИШЛИ МЕХАНИЗМЛАРНИ ЛОЙИХАЛАШ АОССЛАРИ

Айни бир хил қиёматга эга бўлган узатиш нисбатини қаноатлантириш шартига кўра планетар механизмлар ўқлари қўзғалмас тишли гилдиракли механизmlарга қараганда анчагина ихчам бўлади. Бундан ташқари улар катта узатиш нисбатини ва юқори фойдали иш коэффициентини таъминлайди.

Планетар механизмни лойиҳалаш олдиндан белгиланган узатиш нисбатини қаноатлантирадиган гилдиракларнинг тишлари сонини белгилаб олишдан бошланади. Танланган тишлар сони қўйидаги учта шартни бажариши керак:

1. Ўқларнинг устма-уст тушиш шарти; бунда марказий гилдираклар учун геометрик ўқ ягона бўлади.

2. Қўшничилик шарти; бунда ўқлари фазода ҳаракатланадиган гилдираклар — сателлитларниш бир-бирига тегмасдан эркин ҳаракатланади.

3. Йиғиш шарти; бу шарт сателлит ўқларининг марказий ўқса нисбатан бир хил бурчакда жойлашувини ҳамда сателлитларнинг меҳанизмга эркин ўрнатилишини таъминлайди.

$a_1 = a_{11}$  — ўқларнинг мөс келиши шартининг математик ифодасидир.  $a_1$  ва  $a_{11}$  — механизм таркибидаги биринчи ва иккинчи узатмалар учун ўқлараро масофа.

Қўшничилик шартининг бажарилиши учун қўшни сателлитлар ўқлари орасидаги масофа иккала сателлит ташқи айланалари радиусларининг йиғиндисидан катта бўлиши керак (93-шакл).

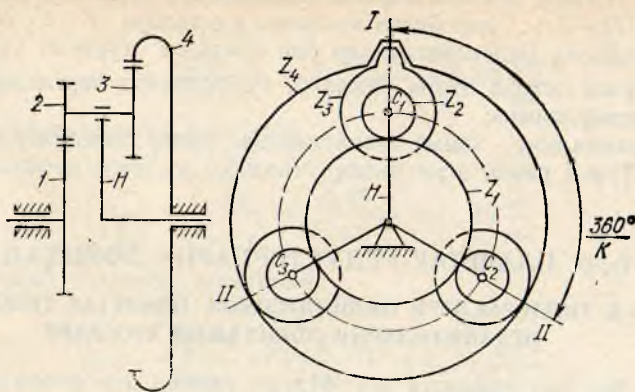
$$(C_1 C_2) > d_{a_2} (d_{a_3}),$$

бу ерда  $C_1 C_2 - C_1$  ва  $C_2$  ўқлар орасидаги масофа;  $d_{a_2}$  ( $d_{a_3}$ ) — иккиланган сателлитдаги катта гилдирак ташқи айланасининг диаметри ёки:

$$\sin \frac{180^\circ}{\kappa} > \frac{z_2 (z_3) + 2 h_a^*}{z_1 \pm z_2}$$

бўлади.

Агар  $z_2 > z_3$  бўлса, тенгсизликнинг ўнг томони суратида  $z_2$  ни, иксинча  $z_3 > z_2$  бўлса,  $z_3$  ни эътиборга олиш лозим. Агар илашма ташқи бўлса (93-шакл), махражда тишлар сони йиғиндиси, ички бўлса (53-шакл), уларнинг айрмаси ҳисобланади.



93- шакл.

Йиғиш шарти қуйидагида ифодаланади:

$$\frac{z_1 \cdot U_{1H}}{\kappa} (1 + p \cdot \kappa) = B,$$

$\kappa$  — сателлитлар сони;  $p$  — водилонинг тўлиқ айланышлар сони;  $B$  — ихтиёрий бутун сон.

Бу шартнинг бажарилиши шуни кўрсатадики, агар бирорта сателлит ўрнатиб олингандан сўнг (93- шакл) ўша вазиятда кейинги сателлитни ўрнатиш учун водилони қуйидаги бурчакка буриш керак бўлади:

$$\Phi_H = \frac{360^\circ}{\kappa} (1 + p\kappa).$$

Машина ва механизмлар назариясидан курс лойиҳасида стандарт қиругчи асбоб ёрдамида ясалувчи ҳамда бир хил модули ноль фидираклардан йигиладиган планетар редукторлар лойиҳаланади.

Шу сабабли планетар редукторларни ҳисоблаш учун илашиш бурчаги  $-\alpha = 20^\circ$ , тишининг баландлик коэффициенти  $-h_a^* = 1$ , зазор коэффициенти  $-C^* = 0,25$  деб қабул қилинади.

Бунда қуйидаги шартга амал қилиш лозим:

ташқи илашиш ҳосил қилувчи фидираклар учун  $z_{min} = 17$ ,

$z_i \geqslant 17$  бўлиб,  $\frac{z_i}{\kappa}$  — бутун сон бўлсин;

ички илашма ҳосил қилувчи ташқи тишли фидираклар учун  $z_{min} = 20$  емак,  $z_i \geqslant 20$ .

Ички илашма ҳосил қилувчи ҳамда тишилари ичкарида жойлашган фидираклар учун:

$$z_{min} = 85 \text{ демак}, z_i \geqslant 85.$$

Ўзаро ички илашма ҳосил қилувчи ташқи ва ички тишли фидираклар тишилари сони орасидаги фарқ қуйидагида бўлиши керак.

$$z_{\text{ички}} - z_{\text{ташқи}} \geqslant 8.$$

## 2- §. БИТТАДАН ТАШҚИ ӘДИЧКИ ИЛАШМАЛИ БИР ҚАТОРЛЫ ПЛАНЕТАР РЕДУКТОРНИ (ЖӘМС РЕДУКТОРИНИ) ЛОЙИХАЛАШ (50- ШАКЛ)

Бундай планетар редукторни қуийдаги параметрларга күра лойиҳалаш талааб қилинсін.

Редукторнинг узатиш нисбати —  $u_{1H}$ , сателлитлар сони —  $k$ , ғилдираклар учун модуль —  $m$ .

Дастлаб лойиҳалаш учун зарур бўлган керакли формулаларни ёзив сламиз.

Берилган узатиш нисбатини аниқлаш формуласи:

$$u_{1H} = 1 + \frac{z_3}{z_1}.$$

Ўқларнинг устма-уст тупшиш шарти:

$$z_1 + z_2 = z_3 - z_2, z_1 + 2z_2 = z_3, \frac{m z_1}{2} + 2 \frac{m z_2}{2} = \frac{m z_3}{2}$$

ёки  $Z_1 + 2Z_2 = Z_3$ ,  
йиғиш шарти:

$$\frac{z_1 \cdot u_{1H}}{k} (1 + p \cdot \kappa) = B,$$

құшничилик шарти:

$$\sin \frac{180^\circ}{\kappa} \geqslant \frac{z_2 \cdot 2 \cdot h_a^*}{z_1 + z_2}.$$

Тишлар сонини белгилаш тартиби:

1) марказий гилдирак тишлари сони  $Z_1$  белгиланади. Ў сателлитлар сони  $k$  га карәзи бўлишидан ташқари, қуийдаги шартни қаноатлантириши лозим  $z_1 \geqslant 17 \frac{z_1}{k}$  — бутун сон;

2) узатиш нисбати аниқлаш формуласидан ташқи гилдирак тишлари сонини аниқлайдиз  $z_3 = (u_{1H} - 1) \cdot z_1$  ҳамда  $z_3 \geqslant 85$  деб белгилайдиз;

3) ўқларнинг устма-уст тупшиш шартидан сателлитнинг тишлари сони аниқланади

$$z_2 = \frac{z_3 - z_1}{2};$$

4) йиғиш шарти қуийдаги текширилади

$$\frac{z_1 \cdot u_{1H}}{k} (1 + p \cdot \kappa) = B,$$

құшничилик шарти текширилади

$$\sin \frac{180^\circ}{\kappa} > \frac{z_2 + 2 \cdot h_a^*}{z_1 + z_2}.$$

Агар бирорта шарт бажарилмаса,  $z_1$  қызмети янгидан белгиланиб, тоқоридаги амаллар бен қатдан такрорланади.

**Мисол.** Қуйидаги параметрларнинг күрсатилған қийматларига күра бир қатор илашмали планетар редуктор ғилдиракларининг тишелар соңи белгилансин:  $u_{1H} = 5, 25$ ,  $k = 3$ ,  $m = 1$  мм.

**Ечиш.** 1) Ички ғилдирак тишелар сонини сателлит сони  $k = 3$  га карралы равища танлаймиз:  $z_1 = 24$ .

2) Ташқи ғилдирак тишелари сонини аниқтаймиз:

$$z_3 = z_1 (u_{pl} - 1) = 24 \cdot (5,25 - 1) = 102.$$

Тишелари ичкарида жоіллашған ғилдирак учун минимал тишелар соңи  $z_{3min} \geq 85$  шарт қаноатлантирилади:  $102 > 85$ ;

3) Сателлит тишелар сонини ўқларнинг устма-уст тушиши шартига күра аниқтаймиз.  $z_3 = z_1 + 2z_2$  ёки  $z_2 = \frac{z_3 - z_1}{2} = \frac{102 - 24}{2} = 39$ .

4) Йигиш шартини текширамиз:

$$\frac{24 \cdot 5,25}{3} (1 + P \cdot 3) = B$$

$$\frac{24 \cdot 5,25}{3} = B_0 = 42 \text{ бутун сон бұлғани учун } P_0 = 0 \text{ бұлади.}$$

5) Құшничилик шартини текширамиз:

$$\sin \frac{180^\circ}{3} > \frac{39 + 2 \cdot 1}{24 + 39}; 0,866 > 0,65.$$

Демак, тишелар сонини узил-кесил қуйидагича қабул қиласыз:

$$z_1 = 24, z_2 = 39, z_3 = 102.$$

Бунда ҳамма шартлар қаноатлантирилади, чунки:

$$z_1 : z_2 : z_3 : B = z_1 \left[ 1 : \frac{u_{1H} - 2}{2} : (u_{1H} - 1) : \frac{u_{1H}}{K} (1 + p\kappa) \right]$$

### 3- §. БИТТАДАН ТАШҚИ ВА ИЧКИ ИЛАШМАЛИ ИККИ ҚАТОРЛЫ ПЛАНЕТАР РЕДУКТОРНИ ЛОЙИХАЛАШ (51- шакл)

Лойиҳалаш керакли формулаларни ёзіб олишдан бошланади. Бундай редукторнинг узатиши нисбати формула (4.4) га күра аниқланади:

$$u_{1H} = u_{pl} = 1 + \frac{z_2 \cdot z_4}{z_1 \cdot z_3}.$$

Иккала қатор илашмаси учун модуль қийматларини ўзаро тенг қилиб олған ҳолда ( $m_{1,2} = m_{3,4}$ ) ўқларнинг устма-уст тушиши шартини күрсатамиз:

$$r_1 + r_2 = r_4 - r_3,$$

ёки

$$z_1 + z_2 = z_4 - z_3,$$

йигиш шарти:

$$\frac{z_1 \cdot u_{1H}}{\kappa} (1 + p \cdot \kappa) = B.$$

$z_3 > z_2$  деб фараз қилиб, құшничилик шартини ёзамиш:

$$\sin \frac{180^\circ}{\kappa} > \frac{z_3 + 2h_a^*}{z_1 + z_3}$$

Масалани ҳал қилиш умумий күпайтирувчилардан фойдаланиш усули билан олиб борилади. Бунинг учун узатиш нисбатини аниқлаш формуласи (4.4) дан фойдаланилған ҳолда  $\frac{z_2 \cdot z_4}{z_1 \cdot z_3}$  ифода қийматини аниқлайды. Ҳосил қилинган қийматни тишилар сонининг қийматлари  $z_1, z_2, z_3, z_4$  га пропорционал болған  $A, B, C, D$  күпайтирувчилар билан алмаштирамиз. Сүнгра үқіларнинг устма-уст тушиши шартини қапоатлантириш мақсадида қавс ичидә олинған күпайтирувчиларни қабул қиласыз, яғни

$$v_{1H} - 1 = \frac{z_2 \cdot z_4}{z_1 \cdot z_3} = \frac{B \cdot D}{A \cdot C} = \frac{B(D-C)}{A(D-C)} \cdot \frac{D(A+B)}{C(A+B)}$$

Бұндан күрініб турибдикі:

$$\begin{aligned} z_1 &= A(D-C) \cdot q, \\ z_2 &= B(D-C) \cdot q, \\ z_3 &= C(A+B) \cdot q, \\ z_4 &= D(A+B) \cdot q. \end{aligned}$$

Умумий күпайтирувчи сон  $q$  шундай таңланады, хамма ғилдирактар тишилари сони бутун бўлиши ва яна қуйидаги шартлар ҳам қапоатлантирилиши керак:

$$z_1 \geq 17; z_2 \geq 17; z_3 \geq 20; z_4 \geq 85; z_4 - z_3 \geq 8.$$

Сүнгра йиғиш ва құшничилик шартлари яна бир марта текшириләди.

**Мисол.** Қуйидаги параметрларнинг күрсатилған қийматларига күра биттадан ташқи ва ички илашмали икки қаторли планетар редуктор учун ғилдиракларнинг тишилар сони белгилансин:  $u_{1H} = 13, k = 3$ .

**Ечиш.** Узатиш нисбатини аниқлаш формуласи (4.4) дан  $\frac{z_2 \cdot z_4}{z_1 \cdot z_3}$  ифода қийматини аниқлайды:

$$\frac{z_2 \cdot z_4}{z_1 \cdot z_3} = 13 - 1 = 12.$$

Күпайтирувчиларга ажратамиз:

$$\frac{z_2 \cdot z_4}{z_1 \cdot z_3} = \frac{4 \cdot 3}{1 \cdot 1} = \frac{3 \cdot 4}{1 \cdot 1} = \frac{B \cdot D}{A \cdot C} = \frac{B(D-C)}{A(D-C)} \cdot \frac{D(A+B)}{C(A+B)}$$

Мисала ечимининг 2 хил вариантини ҳосил қилдик.

I варіант:

$$\left| \begin{array}{l} z_1 = 1 \cdot (3-1) = 2 \\ z_2 = 4 \cdot (3-1) = 8 \\ z_3 = 1 \cdot (1+4) = 5 \\ z_4 = 3(1+4) = 15 \end{array} \right| \times 9 \quad \begin{array}{l} z_1 = 18 \\ z_2 = 72 \\ z_3 = 45 \\ z_4 = 135 \end{array}$$

II вариант:

$$\begin{array}{l|l} z_1 = 1(4 - 1) = 3 & z_1 = 18 \\ z_2 = 3(4 - 1) = 9 & z_2 = 54 \\ z_3 = 1(1 + 3) = 4 & z_3 = 24 \\ z_4 = 4(1 + 3) = 16 & z_4 = 96 \end{array}$$

II вариантдаги тишлар сони механизмнинг ихчамроқ бўлишини таъминлайди.

Йиғиш шартига кўра текшириш:

$$\frac{z_1 \cdot u_{1H}}{\kappa} (1 + p \cdot \kappa) = \frac{18 \cdot 13}{3} (1 + 3 \cdot P) = 78 \quad P = 0.$$

Кўшничилик шартига кўра текшириш.

$$\sin \frac{180^\circ}{\kappa} > \frac{z_2 + 2 \cdot h_a^*}{z_1 + z_2}; \quad \sin \frac{180^\circ}{3} > \frac{54 + 2 \cdot 1}{18 + 54} = \frac{56}{72} = 0,78$$

$$0,866 > 0,78.$$

Демак, механизмда 3 та сателлит эркин жойлашади ва ғилдиракларнинг тишлари сони қўйидагича узил-кесил танлаб олинади:

$$z_1 = 18, z_2 = 54; z_3 = 24; z_4 = 96.$$

#### 4-§. ИККИТА ТАШҚИ ИЛАШМАЛИ ИККИ ҚАТОРЛИ ПЛАНЕТАР РЕДУКТОРНИ (ДАВИД РЕДУКТОРИНИ) ЛОЙИҲАЛАШ (52- шакл).

Давид редукторлари назарий жиҳатдан исталган қийматга кўра, исталган ишорали узатиш нисбатини таъминлайди. Бундай механизмларда етакловчи звено водило бўлиши керак. Бироқ узатиш нисбати оша борган сари унинг ФИКи камая боради. Айтайлик узатиш нисбати 10000 бўлган бундай механизмнинг ФИКи 0,01 процент атрофида бўлади. Шу сабабли катта узатиш нисбатини таъминлайдиган бундай механизмлар катта куч узатилмайдиган ҳоллардагина қўлланилади.

Бундай механизмлар одатда қўйидаги параметрларга кўра лойиҳаланди.

1) Водилодан ғилдирак 1 га узатиш нисбати:  $u_{1H}$ ; 2) сателлитлар сони  $\kappa$ ; 3) модуль —  $m$ . Ғилдираклар тишлари сонини танлаб олишдан олдин зарур бўлган формулалар ёзилади:

Ғилдирак 1 дан водилога узатиш нисбати формула (4.6) га кўра аниқланади:

$$u_{1H} = a_{pl} = \frac{1}{u_{1H}} = 1 - \frac{z_2 \cdot z_4}{z_1 \cdot z_3}.$$

Ўқларнинг устма-уст тушиши шарти  $m_{1,2} = m_{3,4}$  қабул қилинса,

$$z_1 + z_2 = z_3 + z_4 \text{ бўлади.}$$

Йиғиш шарти:

$$\frac{z_1}{\kappa \cdot u_{1H}} (1 + p \cdot \kappa) = B.$$

## Құшничилик шарти

$$\sin \frac{180^\circ}{\kappa} > \frac{z_2(z_3) + 2 \cdot h_a^*}{z_1 + z_2},$$

Масаланы ечиш умумий күпайтирувчилардан фойдаланиш усули би-лан ҳал қилинади. Тенглама (4.6) га күра аниқлаймиз:

$$\frac{z_2 \cdot z_4}{z_1 \cdot z_3} = 1 - \frac{1}{u_{H1}},$$

тишлар сонлари үрніга уларға пропорционал бўлган умумий күпайтирувчилардан фойдаланамиз:

$$\frac{z_2 \cdot z_4}{z_1 \cdot z_3} = \frac{B \cdot D}{A \cdot C}.$$

Үйларнинг устма-уст тушиш шартига кўра тишлилар сонини қўйидагича аниқлаймиз:

$$\begin{aligned} z_1 &= A(D+C)q, \\ z_2 &= B(D+C)q, \\ z_3 &= C(A+B)q, \\ z_4 &= D(A+B)q. \end{aligned}$$

$q$  — тишлилар сонининг бутун ва минимал қийматдан катта бўлиши ( $z_i \geq 17$ ) ни таъминлайдиган ва биз томондан ихтиёрий равишда ташнидиган сон. Сўнгра қўшничилик шарти текширилади.

**Мисол.** Қўйидаги параметрларнинг кўрсатилган қийматларига кўра иккига ташқи илашмали икки қаторли планетар редуктор учун гидроакларнинг тишлилари сони белгилансин:  $u_{H1} = 35$ .  $\kappa = 3$ .

**Ечиш.**  $u_{1H}$  ни аниқлаймиз:

$$u_{1H} = \frac{1}{U_{H1}} = \frac{1}{35}.$$

$\frac{z_2 \cdot z_4}{z_1 \cdot z_3}$  ифода қийматини формула (6.6) га кўра ҳисоблаймиз:

$$\frac{Z_2 \cdot Z_4}{Z_1 \cdot Z_3} = 1 - u_{1H} = 1 - \frac{1}{35} = \frac{34}{35}.$$

Уларни турли варианtlарда кўпайтирувчиларга ажратиб кўрамиз.

$$\frac{z_2 \cdot z_4}{z_1 \cdot z_3} = \frac{34}{35} = \frac{2 \cdot 17}{5 \cdot 7} = \frac{2 \cdot 17}{7 \cdot 5} = \frac{B \cdot D}{A \cdot C} = \frac{B(D+C)}{A(D+C)} \cdot \frac{D(A+B)}{C(A+B)}.$$

Формулага кўра тишлилар сонининг икки хил комбинациядаги қийматларни ҳосил қиласиз:

I вариант

$$\left| \begin{array}{l} z_1 = 5(17+7) \\ z_2 = 2(17+7) \\ z_3 = 7(5+2) \\ z_4 = 17(5+2) \end{array} \right| \times 1 \quad \begin{array}{l} z_1 = 120 \\ z_2 = 48 \\ z_3 = 49 \\ z_4 = 119. \end{array}$$

## II варианта

$$\left| \begin{array}{l} z_1 = 7(17+5) \\ z_2 = 2(17+5) \\ z_3 = 5(2+7) \\ z_4 = 17(2+7) \end{array} \right| \times 1 \quad \left| \begin{array}{l} z_1 = 154 \\ z_2 = 44 \\ z_3 = 45 \\ z_4 = 153 \end{array} \right.$$

I вариант механизмнинг ихчам бўлишини таъминлаганлиги сабабли ана шу вариантни қабул қиласиз. Узатиш нисбати  $u_{IH} = \frac{1}{35}$  каср қиймат бўлганлиги учун йигиш шарти қўйидаги тенгламадан аниқланади:

$$B = \frac{z_1 \cdot u_{IH}}{\kappa} + (1 + p \cdot \kappa) = \frac{120 \cdot 1}{3 \cdot 35} (2 + P \cdot 3).$$

$P_1=2$  бўлганда  $B$  бутун сон бўлиб, йигиш шарти бажарилади.  
Қўшничилик шарти:

$$\sin \frac{180}{3} > \frac{z_3 + h_a^*}{z_1 + z_2} = \frac{49 + 2}{120 + 48} = 0,3036$$

$$\sin \frac{180}{3} = 0,8660 > 0,3036$$

Демак, учта сателлит механизмда эркин ўрнатилади.

### 5-§. ИККИТА ИЧКИ ИЛАШМАЛИ ИККИ ҚАТОРЛИ ПЛАНЕТАР РЕДУКТОРНИ (ДАВИД РЕДУКТОРИНИ) ЛОЙИХАЛАШ

Лойиҳалаш учун қўйидаги параметрлар қийматлари берилган бўлсин:

$$u_{HI}; \kappa; m.$$

Бундай планетар редукторнинг узатиш нисбати иккита илашмали редуктор узатиш нисбатини аниқлашдагидек бўлади:

$$u_{IH} = \frac{1}{u_{HI}} = 1 - \frac{z_2 \cdot z_4}{z_1 \cdot z_3}.$$

Ўқларнинг устма-уст тушиш шартини  $m_{1,2} = m_{3,4}$  деб қабул қилиб ёзамиш.

Йигиш шарти:

$$\frac{z_1}{\kappa u_{HI}} (1 + p \cdot \kappa) = B.$$

Қўшничилик шарти:

$$\sin \frac{180^\circ}{\kappa} > \frac{z_2 (z_3 + 2 \cdot h_a^*)}{z_1 - z_2}$$

Масаланинг ечилиши қўпайтувчилардан фойдаланиш усули билан амалга оширилади:

$$\frac{z_2 \cdot z_4}{z_1 \cdot z_3} = \frac{B \cdot D}{A \cdot C} = 1 - \frac{1}{u_{HI}}$$

Фақат узатиши нисбатинигина эмас, балки ұқыларнинг устма-уст тушиш шартини ҳам қаноатлантириш учун тишлар сонини қуидаги формулалардан аниқлаймиз:

$$\begin{aligned} z_1 &= A(D - C) \cdot q; \\ z_2 &= B(D - C) \cdot q; \\ z_3 &= C(A - B) \cdot q; \\ z_4 &= D(A - B) \cdot q. \end{aligned}$$

Умумий күпайтирувчи  $q$  шундай танланади, ғилдираклар тишлари сони бутун сон бўлишидан ташқари қуидаги шартлар қаноатлансан:

$$z_1 \geq 85; z_2 \geq 20; z_3 \geq 85; z_4 \geq 20; z_1 - z_2 \geq 8; z_4 - z_3 \geq 8$$

Ҳисоблаш ишининг давоми сателлитлар тенг бурчаклар остида йигилиши шартини ва қўшничилик шартини текшириш билан якунлашади.

#### 6- §. УМУМИЙ МУЛОҲАЗАЛАР

1) Агар олдиндан белгиланган узатиши нисбатини таъминлайдиган тишлар сонини белгилаш катта қийинчиллик туғдирса, у ҳолда тишлар сонини шундай танлаш мумкинки, ҳосил бўлган планетар редукторнинг узатиши нисбатининг олдиндан белгиланганидан фарқи 1—2 % дан ошмасин.

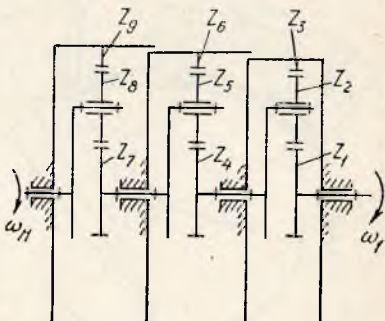
2) Белгиланган сателлитлар сони ҳамма вақт ҳам масаланинг ечи мини қаноатлантирумаслиги мумкин. У ҳолда сателлитлар сони  $K$  ни күпайтиришга ёки камайтиришга йўл қўйилади. Аммо шуни ҳам таъкидлаш лозимки, сателлитлар сони учтадан ортиқ бўлса, сателлитларда ҳар хил зўриқиш юз бермаслиги учун тишли ғилдираклар катта аниқлиқда тайёрланишлари керак.

Агар  $K = 1$  бўлса, марказий ғилдиракни зўриқишдан сақлаш учун сателлит посанги ёрдамида мувозанатланади.

3) Тишлар сони белгилаб олингандан сўнг бирор масштабда редукторнинг иккита проекцияси чизилади ҳамда тезлик ва бурчак тезлик тасвири қурилади, бу масаланинг қанчалик тўғри жай қилинганингини график усулда текширишга имкон беради.

Шуни ҳам айтиб ўтиш лозимки, модуль қиймати тишнинг мустаҳкамлиги ва едирилиши шартига кўра ГОСТ да белгиланган модуль қаторидан аниқланади. Бундай ҳисоб машина деталлари фанида ўрганилади.

4) Катта узатиши нисбатини таъминлайди лозим бўлганда кўп босқичли планетар механизм қўлланилади. Бунда бир хил ёки ҳар хил тікли механизмлар ўзаро кетма-кет боғланган бўлади. Масалан, 94- шаклда тасвирланган механизминг ҳар бир босқичининг



94- шакл.

узатиш нисбати  $u_{\text{пл}} = 8$  бўлиб, умумий узатиш нисбати  $u = 8^3 = 512$  га тенг.

### 76 — 78- масалалар

76. Қўйида келтирилган қийматларга кўра бир қатор илашмали планетар редуктор (50- шакл) фидиракларининг қийматлари кўрсатилмаган тишлари сонини аниқланг.

Редукторнинг узатиш нисбати  $u_{\text{пл}} = 9$  ташки илашма ҳосил қилувчи марказий фидиракнинг тишлари сони  $z_1 = 18$ .

77. Қўйида кўрсатилган қийматларга кўра бир қатор илашмали планетар редукторда (50- шакл) энг кўпили билан нечта сателлит ўрнатса бўлади?  $z_1 = 18$ ,  $z_3 = 54$ .

78. Узатиш нисбати  $u_{\text{пл}} = 16$  ни таъминловчи биттадан ташки ва ички илашмали икки қаторли планетар редуктор учун фидираклар тишлари сонининг минимал қийматларига кўра мумкин бўлган варианктардаги тишлар сонини кўрсатинг. Қўшничилик шартига кўра сателлитларнинг максимал сонини аниқланг.

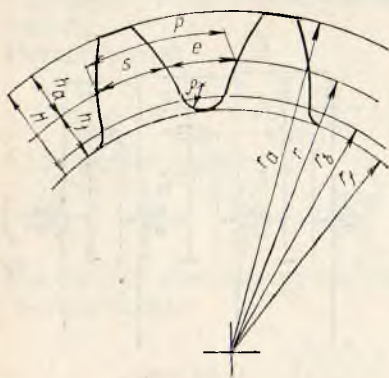
## 9-боб. БИР ЖУФТ ТИШЛИ ФИДИРАҚЛИ УЗАТМАЛАРНИ ЛОЙИХАЛАШ

### 1-§ ТИШЛИ УЗАТМАНИНГ ГЕОМЕТРИК ПАРАМЕТРЛАРИ

95- шаклда тасвирланган тўғри тишли цилиндрическимон эволъвентали тишли фидиракнинг геометрик элементлари билан танишамиз. Бу ерда  $r_a$  — тишлар чўққиси бўйлаб ўтувчи айлана радиуси;  $r_f$  — тишлар ботиги бўйлаб ўтувчи айлана радиуси;  $r$  — бўлувчи айлана радиуси.

ТИШЛИ ФИДИРАҚНИНГ ҲИСОБЛАШ  $r$  НИ АНИҚЛАШДАН БОШЛАНАДИ. ШУНИНГДЕК, ҚЎЙИДА КЕЛТИРИЛГАН БАЪЗИ ПАРАМЕТРЛАР БЎЛУВЧИ АЙЛНАГА КЎРА ҲИСБЛАНАДИ.  $r_s$  — АСОСИЙ АЙЛНА РАДИУСИ. ТИШ ПРОФИЛИНИНГ ЭВОЛЬВЕНТА ДЕБ АТАЛУВЧИ АСОСИЙ ҚИСМИ  $r_s$  РАДИУСЛИ АЙЛНАДАН БОШЛАНАДИ.  $r_\omega$  — БОШЛАНГИЧ АЙЛНА РАДИУСИ. ФИДИРАҚЛАР ЎЗАРО ИЛАШМА ҲОСИЛ ҚИЛГАНИДА УЛАРНИИГ БОШЛАНГИЧ АЙЛНАЛАРИ ЎЗАРО УРИНАДИ ВА БИР-БИРЛАРИГА НИСБАТАН СИРПАММАСДАН ДУМАЛАЙДИ.

$h_a$  — ТИШ КАЛЛАГИНИНГ БАЛАНДЛИГИ. У ТИШНИНГ БЎЛУВЧИ ВА ТАШКИ АЙЛНАЛАРИ ОРАСИДАГИ ҚИСМИ;  $h_f$  — ТИШНИНГ ОЁҚ ҚИСМИ БАЛАНДЛИГИ. У ТИШНИНГ БЎЛУВЧИ ВА БОТИҚ АЙЛНАЛАРИ ОРАСИДАГИ ҚИСМИ.  $h$  — ТИШНИНГ БАЛАНДЛИГИ;  $s$  — ТИШНИНГ БЎЛУВЧИ АЙЛНА БЎЙИЧА ЎЛЧАНАДИГАН ҚАЛИНЛИГИ;  $e$  — ИККИ ҚЎШНИ ТИШНИНГ БЎЛУВЧИ АЙЛНА БЎЙИЧА ЎЛЧАНАДИГАН ОРАЛИФИ;  $p$  — БЎЛУВЧИ АЙЛНА БЎЙИЧА ЎЛЧАНАДИГАН ТИШ ҚАДАМИ;  $\rho$  — ТИШ



95- шакл.

профили билан тиш ботиғи айланасини ўзаро туташтирувчи ёйниң радиуси ёки тиш галтели.

Бўлувчи айлана узунлиги тиш қадами  $r$  ни филдирак тишлари сони  $z$  га кўпайтириб аниқланади:

$$2 \cdot \pi r = P \cdot z,$$

бундан

$$r = \frac{P}{2\pi} \cdot \frac{z}{2}$$

Тиш қадами  $r$  нинг  $\pi$  га нисбатини  $m$  деб белгилаймиз. У ҳолда

$$r = m \cdot \frac{z}{2}$$

$m$  — илашма модули дейилади. У филдиракнинг мустаҳкамлигини **белгилайдиган** асосий параметр бўлиб, унинг миллиметрда ўлчанадиган сон қиймати ГОСТ — 9563 — 60 да белгиланган асосий ёки ёрдамчи модуль қаторларидан танланади (1- жадвал).

Тишли филдиракнинг ҳамма параметрларининг ўлчам қийматлари лойиҳалаща қабул қилинадиган модуль  $m$  ва филдирак тишлари сони  $z$  ларнинг қийматларига кўра аниқланади.

## 2-§. ЭВОЛЬВЕНТА ВА УНИНГ ХОССАЛАРИ

Айланага уринма жойлашган тўғри чизиқнинг сирпанмасдан ҳарақатланиши натижасида ундаги исталган нуқтанинг чизган траекторияси эволъвента дейилади. Бу айлана асосий айлана, тўғри чизиқ **эса** унинг ясовчиси дейилади.

Тўғри чизиқ  $N - N$  асосий айланага нисбатан сирпанмай ҳаракатланар экан (96- шакл), ундаги ( $N_1 B$ ) кесма узуилиги  $\widehat{N_1 A}$  ёй **бўлади** тенг бўлади:

$$(N_1 B) = \widehat{N_1 A}$$

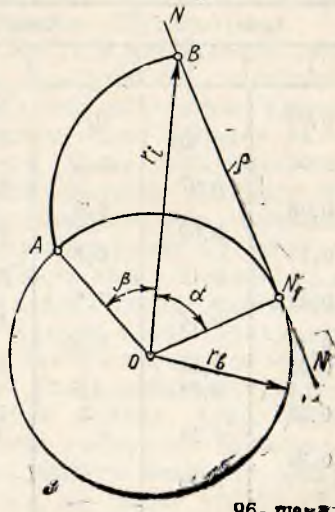
бу ерда  $(N_1 B) = \rho$  — эволъвента  $B$  нуқтасининг эгрилик радиуси.

$(N_1 B) = r_\alpha \cdot \operatorname{tg} \alpha$  ҳамда  $\widehat{N_1 A} = r_\beta$   $(\alpha + \beta)$  эканлигини эътиборга олсак

$$\beta = \operatorname{tg} \alpha - \alpha = \operatorname{inv} \alpha \quad (9.1)$$

хосил бўлади.

Бу ерда  $\alpha$  — эволъвента чизигидаги нуқтанинг вазиятини белгилайдиган бурчк.  $\beta$  — эволъвента функцияси, ёки инволюта.  $\operatorname{inv} \alpha$  нинг қийматлари 1- иловаги кўра аниқланади. Эволъвентанинг исталган нуқтасининг радиус вектори  $r_i$  қундаги нисбатдан аниқланади:



96- шакл

$$r_i = \frac{r_a}{\cos \alpha}.$$

Эвольвентанинг хоссалари:

1) эвольвентанинг исталган нүктасига ўтказилган нормал асосий айланага уринма жойлашади;

2) эвольвентадаги исталган нүктанинг эгрилик радиуси ўша нүктадан асосий айланага ўтказилган уринманинг уриниш нүктасигача бўлган қисмига teng.

Эвольвентанинг хусусиятлари.

1) асосий айланана эвольвента эгри чизигидаги нүқталар эгрилик марказларининг геометрик ўрни бўлади;

2) эвольвента асосий айланасининг бошланиш нүктасида унинг эгрилик радиуси  $r=0$  бўлиб, эвольвентанинг давомида унинг эгрилик радиуси узлуксиз оша боради;

3) филдирак асосий айланаси радиуси (демак, филдиракнинг тишлари сони) чексизликка интилганда, эвольвента тўғри чизикка айланади. Бинобарин, тишли филдиракнинг ўзи тиш профили тўғри чизиқдан ташкил топган тишли рейкага айланади.

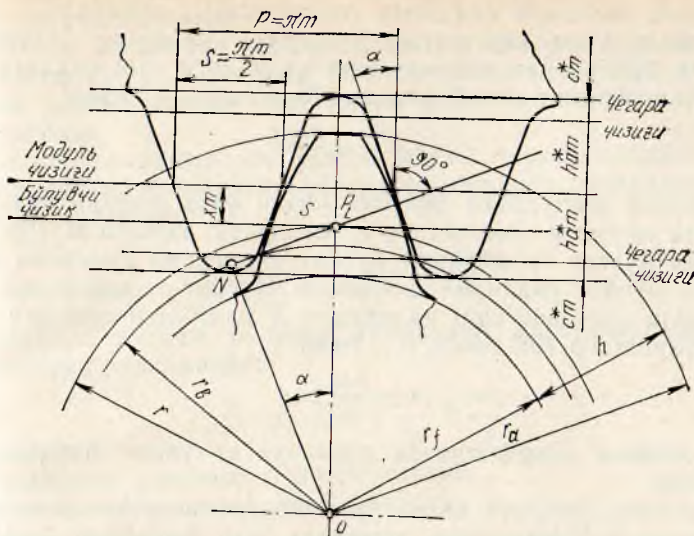
### 3-§. ТИШЛИ РЕЙКА КУРИНИШИДАГИ ҚИРҚУВЧИ АСБОБ ЕРДАМИДА ТИШЛИ ФИЛДИРАҚЛАРНИ ҲОСИЛ ҚИЛИШ

1. Тиш қирқувчи асбоблар ичидаги энг кўп қўлланиладигани рейкасимон қирқувчи асбобдир. Ҳосил қилинган филдираклардан ташкил топган узатманинг геометрик параметрлари тиш қирқувчи асбобнинг геометрик параметрларига, шунингдек, қирқувчи асбоб асосий ясовчи контурининг заготовкага нисбатан эгаллаган вазиятига боғлиқ бўлади.

ГОСТ — 9563 — 60 бўйича стандарт модуль, мм

1- жадвал

| Қатор |       | Қатор |       | Қатор |      | Қатор |    |
|-------|-------|-------|-------|-------|------|-------|----|
| 1     | 2     | 1     | 2     | 1     | 2    | 1     | 2  |
| 0,05  | 0,055 | 0,4   | 0,45  | 2,5   | 2,75 | 20    | 22 |
| 0,06  | 0,07  | 0,5   | 0,55  | 3     | 3,5  | 25    | 28 |
| 0,08  | 0,09  | 0,6   | 0,7   | 4     | 4,5  | 32    | 36 |
| 0,1   | 0,11  | 0,8   | 0,9   | 5     | 5,5  | 40    | 45 |
| 0,12  | 0,14  | 1,0   | 1,125 | 6     | 7    | 50    | 55 |
| 0,15  | 0,18  | 1,25  | 1,375 | 8     | 9    | 60    | 70 |
| 0,20  | 0,22  | 1,5   | 1,75  | 10    | 12   | 80    | 90 |
| 0,25  | 0,28  | 2     | 2,25  | 12    | 14   | 100   |    |
| 0,30  | 0,35  |       |       | 16    | 18   |       |    |

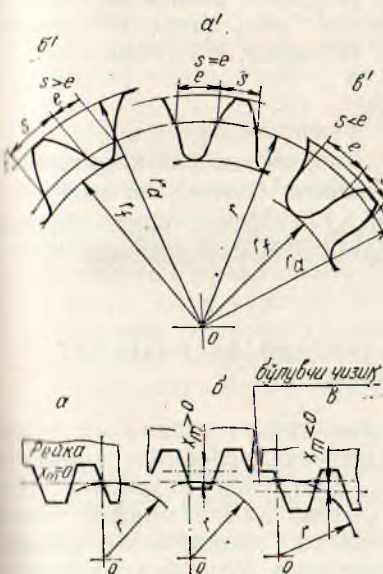


97- шакл.

Қирқүвчи асбобнинг ясовчи контури деб, унинг кесувчи қирраларининг заготовка ўқига тик бўлган текисликдаги проекциясига айтилади. Тиш қирқиши жараённида тиш қирқүвчи рейкасимон асбобнинг ҳосил қилиш контури билан қирқилувчи хом ашёнинг ўзаро илашувига станок илашмаси дейилади (97- шакл).

2. Қирқүвчи рейкасимон асбоб ясовчи контуридаги заготовканинг бўлувчи айланасига уринма жойлашган чизик бўлувчи чизик дейилади. Ҳосил қилинувчи фидирракнинг бўлувчи айланаси бўйича ўлчанадиган тиш қалинлиги  $s$  ясовчи контурнинг бўлувчи чизиги бўйича тиш оралиги  $e$  гатенг бўлади. Бўлувчи чизик ясовчи контурнинг тиши баландлигини тенг иккинга ажратувчи модуль

чилиги билан устма-уст жойлашуви, ёки унга нисбатан параллел бўлган маълум бир масофада жойлашуви мумкин. Агар ясовчи контур ўрта модуль чизиги заготовканнг бўлувчи айланасига уринма жойлашса, яъни бўлувчи ва ўрта модуль чизиқлар орасидаги масофа нолга teng бўлса (98- шакл, а) ҳосил бўлган фидиррак



98- шакл.

диракларга стандарт ёки ноль филдираклар дейилади. Бунда **филдираклар** учун характерли хусусият — уларнинг бўлувчи айланалари бўйича ўлчанадиган тиш қалинлиги тиш оралиги масофасига тенг бўлиши келиб чиқади (98-шакл,  $a'$ ), яъни

$$s = e = \frac{\pi \cdot m}{2} \quad (9.2)$$

3. Асосий контурдаги бўлувчи чизиқ ўрта модуль чизигининг заготовка маркази томонида  $\chi \cdot m$  масофада жойлашса (98-шакл,  $b$ ), ҳосил бўлган филдиракка мусбат коррекция қилинган филдирак, ёки мусбат филдирак дейилади. Мусбат филдираклар учун характерли хусусият тиш қалинлиги  $S$  нинг тиш оралиги  $E$  дан катта бўлишидир (98-шакл,  $b'$ ), яъни

$$s > \frac{\pi m}{2} > e$$

$\chi$  — силжиш коэффициенти дейилади ва унинг ишораси мусбат бўлади.

4. Аксинча, бўлувчи чизиқ ўрта модуль чизигининг заготовка марказидан қарама-қарши томонида  $\chi \cdot m$  масофада жойлашса, (98-шакл,  $v$ ) у ҳолда ҳосил бўлган филдиракка манфий коррекция қилинган филдирак, ёки манфий филдирак дейилади. Манфий филдираклар учун характерли хусусият тиш қалинлиги  $s$  нинг тиш оралиги  $e$  дан кичик бўлишидир (98-шакл,  $v'$ ), яъни

$$S < \frac{\pi m}{2} < e$$

Бунда силжиш коэффициенти  $\chi$  нинг ишораси манфий ҳисобланади. Асосий контур параметрларидағи  $h_a^*$  — тишнинг баландлик коэффициенти,  $C^*$  тишнинг оралиқ коэффициенти,  $\alpha$  — тишнинг қиялик бурчаги ёки станок илашмасининг бурчаги дейилади. Машинасозликда  $h_a^* = 1$ ,  $C^* = 0,25$ ,  $\alpha = 20^\circ$  деб олинади.

#### 4- §. ТИШЛИ ИЛАШМАЛАРНИНГ ТУРЛАРИ ВА УЛАРНИНГ ХУСУСИЯТЛАРИ

Тишли тўғри ёки қия жойлашган тишли узатмалар филдиракларининг станокда ясалishiда қирқувчи асбобнинг қирқилувчи заготовкага нисбатан жойлашган дастлабки вазиятига кўра ноль тишли узатма, мусбат тишли узатма ҳамда манфий тишли узатмаларга бўлинади. Узатма турлари филдираклар силжиш коэффициентлари йиғиндинсинг ишорасига кўра белгиланади:

$$\chi_{\Sigma} = \chi_1 + \chi_2 \quad (9.3)$$

Бу ерда  $\chi_1$  — етакловчи филдирак силжиш коэффициенти;  $\chi_2$  — етаклавувчи филдирак силжиш коэффициенти.

1. Ноль узатма ( $\chi_{\Sigma} = 0$ ) ноль филдираклардан ( $\chi_1 = \chi_2 = 0$ ) ёки биттаси мусбат, бошқаси манфий силжитилган филдираклардан ташкил топади ( $\chi_1 = -\chi_2 \neq 0$ ).

Ноль узатманинг иккинчи ҳолдаги күрнишига тенг силжитилген узатма дейилади.

Ноль илашмали ғилдиракларнинг бўлувчи айланалари ўзаро илашиш қутби  $P$  нуқтада уринади (99-шакл, б) ва ғилдиракларнинг ҳаракатланиши жараёнида улар бир-бирига нисбатан сирпамайди.

Ноль илашмага хос бўлган асосий хусусиятлардан яна бириншаки, бунда бошлангич айланада ва бўлувчи айланалар радиуслари ўзаро тенгдир:

$$r_{\omega} = r = \frac{m \cdot z}{2}. \quad (9.4)$$

Ўқлараро масофа бўлувчи айланалар радиусларининг йигиндикига кўра аниқланади:

$$a = r_1 + r_2 = \frac{mz_1}{2} + \frac{mz_2}{2} = \frac{mz_{\Sigma}}{2}. \quad (9.5)$$

Узатманинг илашиш бурчаги станок илашмаси бурчагига тенг бўлади:

$$\alpha_{\omega} = \alpha.$$

2. Мусбат тишли узатма иккита мусбат ( $\chi_1 > 0; \chi_2 > 0$ ) ёки битта мусбат, иккинчи ноль ( $\chi_1 > 0; \chi_2 = 0$ ) ва ниҳоят битта мусбат, иккинчиси манфий ( $\chi_1 > 0; \chi_2 < 0$ ) ғилдираклардан ташкил топиши мумкин. Бунда албатта мусбат ғилдиракнинг силжиши коэффициенти манфий ғилдиракнинг силжиши коэффициентидан катта бўлиши шарт. Мусбат тишли узатмаларда илашувчи ғилдиракларнинг бўлувчи айланалари ўзаро уринмайди (99-шакл, а). Улардаги бўлувчи айланаларнинг радиуслари бошлангич айланалар радиусларидан кичик бўлади, яъни

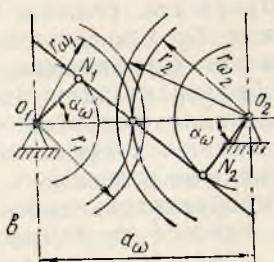
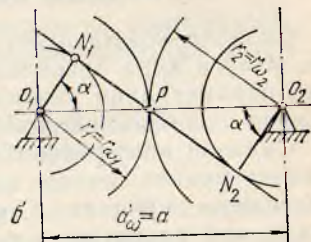
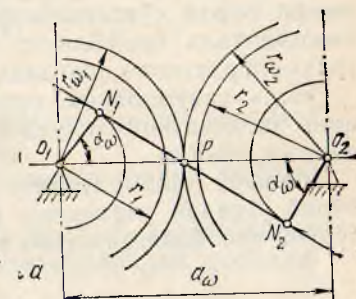
$$r < r_{\omega}.$$

Бундай узатмаларда ўқлараро масофа  $a_{\omega}$  бошлангич айланалар радиуслари  $r_{\omega_1}$  ва  $r_{\omega_2}$  ларнинг йигиндикига кўра аниқланади:

$$a_{\omega} = r_{\omega_1} + r_{\omega_2} \text{ ёки} \\ a_{\omega} = \frac{m(z_1 + z_2)}{2} \cdot \frac{\cos \alpha}{\cos \alpha_{\omega}}, \quad (9.6)$$

бунда  $a_{\omega} > a$  ва  $\alpha_{\omega} > \alpha$  бўлади.

3. Манфий тишли узатма иккита



99- шакл.

манфий ( $\chi_1 < 0$ ;  $\chi_2 < 0$ ) ёки битта манфий, иккинчиси ноль ( $\chi_1 < 0$ ;  $\chi_2 = 0$ ) ва ниҳоят битта манфий, иккинчиси мусбат ( $\chi_1 > 0$ ;  $\chi_2 < 0$ ) ғилдираклардан ташкил топиши мумкин. Бунда манфий ғилдирак силжиш коэффициентининг абсолют қиймати мусбат ғилдирак силжиш коэффициентининг абсолют қийматидан катта бўлади. Манфий тишли узатмада бўлувчи айланалар ўзаро кесишади (99- шакл, в). Улардаги бўлувчи айланалар радиуслари бошлангич айланалар радиусларидан катта бўлади, яъни

$$r > r_{\omega}.$$

Ўқлараро масофа  $a_{\omega}$  формула (9. 6) га кўра аниқланади ва бунда  $a_{\omega} < -a$  ҳамда  $\sigma_{\omega} < \alpha$  бўлади.

Бир жуфт ғилдиракли тишли узатмаларни лойиҳалашда уларнинг юқорида кўрсатилган хусусиятларини инобатга олиш керак.

Мусбат узатмалар ноль ва манфий узатмаларга қараганда юқори сифат кўрсаткичларига эга. Чунки бундай узатмаларда эволвентали профилнинг эгрилик радиуслари ноль ва манфий узатмалардагига қараганда каттароқдир.

Ноль узатмаларни ҳисоблаш осонроқ. Лекин бундай узатманинг эксплуатация кўрсаткичлари мусбат узатманикига нисбатан пастроқ бўлади.

Манфий узатмаларнинг эксплуатация кўрсаткичлари энг паст бўлиб, бундай узатмалар олдиндан берилган ўқлараро масофа бўйича ҳисоблангандағина қўлланилади.

## 5- §. СИЛЖИШ КОЭФФИЦИЕНТЛАРИНИ БЕЛГИЛАШ

Силжиш коэффициентлари  $\chi_1$  ва  $\chi_2$  ни шундай танлаш керакки, уларга кўра ҳисобланган ғилдираклар ва узатманинг геометрик параметрлари узатманинг эксплуатация сифатларини имкони борича яхши таъминласин.

Силжиш коэффициентлари танланганда лойиҳаланаётган узатманинг муайян ишлаш шароитлари ҳисобга олиниши керак. Улар узатманинг қанчалик тезлик билан ҳаракатланиши, зўриқиши цикли, мой ваннасида ишлаши ёки очиқ шароитда ишлашидир.

Шунингдек, силжиш коэффициентларини яна шундай танлаш керакки, бу ҳодиса ғилдиракларни ҳосил қилиш жараёнида тиш асосининг қирқилишига, тишларнинг ўткирлашувига олиб келмасин. Ғилдиракларнинг ўзаро илашуви жараёнида эса тишларнинг ўзаро қадалиб қолиши юз бермаслиги керак. Шулар билан бирга қопланиш коэффициенти ё нинг рухсат этилган қиймати ҳам таъминланиши лозим.

Ғилдиракларни ҳосил қилиш жараёнида тиш асосида қирқилиш ҳодисаси юз бермаслиги учун танланган силжиш коэффициенти қўйидаги шартни қаноатлантириши зарур:

$$\chi \geq \chi_{min}$$

Бунда  $\chi_{min}$  қирқилиш юз бермаслиги шартига күра силжиш коэффициентининг энг кам қийматидир. У қуйидаги формулаға күра аниқлады:

$$\chi_{min} = \frac{z_{min} - \varepsilon}{z_{min}} = \frac{17 - \varepsilon}{17}. \quad (9.7)$$

Формула (9.7) даги  $z_{min} = 17$  ғилдирак тишилари сонининг шундай минимал қийматики, рејкасимон қирқувчи асбоб ёрдамида бу ва бундан катта қийматдаги тишилар сонига эга бўлган ҳамда тишилар асоси қирқиммаган стандарт ғилдиракларни ҳосил қилиши мумкин.

Силжиш коэффициенти қиймати орта борган сари тиш ўткираша боради. Тишининг ташқи айланана бўйича қалинлиги  $S_a \geq 0,2m$  шартни қаноатлантириши керак.

Бу шартни қаноатлантирадиган силжиш коэффициентининг рухсат этилган қиймати  $\chi_{max}$  билан белгиланган. Демак, узатма ғилдираклари учун танланган силжиш коэффициентлари умуман қуйидаги шартни қаноатлантиришлари зарур:

$$\chi_{max} \geq \chi \geq \chi_{min}$$

Узатма ғилдираклари учун қопланиш коэффициентининг минимал қиймати 1,1 дан катта бўлиши лозим:  $\varepsilon \geq 1,1$

Муайян узатмалар учун силжиш коэффициентларининг қийматларини

1) Громан М. Б. таклиф этган Т. П. ва И. А. Болотовскийлар ҳамда В. Э. Смирнов тузишган қамраш контурларидан фойдаланилган ҳолда,

2) ИСО тавсияномаларидан фойдаланилган ҳолда,

3) профессор В. Н. Кудрявцев жадвалларидан ва номограммаларидан фойдаланилган ҳолда аниқлашни алоҳида-алоҳида кўриб чиқамиз.

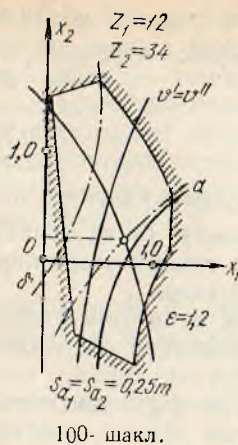
#### 6-§. ҚАМРАШ КОНТУРЛАРИДАН ФОЙДАЛАНИЛГАН ҲОЛДАТИШЛИ УЗАТМАНИ ҲИСОБЛАШ

1. Қабул қилиниши мумкин бўлган коэффициентлар кўлами тишилар сони  $z_1$  ва  $z_2$  бўлган аниқ узатмалар учун алоҳида қурилган қамраш контурларидан намоён бўлади.

Қамраш контури  $\chi_1$  ва  $\chi_2$  координата системасида қурилган ёгри чизиқлар мажмуаси бўлиб, ўзининг штрихланган соҳаси билан узатма ғилдираклари учун белгилаб олинадиган силжиш коэффициентлари  $\chi_1$  ва  $\chi_2$  учун номақбул қийматларни чеклайди.

Штрихланган соҳалар оралиғида танлаб олинадиган  $\chi_1$  ва  $\chi_2$  қийматлар ғилдираклар тишиларининг ўзаро қадалишига, тиш асосининг қирқилишига, тишининг ўткirlашувига олиб келмайди. Шублан билан бирга, қопланиш коэффициенти  $\varepsilon$  нинг рухсат этилган қийматини ҳам таъминлайди.

Тишилар сони  $z_1=12$  ва  $z_2=34$  бўлган тишили узатма учун қамраш контури 100= шаклда тасвиrlenган.

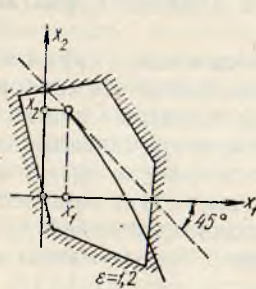


Бундан ташқари, ташқи айланы бүйіча ўлчанадиган тишилар қалинліктері  $S_{a1}=0,25m$  ва  $S_{a2}=0,25m$  ҳамда қопланишкоэффициенттері  $\epsilon=1,2$  бўлишини таъминлайдиган чизиқлар ҳам мавжуд. Т. П. ва И. А. Болотовскийлар ҳамда В. Э. Смирновларнинг «Блокирующие контуры» китобида гилдирак тишилари сонининг ҳар хил комбинациялари учун қамраш контурлари келтирилган ва улардан қирқиши асбоби рейка кўринишида бўлганда фойдаланиш мумкин.

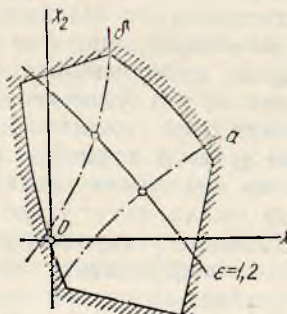
2. Гилдиракларнинг ўқлараро масофасини таплаш ихтиёрий бўлганда силжиш коэффициентларини белгилаш қўйидаги вариантларга кўра амалга оширилади:

1) узатманинг ишлаш шароити тишиларнинг контакт мустаҳкамлиги энг юқори бўлишини талаб қиласди. Бундай шароит узатманинг катта қувват билан ишлаганида (узатма гилдираклар тез ҳаракатланса ёки улар катта буровчи момент узатса) вужудга келади. Одатда, бундай узатмалар мой ваннасида ишлайди. Силжиш коэффициентларининг йиғиндиси бўлган  $\chi_e$  нинг мумкин бўлган максимал қийматини белгилаш учун (101- шаклга қаранг) қамраш контуридаги координата ўқларига  $45^\circ$  бурчак ҳосил қилувчи чизиқни  $\epsilon=1,2$  эгри чизиғига уринма қилиб ўтказилади. Уриниш нұқталарининг координата қийматлари  $\chi_1$  ва  $\chi_2$  гилдираклар учун силжиш коэффициентлари бўлади.

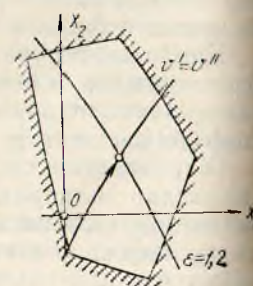
2) узатманинг ишлаш шароити гилдираклар тишиларининг эгилишга мустаҳкамлиги энг катта бўлишини талаб қиласди. Бундай узатмалар мой ваннасисиз ишлайди. Ана шу сабабли тишилар



101- шакл.



102- шакл.



103- шакл.

Контурдаги  $v'=v''$  чизиқ ҳар иккалаға филдиракка тегишли тишилар учун сирпаниш коэффициенти бир хил қийматда бўлишини таъминласа, а ва б чизиқлар филдирак материаларининг бир хил термик ишланиши шарти билан филдираклар тишиларининг эгилишига мустаҳкамлиги бир хил бўлишини таъминлайди ( $a$  чизиги етакловчи гилдирак  $z_1$  бўлганда б чизиги етакловчи гилдирак  $z_2$  бўлганда).

Бундан ташқари, ташқи айланы бўйича ўлчанадиган тишилар қалинліклири  $S_{a1}=0,25m$  ва  $S_{a2}=0,25m$  ҳамда қопланишкоэффициенти  $\epsilon=1,2$  бўлишини таъминлайдиган чизиқлар ҳам мавжуд. Т. П. ва И. А. Болотовскийлар ҳамда В. Э. Смирновларнинг «Блокирующие контуры» китобида гилдирак тишилари сонининг ҳар хил комбинациялари учун қамраш контурлари келтирилган ва улардан қирқиши асбоби рейка кўринишида бўлганда фойдаланиш мумкин.

2. Гилдиракларнинг ўқлараро масофасини таплаш ихтиёрий бўлганда силжиш коэффициентларини белгилаш қўйидаги вариантларга кўра амалга оширилади:

1) узатманинг ишлаш шароити тишиларнинг контакт мустаҳкамлиги энг юқори бўлишини талаб қиласди. Бундай шароит узатманинг катта қувват билан ишлаганида (узатма гилдираклар тез ҳаракатланса ёки улар катта буровчи момент узатса) вужудга келади. Одатда, бундай узатмалар мой ваннасида ишлайди. Силжиш коэффициентларининг йиғиндиси бўлган  $\chi_e$  нинг мумкин бўлган максимал қийматини белгилаш учун (101- шаклга қаранг) қамраш контуридаги координата ўқларига  $45^\circ$  бурчак ҳосил қилувчи чизиқни  $\epsilon=1,2$  эгри чизиғига уринма қилиб ўтказилади. Уриниш нұқталарининг координата қийматлари  $\chi_1$  ва  $\chi_2$  гилдираклар учун силжиш коэффициентлари бўлади.

2) узатманинг ишлаш шароити гилдираклар тишиларининг эгилишга мустаҳкамлиги энг катта бўлишини талаб қиласди. Бундай узатмалар мой ваннасисиз ишлайди. Ана шу сабабли тишилар

юзаси мустаҳкамланган (цементацияланган, тобланган в. ҳ. к.) бўлади.

Бундай ҳолларда силжиш коэффициентини аниқлаш учун етакловчи ғилдирак  $z_1$  бўлганда а эгри чизиги билан,  $z_2$  бўлганда б эгри чизиги билан  $\epsilon = 1,2$  чизигининг кесишиш нуқтасини аниқлаш керак (102- шакл).

3) Ейилишга мустаҳкамлик шартини қаноатлантириш керак бўлган узатмалар учун силжиш коэффициентини танлашда  $v' = v''$  чизиги бўйлаб  $\epsilon = 1,2$  чизиги томон ҳаракатланиши керак (103- шакл).

Қопланиш коэффициентининг  $\epsilon$  нинг энг катта қийматини таъминлайдиган силжиш коэффициентини белгилаш учун керакли нуқтани қамраш контурининг пастки чап бурчагидан қидириш лозим.

3. Ғилдиракларнинг ўқлараро масофаси олдиндан белгиланган бўлса, силжиш коэффициентларини аниқлаш учун қуйидаги ишларни бажарамиз.

1) келтирилган формулаларга кўра ғилдираклар тишларининг сонини аниқлаймиз:

$$z_{\Sigma} = z_1 + z_2 = \frac{2 \cdot a_{\omega}}{m}, \quad (9.8)$$

$$u_{12} = -\frac{z_2}{z_1}; \quad z_2 = -u_{12} \cdot z_1, \quad (9.9)$$

бундан

$$z_1 = \frac{2 \cdot a_{\omega}}{(1 - u_{12}) \cdot m}. \quad (9.10)$$

Тишлар сони  $z_1$  ва  $z_2$  ни бутун сонга яхлитлаймиз. Бунда узатиш нисбатидаги ўзгариш  $\pm 5\%$  дан ошмаслиги керак;

2) илашиш бурчаги ҳисобланади:

$$\cos \alpha_{\omega} = \frac{m(z_1 + z_2)}{2 \cdot a_{\omega}} \cdot \cos \alpha; \quad (9.11)$$

3) силжиш коэффициентининг йиғинди қиймати аниқланади:

$$\chi_{\Sigma} = \frac{(z_1 + z_2)(\operatorname{inv} \alpha_{\omega} - \operatorname{inv} \alpha)}{2 \cdot t g \alpha}; \quad (9.12)$$

4) қамраш контурида  $\chi_{\Sigma}$  га мос келувчи чизик ўтказилади. Бунинг учун аввал  $\chi_1 = \chi_{\Sigma}$ ,  $\chi_2 = 0$ , сўнгра  $\chi_1 = 0$ ,  $\chi_2 = \chi_{\Sigma}$  нуқталар белгиланади ва уларни ўзаро туташтирувчи чизик ўтказилади;

5)  $\chi_{\Sigma}$  га мос келувчи  $\chi_1$  ва  $\chi_2$  нинг қийматлари механизмнинг ишлаш шароити ҳисобга олинган ҳолда ўтказилган чизиқдан аниқланади ( $14 =$  шаклдаги  $E$ ,  $E_1$ ,  $E_2$  нуқталардан бирининг координата қийматлари);

4. Узатманинг геометрик параметрларини ҳисоблаш рейкасимон қирқувчи асбоб асосий контурининг параметрлари  $m$ ,  $\alpha$ ,  $h_a^*$ ,  $C^*$  ҳамда ғил-

дираклар тишилари сони  $\xi_1$  ва  $\xi_2$  га күра амалга оширилади. Ҳисоблаш натижасида қыйидагилар аниқланади:

- 1) силжиш коэффициентлари  $\chi_1$  ва  $\chi_2$ ,
- 2) илашиш бурчаги  $\alpha_\omega$

$$\operatorname{inv} \alpha_\omega = \operatorname{inv} \alpha + \frac{2\chi_\Sigma \cdot \operatorname{tg} \alpha}{\xi_\Sigma} \quad (9.13)$$

$\alpha_\omega$  бурчак инвалиута функцияси жадвалига күра (1- илов) аниқланади:

- 3) бўлувчи айлана радиуслари (9.4)

104- шакл.

$$r = \frac{mz}{2},$$

- 4) асосий айлана радиуслари

$$r_s = r \cos \alpha = \frac{mz}{2} \cos \alpha, \quad (9.14)$$

- 5) бошлангич айлана радиуслари

$$r_\omega = \frac{mz}{2} \cdot \frac{\cos \alpha}{\cos \alpha_\omega}, \quad (9.15)$$

- 6) ўқлараро масофа (9.6)

$$a_\omega = r_{\omega_1} + r_{\omega_2} = \frac{m(z_1 + z_2)}{2} \cdot \frac{\cos \alpha}{\cos \alpha_\omega}.$$

- 7) тиш ботиги айланалари радиуслари

$$r_t = m \left( \frac{z}{2} + \chi - h_a - c^* \right). \quad (9.16)$$

- 8) тиш чўққиси айланалари радиуслари

$$r_{a_1} = a_\omega - r_{t_1} - c^* m, \quad (9.17)$$

$$r_{a_2} = a_\omega - r_{t_2} - c^* m,$$

- 9) тиш баландлиги

$$h = r_a - r_p, \quad (9.18)$$

- 10) бўлувчи айлана бўйича тиш қалинлиги

$$s = \frac{\pi m}{2} + 2 \chi m \operatorname{tg} \alpha, \quad (9.19)$$

- 11) асосий айлана бўйича илашиш ёйи узунлиги

$$q_\alpha = \sqrt{r_{a_1}^2 - r_{s_1}^2} + \sqrt{r_{a_2}^2 - r_{s_2}^2} - a_\omega \sin \alpha_\omega, \quad (9.20)$$

- 12) қопланиш коэффициенти

$$\varepsilon = \frac{q_\alpha}{P_\alpha}, \quad (9.21)$$

$$P_\alpha = \pi m \cdot \cos \alpha,$$

13) ясовчи контур ўрта чизиги бўйича тиш қалинлиги (9.2)

$$s = \frac{\pi \cdot m}{2}.$$

14) бўлувчи айланада бўйича тиш қадами

$$p = \pi \cdot m, \quad (9.22)$$

15) тиш бўйининг эгриланиши радиуси

$$\rho_i = \frac{C^* \cdot m}{1 - \sin \alpha}. \quad (9.23)$$

**Мисол.** Ўқлараро масофа ихтиёрий танланадиган тўғри тишсли ташки илашмали узатма қўйидаги берилганларга кўра ҳисоблансин.

а) Қирқувчи рейкасимон асбоб параметрлари:

$$m = 5 \text{ мм}, \alpha = 20^\circ, h_a^* = 1, C^* = 0,25.$$

б) Филдиракларнинг тишлари сони  $\bar{z}_1 = 12; \bar{z}_2 = 34$ .

Узатма очиқ шароитда ишлайди, тиш юзаси мустаҳкамланади.

Ечиш. 1) Т. В. ва И. А. Болтовскийлар ҳамда В. Э. Смириловларнинг «Блокирующие контуры» китобидан  $\bar{z}_1 = 12$  ва  $\bar{z}_2 = 34$  учун қамраш контуруни танлаймиз. Етакловчи филдирак  $\bar{z}_1$  эканлигини назарда тутиб,  $a$  ва  $e = 1,2$  чизикларнинг ўзаро кесинши нуқтасининг координаталарини силжиш коэффициентлари  $\chi_1$  ва  $\chi_2$  қилиб оламиз:

$$\chi_1 = 0,74; \chi_2 = 0,24,$$

$$\chi_{\Sigma} = \chi_1 + \chi_2 = 0,74 + 0,24 = 0,98;$$

2) Илашиш бурчаги  $\alpha_{\omega}$  аниқланади (9.13)

$$\operatorname{inv} \alpha_{\omega} = \operatorname{inv} \alpha + \frac{2 \chi_{\Sigma} \cdot \operatorname{tg} \alpha}{e_{\Sigma}} = 0,014904 + \frac{2 \cdot 0,98 \cdot 0,364}{46} = 0,030412.$$

Инволюта жадвалига кўра (1 - илова)

$$\alpha_{\omega} = 25^\circ 07'.$$

3) Бўлувчи айланалар радиуслари (9.4)

$$r_1 = \frac{5,12}{2} = 30 \text{ мм} \quad r_2 = \frac{5,34}{2} = 85 \text{ мм.}$$

4) Асосий айланалар радиуслари (9.14)

$$r_{\omega_1} = 30 \cdot 0,9397 = 28,191 \text{ мм} \quad r_{\omega_2} = 85 \cdot 0,9397 = 79,8745 \text{ мм.}$$

5) Бошланғич айланалар радиуслари (9.15)

$$\cos \alpha_{\omega} = \cos 25^\circ 07' = 0,9055$$

$$r_{\omega_1} = \frac{5,12}{2} \cdot \frac{0,9397}{0,9055} = 31,134 \text{ мм} \quad r_{\omega_2} = \frac{5,34}{2} \cdot \frac{0,9397}{0,9055} = 88,213 \text{ мм.}$$

6) Ўқлараро масофа (9.6)

$$a_{\omega} = 31,134 + 88,213 = 119,347 \text{ мм}$$

7) тиши ботиғи айланалари радиуслари (9.16)

$$r_{t_1} = 5 \left( \frac{12}{2} - 0,74 - 1 - 0,25 \right) = 27,45 \text{ мм},$$

$$r_{t_2} = 5 \left( \frac{34}{2} + 0,24 - 1 - 0,25 \right) = 79,95 \text{ мм},$$

8) тиши чүккиси айланалари радиуслари (9.17)

$$r_{a_1} = 119,347 - 79,95 - 0,255 = 38,147 \text{ мм},$$

$$r_{a_2} = 119,347 - 27,45 - 0,255 = 90,647 \text{ мм},$$

9) тиши баландлигі (9.18)

$$h_1 = 38,147 - 27,45 = 10,697 \text{ мм},$$

$$h_2 = 90,647 - 79,95 = 10,697 \text{ мм},$$

10) бүлүвчи айлана бүйічі тиши қалинликлары (9.19)

$$s_1 = \frac{3,14 \cdot 5}{2} - 2 \cdot 5 \cdot 0,74 \cdot 0,364 = 10,544 \text{ мм},$$

$$s_2 = \frac{3,14 \cdot 5}{2} - 2 \cdot 5 \cdot 0,24 \cdot 0,364 = 8,724 \text{ мм},$$

11) асосий айлана бүйічі илашиш ёни узунлигі (9.20)

$$\sin 25^\circ 07' = 0,4245,$$

$$q_\alpha = \sqrt{38,147^2 - 28,191^2} + \sqrt{90,647^2 - 79,875^2} - 119,347 \times 0,4245 = 17,88 \text{ мм.}$$

12) Копланиш коэффициенті (21)

$$\varepsilon = \frac{17,88}{3,14 \cdot 5 \cdot 0,94} = 1,212.$$

13) Рейка ясовчи контури ўрта чизиги бүйічі тиши қалинлигі (9.2)

$$s = \frac{3,14 \cdot 5}{2} = 7,85 \text{ мм.}$$

14) Бүлүвчи айлана бүйічі тиши қадами (9.22)

$$p = 3,14 \cdot 5 = 15,7 \text{ мм.}$$

15) Тиши бүйінининг әгрилік радиусы (9.23)

$$\rho_1 = \frac{0,255}{1 - 0,3402} = 1,899 \text{ мм},$$

## 7- §. ИСО ТАВСИЯНОМАЛАРИДАН ФОЙДАЛАНИЛГАН ҲОЛДА ТИШЛИ УЗАТМАНИ ҲИСОБЛАШ

ИСО (Халқаро стандартлаштириш ташкилоти) тавсиялари қуйидаги лардаң иборат.

1.  $z_1 \geq 30$  бүлганданда ноль илашма күлланилади ( $\chi_1 = 0; \chi_2 = 0$ )
2.  $z_1 < 30$  ва  $z_1 + z_2 > 60$  бүлгандан тенг силжитилген ноль

ишаши құлланилади. Бунда силжиш коэффициентлари қуйидагича анықланади.

$$\chi_1 = 0,03 (30 - z_1); \quad \chi_2 = -\chi_1$$

3.  $z_1 < 30$  ва  $z_2 < 60$  бүлгандыкка иккапаған силдирак силжиш коэффициентлари қуйидаги формулалардан анықланади:

$$\chi_1 = 0,03 (30 - z_1)$$

$$\chi_2 = 0,03 (30 - z_2)$$

Узатманинг илашиш бурчаги  $\alpha_{\omega}$  инвалидта функцияси жадвалидан (1-илова) фойдаланылган ҳолда қуйидаги формуладан анықланади:

$$\operatorname{inv} \alpha_{\omega} = \operatorname{inv} \alpha + \frac{2 \chi_{\Sigma} \cdot \operatorname{tg} \alpha}{z_{\Sigma}}. \quad (9.13)$$

Бирок бундай ҳисоблашда тиіш учі үткірлашиб қосмаганлығы ҳамда узатма учун қопланыш коэффициентининг минимал қиймати  $\varepsilon_{min}$  нинг таъминланғанлығы текширилиб күрілади.

**Мисол.** Ўқлараро масофа иктиёрий таңланадиган түғри тиішли ташқын илашмали узатма қуйидаги берилғанларга күра ҳисоблансын.

а) Қирқувчи рејкасимон асбоб параметрлари  $m = 8$  мм.  $\alpha = 20^\circ$   $h_a^* = 1$ ,  $C^* = 0,25$

б) Филдиракларнинг тиілдегі сони  $z_1 = 9$ ,  $z_2 = 26$

**Ечиш:**

1) Филдираклар учун силжиш коэффициентининг минимал қийматлари (9.7)

$$\chi_{1min} = \frac{17 - 9}{17} = 0,4701,$$

$$\chi_{2min} = \frac{17 - 26}{17} = -0,530.$$

2. ИСО тавсияномасы бүйічка силжиш коэффициентларини ҳисоблаїмиз.  $z_1 < 30$ ,  $z_2 < 60$  бүлгандығы сабабли:

$$\chi_1 = 0,03 (30 - 9) = 0,63,$$

$$\chi_2 = 0,03 (30 - 26) = 0,12,$$

$$\chi_{\Sigma} = 0,63 + 0,12 = 0,75.$$

3. Илашиш бурчаги  $\alpha_{\omega}$  формула (9.13) га күра анықланади:

$$z_{\Sigma} = z_1 + z_2 = 9 + 26 = 35 \text{ эканлигини эътиборга олсак:}$$

$$\operatorname{inv} \alpha_{\omega} = 0,0149 + \frac{2 \cdot 0,75 \cdot 0,364}{35} = 0,030503, \text{ 1-иловага күра:}$$

$$\alpha_{\omega} = 25^\circ 08', \text{ 2-иловага күра } \cos 25^\circ 08' = 0,90532$$

4. Бўлувчи айланалар радиуслари (9.4)

$$r_1 = \frac{8 \cdot 9}{2} = 36 \text{ мм. } r_2 = \frac{8 \cdot 26}{2} = 104 \text{ мм.}$$

5. Асосий айланалар радиуслари (9.14)

$$r_{a_1} = 36 \cdot 0,9397 = 33,8 \text{ мм } r_{a_2} = 104 \cdot 0,9397 = 97,54 \text{ мм}$$

6. Бошланғич айланалар радиуслари: (9.15)

$$r_{\omega_1} = \frac{8 \cdot 9}{2} \cdot \frac{0,9397}{0,9053} = 37,367 \text{ мм } r_{\omega_2} = \frac{8 \cdot 26}{2} \cdot \frac{0,9397}{0,9053} = 107,948 \text{ мм}$$

7. Ўқлар орасидаги масофа (9.6)

$$a_{\omega} = \frac{8(9 + 26)}{2} \cdot \frac{0,9397}{0,9053} = 145,32 \text{ мм}$$

8. Тиш ботиги айланалари радиуслари (9.16)

$$r_{f_1} = 8 \left( \frac{9}{2} + 0,63 - 1 - 0,25 \right) = 31,04 \text{ мм}$$

$$r_{f_2} = 8 \left( \frac{26}{2} - 0,12 - 1 - 0,25 \right) = 94,96 \text{ мм}$$

9. Тиш чўққиси айланалари радиуслари (9.17)

$$r_{a_1} = 145,32 - 94,96 - 0,25 \cdot 8 = 48,355 \text{ мм}$$

$$r_{a_2} = 145,32 - 31,04 - 0,25 \cdot 8 = 112,275 \text{ мм}$$

10. Тиш баландлиги: (9.18)

$$h_1 = 48,355 - 31,04 = 17,315 \text{ мм}$$

$$h_2 = 112,275 - 94,96 = 17,315 \text{ мм}$$

11. Бўлувчи айланалар бўйича тиш қалинликлари: (9.19)

$$s_1 = \frac{8 \cdot 3,14}{2} + 2 \cdot 8 \cdot 0,63 \cdot 0,364 = 16,24;$$

$$s_2 = \frac{8 \cdot 3,14}{2} + 2 \cdot 8 \cdot 0,12 \cdot 0,364 = 13,25 \text{ мм}$$

12. Асосий айлана бўйича илашиш ёйи, узунлиги (9.20)

$$q\alpha = \sqrt{48,355^2 - 33,8^2} + \sqrt{112,275^2 - 97,54^2} - 145,32 \cdot 0,4247 = 28,1 \text{ мм.}$$

13. Қопланиш коэффициенти (9.21)

$$\epsilon = \frac{28,1}{3,14 \cdot 8 \cdot 0,9397} = 1,19$$

Аниқланган қиймат рухсат этилгандан каттадир, яъни:  $1,19 > 1,1$   
Тишни ўткирлашувини текширамиз.

Тиш чўққиси айланаси бўйича тиш қалинлиги қўйидаги формула-  
га кўра аниқланади:

$$S_{ra} = m \frac{\cos \alpha}{\cos \alpha_a} \left[ \frac{\pi}{2} + 2 \cdot \chi \cdot \operatorname{tg} \alpha - z (\operatorname{inv} \alpha_a - \operatorname{inv} \alpha) \right] \quad (9.24)$$

Ҳисоблашдан аввалроқ қўйидагиларни аниқлаб оламиз:

$$\begin{aligned} \text{a) } \cos \alpha_{a_1} &= \frac{r_{a_1}}{r_{a_1}} = \frac{33,8}{48,351} = 0,70313 \\ \alpha_{a_1} &= 45^\circ 19' \end{aligned} \quad (9.25)$$

$$\operatorname{inv} 45^\circ 19' = 0,22019$$

$$6) \cos \alpha_{a_1} = \frac{r_{a_2}}{r_{a_1}} = \frac{97,54}{112,275} = 0,86875 \quad (9.25')$$

$$\alpha_{a_2} = 29^\circ 41'$$

$$\operatorname{inv} 29^\circ 41' = 0,051993$$

$$s_{ra_1} = 8 \frac{0,9397}{0,70313} \cdot \left[ \frac{3,14}{2} + 2 \cdot 0,63 \cdot 0,364 - 9 (0,22019 - 0,014904) \right] \\ = 1,944 \text{ мм.}$$

$$s_{ra_2} = 8 \frac{0,9397}{0,86875} \left[ \frac{3,14}{2} + 2 \cdot 0,12 \cdot 0,364 - 26 (0,0519933 - 0,014904) \right] \\ = 6,017 \text{ мм.}$$

$$\frac{s_{ra_1}}{m} = \frac{1,944}{8} = 0,243 \quad S_{ra_1} = 0,243 \cdot m > 0,2m$$

$$\frac{s_{ra_2}}{m} = \frac{6,017}{8} = 0,752 \quad S_{ra_2} = 0,752 \cdot m > 0,2m$$

Ясовчи контурнинг ўрта модуль чизиги бўйича тиш қалинлиги  
(9.2)

$$s = \frac{\pi \cdot m}{2} = \frac{3,14 \cdot 8}{2} = 12,56 \text{ мм}$$

Тиш қадами (9.22)  $P = \pi \cdot m = 3,14 \cdot 8 = 25,12 \text{ мм}$

Тиш бўйининг эгриланиш радиуси (9.23)

$$r_f = \frac{0,25 \cdot 8}{1 - 0,3402} = 3,040 \text{ мм.}$$

#### 8- §. ТИШЛИ УЗАТМАНИ КУДРЯВЦЕВ ЖАДВАЛЛАРИДАН ФОЙДАЛАНИБ ҲИСОБЛАШ

1. В. И. Кудрявцев жадвалларида келтирилган силжиш коэффициентларининг қийматлари тишларнинг контакт мустаҳкамлигини ва ейилишга чидамлилигини ошириш нуқтаи назаридан танланган.

Кудрявцев жадваллари ва номограммаларидан фойдаланганда шу нарсани ҳисобга олиш керакки, ўқлараро масофа  $a_\omega$  ни ва бошлангич айланалар радиуслари  $r_{\omega_1}$  ва  $r_{\omega_2}$  ни аниқлаш формулаларига ўқлараро масофанинг ўзгариш коэффициенти  $y$ , тишнинг ботиш баландлиги  $h_a$ , тиш баландлиги  $h$ , ташқи айланана радиуслари  $r_{a_1}$  ва  $r_{a_2}$  ларни аниқлаш формулаларига тескари силжиш коэффициенти  $\Delta y$  киритилган.

Коэффициент  $y$  бўлувчи айланалар орасидаги масофа  $y \cdot t$  қийматга узоқлашганини,  $\Delta y$  эса ноль илашма ғидиракларидағига қараганда тиш баландлигининг  $\Delta y \cdot t$  қийматга камайганлигини билдиради, яъни

1) ўқлараро масофа

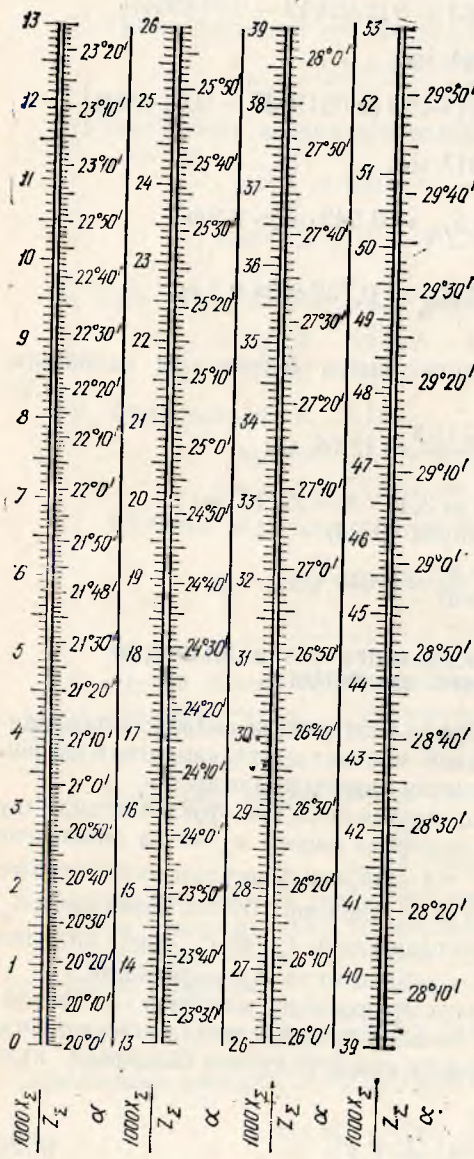
$$a_\omega = m \left( \frac{z_e}{2} + y \right), \quad (9.26)$$

2) бошланғич айланалар радиуслари

$$r_{\omega} = r \left( 1 + \frac{2 \cdot y}{z_2} \right), \quad (9.27)$$

3. тишининг ботиш баландлиги

$$h_a = (2 \cdot h_a^* - \Delta y) m, \quad (9.28)$$



4) тиш баландлиги

$$h = h_a + c^* \cdot m, \quad (9.29)$$

5) тиш чўққиси айланаси-  
нинг радиуси

$$r_a = r_f + h. \quad (9.30)$$

Қолган параметрлар илгари келтирилган (9.14); (9.16); (9.19); (9.20); (9.22); (9.23). формулалар ёрдамида аниқланади.

2. Агар узатманинг узатиш нисбати  $1 \leq u_{12} \leq 2$  бўлса,  $z_1$  нинг қийматига кўра 2-жадвалдан дастлаб тескари силжиш коэффициенти  $\Delta y$  нинг қиймати аниқланади. Сўнгра  $z_1$  ва  $z_2$  қийматларга кўра З-жадвалдан силжиш коэффициентлари  $\chi_1$  ва  $\chi_2$  лар аниқланади. Формула (9.3) га кўра  $\chi_{\Sigma}$  аниқлангач, ўқлашаро масофанинг ўзгариш коэффициенти  $y$  нинг қиймати қуидаги формула бўйича ҳисобланади:

$$y = \chi_{\Sigma} - \Delta y \quad (9.31)$$

Узатманинг илашиш бурчаги 105-шаклда тасвирланган номограммадан аниқланади. Масалан,  $z_2 = 59$ ,  $\chi_{\Sigma} = 1,75$  бўлган узатма учун илашиш бурчаги  $\alpha_{10}$  ни аниқлаш керак бўлса, дастлаб қуидаги ифодани ҳисоблаймиз:

$$\frac{1000 \cdot \chi_{\Sigma}}{z_2} = \frac{1000 \cdot 1,75}{59} = 29,7$$

Сўнгра номограммадаги 29,7 рақами қарплисидан

2- жадвал. Узатиш нисбати  $1 < u_{12} \leq 2$  бўлган ҳол учун  $\Delta y$  нинг қийматлари

|            |       |       |       |       |       |       |       |
|------------|-------|-------|-------|-------|-------|-------|-------|
| $z_1$      | 11    | 12    | 13    | 14    | 15    | 16    | 17    |
| $\Delta y$ | 0,127 | 0,145 | 0,160 | 0,175 | 0,190 | 0,202 | 0,215 |
| $z_1$      | 18    | 19    | 20    | 21    | 22    | 23    | 24    |
| $\Delta y$ | 0,227 | 0,239 | 0,250 | 0,257 | 0,265 | 0,272 | 0,278 |

$\alpha_\omega = 26^\circ 36'$  ни топамиз. Қолган параметрлар қийматлари юқорида келтирилган формулалар бўйича ҳисобланади.

3. Агар узатманинг узатиш нисбати  $2 < u_{12} \leq 5$  бўлса, у ҳолда  $z_1$  нинг қийматига кўра 4- жадвалдан  $\Delta y$  ва  $\chi_1$  нинг қийматлари, сўнгра  $z_1$  ва  $z_2$  қийматларга кўра 5- жадвалдан  $\chi_2$  нинг қиймати аниқланади. Сўнгра қолган параметрлар қийматлари юқорида баён этилган тартибда аниқланади.

**Мисол.** Ўқлараро масофа ихтиёрий танланадиган тўғри тишли ташки илашмали узатма қўйида берилганларга кўра ҳисоблансин.

а) қирқувчи рейкасимон асбоб параметрлари:

$$m = 8 \text{ мм}; \alpha = 20^\circ; h_a^* = 1; c^* = 0,25;$$

б) фидиракларни тишлари сони  $z_1 = 11; z_2 = 21$ .

**Ечиш.** 1) Фидираклар учун силжиш коэффициентларининг минимал қийматлари (9.7) формулага асосан:

$$\chi_{1\min} = \frac{17 - 11}{17} = 0,3529,$$

$$\chi_{2\min} = \frac{17 - 21}{17} = -0,2353.$$

2) Узатиш нисбати  $u_{12} = \frac{z_2}{z_1} = \frac{21}{11} = 1,91$  бўлганлиги сабабли 2-жадвалга кўра  $\Delta y$  қийматни, сўнгра 3- жадвалга кўра  $\chi_1$  ва  $\chi_2$  қийматларни аниқлаймиз:  $\Delta y = 0,127$ ,  $\chi_1 = 0,617$ ,  $\chi_2 = 0,299$ .

3) Узатма учун фидираклар тишлари сони йиғиндиси  $z_2$  ва силжиш коэффициентлари йиғиндиси  $\chi_2$  га кўра илашиш бурчаги  $\alpha_\omega$  ни иниқлаймиз. Бунинг учун:

$$\chi_2 = \chi_1 + \chi_2 = 0,617 + 0,299 = 0,916, \quad z_2 = z_1 + z_2 = 11 + 21 = 32.$$

$\frac{1000 \chi_2}{z_2} = \frac{1000 \cdot 0,916}{32} = 28,625$  ларни ҳисоблаб, 105- шаклдаги номограммадан  $\alpha_\omega = 26^\circ 26'$  ни аниқлаймиз.

4) Ўқлараро масофанинг ўзгариш коэффициенти (9.31) формулага асосан:

$$y = 0,916 - 0,127 = 0,789.$$

| $\epsilon_1$ | 11       | 12       | 13       | 14       | 15       | 16       | 17       | 18       | 19       | 20       | 21       | 22       | 23       | 24       |
|--------------|----------|----------|----------|----------|----------|----------|----------|----------|----------|----------|----------|----------|----------|----------|
| $\epsilon_2$ | $\chi_1$ | $\chi_2$ |
| 11           | 0,395    | 0,395    | —        | —        | —        | —        | —        | —        | —        | —        | —        | —        | —        | —        |
| 12           | 0,432    | 0,372    | 0,444    | 0,444    | —        | —        | —        | —        | —        | —        | —        | —        | —        | —        |
| 13           | 0,464    | 0,354    | 0,479    | 0,423    | 0,486    | 0,486    | —        | —        | —        | —        | —        | —        | —        | —        |
| 14           | 0,490    | 0,341    | 0,450    | 0,400    | 0,524    | 0,461    | 0,525    | 0,525    | —        | —        | —        | —        | —        | —        |
| 15           | 0,513    | 0,330    | 0,543    | 0,386    | 0,557    | 0,443    | 0,565    | 0,566    | 0,571    | 0,571    | —        | —        | —        | —        |
| 16           | 0,534    | 0,322    | 0,566    | 0,376    | 0,588    | 0,426    | 0,600    | 0,485    | 0,609    | 0,547    | 0,608    | —        | —        | —        |
| 17           | 0,551    | 0,317    | 0,589    | 0,365    | 0,614    | 0,414    | 0,631    | 0,468    | 0,644    | 0,526    | 0,644    | 0,586    | 0,646    | 0,646    |
| 18           | 0,568    | 0,312    | 0,609    | 0,358    | 0,636    | 0,405    | 0,611    | 0,422    | 0,677    | 0,508    | 0,678    | 0,566    | 0,683    | 0,624    |
| 19           | 0,584    | 0,308    | 0,626    | 0,353    | 0,659    | 0,394    | 0,686    | 0,441    | 0,706    | 0,492    | 0,716    | 0,542    | 0,720    | 0,601    |
| 20           | 0,601    | 0,303    | 0,646    | 0,345    | 0,676    | 0,389    | 0,706    | 0,433    | 0,751    | 0,481    | 0,744    | 0,528    | 0,756    | 0,580    |
| 21           | 0,617    | 0,299    | 0,663    | 0,341    | 0,694    | 0,384    | 0,726    | 0,426    | 0,754    | 0,472    | 0,766    | 0,519    | 0,781    | 0,568    |
| 22           | 0,630    | 0,297    | 0,679    | 0,337    | 0,714    | 0,376    | 0,745    | 0,419    | 0,775    | 0,463    | 0,793    | 0,517    | 0,809    | 0,554    |
| 23           | —        | —        | 0,693    | 0,334    | 0,730    | 0,372    | 0,763    | 0,414    | 0,792    | 0,458    | 0,815    | 0,497    | 0,833    | 0,543    |
| 24           | —        | —        | 0,706    | 0,333    | 0,745    | 0,369    | 0,780    | 0,409    | 0,813    | 0,449    | 0,834    | 0,491    | 0,856    | 0,534    |
| 25           | —        | —        | 0,758    | 0,368    | 0,758    | 0,368    | 0,796    | 0,405    | 0,830    | 0,455    | 0,854    | 0,483    | 0,878    | 0,526    |
| 26           | —        | —        | —        | —        | 0,773    | 0,365    | 0,818    | 0,400    | 0,848    | 0,440    | 0,869    | 0,480    | 0,889    | 0,517    |
| 27           | —        | —        | —        | —        | —        | 0,826    | 0,399    | 0,888    | 0,438    | 0,902    | 0,470    | 0,916    | 0,511    | 0,937    |
| 28           | —        | —        | —        | —        | —        | 0,840    | 0,397    | 0,881    | 0,431    | 0,907    | 0,467    | 0,936    | 0,504    | 0,953    |
| 29           | —        | —        | —        | —        | —        | —        | 0,894    | 0,430    | 0,931    | 0,465    | 0,952    | 0,500    | 0,986    | 0,500    |
| 30           | —        | —        | —        | —        | —        | —        | 0,908    | 0,428    | 0,936    | 0,462    | 0,968    | 0,496    | 0,989    | 0,500    |
| 31           | —        | —        | —        | —        | —        | —        | —        | 0,951    | 0,459    | 0,981    | 0,495    | —        | 0,999    | 0,490    |
| 32           | —        | —        | —        | —        | —        | —        | —        | 0,987    | 0,455    | 0,999    | 0,499    | —        | 1,014    | 0,487    |
| 33           | —        | —        | —        | —        | —        | —        | —        | —        | 1,030    | 0,483    | —        | —        | —        | —        |
| 34           | —        | —        | —        | —        | —        | —        | —        | —        | —        | —        | —        | —        | —        | —        |
| 35           | —        | —        | —        | —        | —        | —        | —        | —        | —        | —        | —        | —        | —        | —        |
| 36           | —        | —        | —        | —        | —        | —        | —        | —        | —        | —        | —        | —        | —        | —        |
| 37           | —        | —        | —        | —        | —        | —        | —        | —        | —        | —        | —        | —        | —        | —        |
| 38           | —        | —        | —        | —        | —        | —        | —        | —        | —        | —        | —        | —        | —        | —        |
| 39           | —        | —        | —        | —        | —        | —        | —        | —        | —        | —        | —        | —        | —        | —        |
| 40           | —        | —        | —        | —        | —        | —        | —        | —        | —        | —        | —        | —        | —        | —        |
| 41           | —        | —        | —        | —        | —        | —        | —        | —        | —        | —        | —        | —        | —        | —        |
| 42           | —        | —        | —        | —        | —        | —        | —        | —        | —        | —        | —        | —        | —        | —        |
| 43           | —        | —        | —        | —        | —        | —        | —        | —        | —        | —        | —        | —        | —        | —        |
| 44           | —        | —        | —        | —        | —        | —        | —        | —        | —        | —        | —        | —        | —        | —        |
| 45           | —        | —        | —        | —        | —        | —        | —        | —        | —        | —        | —        | —        | —        | —        |
| 46           | —        | —        | —        | —        | —        | —        | —        | —        | —        | —        | —        | —        | —        | —        |
| 47           | —        | —        | —        | —        | —        | —        | —        | —        | —        | —        | —        | —        | —        | —        |
| 48           | —        | —        | —        | —        | —        | —        | —        | —        | —        | —        | —        | —        | —        | —        |

5) Бүлүвчи айланалар радиустары (9.4) формулага асасан:

$$r_1 = \frac{8 \cdot 11}{2} = 44 \text{ ММ}, r_2 = \frac{8 \cdot 21}{2} = 84 \text{ ММ}.$$

6) Ассоий айланалар радиустары (9.14) формулага асасан:

$$r_{\omega_1} = 44 \cdot 0,9397 = 41,3468 \text{ ММ}, r_{\omega_2} = 84 \cdot 0,9397 = 78,935 \text{ ММ}.$$

7) Болшандырған айланалар радиустары (9.27) формулага асасан:

$$r_{\omega_1} = 44 \left( 1 + \frac{2 \cdot 0.789}{32} \right) = 46,169 \text{ ММ}, r_{\omega_2} = 84 \left( 1 + \frac{2 \cdot 0.789}{32} \right) = 88,1412 \text{ ММ}.$$

8) Шұлгаро масоға (9.26) формулага асасан:

$$a_{\omega} = 8 \left( \frac{32}{2} + 0,729 \right) = 134,132 \text{ ММ.}$$

9) Тиши ботиги айланалари радиустары (9.16) формулага асасан:

$$r_{I_1} = 8 \left( \frac{11}{2} + 0,617 - 1 - 0,25 \right) = 38,936 \text{ ММ,}$$

$$r_{I_2} = 8 \left( \frac{21}{2} + 0,299 - 1 - 0,25 \right) = 76,392 \text{ ММ.}$$

**4- жадвал.** Узатиш нисбати  $2 < u_{12} \leq 5$  бўлган ҳол учун  $\Delta y$  ва  $\chi_1$  нинг қийматлари

| $\chi_1$   | 11   | 12   | 13   | 14   | 15   | 16   | 17   | 18   | 19   | 20   | 21   |
|------------|------|------|------|------|------|------|------|------|------|------|------|
| $\Delta y$ | 0,16 | 0,17 | 0,18 | 0,19 | 0,20 | 0,21 | 0,22 | 0,23 | 0,24 | 0,25 | 0,26 |
| $\chi_1$   | 0,66 | 0,73 | 0,80 | 0,86 | 0,92 | 0,98 | 1,04 | 1,10 | 1,16 | 1,22 | 1,27 |

**5- жадвал.** Узатиш нисбати  $2 < u_{12} \leq 5$  бўлган ҳол учун  $\chi_2$  нинг қийматлари

| $\chi_2$ нинг<br>қийматлари | z <sub>1</sub> нинг қийматлари |       |       |       |       |       |       |       |       |       |       |
|-----------------------------|--------------------------------|-------|-------|-------|-------|-------|-------|-------|-------|-------|-------|
|                             | 11                             | 12    | 13    | 14    | 15    | 16    | 17    | 18    | 19    | 20    | 21    |
| 25                          | 0,442                          | 0,425 | —     | —     | —     | —     | —     | —     | —     | —     | —     |
| 30                          | 0,501                          | 0,486 | 0,471 | 0,463 | —     | —     | —     | —     | —     | —     | —     |
| 35                          | 0,556                          | 0,542 | 0,528 | 0,522 | 0,518 | 0,512 | 0,505 | —     | —     | —     | —     |
| 40                          | 0,610                          | 0,596 | 0,582 | 0,577 | 0,575 | 0,569 | 0,560 | 0,560 | 0,553 | —     | —     |
| 45                          | 0,661                          | 0,648 | 0,635 | 0,632 | 0,628 | 0,624 | 0,620 | 0,616 | 0,611 | 0,606 | 0,566 |
| 50                          | 0,709                          | 0,696 | 0,685 | 0,684 | 0,682 | 0,677 | 0,674 | 0,671 | 0,667 | 0,662 | 0,623 |
| 55                          | 0,754                          | 0,745 | 0,734 | 0,732 | 0,731 | 0,728 | 0,727 | 0,722 | 0,720 | 0,716 | 0,677 |
| 60                          | —                              | 0,789 | 0,782 | 0,780 | 0,779 | 0,778 | 0,777 | 0,773 | 0,772 | 0,769 | 0,729 |
| 65                          | —                              | —     | 0,822 | 0,825 | 0,826 | 0,827 | 0,825 | 0,823 | 0,821 | 0,820 | 0,778 |
| 70                          | —                              | —     | —     | 0,866 | 0,870 | 0,872 | 0,874 | 0,871 | 0,869 | 0,868 | 0,828 |
| 75                          | —                              | —     | —     | —     | 0,909 | 0,914 | 0,917 | 0,920 | 0,919 | 0,916 | 0,876 |
| 80                          | —                              | —     | —     | —     | —     | 0,954 | 0,957 | 0,961 | 0,962 | 0,965 | 0,924 |
| 85                          | —                              | —     | —     | —     | —     | —     | 0,998 | 1,01  | 1,003 | 1,008 | 0,964 |
| 90                          | —                              | —     | —     | —     | —     | —     | —     | 1,042 | 1,046 | 1,048 | 1,005 |
| 95                          | —                              | —     | —     | —     | —     | —     | —     | —     | 1,086 | 1,088 | 1,045 |
| 100                         | —                              | —     | —     | —     | —     | —     | —     | —     | —     | 1,129 | 1,087 |
| 105                         | —                              | —     | —     | —     | —     | —     | —     | —     | —     | —     | 1,131 |

10) Тишнинг ботиш баландлиги (9.28) формулага асосан:

$$h_a = (2 \cdot 1 - 0,127) \cdot 8 = 14,984 \text{ мм.}$$

11) Тиш баландлиги (9.29) формулага асосан:

$$h = 14,984 + 0,25 \cdot 8 = 16,984 \text{ мм.}$$

12) Тиш чўққиси айланалари радиуслари (9.30) формулага асосан:

$$r_{a_1} = 38,936 + 16,984 = 55,92 \text{ мм,}$$

$$r_{a_2} = 76,392 + 16,984 = 93,376 \text{ мм.}$$

Ҳисоблашларнинг тўғрилиги қуйидагича текширилади:

$$a_w = r_{f_1} + c^* \cdot m + r_{a_1} = 38,936 + 0,25 \cdot 8 + 93,376 = 134,312 \text{ мм,}$$

$$a_w = r_{f_2} + c^* \cdot m + r_{a_2} = 76,392 + 0,25 \cdot 8 + 55,92 = 134,312 \text{ мм.}$$

13) Бўлувчи айланалар бўйича тиш қалинлиги (9.19) формулага асосан:

$$s_1 = \frac{3,14 \cdot 8}{2} + 2 \cdot 0,617 \cdot 8 \cdot 0,364 = 16,1536 \text{ мм},$$

$$s_2 = \frac{3,14 \cdot 8}{2} + 2 \cdot 0,299 \cdot 8 \cdot 0,364 = 14,3016 \text{ мм}.$$

14) Станок илашмаси учун асосий контур ўрта модуль чизиги бўйича тиш қалинлиги (9.2) формулага асосан:

$$s = \frac{3,14 \cdot 8}{2} = 12,56 \text{ мм}.$$

15) Бўлувчи айлана бўйича тиш қадами (9.22) формулага асосан:

$$p = \pi \cdot m = 3,14 \cdot 8 = 25,12 \text{ мм}.$$

16) Тиш бўйининг эгриланиш радиуси (9.23) формулага асосан:

$$r_t = \frac{0,25 \cdot 8}{1 - 0,34202} = 3,04 \text{ мм}.$$

4. Узатма олдиндан белгиланган ўқлараро масофа  $a_{\omega}$ , узатиш нисбати  $u_{12}$  ва модуль  $m$  ларга кўра қўйидаги тартибда ҳисобланади. Узатмани ноль узатма деб қараб қўйидаги тенгламаларни ёзамиш:

1)  $z'_1 + z'_2 = \frac{2 \cdot a_{\omega}}{m}$  ва  $u_{12} = \frac{z'_2}{z'_1}$  ифодалар биргаликда ечилиб, ғилди-ракларнинг шартли тишлари сони  $z'_1$  ва  $z'_2$  нинг қийматлари аниқланади. Агар улар бутун сон бўлса  $z'_1 = z_1$ ;  $z'_2 = z_2$  бўлади. Агар  $z'_1$  ва  $z'_2$  қийматлари бутун сонлар бўлмаса, уларнинг узатиш нисбати  $u_{12}$  ни рухсат этилган нисбий хато доирасида қансатлантирадиган бутун  $z_1$  ва  $z_2$  сонларга яхлитлаш керак бўлади.

2) Формула (9.5) га кўра  $a = \frac{m(z_1 + z_2)}{2}$  ифода қиймати ҳисобланади.

3) Формула (9.26) га кўра ўқлараро масофанинг ўзгариш коэффициенти  $y$  аниқланади:

$$y = \frac{a_{\omega} - a}{m}.$$

Ҳисоблаш ишлари аналитик усулда давом эттирилганда<sup>1</sup>

(4) силжиш коэффициентларининг йиғиндиси формула (9.13) га кўра аниқланади:

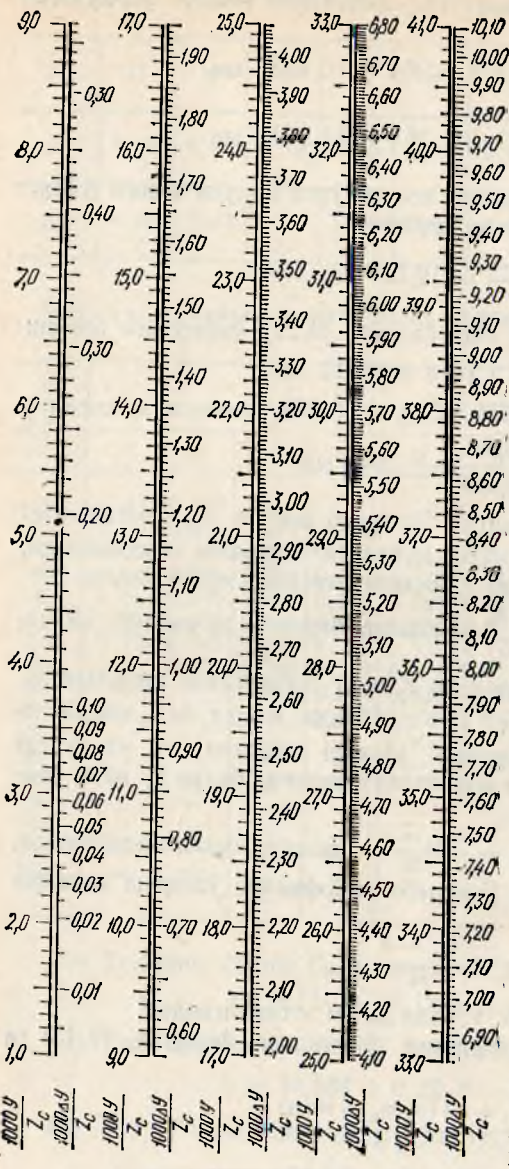
$$\chi_{\Sigma} = \frac{(z_1 + z_2)(\operatorname{inv} \alpha_{\omega} - \operatorname{inv} \alpha)}{2 \cdot \operatorname{tg} \alpha}.$$

5) Илашиш бурчаги  $\alpha_{\omega}$  қўйидаги формуладан аниқланади:

$$\cos \alpha_{\omega} = \frac{\varrho \cdot \cos \alpha}{a_{\omega}}. \quad (9.32)$$

6) Тескари силжиш коэффициенти  $\Delta y$  формула (9.31) га кўра аниқланади:

$$\Delta y = y_{\Sigma} - y,$$



·06- шакл.

7) Аниқланган  $\chi_2$  нинг қийматини ташкил этувчиларга ажратиш учун формула (9.7) га кўра  $\chi_{1\min}$  ва  $\chi_{2\min}$  ларни аниқлаймиз, сўнгра  $\chi_1$  ва  $\chi_2$  ларни белгилаймиз. Бунда куйидаги муносабат таъминланиши лозим:

$$\chi_1 \geq \chi_{1\min}; \quad \chi_2 \geq \chi_{2\min}.$$

Ҳисоблаш ишлари 4- пунктдан бошлаб графоаналитик усулда давом эттириладиган бўлса.

4') дастлаб тескари силжиш коэффициенти 106- шаклда тасвириланган номограммадан аниқланади. Бунинг учун биз  $\frac{1000 \cdot y}{z_1 + z_2}$  ифодани олдинроқ ҳисоблаб олишимиз зарур бўлади.

5') Сўнгра силжиш коэффициентларининг йиғиндиси  $\chi_2$  ни (9.31) формулага асосан қўйидагича аниқланади:

$$\chi_2 = y + \Delta y.$$

6') Илашиш бурчаги  $\alpha_\omega$  105- шаклда тасвириланган номограммадан аниқланади.

7') Аниқланган  $\chi_2$  нинг қиймати 7- пунктдагидек ташкил этувчиларга ажратилади.

**Мисол.** Олдиндан белгилangan ўқлараро масофаси  $a_\omega = 170$  мм ва узатиш нисбати  $u_{12} = -2,06$  га кўра тўғри тишли ташки илашмали узатма қўйида берилганларга кўра ҳисоблансин.

Қирқувчи рейкасимон асбоб параметрлари  $m = 8$  мм,  $\alpha = 20^\circ$ ,  $h_a^* = 1$ ,  $c^* = 0,25$ .

**Ёчиш.** 1) Фидиракларнинг шартли тишлини сони  $z'_1$  ва  $z'_2$  ни аниқлаймиз:

$$z'_1 = \frac{2 \cdot a_\omega}{m(1 - u_{12})} = \frac{2 \cdot 170}{8(1 + 2,06)} = 13,89.$$

$z_1 = 14$  деб яхлитлаган ҳолда  $z'_2$  ни аниқлаймиз:

$z'_2 = z_1 \cdot u_{12} = 14 \cdot 2,06 = 28,84$ ,  $z_2 = 29$  деб қабул қиласиз. У ҳолда узатиш нисбати:  $u_{12} = -\frac{29}{14} = -2,07$ .

Нисбий хато 5 % дан кам бўлганлиги учун  $z_1 = 14$ ,  $z_2 = 29$  қийматларни қабул қиласиз.

2) а нинг қиймати (9.5) формулага асосан:

$$a = \frac{8(14 + 29)}{2} = 172 \text{ мм.}$$

3) Ўқлараро масофанинг ўзгариш коэффициенти  $y$  ни аниқлаймиз:

$$y = \frac{a_0 - a}{m} = \frac{170 - 172}{8} = -0,25.$$

4) Илашиш бурчаги  $\alpha_\omega$  ни (9.32) формулага асосан аниқлаймиз:

$$\cos \alpha_\omega = \frac{172 \cdot 0,9397}{170} = 0,9508,$$

$$\alpha_\omega = 18^\circ 03' \quad \operatorname{inv} 18^\circ 03' = 0,010853.$$

5) Силжишнинг йиғинди коэффициенти (9.12) формулага асосан:

$$\chi_\Sigma = \frac{(14 + 29)(0,010853 - 0,014904)}{2 \cdot 0,364} = -0,2393.$$

6) Тескари силжиш коэффициенти  $\Delta y$  (9.31) га асосан аниқланади:

$$\Delta y = -0,2393 - (-0,25) = 0,0107.$$

7) Силжиш коэффициентларининг минимал қийматлари (9.7) формулага асосан:

$$\chi_{1\min} = \frac{17 - 14}{17} = 0,1765, \quad \chi_{2\min} = \frac{17 - 29}{17} = 0,7059.$$

$\chi_1 > \chi_{1\min}$  ва  $\chi_2 > \chi_{2\min}$  қабул қиласиз.  $\chi_1 = 0,2$  деб олсак,  $\chi_1 > \chi_{1\min}$  бўлади.  $\chi_2 = \chi_\Sigma - \chi_1 = -0,2393 - 0,2 = -0,4393; -0,4393 > -0,7059$ ; демак,  $\chi_2 > \chi_{2\min}$ .

$\chi_1$  ва  $\chi_2$  қийматлар аниқлаб олинганидан сўнг қолган ҳисоблашлар ўқлараро масофани танлаш ихтиёрий бўлгандагидек давом этади.

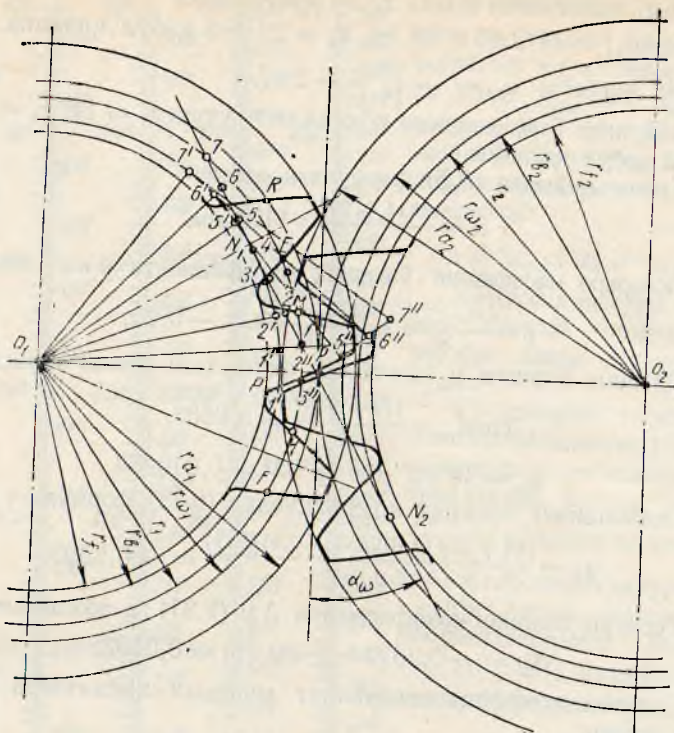
#### 9- §. ТИШЛИ ИЛАЩМА ЭЛЕМЕНТЛАРИНИ ЧИЗИШ

Курс лойихасида чизма масштаб коэффициентини шундай танлаш керакки, тишининг чизмадаги баландлиги 50 мм дан кам бўлмасин.

Тиш профили қўйидаги кетма-кетликда чизилиши мақсаддга мувофиқдир (107- шакл).

1) Чизмада ўзаро ўқлараро масофа  $a_\omega$  ни ташкил қилувчи ғилдираклар марказлари  $O_1$  ва  $O_2$  нуқталарни белгилаймиз. Белгиланган нуқталардан бошланғич  $r_{\omega_1}$  ва  $r_{\omega_2}$ , бўлувчи  $r_1$  ва  $r_2$ , асосий  $r_{\alpha_1}$  ва  $r_{\alpha_2}$ , ташки  $r_{\alpha_1}$   $r_{\alpha_2}$  ҳамда ички  $r_{\beta_1}$  ва  $r_{\beta_2}$  радиусли айланалар ўтказамиз.

Бошланғич айланалар ўзаро илашиш қутби  $P$  да уринади. Ўқларни туташтирувчи чизиқ бўйича бўлувчи айланалар оралиғи  $y \cdot t$  ни



107- шакл.

ташкит қиласди. Ана шу чизиқда бирор ғилдиракнинг ташқи айланаси билан иккинчи ғилдиракнинг ички айланаси орасидаги масофа  $C^*m$  га teng бўлиб, у тишларнинг радиал оралигини билдиради.

2) Илашиш қутби  $P$  нуқтадан ҳар иккала асосий айланага уринма қилиб илашиш чизиги  $N_1$ ,  $N_2$  ўтказилади. Илашиш чизигининг ўқлар чизигига  $P$  қутбдан ўтказилган перпендикуляр чизик билан ҳосил қилган бурчаги илашиш бурчаги  $\alpha_\omega$  бўлади. ( $N_1P$ ) кесмани узунлиги 15—20 мм оралиғида бўлган ўзаро teng бўлакларга ажратамиз [т]. ( $P1$ ) = (12) = (23) = ... бўлаклар, ( $\overline{N_1P}$ ) ёйни ҳам шунча бўлакларга бўламиз ( $\overline{(P'1')} = \overline{(1'2')} = \overline{(2'3')} = \dots$ ). Шунингдек,  $PN_1$  чизигининг  $N_1$  нуқтаси давомида ҳам ( $P1$ ) кесмага teng бўлган кесма бўлакларини белгилаймиз ((45) = (56) = ...). Унга мес равищда асосий айланадаги  $P_1N_1$  ёйнинг  $N_1$  нуқтаси давомида ўлчами ( $P'1'$ ) ёй бўлагига teng бўлган ёй бўлаклари ( $\overline{(4'5')} = \overline{(5'6')} = \dots$ ) белгиланади.

Асосий айланадаги  $1'$ ,  $2'$ ,  $3'$ , ... нуқталардан мес равищдаги  $O_11'$ ,  $O_12'$ ,  $O_13'$ , ..., радиусларга перпендикуляр чизиқлар (айланага уринмалар) ўтказилади. Ўтказилган чизиқларнинг уриниш нуқталари  $1'$ ,  $2'$ ,

$3' \dots$  дан ўлчамлари  $(1P)$ ,  $(2P)$ ,  $(3P) \dots$  ларга мос равишда тенг бўлган кесма бўлаклари  $(1' 1'')$ ,  $(2' 2'')$ ,  $(3' 3'')$  ... лар қўйилади.

Ҳосил бўлган  $P'$ ,  $1''$ ,  $2'' \dots$  нуқталар узлуксиз равон эгри чизик билан ўзаро туташтирилиб, биринчи ғилдирак учун эвольвента чизиги қурилади. Иккинчи ғилдиракнинг эвольвента чизиги ҳам худди шу тарзда қурилади.

3) Эвольвента юқори томондан ташқи айлана билан, асос томонда эса ички айланага ўтадиган эгри чизик билан чегараланади.

Шуни, айтиб ўтиш керакки, ички айланана радиуси  $r_1$ , асосий айланана радиуси  $r_b$  дан катта, унга тенг ёки ундан кичик бўлиши мумкин. Бу ҳол ғилдирак тишлари сони ва силжиш коэффициенти  $\chi$  нинг қийматлари билан белгиланади:

$$\text{агар } z \geq \frac{2,5 - 2 \cdot \chi}{0,06} \text{ бўлса, } r_1 \geq r_b ;$$

$$z < \frac{2,5 - 2 \cdot \chi}{0,06} \text{ бўлса, } r_1 < r_b \text{ бўлади.}$$

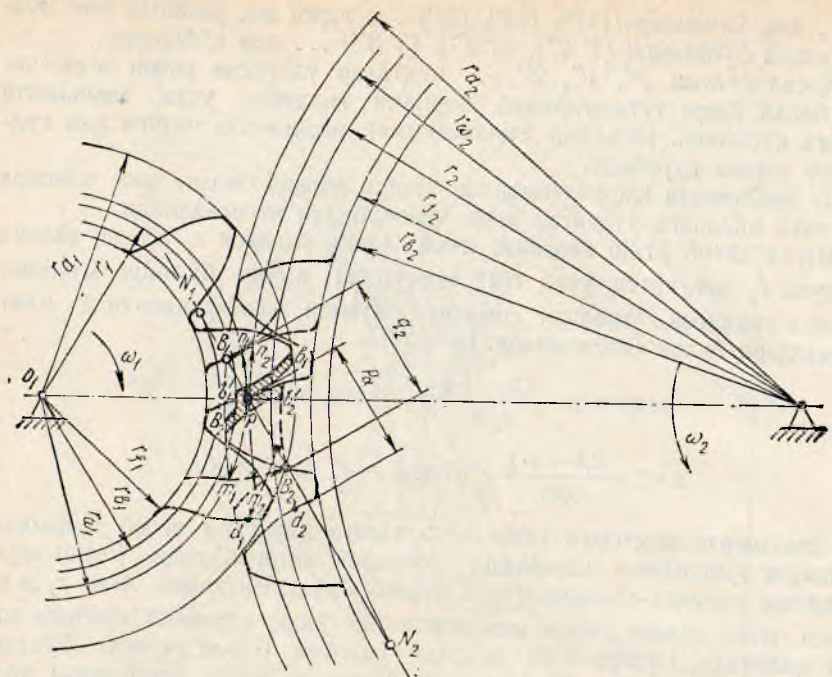
Эвольвента асосидаги ўтиш эгри чизиги қирқувчи асбоб ёрдамида ғилдирак қирқилиши жараёнида ўз-ўзидан ҳосил бўлади. Ўтиш эгри чизигини чизмада соддалаштириб қуришга рухсат этилади. Агар  $z_1 \geq z_b$  бўлса, ички айланана билан эвольвентанинг ўзаро кесишиш нуқтаси ҳосил қилинади. Сўнгра тиш асосида радиуси  $0,3 \cdot t$  га тенг бўлган ўтиш чизиги қурилади. Агар  $r_1 < r_b$  бўлса, у ҳолда эвольвента асосидан ички айланага радиал чизик ўтказилади. Сўнгра тиш асосида радиуси  $0,3 \cdot t$  га тенг бўлган ўтиш эгри чизиги қурилади.

4) Эвольвентанинг бўлувчи айланана билан кесишиш нуқтаси  $B$  дан бошлаб, ҳар бирининг узунлиги тиш қадами  $P = (\pi \cdot t)$  га тенг бўлган  $\sim(BE)$  ёй бўлагини биринчи ғилдирак бўлувчи айланасининг бир томонидан,  $\sim(BF)$  ёй бўлагини эса ана шу ғилдирак бўлувчи айланасининг иккинчи томонидан белгилаймиз. Аниқланган,  $E$ ,  $B$ ,  $F$  нуқталардан ҳар бирининг узунлиги тиш қалинлиги  $s$  га тенг бўлган ёй бўлаклари  $\sim(ER)$ ,  $\sim(BM)$ ,  $\sim(FH)$  ни бўлувчи айланада белгилаймиз. Сўнгра  $\sim(ER)$ ,  $\sim(BM)$ ,  $\sim(FH)$  ёй бўлакларининг тенг ўрталарини белгилаб, белгиланган нуқталарни ғилдирак маркази  $O_1$  нуқта билан туташтирамиз ва тишларнинг симметрия ўқларини ҳосил қиласиз. Шундан сўнг, қаттиқ қоғоздан тиш ярми учун андоза тайёрланиб, қолган тишларнинг эвольвента профиллари қурилади, Ҳар бир ғилдирак учун уттадан тиш профили қурилиши керак.

## 10- §. АКТИВ ИЛАШИШ ЧИЗИГИНИ, ИЛАШИШ ЕЙНИ ВА ТИШ ПРОФИЛИНИНГ АКТИВ ҚИСМИНИ ҚУРИШ

1. Илашиш чизиги. Назарий илашиш чизиги  $N_1 N_2$  нинг  $(B_1 B_2)$  бўлаги актив илашиш чизиги дейилади.

Назарий илашиш чизиги деб асосий айланаларга ўтказилган уринма чизикнинг уриниш нуқталари  $N_1$  ва  $N_2$  ларнинг оралиғидаги бўлагига айтилади. 108- шакл.



108- шакл.

Актив илашиш чизиги деб назарий илашиш чизигининг ташқи айланалар билан кесишүви натижада ҳосил бўлган нуқталар орасидаги бўллагига айтилади. Актив илашиш чизиги тиш профиллари уриниш нуқталарининг геометрик ўрнидир.

2. Тишларнинг ўзаро мос келувчи нуқталари деб турли ғилдираклар тишларида иккита нуқтага айтиладики, улар актив илашиш чизигида ўзаро уринади. Актив илашиш чизигининг бирор  $D$  нуқтасида (108- шакл) ўзаро уринадиган турли ғилдираклар тишлари профилидаги мос нуқталарни аниқлаш учун ана шу нуқтадан биринчи ғилдирак тиш профили билан кесишгунча  $O_1 D$  радиусли ёйни иккинчи ғилдирак тиши профили билан кесишгунча ўтказамиз ва  $d_2$  нуқтани белгилаймиз. Сунгра  $O_2 D$  радиусли ёйни иккинчи ғилдирак тиши профили билан кесишгунча ўтказамиз ва  $d_1$  нуқтани белгилаймиз. Аниқланган  $d_1$  ва  $d_2$  нуқталар тишларнинг ўзаро мос келувчи нуқталари дейилади.

3. Тиш профилларининг иш қисми. Тиш профилларининг илашишда қатнашадиган қисмiga тиш профилининг иш қисми ёки актив қисми дейилади. Тиш профилининг иш қисми узунлигини топиш учун бирор ғилдирак тиш профилининг учига мос келувчи бошқа ғилдирак профилидаги нуқтани аниқлаш керак. Тиш учидан ана шу тишида аниқланган мос нуқтагача бўлган тиш профилининг эволъвента қисми тишининг иш қисмидир.

4. Илашиш ёйи. Бир жуфт тишининг илашиши жараённада бошланғич айланаларга тегишли нуқталарнинг босиб ўтган йўллари илашиш

ёйлари дейилади. Бошланғич айланалар үзаро сирпанмасдан ҳаракат-ланганлиги сабабли иккала илашуви филдирек тегишил илашиш ёйлари узунлиги үзаро тенг бўлади.

Илашиш ёйининг узунлигини аниқлаш учун (108- шакл) тиш профилларини илашиш бошланадиган ва тугайдиган ҳолатларда пункттир чизиқлари билан кўрсатиш керак.

Бошланғич айланаларнинг бу профиллар қесишиши натижасида ҳосил бўлган бўлаклари илашиш ёйлари бўлади.

Чизмада  $\sim (n_1 m_1)$  ва  $\sim (n_2 m_2)$  иккала филдирек бошланғич айланаларидаги илашиш ёйларидир.

5) Қопланиш коэффициенти  $\varepsilon$  ни аниқлаш формуласи:

$$\varepsilon = \frac{(B_1 B_2)}{P_\alpha} = \frac{q_\alpha}{P_\alpha}$$

$\sim (B_1 B_2)$ ,  $q_\alpha$  мос равища актив илашиш чизигини ва асосий айланга бўйича ўлчанадиган илашиш ёйини ифодалайди. Қопланиш коэффициентини аналитик усулда формула (9.21) га кўра аниқлаш мумкин. Қопланиш коэффициенти  $\varepsilon$  нинг қиймати 1 дан кам бўлиши мумкин эмас. Чунки бунда тишлар илашмасида узилиш пайдо бўлиб, натижада тишлар бир-бирига зарб билан урилади ва шовқин кучаяди. Лойиҳалашда  $\varepsilon \geq 1$ , 1 бўлиши талаб қилинади.

### 79 — 84- масалалар.

79 — 84- масалаларни ечишда ҳисоблаш формулаларини 6- жадвалдан олиш мумкин.

79. Параметрлари  $\alpha = 20^\circ$ ,  $m = 10$  мм,  $h_a^* = 1$ ,  $c^* = 0,25$  бўлган рейкасимон қирқувчи асбоб ёрдамида тишлари сони  $z = 20$  бўлган стандарт (ноль) филдирек ҳосил қилинган. Филдирек тишининг бўлувчи ва тиш чўққиси айланалари бўйича ўлчанадиган қалинликлари аниқлансин.

80. Параметрлари  $\alpha = 20^\circ$ ,  $m = 10$  мм,  $h_a^* = 1$ ,  $c^* = 0,25$  бўлган рейкасимон қирқувчи асбоб ёрдамида тишлари сони  $z_1 = 10$ ,  $z_2 = 20$  бўлган филдиреклар ҳосил қилинган. Силжиш коэффициентлари фақат тиш асосида қирқилиш юз бермаслигини таъминлайди ва у ҳар бир филдирек учун  $\chi_{\min} = \frac{z_{\min} - z}{z_{\min}}$  формула ёрдамида ҳисобланади. Узатманинг ўқлараро масофаси  $a_\omega$  аниқлансин.

81. Параметрлари  $\alpha = 20^\circ$ ,  $m = 10$  мм,  $h_a^* = 1$ ,  $c^* = 0,25$  бўлган рейкасимон қирқувчи асбоб ёрдамида тишлари сони  $z = 10$  бўлган филдирек ҳосил қилинган. Тишининг чўққисидан ўтувчи айланга бўйича қалинлиги  $s_a = 3$  мм. Рейканинг силжиш коэффициентини ҳамда силжиш масофаси аниқлансин.

82. Қийматлари маълум бўлган қуйидаги параметрларига кўра филдирекнинг тишлар сони  $z$  аниқлансин:  $r_f = 40$  мм,  $m = 10$  мм,  $\chi = 0,75$ .

83. Эвольвента профилли ташки илашмали узатма лойиҳаланган. Лойиҳаланган филдиреклар учун тишлар сони  $z_1 = 20$ ,  $z_2 = 40$  бўлиб,

## 6- жадвал. Түрли тишли цилиндрик илашманинг асосий үлчамларини ҳисоблаш формулалари

|  |                | Илашманинг тури   |   |   |
|--|----------------|---|---|---|
| Ҳисобланадиган параметрлар             | Белгиси        | Ноль $\chi_{\Sigma} = 0; \chi_1 = \chi_2 = 0; y = \Delta y = 0$ | Ноль (тeng сурилган) $\chi_{\Sigma} = 0; \chi_1 = -\chi_2 \neq 0; y = \Delta y = 0$ | Мусбат ёки манфиј (тeng сурilmagan) $\chi_{\Sigma} \neq 0; y \neq 0; \Delta y \neq 0$ |
| Тиши қадами (бүлувчи айланы бүйича)    | $p$            | $p = \pi \cdot m$   | $p = \pi \cdot m$   | $p = \pi \cdot m$   |
| Бүлувчи айланы радиуси                 | $r_1$          | $r_1 = m \cdot \frac{z_1}{2}$                                   | $r_1 = m \cdot \frac{z_1}{2}$   | $r_1 = m \cdot \frac{z_1}{2}$   |
|  | $r_2$          | $r_2 = m \cdot \frac{z_2}{2}$                                   | $r_2 = m \cdot \frac{z_2}{2}$   | $r_2 = m \cdot \frac{z_2}{2}$   |
| Асосий айланы радиуси                  | $r_{\theta_1}$ | $r_{\theta_1} = r_1 \cdot \cos \alpha$                          | $r_{\theta_1} = r_1 \cdot \cos \alpha$  | $r_{\theta_1} = r_1 \cdot \cos \alpha$  |
|  | $r_{\theta_2}$ | $r_{\theta_2} = r_2 \cdot \cos \alpha$                          | $r_{\theta_2} = r_2 \cdot \cos \alpha$  | $r_{\theta_2} = r_2 \cdot \cos \alpha$  |
| Тиши қалинлиги (бүлувчи айланы бүйича) | $s_1$          | $s_1 = \frac{1}{2} p$   | $s_1 = \frac{1}{2} p + 2 \cdot \chi_1 \cdot m \cdot \operatorname{tg} \alpha$       | $s_1 = \frac{1}{2} p + 2 \cdot \chi_1 \cdot m \cdot \operatorname{tg} \alpha$         |
|  | $s_2$          | $s_2 = \frac{1}{2} p$   | $s_2 = \frac{1}{2} p + 2 \cdot \chi_2 \cdot m \cdot \operatorname{tg} \alpha$       | $s_2 = \frac{1}{2} p + 2 \cdot \chi_2 \cdot m \cdot \operatorname{tg} \alpha$         |

Давоми

|                                    |                        | Илашманинг тури   |   |   |
|------------------------------------|------------------------|---|---|---|
| Ҳисобланадиган параметрлар         | Белгиси                | Ноль $\chi_{\Sigma} = 0; \chi_1 = \chi_2 = 0; \Delta y = 0$ | Ноль (тeng сурилган) $\chi_{\Sigma} = 0; \chi_1 = -\chi_2 \neq 0; y = \Delta y = 0$ | Мусбат ёки манфиј (тeng сурilmagan) $\chi_{\Sigma} \neq 0; y \neq 0; \Delta y \neq 0$ |
| Тиши ботиги айланасининг радиуси   | $r_{f_1}$              | $r_{f_1} = r_1 - m \left( \frac{h^*}{a} + c^* \right)$      | $r_{f_1} = r_1 - m \left( \frac{h^*}{a} + c^* - \chi_1 \right)$                     | $r_{f_1} = r_1 - m \left( \frac{h^*}{a} + c^* - \chi_2 \right)$                       |
|                                    | $r_{f_2}$              | $r_{f_2} = r_2 - m \left( \frac{h^*}{a} + c^* \right)$      | $r_{f_2} = r_2 - m \left( \frac{h^*}{a} + c^* - \chi_2 \right)$                     | $r_{f_2} = r_2 - m \left( \frac{h^*}{a} + c^* - \chi_1 \right)$                       |
| Үқлараро масофа                    | $\frac{a}{a_{\omega}}$ | $a = \frac{m \cdot s_{\Sigma}}{2}$                          | $a = \frac{m \cdot z_{\Sigma}}{2}$  | $a_{\omega} = m \left( \frac{z_{\Sigma}}{2} + y \right)$                              |
| Бошланғич айланы радиуси           | $r_{\omega_1}$         | $r_{\omega_1} = r_1$  | $r_{\omega_1} = r_1$  | $r_{\omega_1} = r_1 \left( 1 + \frac{2 \cdot y}{z_{\Sigma}} \right)$                  |
|                                    | $r_{\omega_2}$         | $r_{\omega_2} = r_2$  | $r_{\omega_2} = r_2$  | $r_{\omega_2} = r_2 \left( 1 + \frac{2 \cdot y}{z_{\Sigma}} \right)$                  |
| Тишининг ботиш баландлиги          | $h_{\alpha}$           | $h_{\alpha} = 2 \cdot m \cdot h_a^*$                        | $h_{\alpha} = 2 \cdot m \cdot h_a^*$  | $h_{\alpha} = m (2 \cdot h_a^* - \Delta y)$   |
| Тиши баландлиги                    | $h$                    | $h = h_{\alpha} + c^* \cdot m$                              | $h = h_{\alpha} + c^* \cdot m$  | $h = h_{\alpha} + c^* \cdot m$  |
| Тиши чүкүксіз айланасининг радиуси | $r_{a_1}$              | $r_{a_1} = r_{f_1} + h$                                     | $r_{a_1} = r_{f_1} + h$   | $r_{a_1} = r_{f_1} + h$   |
|                                    | $r_{a_2}$              | $r_{a_2} = r_{f_2} + h$                                     | $r_{a_2} = r_{f_2} + h$   | $r_{a_2} = r_{f_2} + h$   |

Эслатма: Индексдаги 1 рақами тишилари сони кам бүлгап  $z_1$  ғилдиракка ва 2 рақами тишилари сони күп бүлгап  $z_2$  ғилдиракка тегишли,

улар  $m = 5$  мм га тенг стандарт Филдираклар бўлиши лозим эди. Йиғиш вақтида эса ўқларапо масофа дастлабки ҳисобланган қийматдан 8 мм га ортиқ чиқиб қолди. Ҳосил бўлган илашиш бурчаги  $\alpha_\omega$  ва бошланғич айланалар радиуслари  $r_{\omega_1}, r_{\omega_2}$  лар аниқлансан.

84. Куйида берилган қийматларга кўра узатманинг қопланиш коэффициенти  $\epsilon$  аниқлансан.

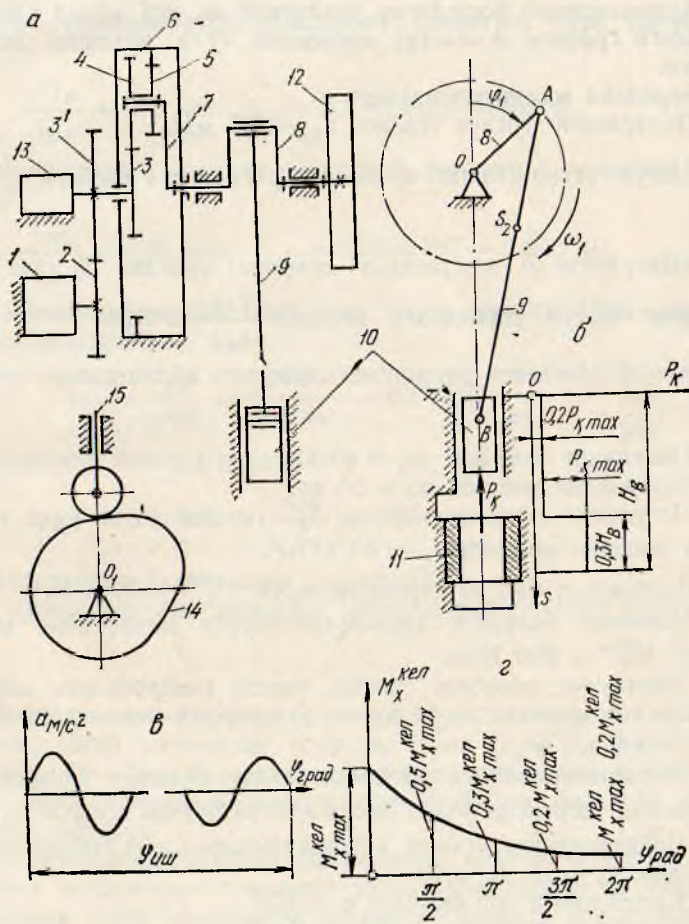
Қирқувчи рейкасимон асбобнинг параметрлари:  $\alpha = 20^\circ$ ,  $m = 10$  мм  $h_a^* = 1$ ,  $c^* = 0,25$ . Филдираклар тишлари сони:  $z_1 = 10$ ,  $z_2 = 20$ . Узатманинг ўқларапо масофаси  $a_\omega = 160$  мм.

Учинчи қисм  
ИШ МАШИНАЛАРИНИ КОМПЛЕКС ЛОЙИХАЛАШ ВА  
ТАДҚИҚ ЭТИШ

**10- боб. КРИВОШИП-ПОЛЗУНЛИ ПРЕССНИ ЛОЙИХАЛАШ ВА  
ТЕКШИРИШ**

**1- §. ПРЕССНИҢ ТУЗИЛИШИ, ЛОЙИХАЛАШ ШАРТЛАРИ, БЕРИЛГАН  
ҚИЙМАТЛАР**

1. Вертикал кривошип-ползунли пресс хом ашёни совуқлайин штамплаш (шунингдек ўйиш, эгиш, тортиш ва ҳ. к.) учун хизмат қиласади.



109- шакл.

Ҳаракат электр двигатели 1 дан (109- шакл, а) тишли илашма 2,3' ҳамда планетар узатма 3, 4, 5 ва унинг водилоси 7 орқали кривошип 8 га узатилади. Кривошип ўз навбатида шатун 9 орқали детални штампловчи ползун 10 га куч узатади. Пресслаш жараёнида ползунга таъсир этувчи қаршилик кучининг ўзгариши қонуни 109- шакл, б да кўрсатилган. Кривошип валидаги ҳаракатлантирувчи момент  $M_{x_{\text{кр}}}$  нинг ўзгариши 109- шакл, г да кўрсатилган. Кривошип валининг ўнг томонида ўрнатилган маховик 12 нинг инерция моменти пресслаш ишининг амалга ошишига ёрдам беради. Валнииг чап томонида ўрнатилган турткичдан мой насоси 13 ҳаракат олади.

Турткич 15 тезланишининг ўзгариши қонуни синусоида кўринишига эга (109- шакл, в).

## 2. Илова.

1) Фидираклар 2, 3 нинг модули 5 га тенг қилиб олинсин.

2) Планетар узатмада сателлитлар сони  $k = 3$  бўлади.

3) Кривошипнинг бошланғич тезлигини  $\omega_1$  деб қабул қилиб, бурчак тезлиги графиги  $\omega = \omega(\varphi)$  кривошип тўла айланиш жараёнида қурилсин.

3. Берилган асосий қийматлар:

1) Ползуннинг ўртача тезлиги  $v_{\text{ср}} = 0,8$  м/с.

2) Шатун узунлигининг кривошип узунлигига нисбати  $\frac{l_{AB}}{l_{OA}} = 3,4$ .

3) Шатуннинг  $A$  нуқтасидан оғирлик маркази  $S_2$  гача бўлган масофанинг шатун узунлигига нисбати  $\frac{l_{AS_2}}{l_{AB}} = 0,28$ .

4) Электр двигатели роторининг минутига айланышлари сони  $n_2 = 1398 \frac{\text{айл}}{\text{мин}}$ .

5) Шатуннинг массаси  $m_2 = 40$  кг.

6) Ползуннинг массаси  $m_3 = 50$  кг.

7) Шатуннинг оғирлик маркази  $S_2$  нуқтадан ўтган ўққа нисбатан олинган инерция моменти  $I_{S_2} = 10 \text{ кг} \cdot \text{м}^2$ .

8) Ползунга қўйилган қаршилик кучи  $P_{\text{к}}^{\max} = 3000$  Н.

9) Кривошип валидаги ҳаракатлантирувчи моментнинг максимал қиймати.  $M_x^{\max} = 200$  Н.м.

10) Айланувчи звенолар (ротор, тишли фидираклар, маховик ра. к.) ларнинг кривошипга келтирилган инерция моментлари йигиндиси  $J_{\text{кр}}^{\max} = 1,4 \text{ кг} \cdot \text{м}^2$ .

11) Механизмни кучга ҳисоблаш учун айланма ҳаракатланувчи бош звенонинг вертикал ўқдан ҳосил қилган бурчак ҳолати:  $\Phi_1 = 150^\circ$ .

12) Лойиҳаланувчи тишли илашма фидираклари тишларининг сон қийматлари:  $z_2 = 12$ ,  $z_3 = 20$ .

13) Кулачокнинг иш бурчаги  $\varphi = 125^\circ$ .

14) Кулачок турткичининг йўли  $h = 10$  мм.

- 15) Экцентритет  $e = 3$  мм.  
 16). Босим бурчагининг максимал қиймати  $\alpha_{\text{рух}} = 30^\circ$ .  
 17). Кривошиппинг минутига айланишлар сони:  $n_8 = 47 \frac{\text{айл}}{\text{мин}}$ .

## 2- §. РИЧАГЛИ МЕХАНИЗМНИ ГЕОМЕТРИК ЛОЙИХАЛАШ ВА УНИНГ ТУЗИЛИШИНИ ТЕКШИРИШ. МЕХАНИЗМ ҲОЛАТИНИ ҚУРИШ

1. Кривошип-ползунли механизм звеноларининг узунлик ўлчамларини аниқлаймиз.

Кривошиппинг узунлиги поршеннинг ўртача тезлиги ва кривошиппинг минутига айланишлари сонига кўра аниқланади:

$$l_{OA} = \frac{15 \cdot v_{\text{рх}}}{n_8} = \frac{15 \cdot 0,8}{47} = 0,255 \text{ м.}$$

Шатун ва кривошип узунликларининг нисбатига кўра шатуннинг узунлиги:

$$\frac{l_{AB}}{l_{OA}} = 3,4 \text{ дан} \quad l_{AB} = 3,4 \cdot 0,255 = 0,867 \text{ м.}$$

Шатун звеносидаги оғирлик маркази  $S_2$  нуқтанинг ҳолатини аниқлаймиз:

$$\frac{l_{AS_2}}{l_{AB}} = 0,28 \text{ дан} \quad l_{AS_2} = 0,28 \cdot 0,867 = 0,243 \text{ м.}$$

Чизма қўламини ҳисобга олиб, энг катта звенога кўра узунлик масштабини белгилаймиз, яъни

$$\mu_t = \frac{l_{AB}}{(AB)} = \frac{0,867 \text{ м}}{340 \text{ мм}} = 0,00255 \frac{\text{м}}{\text{мм}}.$$

Кривошиппинг чизмадаги узунлиги

$$(OA) = \frac{l_{OA}}{\mu_t} = 100 \text{ мм.}$$

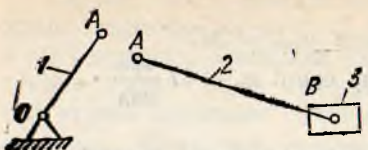
2. Механизмнинг тузилишини текширамиз.

Унинг қўзғалувчанлик даражаси Чебишев формуласига кўра аниқланади:

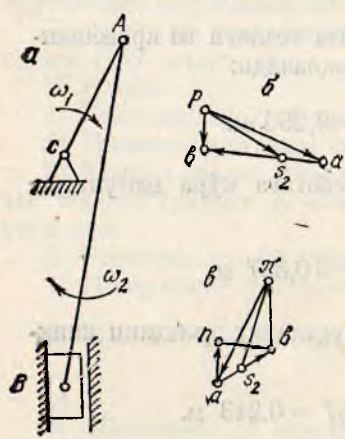
$$W = 3n - 2p_1 - p_2,$$

бунда: қўзғалувчи звенолар сони  $n = 3$ ; Қўйи кинематик жуфтлар сони  $p_1 = 4$ ; Олий кинематик жуфтлар сони  $p_2 = 0$ ; демак,  $W = 3 \cdot 3 - 2 \cdot 4 - 0 = 1$ , яъни механизмнинг ягона етакловчи звеноси бор, Етакловчи звено сифатида ҳаракат қонуни олдиндан берилган кривошиппни қабул қиласиз.

Ассур — Артоболевский классификацияси бўйича берилган механизм I класс механизми—етакловчи звено кривошиппдан ва унга борланган айланма ҳамда илгарилама кинематик жуфтли II класс звеношар группасидан ташкил топган (110- шакл).



110- шакл.



111- шакл.

Демак, механизм II классга оид бўлиб, унинг тузилиш формуласи қуйидагича:

$$I_{(0,1)} \rightarrow II_{(2,3)} .$$

3. Механизм ҳолатини қуриш учун дастлаб кривошипнинг айланиси маркази  $O_1$  нуқтани белгилаймиз.  $O$  нуқтадан цилиндрнинг ўқ чизигини ўтказамиз. Сўнгра кривошипнинг бирор ҳолати қурилади. Қурилган ҳолатнинг шатун билан ҳосил қилувчи айланма кинематик жуфти бўлган  $A$  нуқтани марказ қилиб, шатун узунлигининг чизма ифодасига teng бўлган радиус билан цилиндр ўқини кесиб ўтвичи ёй бўлакчасини ўтказамиз ва шатуннинг ползун билан айланма кинематик жуфти  $B$  нуқтани ҳосил қиласиз. Сўнгра ползун ва цилиндрнинг ҳосил қилган илгарилама кинематик жуфтини тасвирлаймиз. Бунда ползун диаметри узунлик масштабида кўрсатилиади (112- шакл).

Шатунда унинг оғирлик маркази  $S_2$  нуқтани кўрсатиш учун унинг  $A$  нуқтасидан ( $AS_2$ ) кесма ўлчаб қўямиз.

Механизмнинг 12 ҳолатини қуриш учун кривошипнинг ўзаро  $30^\circ$  бурчак билан фарқ қилувчи ҳолатлари қурилади.

**Механизмнинг қолган ҳолатлари юқорида баён этилган тартибда қурилади.**

Шатуннинг 12 ҳолатидаги оғирлик маркази бўлган  $S_2$  нуқталарни лекало эгри чизиги ёрдамида узлуксиз туташтириб  $S_2$  нуқтанинг траекторияси ҳосил қилинади.

### 3- §. МЕХАНИЗМНИ КИНЕМАТИК ТЕҚШИРИШ

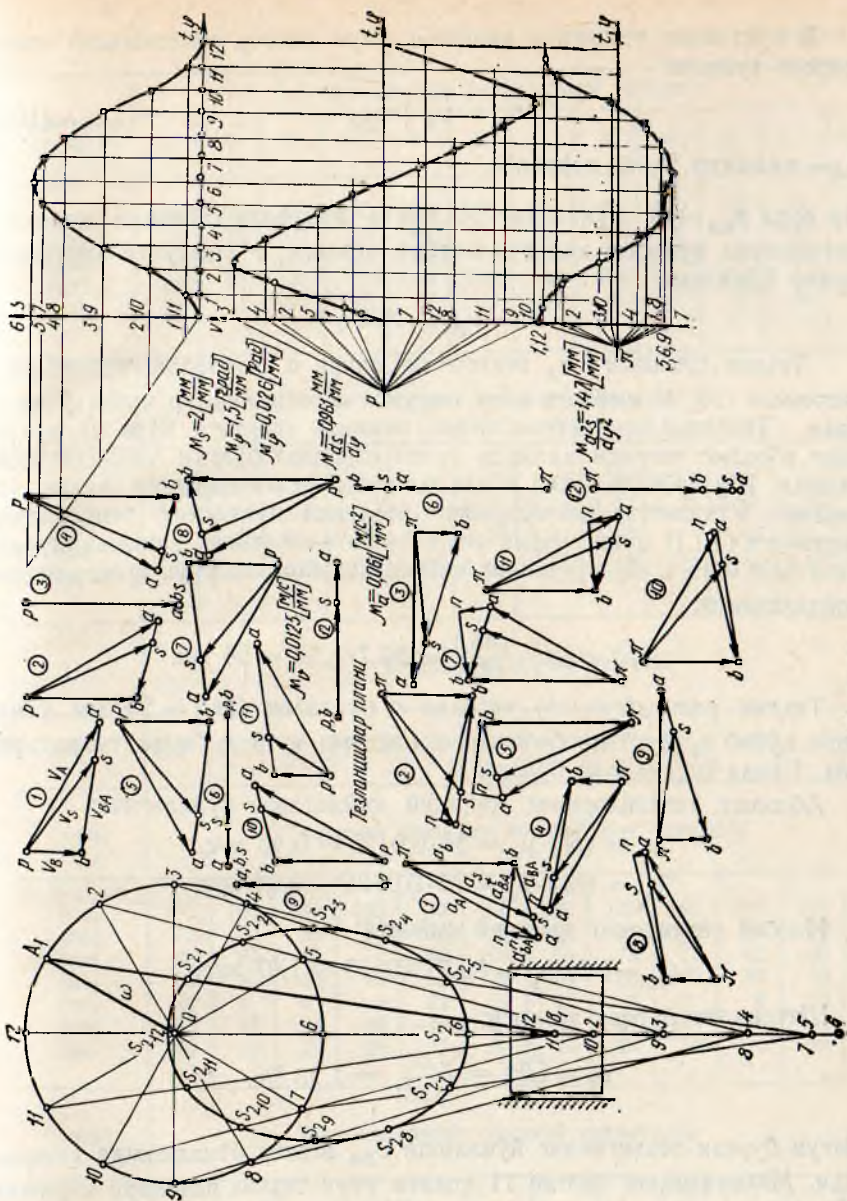
Механизмни кривошипнинг вертикал ўқидан  $30^\circ$  бурчак ҳосил қилувчи вазияти учун кинематик текширамиз (111- шакл ва 112- шакл). Кривошип  $A$  нуқтасининг тезлиги қуйидагича аниқланади:

$$v_A = l_{OA} \cdot \omega_1 .$$

Танланган тезлик қутби  $p_o$  га  $A$  нуқта тезлик векторини бирор ( $pa$ ) = ( $OA$ ) кесма тарзида олиб қўямиз. Бунда  $pa \perp OA$  бўлади.

Тезлик масштаби

$$\begin{aligned} \mu_p &= \frac{\text{ҳақиқий тезлик}}{\text{чизма ифодаси}} = \frac{v_A}{(v_A)} = \frac{(OA) \cdot \mu_t \cdot \omega_1}{(pa)} = \mu_t \cdot \omega_1 = 0,00255 \cdot 4,91 = \\ &= 0,0125 \frac{\text{м/с}}{\text{мм}}, \text{ бу ерда } \omega_1 = \frac{\pi \cdot n_8}{30} = \frac{3,14 \cdot 47}{30} = 4,91 \text{ 1/с.} \end{aligned}$$



112. шага.

*B* нүктанинг тезлигини аниқлаш учун вектор тенгламалар системасини тузамиз:

$$v_B = \overline{v_A} + \vec{v}_{BA} \quad (10.1)$$

$v_B$  — цилиндр ўқига параллел.

Бу ерда  $v_{BA}$  — *B* нүктанинг *A* нүкта атрофида айланма ҳаракати натижасида вужудга келувчи нисбий тезлиги. У шатунга перпендикуляр йўналади:

$$v_{BA} \perp AB.$$

Тезлик планидаги  $\bar{v}_A$  векторнинг охири *a* нүктадан тенгламалар системаси (10.1) шартига кўра шатунга перпендикуляр чизик ўтказалиди. Тенгламалар системасининг иккинчи шартига кўра *B* нүктанинг абсолют тезлиги цилиндр ўқига параллел бўлган чизиқда жойлашиди. Шу сабабли қутб *p*дан цилиндр ўқига параллел чизик ўтказамиз. Ўтказилган чизиқларнинг кесишиш нүктаси *b* тенгламалар системаси (10.1) нинг график усул билан аниқланган ечимини беради, яъни  $(pb) = (v_a)$ .  $S_2$  нүктанинг тезлигини аниқлаш учун пропорциядан фойдаланамиз:

$$(as_2) = (ab) \cdot \frac{(AS_2)}{(AB)} = 85,7 \cdot 0,28 = 24 \text{ мм.}$$

Тезлик планидаги  $(ab)$  кесмада *a* нүктадан  $(as_2) = 24$  мм ўлчамини қўйиб  $s_2$  нүктани белгилаймиз ва уни қутб *p* билан туташтирамиз. Бунда  $(v_{s_2}) = (ps_2)$  бўлади.

Абсолют тезликларнинг ҳақиқий қийматлари қўйидагича:

$$v_a = (pb) \cdot \mu_v = 36 \cdot 0,0125 = 0,45 \text{ м/с,}$$

$$v_{s_2} = (ps_2) \cdot \mu_v = 75 \cdot 0,0125 = 0,94 \text{ м/с.}$$

Нисбий тезликнинг ҳақиқий қиймати:

$$v_{BA} = (ab) \cdot \mu_v = 85,7 \cdot 0,0125 = 1,07 \text{ м/с.}$$

Шатуннинг бурчак тезлиги:

$$\omega_2 = \frac{v_{BA}}{l_{AB}} = \frac{1,07}{0,867} = 1,23 \text{ 1/c.}$$

Шатун бурчак тезлигининг йўналиши  $\vec{v}_{BA}$  вектор йўналишида аниқланади. Механизмнинг қолган 11 ҳолати учун тезлик планлари юқорида бўён этилган усул билан қурилади. Механизмнинг ҳамма ҳолатлари учун звононинг чизиқли тезлик ва бурчак тезлик қийматлари 7-жадвалда келтирилган.

2. Кривошип ўзгармас бурчак тезлик билан ҳаракатланади деб қарасак, *A* нүктанинг тезланиши нормал тезланишдан иборат бўлиб қўйидагича аниқланади:

$$a_A = a_{AO}^n = \omega_1^2 \cdot l_{OA} = \omega_1^2 (OA) \cdot \mu_1.$$

## Тезлик планидаги кесмаларнинг узунлиги

| Параметрлар<br>(мм) | Тезлик планидаги кесмаларнинг узунлиги |     |     |     |     |     |     |     |     |     |     |     |
|---------------------|--|-----|-----|-----|-----|-----|-----|-----|-----|-----|-----|-----|
|                     | 1                                      | 2   | 3   | 4   | 5   | 6   | 7   | 8   | 9   | 10  | 11  | 12  |
| $(pa)$              | 100                                    | 100 | 100 | 100 | 100 | 100 | 100 | 100 | 100 | 100 | 100 | 100 |
| $(pb)$              | 36                                     | 73  | 100 | 99  | 64  | 0   | 63  | 99  | 100 | 73  | 37  | 0   |
| $(ps)$              | 78                                     | 90  | 100 | 97  | 82  | 72  | 82  | 92  | 100 | 90  | 78  | 72  |
| $(ab)$              | 88                                     | 52  | 0   | 52  | 88  | 100 | 88  | 52  | 0   | 52  | 88  | 100 |
| $(as)$              | 24                                     | 13  | 0   | 15  | 24  | 28  | 24  | 15  | 0   | 15  | 24  | 28  |

м/с

## Тезликларнинг ҳақиқий қийматлари

|          |      |      |      |      |      |      |      |      |      |      |      |      |
|----------|------|------|------|------|------|------|------|------|------|------|------|------|
| $v_A$    | 1,25 | 1,25 | 1,25 | 1,25 | 1,25 | 1,25 | 1,25 | 1,25 | 1,25 | 1,25 | 1,25 | 1,25 |
| $v_B$    | 0,45 | 0,91 | 1,25 | 1,23 | 0,8  | 0,7  | 0,78 | 1,23 | 1,25 | 0,91 | 0,46 | 0    |
| $v_{BA}$ | 1,1  | 0,65 | 0    | 0,65 | 1,1  | 1,25 | 1,1  | 0,65 | 0    | 0,65 | 1,1  | 1,25 |
| $v_S$    | 0,97 | 1,12 | 1,25 | 1,21 | 1,02 | 0,9  | 1,02 | 1,15 | 1,25 | 1,12 | 0,97 | 0,9  |

1/c

## Шатуннинг бурчак тезлиги

|            |      |      |   |      |      |      |      |      |   |      |      |      |
|------------|------|------|---|------|------|------|------|------|---|------|------|------|
| $\omega_2$ | 1,27 | 0,75 | 0 | 0,75 | 1,27 | 1,44 | 1,27 | 0,75 | 0 | 0,75 | 1,27 | 1,44 |
|------------|------|------|---|------|------|------|------|------|---|------|------|------|

(мм)

## Тезланиш планидаги кесмаларнинг узунлиги

|           |     |     |     |     |     |     |     |     |     |     |     |     |
|-----------|-----|-----|-----|-----|-----|-----|-----|-----|-----|-----|-----|-----|
| $(\pi a)$ | 100 | 100 | 100 | 100 | 100 | 100 | 100 | 100 | 100 | 100 | 100 | 100 |
| $(\pi b)$ | 72  | 64  | 30  | 36  | 103 | 129 | 100 | 36  | 30  | 66  | 73  | 71  |
| $(\pi s)$ | 90  | 82  | 72  | 77  | 93  | 108 | 99  | 78  | 72  | 82  | 90  | 92  |
| $(ab)$    | 52  | 87  | 104 | 89  | 52  | 29  | 52  | 88  | 104 | 89  | 53  | 29  |
| $(an)$    | 22  | 8   | 0   | 8   | 22  | 29  | 22  | 8   | 0   | 8   | 22  | 29  |
| $(nb)$    | 48  | 87  | 104 | 88  | 48  | 0   | 48  | 87  | 104 | 88  | 48  | 0   |
| $(as)$    | 15  | 24  | 29  | 25  | 15  | 8   | 15  | 24  | 29  | 25  | 15  | 8   |

м/с<sup>2</sup>

## Тезланишларнинг ҳақиқий қийматлари

|               |     |     |     |     |     |     |     |     |     |     |      |     |
|---------------|-----|-----|-----|-----|-----|-----|-----|-----|-----|-----|------|-----|
| $a_A$         | 6,1 | 6,1 | 6,1 | 6,1 | 6,1 | 6,1 | 6,1 | 6,1 | 6,1 | 6,1 | 6,1  | 6,1 |
| $a_B$         | 4,4 | 3,9 | 1,8 | 2,2 | 6,3 | 7,9 | 6,1 | 2,2 | 1,8 | 4,0 | 4,4  | 5,6 |
| $a_s$         | 5,5 | 5,0 | 4,4 | 4,7 | 5,7 | 6,6 | 5,9 | 4,7 | 4,4 | 5,0 | 5,5  | 5,6 |
| $a_{BA}$      | 3,2 | 5,3 | 6,3 | 5,4 | 3,2 | 1,8 | 3,2 | 5,4 | 6,3 | 5,4 | 3,23 | 1,8 |
| $a_{BA}^n$    | 1,3 | 0,5 | 0   | 0,5 | 1,3 | 1,8 | 1,3 | 0,5 | 0   | 0,5 | 1,3  | 1,8 |
| $a_{BA}^\tau$ | 2,9 | 5,3 | 6,3 | 5,4 | 2,9 | 0   | 2,9 | 5,3 | 6,3 | 5,4 | 2,9  | 0   |

| $1/c^2$         | Шатуннинг бурчак тезланиши |      |      |      |     |   |     |      |      |      |     |   |
|-----------------|----------------------------|------|------|------|-----|---|-----|------|------|------|-----|---|
| $\varepsilon_2$ | 3,4                        | 6,16 | 7,37 | 6,23 | 3,4 | 0 | 3,4 | 6,16 | 7,37 | 6,23 | 3,4 | 0 |

Танланган тезланиш қутби  $\pi$  нүктадан  $A$  нүкта тезланиши векторини  $(\pi a) = (OA)$  кесма билан белгилаймиз. Үнинг йұналиши кривошилга параллел бўлиб,  $A$  нүктадан  $O$  нүктага қараб йўналган бўлади. У ҳолда тезланиш масштаби:

$$\mu_a = \frac{a_A}{(\pi a)} = \frac{\omega_1^2 \cdot (OA) \cdot \mu_l}{(\pi a)} = \mu_l \cdot \omega_1^2.$$

Сон қиймати:

$$\mu_a = 0,00255 \cdot 4,91^2 = 0,061 \frac{m/c^2}{mm}.$$

Қиймати ва қайси томонга йўналганилиги номаълум бўлган ползуннинг ( $B$  нүктанинг) тезланишини аниқлаш учун  $B$  нүкта тезланиши вектори  $\vec{a}_B$  ни аниқлашга қулай бўлган ташкил этувчиларга ажратиб, вектор тенгламалар системасини (тезланиш планини қуриш шартини) ёзамиш:

$$\vec{a}_B = \vec{a}_{A_1} + \vec{a}_{BA}^n + \vec{a}_{BA}^\tau \quad (10.2)$$

$\vec{a}_B$  — цилиндр ўқига параллел.

Тенгламалар системасидаги  $\vec{a}_{BA}^n$   $B$  нүктанинг  $A$  нүктага нисбатан нисбий айланма ҳаракатидан вужудга келувчи нормал тезланиши векторидир. Үнинг тезланиш масштабида олинган кесмаси узунлиги:

$$(an) = \frac{a_{BA}^n}{\mu_a} = \frac{(ba)^2}{(AB)} = \frac{85,7^2}{340} = 22 \text{ mm}$$

Бу ерда  $(ab)$  кесма узунлиги тезлик планидан ( $AB$ ) схемадан ўлчаб олинади.

Энди тенгламалар системаси (10.2) нинг 1-тенгламаси шартига кўра  $\vec{a}_A$  векторини ифодаловчи  $(\pi a)$  кесма охиридан  $\vec{a}_{BA}^n$  векторини ифодаловчи  $(an) = 22 \text{ mm}$  кесмани ўлчаб қўямиз. Үнинг таъсир чизиги шатунга параллел жойлашган бўлиб  $B$  нүктадан  $A$  нүктага қараб йўналади. Нормал тезланиш вектори  $\vec{a}_{BA}^\tau$  нинг охири  $n$  нүктадан тангенциал тезланиш вектори  $\vec{a}_{BA}^\tau$  нинг таъсир чизигини шатун  $AB$  га перпендикуляр дилиб ўтказамиш. Тенгламалар системасининг 2-шартига кўра қутб  $\pi$  қан цилиндр ўқига параллел чизик ўтказамиш. Чизиқларнинг кесишши нүкласи  $b$  тенгламалар системасининг график усулдаги ечимини

беради. Аниқланган  $b$  ва  $a$  нуқталар ўзаро туташтирилиб,  $B$  нуқтанинг  $A$  нуқтага нисбатан нисбий тезланиш вектори  $\vec{a}_{BA}$  ни ифодаловчи ( $ab$ ) кесмани ҳосил қиласиз. Шатун оғирлик маркази  $S_2$  нуқтанинг тезланишини аниқлаш учун пропорционал кесмалар усулидан фойдаланамиз:

$$(as_2) = (ab) \cdot \frac{(AS_2)}{(AB)} = 54 \cdot 0,28 = 15 \text{ мм.}$$

Бу ерда ( $ab$ ) — тезланиш планидан олинган кесма узунлиги. Аниқланган нуқтани қутб  $\pi$  билан туташтирувчи кесма  $(\pi s_2) S_2$  нуқтанинг абсолют тезланиш векторини ифодалайди. Тезланишларнинг ҳақиқий қийматлари:

1) ползуннинг абсолют тезланиши:

$$a_B = (\pi b) \cdot \mu_a = 72 \cdot 0,061 = 44 \text{ м/с,}$$

2) шатун оғирлик марказининг абсолют тезланиши:

$$a_{s_2} = (\pi s_2) \cdot \mu_a = 90 \cdot 0,061 = 5,5 \text{ м/с.}$$

3)  $B$  нуқтанинг  $A$  нуқтага нисбатан нисбий тангенциал тезланиши:

$$a_{BA}^t = (nb) \cdot \mu_a = 47,5 \cdot 0,061 = 2,9 \text{ м/с}^2,$$

4) шатуннинг бурчак тезланиши:

$$\varepsilon_2 = \frac{a_{BA}^t}{l_{AB}} = \frac{(nb) \cdot \mu_a}{(AB) \cdot \mu_l} = \frac{(nb)}{(AB)} \cdot \omega^2 = \frac{47,5}{340} \cdot 4,91^2 = 3,4 \text{ 1/с}^2.$$

Бурчак тезланиш  $\varepsilon_2$  нинг йұналиши тангенциал тезланиш вектори  $\vec{a}_{BA}^t$  нинг йұналишида аниқланади.

Механизмнинг қолған ҳолатлари учун звеноларга тегишли нуқтапарнинг тезланишлари 7-жадвалда көлтирилген. Қурилған тезлик ва тезланиш планларига қараб шуни күрамизки, кривошилға тегишли  $A$  нуқта тезликлари  $\omega_1$  бурчак тезлик бүйічка кривошилға тик йұналғандыр. Ползунга тегишли  $B$  нуқтанинг тезлигі құтб  $r$  дан үтувчи вертикаль чизиқда ётади.

$A$  нуқтанинг тезланиши ҳамма ҳолатларда кривошип айланиш марказига томон йұналған бўлади.  $B$  нуқтанинг тезланиши эса қутбдан үтувчи вертикаль чизиқда ётади. Механизмнинг 6 ва 12 ҳолатларда ползуннинг тезлиги нолга теңг бўлиб, 3 ва 9 ҳолатларда энг катта қийматларга әришади.  $B$  нуқтанинг тезланишлари эса механизмнинг 6 ҳолатида энг катта қийматга әришиб, 3 ва 4 ҳолатлар оралиғи ҳамда 8 ва 9 ҳолатлар оралиғидан қиймати 0 га теңг бўлади (қўрилаётган мисолда бу ҳолатлар алоҳида кинематик текширилган эмас). Тезланиш планига қараб шу нарсани күрамизки, 3 ва 9 ҳолатда шатуннинг бурчак тезланишлари энг катта қийматта әришган ҳолда бурчак тезликлари 0 га теңг бўлади. 6 ва 12 ҳолатда эса шатуннинг бурчак тезланиши 0 бўлиб бурчак тезлиги катта қийматларга әришади.

3. Ползун кинематикасини диаграммалар усулида текшириш (112-шакл).

Биз бунда ўзаро вертикал кетма-кетликда жойлашган ползуннинг йўл, тезлик ва тезланиш графикларини кўрамиз. Йўл диаграммасидан қолган бошқа диаграммаларни келтириб чиқаришда ватарлар усули ёрдамида график дифференциаллаймиз.

Йўл диаграммасини қуриш учун  $OS$ ,  $O\varphi$  координата системасининг  $O\varphi$  ўқида кривошипнинг цикл давридаги бурилиш бурчаги  $360^\circ$  ни 240 мм кесма тарзида белгилаймиз. Бу кесма давр вақти  $T = \frac{2\pi}{\omega}$  ни ҳам ифодалайди. 240 мм кесмани оралиги 20 мм дан бўлган тенг 12 бўлакка бўламиз.  $O\varphi$  ўқидаги белгиланган нуқталар  $1, 2, 3$  га ползун  $B$ нич босиб ўтган масофалари  $(B_0 - B_1), (B_0 - B_2), (B_0 - B_3) \dots$  ни мос равишда йўл диаграммасига келтириб қўямиз. Келтирилган  $\sigma_k$  кесмаларнинг учлари лекало эгри чизиги билан туташтирилиб, ползуннинг йўл диаграммаси ҳосил қилинади. Ҳосил қилинган диаграмма график усулда дифференциалланиб, тезлик диаграммаси қурилади. Тезлик диаграммаси иккичи бор график дифференциалланиб, тезланиш диаграммаси ҳосил қилинади.

Диаграммалар учун масштаблар:  
йўл масштаби:

$$\mu_s = \frac{s}{(s)} = 2 \frac{\text{мм}}{\text{мм}},$$

$s$  — йўлнинг ҳақиқий максимал қиймати.

$(s)$  — йўлнинг чизмадаги (максимал) қиймати.

Градусда ифодаланган бурчак масштаби:

$$\mu_\varphi^0 = \frac{\varphi}{(\varphi)} = \frac{360}{240} = 1,5 \frac{\text{град}}{\text{мм}},$$

Радианда ифодаланган бурчак масштаби:

$$\mu_\varphi = \mu_\varphi^0 \cdot \frac{\pi}{180} = 1,5 \cdot \frac{3,1416}{180} = 0,026 \frac{\text{рад}}{\text{мм}}.$$

$\varphi = 360^\circ$  — кривошипнинг тўлиқ айланиш бурчаги.

$(\varphi)$  — бурилиш бурчагининг чизмадаги ифодаси.

Вақт масштаби:  $\mu_t = \frac{60}{n \cdot (\varphi)} = 0,005 \frac{\text{с}}{\text{мм}}$ .

Тезлик аналоги масштаби:

$$\frac{\mu_{ds}}{d\varphi} = \frac{\mu_s}{H_1 \cdot \mu_\varphi} = 0,961 \frac{\text{мм}}{\text{мм}}.$$

Бу ерда  $H_1$  — қутб масофаси. Ҳақиқий тезлик масштаби:

$$\mu_v = \frac{\frac{\mu_{ds} \cdot \omega_1}{d\varphi}}{1000} = 0,0125 \frac{\text{м/с}}{\text{мм}}.$$

$\omega_1$  —  $\frac{\text{рад}}{\text{с}}$  да ифодаланган кривошипнинг ўртача бурчак тезлигидир.

Тезланиш аналоги масштаби:

$$\frac{\mu_{ds}}{\frac{d^2s}{d\varphi^2}} = \frac{\frac{\mu_s}{H_2 \cdot \mu_\varphi}}{H_1 \cdot H_2 \cdot \mu_{\varphi}} = 1,47 \frac{\text{мм}}{\text{мм}},$$

$H_2$  — тезланиш қутб масофаси.

Хақиқий тезланиш масштаби:

$$\mu_a = \frac{\frac{\mu_{ds} \omega_1^2}{d\varphi}}{1000} = 0,061 \frac{\text{м/с}^2}{\text{мм}}.$$

Диаграммаларни күзатында шу парсаны күрамизки 6-ва 12-холатларда ползуннинг тезлик қийматлари 0 га тенг бўлиб 3 ва 4-оралигида ҳамда 8- ва 9-оралигида тезланиш қийматлари 0 га тенг бўлади. Бу ҳолатларда тезлик қийматлари энг катта бўлади.

#### 4- §. ИШ МАШИНАСИНГ ДИНАМИКАСИНИ БАРҚАРОР БЎЛМАГАН РЕЖИМДА ТЕКШИРИШ (113-шакл.)

1. Бунда биз машинанинг ишга тушиши даврида унга таъсир этувчи кучларга кўра механизмнинг ҳаракат қонунини аниқлаймиз.

Машинанинг иш бажариш органи—кривошип-ползунли механизмга қўйидаги кучлар таъсир қиласди:

1) Ползунга таъсир этувчи қаршилик кучи  $P_k$ .

Унинг кривошип тўла айланиш жараёнидаги циклограммаси 109-шакл, б да тасвирланган. Пресслаш вақтида ползунга қўйилган қаршилик кучи  $P_{kmax} = 3000$  Н бўлиб, қолган вақтда унинг қиймати  $P_k = 0,2 \cdot P_{kmax} = 600$  Н.

2) Шатун ва ползуннинг оғирлик кучлари:

$$G_2 = m_2 \cdot g = 40 \cdot 9,81 = 392 \text{Н}; \quad \sigma_3 = m_3 g = 50 \cdot 9,81 = 490 \text{ Н}.$$

3) Кривошипга қўйилган ҳаракатлантирувчи момент.

Ҳаракатлантирувчи момент  $M_x$  нинг кривошип бурилиш бурчагига боғлиқлик диаграммаси (109-шакл, 2) да келтирилган.

2. Келтирилган моментни ҳисоблаш. Бош звенога келтирилган моментлар қийматини механизмнинг асосий ҳолати учун ҳисоблаймиз:

1) Ползунга қўйилган қаршилик кучидан келтирилган момент:

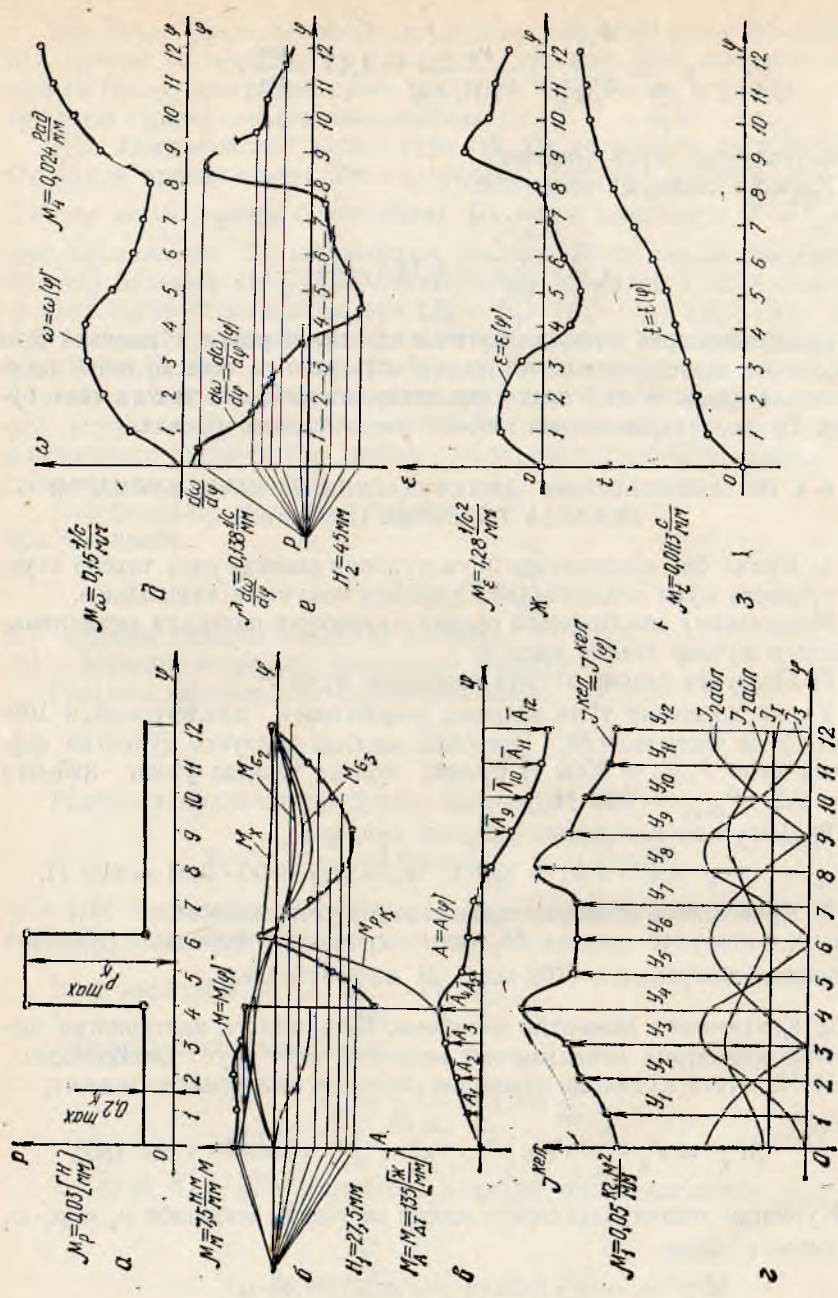
$$M_{k\text{ел}} = P_k \cdot \frac{v_B}{\omega_1} \cdot \cos(\vec{P}_k \cdot \vec{v}_B) = p_k \cdot \frac{(pb) \cdot \mu_v}{\omega_1} \cdot \cos 180^\circ.$$

Курилган тезлик планларига асосан ва тезлик масштаби  $\mu_v = \mu_l \cdot \omega_1$  ни ҳисобга олсак:

$$M_{k\text{ел}} = -p_k \cdot (pb) \cdot \mu_e = -55,08 \text{ Н}\cdot\text{м}.$$

2) Шатун оғирлигидан келтирилган момент:

$$M_{G_2}^{k\text{ел}} = G_2 \cdot (p S_2) \cdot \mu_e \cdot \cos(\vec{G}_2 \cdot \vec{v}_{\gamma}) = 49,72 \text{ Н}\cdot\text{м}.$$



3) Ползун оғирлигидан келтирилган момент:

$$M_{G_3} = G_3 \cdot (pb) \cdot \mu_I \cdot \cos(\vec{G}_3 \cdot \vec{v}_B) = 49,9 \text{ Н} \cdot \text{м.}$$

$\cos(\vec{G}_3 \cdot \vec{v}_B)$  ишораси 0—6 ҳолатларда мусбат 7—12 ҳолатларда манифий бўлади.

Кривошиппинг вертикал ўқ чизигидан  $\frac{\pi}{3}$  рад бурчакка бурилган ҳолатидаги асосий вазиятида унга таъсир қилувчи ҳаракатлантирувчи моментнинг қиймати 109-шакл, га кўра  $M_x = 140 \text{ Н} \cdot \text{м}$  бўлади. Бош звенога келтирилган моментлар йиғиндисининг қийматини механизминг асосий ҳолати учун ҳисоблаймиз:

$$M_1^{\text{кел}} = M_{\kappa}^{\text{кел}} + M_{G_2}^{\text{кел}} + M_{G_3}^{\text{кел}} \times M_x = -55,08 + 44,72 + 49,9 + 140 = 179,62 \text{ Н} \cdot \text{м.}$$

Механизмнинг қолган 11 ҳолати учун алоҳида-алоҳида кучлардан келтирилган моментларнинг қийматлари ҳамда уларнинг йиғиндиси бўлган ҳамма кучлардан келтирилган моментнинг қийматлари 8-жадвалда келтирилган.

Келтирилган моментларнинг энг катта қийматига кўра момент масштабини танлаймиз:

$$\mu_m = 7,5 \frac{\text{Н} \cdot \text{м}}{\text{мм}}.$$

Механизмнинг биринчи ҳолати учун келтирилган моментнинг чизма қиймати:

$$y_1 = \frac{M_1^{\text{кел}}}{\mu_m} = \frac{179,62}{7,5} = 24 \text{ мм.}$$

3. Келтирилган момент ва иш диаграммаларини қуриш. Танланган  $M$ , φ координата системасида кривошиппинг 2 π бурчакка буриш жараёни учун келтирилган моментнинг кривошип бурилиш бурчаги φ га боғлиқлик графиги  $M = M(\phi)$  ни қурамиз (113-шакл, б).

Бурчак масштаби:

$$\mu_\phi = \frac{2\pi}{(0-12)} = 0,024 \frac{\text{рад}}{\text{мм}}.$$

Ҳосил бўлган  $M = M(\phi)$  эгри чизик ватарлар усулида интегралланиб, бажарилган иш графиги  $A = A(\phi)$  ҳосил қилинади (113-шакл, в). Бунда интегралланиш қутб масофаси  $H_1$  олдинроқ танланган иш масштаби  $\mu_A$  га кўра аниқланади. Бунда  $\mu_A = 5 \frac{\text{ж}}{\text{мм}}$ ;

$$H_1 = \frac{\mu_A}{\mu_m \cdot \mu_\phi} = \frac{5}{7,5 \cdot 0,024} = 27,5 \text{ мм.}$$

Ҳосил бўлган бажарилган иш графиги  $A = A(\phi)$  кинетик энергиянинг ўзгариш графиги  $\Delta T = \Delta T(\phi)$  ҳамдир, яъни  $A_i = \Delta T_i$ .

**4. Иш машинасининг кривошип валига келтирилган инерция моментини ҳисоблаш.** Ҳамма ҳаракатланувчи звенолардан кривошип валига келтирилган инерция моменти алоҳида звенолардан келтирилган инерция моментларининг йиғиндисига тенг. Ҳамма звеноларни икки туркумга бўлсак:

$$J_{\text{кел}} = \underset{1}{J_{\text{кел}}} + \underset{II}{J_{\text{кел}}} \quad (10.3)$$

Бу ерда  $J_{\text{кел}}$  кривошип вали билан ўзгармас узатиш нисбати орқали боғланган звеноларнинг келтирилган инерция моментлари йиғиндиси,  $J_{\text{кел}}$  кривошип вали билан ўзгарувчан узатиш нисбати орқали боғланган звеноларнинг келтирилган инерция моментлари йиғиндиси. Унинг қиймати қўйидаги формуладан аниқланади:

$$\underset{II}{J_{\text{кел}}} = J_{2\text{айл}}^{\text{кел}} + J_{2\text{илг}}^{\text{кел}} + J_3^{\text{кел}}$$

$J_{2\text{айл}}^{\text{кел}}$  шатуннинг ўз оғирлик маркази  $S_2$  нуқта атрофида айланма ҳаракати натижасида вужудга келувчи бош звенога келтирилган инерция моменти;  $J_{2\text{илг}}^{\text{кел}}$ ,  $J_3^{\text{кел}}$  шатун  $S_2$  нуқтасининг ҳамда ползун З нинг илгарилама ҳаракати натижасида бош звенога келтирилган инерция моментлари.

Уларнинг қийматларини аниқлаш формулалари қўйидагича:

$$J_{2\text{айл}}^{\text{кел}} = J_{s_2} \cdot \frac{\omega_2^2}{\omega_1^2}; \quad J_{2\text{илг}}^{\text{кел}} = m_2 \cdot \frac{v_{s_2}^2}{\omega_1^2}; \quad J_3^{\text{кел}} = m_3 \cdot \frac{v_B^2}{\omega_1^2},$$

$$\omega_2 = \omega_1 \cdot \frac{(ba)}{(AB)}; \quad v_{s_2} = (ps_2) \cdot \mu l \cdot \omega_1; \quad v_B = (pb) \cdot \mu l \cdot \omega_1$$

Эканлигини назарда тутиб келтирилган инерция моментлари қийматларини механизмининг биринчи ҳолати учун ҳисоблаймиз:

$$J_{2\text{айл}}^{\text{кел}} = J_{s_2} \cdot \frac{(ba)^2}{(AB)^2} = 10 \cdot \frac{85,7^2}{340^2} = 0,632 \text{ кг} \cdot \text{м}^2,$$

$$J_{2\text{илг}}^{\text{кел}} = m_2 \cdot (ps_2)^2 \cdot \mu_e^2 = 40 \cdot 75^2 \cdot 0,00255^2 = 1,46 \text{ кг} \cdot \text{м}^2,$$

$$J_3^{\text{кел}} = m_3 \cdot (pb)^2 \cdot \mu_e^2 = 50 \cdot 36^2 \cdot 0,00255^2 = 0,42 \text{ кг} \cdot \text{м}^2.$$

Тенгламаларда  $(AB)$  шатун 2 нинг узунлиги.  $\mu_e$  — узунлик масштаби.  $(ba)$ ,  $(ps_2)$  ва  $(sb)$  тезлик планидаги кесма узунликлари.

Формула (10.3) га кўра иш машинасининг ҳамма звеноларидан кривошип валига келтирилган инерция моменти қийматини ҳисоблаймиз.

$$\begin{aligned} J_{\text{кел}} &= \underset{I}{J_{\text{кел}}} + \underset{II}{J_{\text{кел}}} = J_{\text{кел}} + J_{2\text{айл}}^{\text{кел}} + J_{2\text{илг}}^{\text{кел}} + J_3^{\text{кел}} = \\ &= 1,4 + 0,632 + 1,46 + 0,42 = 3,91 \text{ кг} \cdot \text{м}^2. \end{aligned}$$

Келтирилган инерция моментларининг 11 ҳолат учун алоҳида ва йиғинди қийматлари 8-жадвалда кўрсатилган.

$J_{\text{кел}} = J_{\text{кел}}(\varphi)$  графигини  $J_{\text{кел}}$ ,  $\varphi$  координата системасида  $\mu_J = 0,05$

$\frac{\text{кг. м}^2}{\text{мм}}$  ҳамда  $\mu_{\varphi} = 0,024 \frac{\text{рад}}{\text{мм}}$  масштабларга кўра қурамиз. Бунинг учун инерция моментларининг чизма қийматларини  $y_i = \frac{J_i \text{ кел}}{\mu_J}$  нисбат бўйича аниқлаб оламиз:

$$y_1 = \frac{J_1 \text{ кел}}{\mu_J} = 78 \text{ мм}; \quad y_2 = \frac{J_2 \text{ кел}}{\mu_J} = 83,2 \text{ мм}; \quad y_3 = \frac{J_3 \text{ кел}}{\mu_J} = 86 \text{ мм.}$$

ва ҳоказо.

$J_{\text{кел}} = J_{\text{кел}} (\varphi)$  графиги 113-шакл, г да тасвирланган.

5. Кривошиппинг ҳаракат қонунини аниқлаш. а) Бурчак тезлик графиги  $\omega = \omega (\varphi)$  ни қуриш.

Бош звено — кривошип вертикал ўқ билан ҳосил қилган бошланғич ҳолат бурчаги  $\Phi_0$  дан  $\Phi_i$  бурчакка бурилганда унга қўйилган келтирилган моментлар йиғиндисининг иши сўнгги ва бошланғич ҳолатлардаги механизм кинетик энергиялари айрмаларидан аниқлашади:

$$A_i = T_i - T_{\text{бошл}} = \Delta T_i. \quad (10.4)$$

Сўнгги ва бошланғич ҳолатлардаги кинетик энергиялар қийматлари қўйидаги формулалардан топилади:

$$T_i = \frac{J_i \text{ кел} \cdot \omega_i^2}{2}, \quad (10.5)$$

$$T_{\text{бошл}} = \frac{J_{\text{бошл}} \cdot \omega_{\text{бошл}}^2}{2}. \quad (10.6)$$

Энди формула (10.4) ни қўйидагича ёзамиш:

$$\frac{J_i \text{ кел} \cdot \omega_i^2}{2} - T_{\text{бошл}} = A_i,$$

бундан

$$\omega_i = \sqrt{\frac{2(T_{\text{бошл}} + A_i)}{J_i \text{ кел}}}$$

Механизмнинг ишга тушиши  $\varphi = 0$  дан бошланиб, бу вақтда  $\omega_{\text{бошл}} = 0$  эди. Шунга кўра формула (10.6) га асосан  $T_{\text{бошл}} = 0$  бўлади. Демак, биз бурчак тезлик қийматини қўйидаги формуладан аниқлаймиз:

$$\omega_i = \sqrt{\frac{2 \cdot A_i}{J_i \text{ кел}}},$$

бу ерда  $A_i = (A_i) \cdot \mu_A$  га  $J_i \text{ кел} = y_i \cdot \mu_J$

эканлигини ҳисобга олиб, механизмнинг 12 ҳолати учун бурчак тезлик қийматларини ҳисоблаймиз:

$$\omega_0 = 0; \quad \omega_1 = \sqrt{\frac{2(A_1) \cdot \mu_A}{y_1 \cdot \mu_J}} = 5,2 \text{ 1/c.}$$

$$\omega_2 = \sqrt{\frac{2 \cdot (A_2) \cdot \mu_A}{y_2 \cdot \mu_J}} = 7,69 \text{ 1/c ...}$$

\*208

| ўлчам<br><i>H·m</i> | Келтирилган моментларнинг қийматлари |        |        |        |                |        |      |        |        |        |        |        |      |
|---------------------|--------------------------------------|--------|--------|--------|----------------|--------|------|--------|--------|--------|--------|--------|------|
|                     | 0                                    | 1      | 2      | 3      | 4              | 5      | 6    | 7      | 8      | 9      | 10     | 11     | 12   |
| $M_{k_1}^{кел}$     | 0                                    | -55    | 111,6  | -153   | -151<br>-157   | -489,6 | 0    | -96    | -151   | -153   | -111,6 | -56,6  | 0    |
| $M_{G_2}^{кел}$     | 0                                    | 41,72  | 82,01  | 99,96  | 89,25          | 53,77  | 0    | 53,77  | -84,65 | -99,56 | -82,81 | -67,52 | 0    |
| $M_{G_3}^{кел}$     | 0                                    | 49,9   | 91,2   | 124,95 | 123,7          | 79,96  | 0    | -78,7  | -123,7 | -124,9 | -91,21 | -46,23 | 0    |
| $M_x$               | 200                                  | 140    | 120    | 100    | 90             | 80     | 60   | 54     | 46     | 40     | 40     | 40     | 40   |
| $M_{kел}$           | 200                                  | 179,62 | 181,91 | 171,91 | 151,95<br>-454 | -275   | 60   | -174,4 | -313   | -337   | -245   | -130   | 40   |
| кгм <sup>2</sup>    | Инерция моментларининг қийматлари    |        |        |        |                |        |      |        |        |        |        |        |      |
| $I_{2айл}^{кел}$    | 2,94                                 | 2,58   | 1,53   | 0      | 1,53           | 2,58   | 2,94 | 2,58   | 1,53   | 0      | 1,53   | 2,58   | 2,94 |
| $I_{2илр}^{кел}$    | 1,34                                 | 1,58   | 2,1    | 2,6    | 2,45           | 1,75   | 1,34 | 1,75   | 2,2    | 2,6    | 2,1    | 1,59   | 1,34 |
| $I_s^{кел}$         | 0                                    | 0,44   | 1,73   | 3,25   | 3,19           | 1,33   | 0    | 1,29   | 3,19   | 3,25   | 1,73   | 0,44   | 0    |

14—2943

|               |                                |       |       |       |       |       |        |       |       |       |       |       |       |
|---------------|--------------------------------|-------|-------|-------|-------|-------|--------|-------|-------|-------|-------|-------|-------|
| $I_1$         | 1,4                            | 1,4   | 1,4   | 1,4   | 1,4   | 1,4   | 1,4    | 1,4   | 1,4   | 1,4   | 1,4   | 1,4   | 1,4   |
| $I_{kел}$     | 3,68                           | 3,91  | 4,76  | 5,25  | 6,57  | 5,06  | 5,02   | 5,02  | 6,32  | 5,25  | 4,76  | 4,00  | 3,68  |
| $1/c$         | Бурчак тезликнинг қийматлари   |       |       |       |       |       |        |       |       |       |       |       |       |
| $\omega$      | 0                              | 5,2   | 7,69  | 8,8   | 8,9   | 6,7   | 5,15   | 4,16  | 3,8   | 8,18  | 10,3  | 12,72 | 13,78 |
| $1/c^2$       | Бурчак тезланишнинг қийматлари |       |       |       |       |       |        |       |       |       |       |       |       |
| $\varepsilon$ | 38                             | 36,59 | 28,31 | 18,2  | -18,4 | -27,7 | -12,79 | -5,16 | 9,4   | 67,7  | 45,7  | 42,12 | 30,42 |
| $c$           | Вақт                           |       |       |       |       |       |        |       |       |       |       |       |       |
| $t$           | 0                              | 0,232 | 0,321 | 0,389 | 0,45  | 0,514 | 0,611  | 0,74  | 0,883 | 0,991 | 1,049 | 1,095 | 1,135 |

Кривошиппнинг 12 ҳолати учун аниқланган бурчак тезлик қийматлари 8-жадвалда келтирилган бўлиб,  $\omega = \omega(\varphi)$  кўринишидаги бурчак тезликнинг кривошип ҳолатига боғлиқ бўлган ўзгариш қонунияти эгри чизифини 113-шакл,  $e$  да кўрсатилган.

Бунда бурчак тезлик масштаби:

$$\mu_{\omega} = \frac{\omega_{max}}{(\omega_{max})} = 0,15 \frac{1/c}{mm};$$

бу ерда,  $\omega_{max}$  — бурчак тезликнинг энг катта қиймати;  $(\omega_{max})$  — унинг чизмадаги ифодаси.

б) Бурчак тезланиш графиги  $e = e(\varphi)$  ни қуриш.

Бурчак тезланишнинг дифференциал тенгламаси  $e = \frac{d\omega}{dt}$  ни  $d\varphi$  га кўпайтириш ва бўлиш йўли билан унинг исталган ҳолатдаги қийматини қўйидаги формуладан аниқлай оламиз:

$$e_i = \frac{d\omega_i}{d\varphi} \cdot \frac{d\varphi}{dt} = \left( \frac{d\omega}{d\varphi} \right)_i \cdot \omega_i \quad (10.7)$$

Формулага кўра бурчак тезланиш қийматларини аниқлаш учун бурчак тезлиги графиги  $\omega = \omega(\varphi)$  дифференциалланиб  $\frac{d\omega}{d\varphi} = \frac{d\omega}{d\varphi}(\varphi)$  эгри чизиги қурилади. Қурилган графикдаги  $\left( \frac{d\omega}{d\varphi} \right)_i$  қийматлар шу ҳолатлардаги бурчак тезлик қийматлари  $\omega_i$  га кўпайтирилиб бурчак тезланиш қийматлари  $e_i$  аниқланади. Аниқланган қийматларга кўра  $\mu_e$  масштабга асосланниб  $e = e(\varphi)$  эгри чизиги чизилади.

Юқорида айтилганларга қўра: 1)  $\omega = \omega(\varphi)$  эгри чизифини уринмалар усулида график дифференциаллаб,  $\frac{d\omega}{d\varphi} = \frac{d\omega}{d\varphi}(\varphi)$  эгри чизифини қурамиз.

$\frac{d\omega}{d\varphi}(\varphi)$  график эгри чизифининг масштаб коэффициенти

$$\mu_{\frac{d\omega}{d\varphi}} = \frac{\mu_{\omega}}{H_2 \cdot \mu_{\varphi}} = \frac{0,15}{45 \cdot 0,024} = 0,138 \frac{1/c}{mm}.$$

$H_2 = 45$  мм дифференциаллаш қутб масофаси.

$$\omega = \omega(\varphi) \text{ ва } \frac{d\omega}{d\varphi} = \frac{d\omega}{d\varphi}(\varphi)$$

эгри чизиқлардан фойдаланган ҳолда кривошиппнинг 12 ҳолати учун унинг бурчак тезланишини формула (11.7) га кўра ҳисоблаймиз.

$$e_i = (y_i) \cdot (\omega_i) \cdot \mu_{\frac{d\omega}{d\varphi}} \cdot \mu_{\omega},$$

бу ерда ( $y_i$ ), ( $\omega_i$ ) лар  $\frac{d\omega}{d\varphi}(\varphi)$  ва  $\omega = \omega(\varphi)$  — эгри чизиқларнинг ордината қийматлари, яъни

$$\varepsilon_1 = (y_1) \cdot (\omega_1) \cdot \mu_{\frac{d\omega}{d\varphi}} \cdot \mu_\omega = 36,59 \text{ } 1/\text{c}^2,$$

$$\varepsilon_2 = (y_2) \cdot (\omega_2) \cdot \mu_{\frac{d\omega}{d\varphi}} \cdot \mu_\omega = 28,31 \text{ } 1/\text{c}^2,$$

$$\varepsilon_3 = (y_3) \cdot (\omega_3) \cdot \mu_{\frac{d\omega}{d\varphi}} \cdot \mu_\omega = 18,2 \text{ } 1/\text{c}_2 \dots \text{ ва ҳоказо.}$$

Кривошипнинг 12 ҳолати учун бурчак тезланиш  $\varepsilon$  нинг қийматлари 8- жадвалда келтирилган.

Аниқланган қийматларга кўра бурчак тезланиш масштаби  $\mu_e = 1,28 \frac{1/\text{c}^2}{\text{мм}}$  га кўра бурчак тезланишининг чизма ифодаларини аниқлаймиз ва унинг диаграмма эгри чизигини чизамиз (113-шакл, ж),  $\varepsilon = \varepsilon(\varphi)$  графиги ординаталари қўйидагича аниқланган:

$$(\varepsilon_1) = \frac{\varepsilon_1}{\mu_e} = \frac{36,59}{1,28} = 28,59 \text{ мм}; \quad (\varepsilon_2) = \frac{\varepsilon_2}{\mu_e} = 22,11 \text{ мм} \dots \text{ ва ҳ. к.}$$

в) Вақт графиги  $t = t(\varphi)$  ни қуриш.

Кривошип  $i$  ва  $k$  қўшни ҳолатлари орасидаги ўртача бурчак тезлики:

$$\omega_{ik} = \frac{d\varphi_{ik}}{\Delta t_{ik}},$$

бу ерда  $\Delta\varphi_{ik}$  — кривошипнинг қўшни ҳолатга бурилиш бурчаги  $\Delta t_{ik}$  — кривошипнинг  $i$ - ҳолатдан  $k$ -ҳолатга бурилиш учун кетган вақти;

$$\text{бу ерда } \Delta t_{ik} = \frac{\Delta\varphi_{ik}}{\omega_{ik}}.$$

Ҳаракат бошланиш вақтидан бошлаб кривошипнинг исталган ҳолатга бурилиши учун кетган вақт қўйидагича аниқланади:

$$t_k = t_i + \Delta t_{ik}.$$

Бу формулага кўра кривошипнинг бошланғич ҳолати  $\varphi_0 = 0^\circ$  дан бошлаб кейинги ҳолатларга бурилиш учун кетган вақтни аниқлаймиз. Бизда қўшни ҳолатлар орасидаги бурчаклар ўзаро  $30^\circ$  тенг бўлиб, радиандаги ўлчами  $\Delta\varphi = \frac{\pi}{6}$  рад бўлади, яъни

$$t_1 = \Delta t_{01} = \frac{\pi/6}{\omega_{01}} = \frac{\pi/6}{(\omega_{01}) \cdot \mu_\omega} = 0,232 \text{ с},$$

$$t_2 = t_1 + \frac{\pi/6}{6 \cdot (\omega_{12}) \cdot \mu_\omega} = 0,321 \text{ с},$$

$$t_3 = t_2 + \frac{\pi/6}{6 \cdot (\omega_{23}) \cdot \mu_\omega} = 0,389 \text{ с} \dots$$

формулалардаги  $(\omega_{01})$ ,  $(\omega_{12})$ ,  $(\omega_{23}) \dots$  кесмалар  $\omega = \omega(\varphi)$  графигининг  $0 - 1$ ,  $1 - 2$ ,  $2 - 3 \dots$  оралиқ ўрталарига мос келувчи ордината

қийматлари. Кривошиппинг бошланғич ҳолатдан кейинги ҳар бир ҳолатта буриш учун кетган вақтнинг цикл мобайнидаги қийматлари 8-жадвалда көлтирилген.

Аниқланған қийматларга күра вақтнинг кривошип бурилиш бурчига бөліклик графиги  $t = t(\varphi)$  координата системасыда күрсатилған (113-шакл, з). Диаграмма учун вақт масштаби:

$$\mu_t = \frac{t_{12}}{(t_{12})} = 0,01135 \frac{\text{с}}{\text{мм}}.$$

Бурчак масштаби:

$$\mu_\varphi = 0,028 \frac{\text{рад}}{\text{мм}}.$$

##### 5- §. МЕХАНИЗМНИ ҚУЧ ТАЪСИРИДА ҲИСОБЛАШ (114- шакл)

1. Кинетостатик ҳисоблаш учун кривошиппинг күрсатилған ҳолати  $\varphi_1 = 150^\circ$  да механизм звеноларига құйылады таşқи күчлар таъсир қылады:

- 1) звенолар оғирліктери  $G_2$  және  $G_3$ ,
- 2) инерция күчлери  $P_{u_2}$ ,  $P_{u_3}$ ,
- 3) шатунга таъсир этувчи инерция күчининг моменти  $M_{u_2}$ ,
- 4) ползунга таъсир этувчи прессланувчи деталнинг қаршилиги  $P_k = 3000 \text{ Н}$ .

Оғирлік күчларини аниқладаймыз.

$$G_2 = -m_2 \cdot g = -40 \cdot 9,81 = -392 \text{ Н}, G_3 = -m_3 g = -50 \cdot 9,81 = -490 \text{ Н}.$$

Инерция күчларини аниқлашда механизмнинг бөрілген ҳолати учун қурилған тезланишлар планидан фойдаланамыз.

1) Ползунга таъсир этувчи инерция күчи бөш векторининг модул қийматы

$$P_{u_3} = -m_3 \cdot a_B = -m_3 \cdot (\pi b) \cdot \mu_a = 50 \cdot 103 \cdot 0,061 = -314,15 \text{ Н}.$$

2) Шатуннинг оғирлік марказыга таъсир этувчи инерция күчи бөш векторининг қийматы:

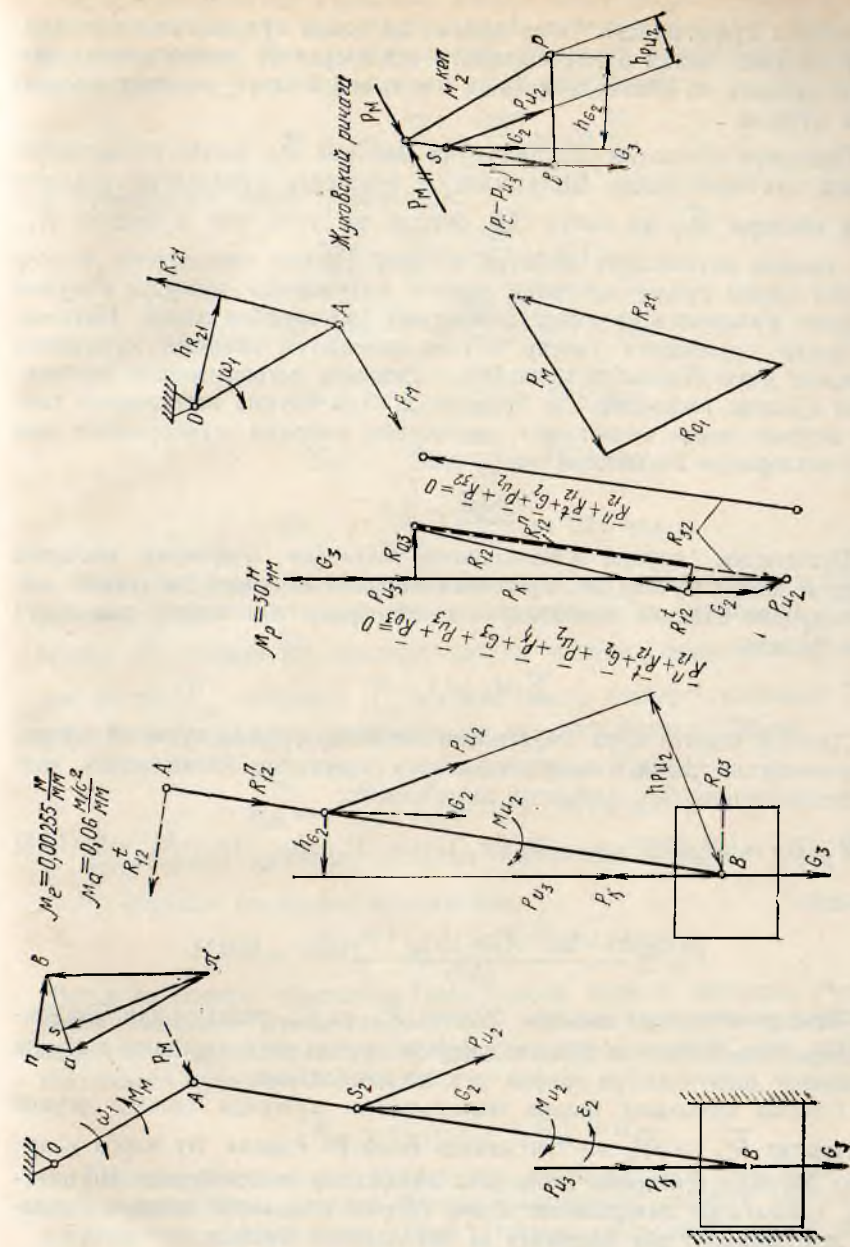
$$P_{u_1} = -m_2 \cdot a_{s_2} = -m_2 \cdot (\pi s_2) \cdot \mu_a = 40 \cdot 93 \cdot 0,061 = -226,92 \text{ Н}.$$

3) шатунга таъсир этувчи инерция күчлариниче бөш моменти:

$$M_{u_2} = -I_{s_2} \cdot \varepsilon_2 = -I_{s_2} \frac{(a_{BA}^T) \cdot \mu_a}{l_{AB}} = -33,8 \text{ Н} \cdot \text{м}.$$

Механизмни күч таъсирида ҳисоблаш унинг түзилиш формуласыда күрсатилған охирғи Ассур группасыдан бошланиб, етакловчы звено билан түгелланады.

2. Шатун ва ползундан ташқыл топған II класс Ассур группасының күч таъсирида ҳисоблады. Бунинг учун группа звеноларини уларнинг ҳолаттарини ўзгартырмаган ҳолда механизмдан ажратыб, алохида чызамиз (114- шакл). Группа звеноларига таъсир этувчи күчларини ҳаммасини, жумладан инерция күчлери ва унинг моментларини ҳам



звеноларга йўналишлари ўзгартирилмаган ҳолда кўчириб келтирилади. Звеноларнинг ташқи боғланишларига эса ажралган звеноларнинг хо-  
зирги қиймати ва вектор йўналиши номаълум бўлган реакция кучла-  
рини қўямиз.

Ползунга қўйилган реакция кучи вектори  $\vec{R}_{03}$  унинг йўналтирув-  
чисига тик жойлашади. Шатуннинг  $A$  нуқтасига қўйладиган реакция  
кучи вектори  $\vec{R}_{12}$  ни шатун  $AB$  бўйлаб ва унга тик йўналган  $\vec{R}_{12}^n$ ,  
 $\vec{R}_{12}^t$  ташкил этувчиларга ажратиб қўямиз. Группа звеноларига таъсир  
этувчи ҳамма кучлар қаторида ҳаракат натижасида вужудга келувчи  
инерция кучларини ва унинг моментини ҳам ҳисобга олдик. Натижада  
Ассур группасига таъсир этувчи номаълум реакция кучларини  
аниқлаш учун Даламбер принципи — динамик мувозанатлаш принципи  
қўллаш кифоядир. Бу принципга кўра группа звеноларига таъ-  
сир этувчи ҳамма кучларнинг, жумладан инерция кучларининг ҳам  
бош векторлари йигиндиси нолга teng:

$$\sum \vec{P}_i = 0.$$

Шунингдек, группа звеноларининг исталган нуқтасига нисбатан  
олинган ҳамма кучлардан, жумладан инерция кучлари ва унинг мо-  
ментларидан олинган моментларнинг алгебраик йигиндиси ҳам нолга  
teng бўлади:

$$\sum M_B(P_i) = 0$$

Ана шу шартга кўра ажратилган звенолар группасининг  $B$  нуқта-  
сига нисбатан ҳамма кучлардан олинган моментлар йигиндисини нол-  
га тенглashingтириб  $R_{12}^t$  қийматни аниқлаймиз:

$$\sum M_B(P_i) = R_{12}^t(AB) \cdot \mu_l - G_2 \cdot (h_{G_2}) \cdot \mu_l - P_{u_2} \cdot (h_{P_{u_2}}) \cdot \mu_l - M_{u_2} = 0, \quad (10.8)$$

бундан

$$R_{12}^t = \frac{G_2 \cdot (h_{G_2}) + (P_{u_2}) \cdot (h_{P_{u_2}}) + M_{u_2} / \mu_l}{(AB)} = 160 \text{ H.}$$

Таъсир чизиқлари маълум бўлган  $\vec{R}_{12}^n$  ва  $\vec{R}_{03}$  реакция кучлари век-  
торларининг қиймат ва йўналишларини группа звеноларининг динамик  
мувозанат шартига кўра график усулда аниқлаймиз.

Группа мувозанат шарти тенгламасини тузганда ташкил этувчи  
векторлар  $\vec{R}_{12}^n$  ва  $\vec{R}_{12}^t$  ни тенгламада ёнма-ён ёзамиз. Бу нарса улар-  
нинг йигинди векториин осонликча аниқлашга имкон беради. Шунинг-  
дек, қийматлари аниқланиши лозим бўлган номаълум реакция кучла-  
ри тенгламанинг энг олдинига ва энг охирiga ёзилади.

$$\vec{R}_{12}^n + \vec{R}_{12}^t + \vec{G}_2 + \vec{P}_{u_2} + \vec{P}_k + \vec{G}_3 + \vec{P}_{u_3} + \vec{R}_{03} = 0 \quad (10.9)$$

Тенгламанинг нолга тенглиги қуриладиган куч кўпбурчагининг ёпиқ  
булишини кўрсатади.

Күч кўпбурчагини қуришдан аввал чизма сатҳини ҳисобга олган ҳолда танланган күч масштабига кўра кучларнинг чизма ифодалари аниқлаб олинади. Күч масштаби қиймати яхлит сон бўлиши мақсадга мувофиқдир ва у энг катта кучга кўра аниқланади:

$$\mu_p = \frac{P_k}{(P_k)} = \frac{3000}{100} = 30 \frac{\text{Н}}{\text{мм}}$$

Кучларнинг чизма қийматлари:

$$(R_{12}^t) = \frac{R_{12}^n}{\mu_p} = \frac{160}{30} = 5,3 \text{ мм};$$

$$(P_{u_2}) = \frac{P_{u_2}}{\mu_p} = \frac{226,92}{30} = 7,5 \text{ мм};$$

$$(G_2) = \frac{G_2}{\mu_p} = \frac{392}{30} = 13,0 \text{ мм};$$

$$(G_3) = \frac{G_3}{\mu_p} = \frac{490}{30} = 16,3 \text{ мм};$$

$$(P_{u_3}) = \frac{P_{u_3}}{\mu_p} = \frac{314,15}{30} = 10,5 \text{ мм.}$$

Күч кўпбурчаги дастлаб тенглама (10. 9) даги чизма узунликлари аниқ бўлган векторлар кетма-кетлигига кўра қурилади. Сўнгра вектор  $\vec{R}_{12}^t$  учидан  $\vec{R}_{12}^n$  вектори таъсир чизиги ўтказилади. Шунингдек вектор  $\vec{P}_{u_2}$  охиридан  $\vec{R}_{03}$  вектори таъсир чизиги ўтказилади. Уларнинг кесишув нуқтаси тенгламанинг ечимини беради. Демак:

$$R_{12}^n = (R_{12}^t) \cdot \mu_p = 56 \cdot 30 = 1680 \text{ Н},$$

$$R_{03} = (R_{03}) \cdot \mu_p = 10,3 \cdot 30 = 310 \text{ Н.}$$

$R_{12}$  реакция кучининг абсолют қийматини аниқлаш учун  $\vec{R}_{12}^n + \vec{R}_{12}^t$  йиғинди векторини аниқлаймиз:

$$R_{12} = (R_{12}) \cdot \mu_p = 56,5 \cdot 30 = 1695 \text{ Н.}$$

Шатун ва ползун орасидаги ўзаро таъсир кучини аниқлаш учун бирорта звенонинг мувозанат шартини тузамиз. Шатуннинг мувозанат шартига кўра ползуннинг шатунга реакция кути  $R_{32}$  ни аниқлаш тенгламаси қўйидагича ёзилади:

$$\vec{R}_{12} + \vec{G}_2 + \vec{P}_{u_2} + \vec{R}_{32} = 0.$$

Ёзилган тенгламадаги кучларнинг кетма-кетлиги тенглама (10. 9) даги кучлар кетма-кетлиги бўйича ёзилганлиги сабабли шатун учун алоҳида күч кўпбурчагини қуриб ўтирасдан олдинги қурилган күч кўпбурчагидан фойдаланамиз. Яъни  $\vec{R}_{32}$  вектори  $\vec{R}_{12}^n$ ,  $\vec{R}_{12}^t$ ,  $\vec{G}_2$ ,  $\vec{P}_{u_2}$  векторларнинг ёпувчисидир.  $\vec{R}_{32}$  чизмада пункттир кўринишида тасвирланган. Демак,  $R_{32}$  нинг ҳақиқий қиймати  $R_{32} = (\vec{R}_{32}) \cdot \mu_p = 2230 \text{ Н.}$

Звено 1 нинг мувозанат шартига кўра кривошиппинг  $A$  нуқтасига звенога тик равишда қўйилган мувозанатловчи куч (механизмни ҳаракатга келтирувчи куч) ва қўзгалмас звенонинг кривошиппга реакция кучини аниқлаймиз.

3. Мувозанатловчи куч  $P_M$  нинг қиймати кривошиппинг  $O$  нуқтасига нисбатан унга таъсир этувчи кучларидан олинган моментлар йиғиндинг нолга тенглиги шартидан аниқланади.

$$\sum M_0(P_i) = R_{21} \cdot (h_{R_{21}}) - P_M \cdot (OA) = 0,$$

бундан

$$P_M = R_{21} \cdot \frac{(h_{R_{21}})}{(OA)} = 1146,6 \text{ Н.}$$

Кўзгалмас звенонинг кривошиппга реакция кучи  $R_{01}$  ни аниқлаймиз:

$$\vec{R}_{21} + \vec{P}_M + \vec{R}_{01} = 0,$$

$$R_{01} = (R_{01}) \cdot \mu_p = 1170 \text{ Н.}$$

4. Мувозанатловчи кучнинг қийматини Жуковский усули билан аниқлаймиз. Бунда  $90^\circ$  га бурилган тезлик планининг мос нуқталарига кучларинг йўналиши ўзгартирилмаган ҳолда келтирилади. Сўнgra ҳамма кучлар ва кривошип валига келтирилган инерция кучи моменти  $M_{u_2}^{\text{кел}}$  дан қутб  $P$  га нисбатан олинган моментларнинг йиғиндиси нолга тенглаштирилади:

$$(P_k - P_{u_2} - G_3)(pb) - P_{u_2} \cdot (h_{p_{u_2}}) - G_2 \cdot (h_{G_2}) + M_{u_2}^{\text{кел}}/\mu_l + P'_M \cdot (pa) = 0.$$

$$\text{Бу ерда } M_{u_2}^{\text{кел}}/\mu_l = M_{u_2} \cdot \frac{\omega_2}{\omega_1 \cdot \mu_l} = M_{u_2} \cdot \frac{(ab) \cdot \omega_1}{(AB) \omega_1 \cdot \mu_l} = M_{u_2} \cdot \frac{(ab)}{l_{AB}}$$

$$P'_M = \frac{-(P_k - P_{u_2} - G_3)(pb) + P_{u_2} \cdot (h_{p_{u_2}}) - G_2 \cdot (h_{G_2}) - M_{u_2} \cdot \frac{(ab)}{l_{AB}}}{(pa)} = -1080 \text{ Н.}$$

Аниқланган қийматнинг ишораси манфийлиги мувозанатловчи кучнинг биз томондан дастлаб белгиланган йўналиши унинг ҳақиқий йўналишига қараша-қарши эканлигини билдиради.

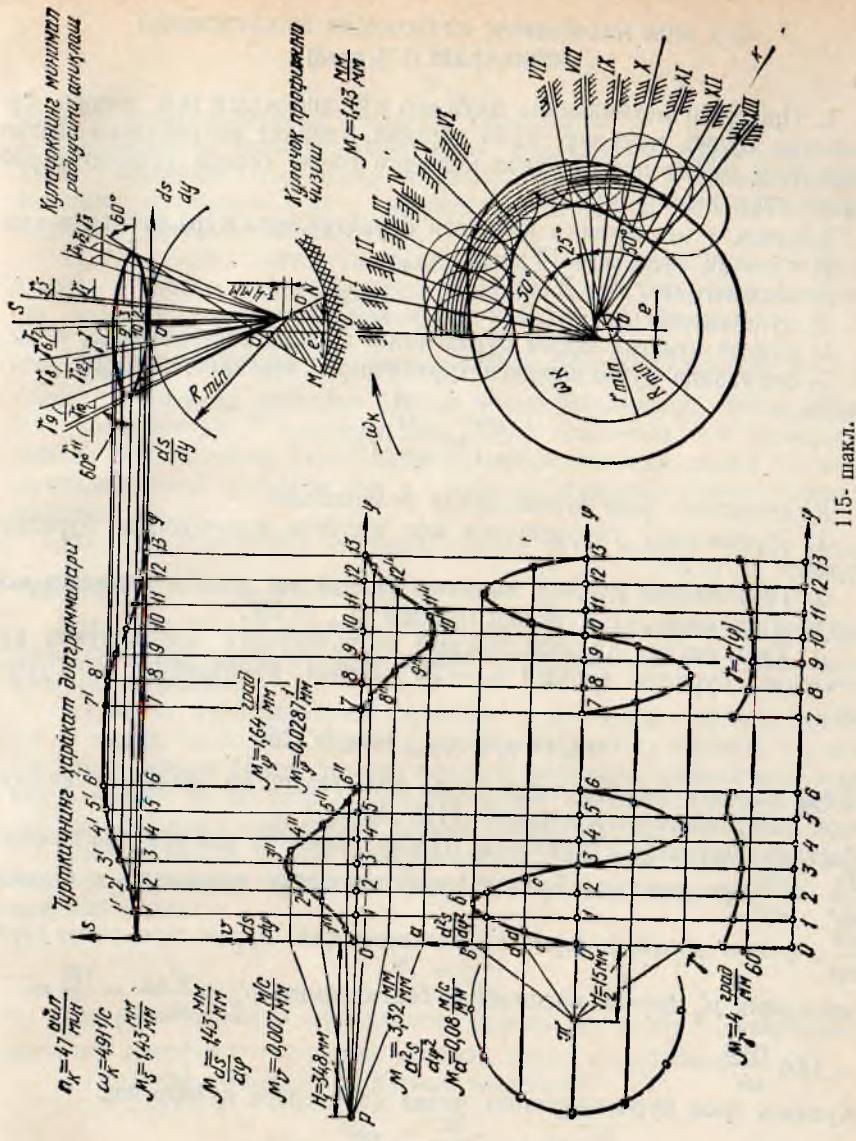
Мувозанатловчи моментнинг ҳар икки усул билан аниқланган қийматлари:

$$M_M = P_M \cdot l_{oA} = 290,95 \text{ Н} \cdot \text{м};$$

$$M'^M = P'^M \cdot l_{oA} = 275,4 \text{ Н} \cdot \text{м.}$$

Иккала усул билан аниқланган мувозанатловчи кучлар ёки мувозанатловчи моментлар қийматлари орасидаги фарқ:

$$\Delta M = \frac{M_M - M'^M}{M_M} \cdot 100 \% = \frac{P_M - P'^M}{P'^M} \cdot 100 \% = 5,35 \%,$$



115- шарж.

## 6- §. МОЙ НАСОСИННИГ ҚУЛАЧОКЛИ МЕХАНИЗМИНИ ЛОЙИХАЛАШ (115- шакл)

1. Пресслаш механизмида плунжер күренишидаги мой насоси үрнатилган бўлиб, плунжер, яъни турткич, ўзининг илгариланма-қайтма ҳаракатида мойни ишқаланувчи юзаларга босим остида етказиб бериб туриш учун хизмат қиласди.

Қулачокли механизмни қуйидаги берилганларга кўра лойиҳалаймиз:

$$1) \text{ турткич йўли } h = 10 \text{ мм,}$$

$$2) \text{ экспцентритет } e = 3 \text{ мм,}$$

$$3) \text{ кулачокнинг иш бурчаги } \Phi_{иши} = 125^\circ,$$

$$4) \text{ рухсат этилган босим бурчагининг энг катта қиймати } \alpha_{\text{рух}} = 30^\circ,$$

5) синусоида күренишидаги турткичнинг тезланиш аналоги диаграммаси:

$$\frac{d^2 s}{d\varphi^2} = \frac{d^2 s}{d\varphi^2}(\varphi).$$

Кулачокнинг фаза бурчакларини белгилаймиз.

1. Турткичнинг узоқлашувига мос келувчи кулачокнинг бурилиш бурчаги:  $\Phi_y = 50^\circ$ .

2. Турткичнинг кулачок айланиш ўқидан энг узоқда туришига мос келувчи кулачокнинг бурилиш бурчаги  $\Phi_{y_m} = 25^\circ$ .

3. Турткичнинг кулачок томонга яқинлашувига мос келувчи кулачокнинг бурилиш бурчаги  $\Phi_x = 50^\circ$ . Демак, кулачокнинг иш бурчаги:

$$\Phi_{иши} = \Phi_y + \Phi_{y_m} + \Phi_x = 125^\circ.$$

Чизма сатҳини ҳисобга олган ҳолда йўл, тезлик ва тезланиш аналоглари диаграммаларини қурамиз. (115- шакл).

Дастлаб синусоида күренишида бўлган тезланиш аналоги диаграммаси

$\frac{d^2 s}{d\varphi^2} = \frac{d^2 s}{d\varphi^2}(\varphi)$  қурилади. Бунинг учун танланган координата системаси

$\frac{d^2 s}{d\varphi^2}$ ,  $\varphi$  нинг абсцисса ўқига кулачокнинг фаза бурчаклари чизма узунликларини  $\mu_\varphi^\circ$  бурчак масштабида белгилаймиз:  $\mu_\varphi^\circ = \frac{\Phi_{иши}^\circ}{(\Phi_{иши})} = \frac{125}{76} = = 1,64 \frac{\text{град}}{\text{мм}}$ .

Кулачок фаза бурчакларининг чизма қийматлари қўйидагича:

$$(\Phi_y) = (\Phi_x) = \frac{\Phi_y}{\mu_\varphi^\circ} = \frac{50}{1,64} = 30,4 \text{ мм.}$$

Ф ўқида белгиланган узоқлашиш ва яқинлашиш бурчакларини ўзаро тенг бўлакларга ажратамиз. Бизнинг мисолимизда уларнинг ҳар бири тенг 6 бўлакка бўлинган. Чизма геометрия фанида ўрганилган усул ёрдамида узоқлашиш ва яқинлашиш бурчаклари учун тезланиш аналогини ифодаловчи синусоидалар чизилади.

Топшириқ шартига биноан  $\Phi_y = \Phi_x = \Phi$  бўлганлиги сабабли синусоидалар амплитуда қийматлари ўзаро тенг бўлади, яъни

$$h'' = h' \left( \frac{\Phi_y}{\Phi_n} \right)^2 = 21 \text{ мм.}$$

График интеграллашни қуйидаги бажаралы:

1) Абсцисса үқидаги ажратылған бұлактар 0—1, 1—2, 2—3 нинг үрталардан тик чизік чизилиб, төзланиш эгри чизіғи билан кесишиш нүкталари  $a$ ,  $b$ ,  $c$  лар белгиланади ва белгиланған нүкталар ордината үқига проекцияланади;

2)  $O\varphi$  үқининг иккінчи томонидаги  $\theta$  нүктадан  $H_2 = 15$  мм ма- софада ётүвчи  $\pi$  нүкта ордината үқидаги  $a$ ,  $b$ ,  $c$  нүкталар билан түр- ри чизиқтар орқали туташтирилади;

3)  $\frac{ds}{d\varphi}(\varphi)$  координата системаси маркази бұлган  $\theta$  нүктадан 0—1 ора- лиқда  $\pi$  чизиққа параллел бұлган чизиқ үтказилади. Ҳосил бұлган қия чизиқ охирі  $I''$  нүктадан яна 1—2 оралиғида  $\pi b$  чизиққа па- раллел бұлган чизиқ үтказилади. Бу чизиқнинг ҳам охирі бұлган  $2''$  нүктадан 2—3 оралиқда яна  $\pi c$  чизиққа параллел бұлган чизиқ үт- казилади ва қ.

Ҳосил бұлган синиқ чизиқтар лекало эгри чизиғи билан алмаш- тирилади ва тезлик аналоги эгри чизиғи  $\frac{ds}{d\varphi}(\varphi)$  ҳосил қилинади.

Қурилған тезлик аналоги эгри чизиғи юқорида бәйн әтилған усул билан яна бир марта график усулда интегралланиб йүл диаграммаси  $s = s(\varphi)$  қурилади.

Төзланиш құтб масофаси  $H_2 = 15$  мм ни чизма сатхини хисобға олған ҳолда танлайды. Бунда шу нараса назарда тутилдиди,  $H_2$  масо- фа қанча кичик бұлса, тезлик аналоги ордината қийматлари шунча катта чиқады ва аксинча  $H_2$  масофа қанча катта бұлса тезлик ана- логлары ордината қийматлари шунча кичик чиқады.

Тезлик аналоги ва йүл диаграммалари бир хил масштабда қури- лиши учун тезлик құтб масофаси  $H_1$  ни қуйидаги нисбаттаға күра аниқлаб олдик:

$$H_1 = \frac{1}{u_\varphi},$$

бу ерда  $u_\varphi$  — радианда ифодаланған бурчак масштаби. Диаграммалар масштаб коэффициенттарининг қиймагларини аниқлаймиз:

1) градусда ифодаланған бурчак масштаби:

$$\mu_\varphi^\circ = \frac{\Phi_{\text{ш}}}{(\varphi_{\text{ш}})} = \frac{125^\circ}{76} = 1,64 \frac{\text{град}}{\text{мм}},$$

2) радианда ифодаланған бурчак масштаби:

$$\mu_\varphi = \mu_\varphi^\circ \cdot \frac{\pi}{180^\circ} = 0,0287 \frac{\text{рад}}{\text{мм}},$$

3) йүл масштаби:

$$\mu_s = \frac{h}{(h)} = \frac{1}{7} = 1,43 \frac{\text{мм}}{\text{мм}}.$$

4) тезлик аналоги масштаби:

$$\mu_{\frac{ds}{d\varphi}} = \frac{\mu_s}{H_1 \cdot \mu_\varphi} = \frac{1,43}{34,8 \cdot 0,0287} = 1,43 \cdot \frac{\text{мм}}{\text{мм}}.$$

Бу ерда  $\mu_{\frac{ds}{d\varphi}} = \mu_s$  шартыга күра  $H_1 = \frac{1}{\mu_\varphi} = 34,8$  мм қабул қилғанымиз.

Тезланиш аналоги масштаби:

$$\mu_{\frac{d^2s}{d\varphi^2}} = \frac{\mu_{ds}}{H_2 \cdot \mu_\varphi} = \frac{1,43}{15 \cdot 0,0287} = 3,32 \frac{\text{мм}}{\text{мм}}.$$

2. Кулачок минимал радиусини динамик шартта күра аниқлаш. Лойиҳаланган кулачокли механизмнинг исталған ҳолатида кулачокнинг турткычга босым бурчагининг қиймати  $\alpha_i \leq \alpha_{\text{пук}}$  ёки  $\gamma_i \geq \gamma_{\min}$  шартни бажариши лозим. Бу ерда  $\gamma_{\min} = 90^\circ - \alpha_{\text{пук}} = 60^\circ$  бўлади.

Бунинг учун кулачок минимал радиуси  $R_{\min}$  қиймати йўлнинг тезлик аналогига боғлиқ диаграммаси  $s = s \left( \frac{ds}{d\varphi} \right)$  дан фойдаланилган ҳолда аниқланади.

$s = s \left( \frac{ds}{d\varphi} \right)$  диаграммаси  $s = s(\varphi)$  ва  $\frac{ds}{d\varphi} = \frac{ds}{d\varphi}(\varphi)$  диаграммаларидан улардаги  $\varphi$  параметрини йўқотиш йўли билан қурилади. Бунинг учун  $s$ ,  $\varphi$  диаграммаси  $\varphi$  ўқининг давомида танланган бирор 0 нуқтадан бошлаб  $s$ ,  $\frac{ds}{d\varphi}$  координата ўқларини ўтказамиз ва унинг  $O s$  ўқига йўл диаграммаси  $s = s(\varphi)$  даги турткыч учи ҳолатлари  $s_i$  ларни келтириб қўяшимиз. Белгиланган ҳолатлардан  $\frac{ds}{d\varphi}$  ўқига параллел йўналишида тезлик аналогларининг чизма қийматлари  $\left( \frac{ds}{d\varphi} \right)_i$  лар келтириб қўйилади. Бунда кўтарилиш бурчагига мос келадиган тезлик аналогларининг мусбат қийматлари  $os$  ўқининг ўнг томонига, яқинлашиш бурчагига мос келадиган манфий қийматлар эса  $os$  ўқининг чап томонига қўйилади.  $os$  ўқининг ҳар икки томонига йўналтирилган  $\left( \frac{ds}{d\varphi} \right)$  векторларининг учлари узлуксиз лекало эгри чизиги билан туташтирилиб эллипсимон ёпиқ чизик  $s = s \left( \frac{ds}{d\varphi} \right)$  диаграммаси ҳосил қилинади.

Ҳосил бўлган ёпиқ эгри чизик  $s = s \left( \frac{ds}{d\varphi} \right)$  нинг ўнг ва чап томонларига  $\varphi$  ўқи билан  $\gamma_{\min} = 60^\circ$  бурчак ҳосил қилувчи уринма чизиклар ўтказамиз ва уларнинг ўзаро кесишибидан  $M O' N$  (штрихланган) соҳа ҳосил бўлади.  $o's$  чизигининг ўнг томонидан эксцентрицитет қийматининг чизма узунлигига teng бўлган ( $e$ ) =  $\frac{e}{\mu_s} = 2,1$  мм ма-

софада вертикал чизиқ ўтказамиз ва унинг  $O'N$  чизиги билан кесишув нуқтасидан 3—4 мм пастроқда танланган  $O$ , нуқта кулачок айланыш марказининг геометрик ўрни бўлади. Демак, кулачокнинг минимал радиуси белгиланган  $O_1$  нуқтадан координата маркази  $O$  гача бўлган оралиқдир, яъни  $R_{\min} = (0,0) = 27$  мм.

3. Кулачок сиртини чизиш.

Кулачок сиртини чизиш учун қуйидаги ишларни бажарамиз:

1) кулачок айланыш маркази  $O_1$  ни белгилаб  $R_{\min} = 27$  мм бўлган радиус билан айланча чизамиз;

2)  $O_1$  нуқтадан  $e = 2,1$  мм бўлган радиус билан айланча чизамиз ва бу айланага уринма бўлган вертикал чизиқ ўтказамиз;

3) ўтказилган уринманинг  $R_{\min}$  радиуси айланча билан кесишув нуқтаси  $O$  дан юқори томонга турткич ҳолатлари 1, 2, 3, . . . ни белгилаймиз;

4) турткичнинг пастки ҳолати  $O$  ва кулачок айланыш маркази  $O_1$  ни туташтирувчи чизиқдан ўнг томонга кулачокнинг фаза бурчаклари

$$\varphi_y = 50^\circ; \varphi_{yt} = 25^\circ; \varphi_x = 50^\circ$$

бурчакларга тирадиб турувчи ёй бўлакларини белгилаймиз. Белгиланган узоқлашиш ва яқинлашиш бурчакларини тенг 6 бўлакка бўлиб бўлинниш нуқталарини ҳосил қилимиз. Ҳосил қилинган бўлинниш нуқталаридан  $e = 2,1$  мм радиусли айланага чап томонидан уринма чизиқлар ўтказамиз. Бу ўтказган чизиқларимиз чизма текислигига қиймати кулачок бурчак тезлигига тенг йўналиши унга қарамана-қарши бўлган бурчак тезлик берганимиздаги турткич ўқ чизиғининг турли ҳолатлари бўлади. Турткич ҳолатлари рим белгилари билан кўрсатилган;

5) кул чок айланыш маркази  $O_1$  дан турткич ҳолатлари 1, 2, 3 гача бўлган масофалар  $R_{0,1}; R_{0,2}; R_{0,3}$  ни радиуслар қилиб ёйлар ўтказамиз ва уларнинг турткичнинг айланма ҳаракатдаги ўқ чизиқлари ҳолатлари I, II, III, . . . билан кесишиш нуқталарини белгилаймиз. Белгиланган нуқталар узлуксиз эгри чизиқ орқали туташтирилиб кулачокнинг назарий сирти ҳосил бўлади.

Ролик радиуси ва кулачокнинг ҳақиқий сирти қуйидагича аниқланади. Кулачок назарий сиртининг энг эгри қисми эгрилик радиуси  $r_{\min} = (AS) = 30$  мм кесмага кўра ролик радиуси қуйидаги шартига асосан белгиланади:

$$r_{\text{rol}} \leqslant 0,7 r_{\min} = 21 \text{ мм.}$$

Иккинчидан қуйидаги шарт ҳам бажарилиши керак:

$$r_{\text{rol}} \leqslant 0,4 R_{\min} = 10,8 \text{ мм.}$$

Иккала шартни қаноатлантирадиган ролик радиусини белгилаймиз:

$$r_{\text{rol}} = 9 \text{ мм.}$$

Кулачокнинг ҳақиқий профилини ҳосил қилиш учун назарий профилнинг иш бурчагига мос келувчи қисмида ҳар 2—3 мм масофада олинган нуқталарни айланыш маркази сифатида қабул қилиб ролик

радиуси  $r_{\text{пол}}$  билан айланачалар ўтказамиз. Бу айланачаларнинг ичкى томонидан умумий уринма эгри чизигини ўтказиш орқали назарий профилга эквидистант бўлган ҳақиқий профил-ишчи профилни ҳосил қиласмиз,

## 7- §. ТИШЛИ УЗАТМАНИ ЛОЙИХАЛАШ (116- шакл)

1. Тўғри тишли ташқи илашмали тишли узатмани ИСО тавсияномасидан фойдаланиб ҳисоблаймиз.

Берилган асбоб учун  $m = 5$  мм,  $\alpha = 20^\circ$ ,  $h_a^* = 1$ ,  $c^* = 0,25$  узатма учун  $z_1 = 12$ ,  $z_2 = 20$

Силжиш коэффициенти қийматини  $z_1 < 30$ ,  $z_2 < 60$  бўлганда аниқлаш формуласи:

$$\begin{aligned}\chi &= 0,03 (30 - z), \\ z_2 &= z_1 + z_2 = 32.\end{aligned}$$

Демак,

Ҳар икки ғилдирак учун силжиш коэффициентининг танланган қийматлари қуйидагича:

$$\begin{aligned}\chi_1 &= 0,03 (30 - 12) = 0,54, \\ \chi_2 &= 0,03 (30 - 20) = 0,30, \\ \chi_2 &= \chi_1 + \chi_2 = 0,84,\end{aligned}$$

Силжиш коэффициентларининг ҳар иккала ғилдираклар учун минимал қийматлари: 9.7 га асосан

$$\begin{aligned}\chi_{1 \min} &= \frac{17 - 12}{17} = 0,294, \\ \chi_{2 \min} &= \frac{17 - 20}{17} = 0,176.\end{aligned}$$

Демак,

$$\begin{aligned}\chi_1 &> \chi_{1 \min} \\ \chi_2 &> \chi_{2 \min}\end{aligned}$$

2. Илашиш бурчагини қуйидаги формуладан аниқлаймиз: (9.13) га асосан

$$\ln \alpha_\omega = \ln \alpha + \frac{2\chi_2 \operatorname{tg} \alpha}{z_2}$$

ёки

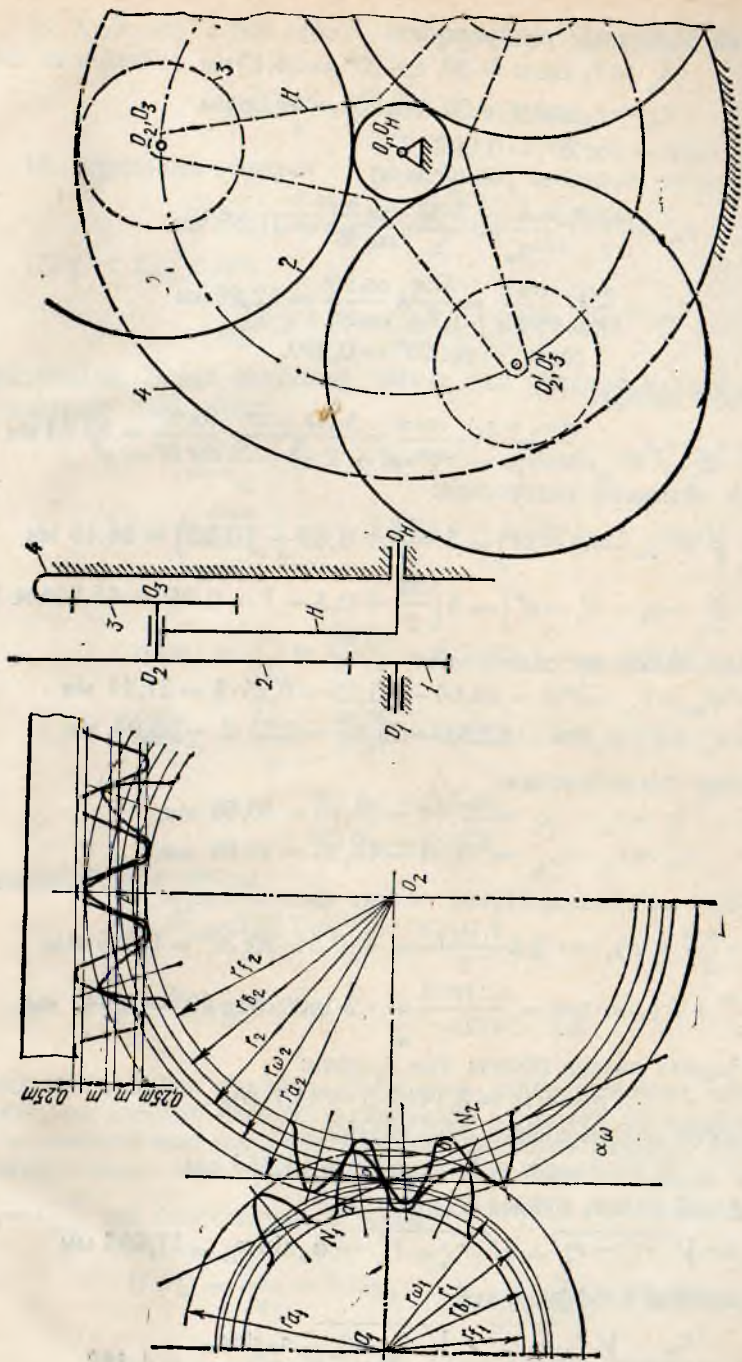
$$\ln \alpha_\omega = \ln 20^\circ + \frac{2 \cdot 0,84 \cdot \operatorname{tg} 20^\circ}{32} = 0,0340.$$

$\alpha_\omega$  бурчак инвалюта жадвалидан фойдаланиб аниқланади: (1- илова)  $\alpha_\omega = 26^\circ$ .

3. Бўлувчи айланалар радиуслари:

$$r_1 = \frac{mz}{2} = \frac{5 \cdot 12}{2} = 30 \text{мм},$$

$$r_2 = \frac{mz_2}{2} = \frac{5 \cdot 20}{2} = 50 \text{мм}.$$



116- шаг 1.

4. Асосий айланалар радиуслари:

$$r_{a_1} = r_1 \cos \alpha = 30 \cdot \cos 20^\circ = 28,19 \text{ мм},$$

$$r_{a_2} = r_2 \cos \alpha = 50 \cdot \cos 20^\circ = 46,98 \text{ мм}.$$

Бу ерда  $\cos \alpha = \cos 20^\circ = 0,9397$ .

5. Башланғыч айланалар радиуслари:

$$r_{\omega_1} = \frac{m z_1}{2} \cdot \frac{\cos \alpha}{\cos \alpha_\omega} = \frac{5 \cdot 12}{2} \cdot \frac{\cos 20^\circ}{\cos 26^\circ} = 31,36 \text{ мм},$$

$$r_{\omega_2} = \frac{m z_2}{2} \cdot \frac{\cos \alpha}{\cos \alpha_\omega} = \frac{5 \cdot 20}{2} \cdot \frac{\cos 20^\circ}{\cos 26^\circ} = 52,26 \text{ мм}$$

$$\cos \alpha_\omega = \cos 26^\circ = 0,899.$$

Үйлараро масофа:

$$a_\omega = r_{\omega_1} + r_{\omega_2} = \frac{m(z_1 + z_2)}{2} \cdot \frac{\cos \alpha}{\cos \alpha_\omega} = \frac{5 \cdot (12 + 20)}{2} \cdot \frac{\cos 20^\circ}{\cos 26^\circ} = 83,64 \text{ мм}$$

7. Ички айланалар радиуслари:

$$r_{f_1} = m \left( \frac{z_1}{2} + \chi_1 - h_a^* - c^* \right) = 5 \left( \frac{12}{2} + 0,54 - 10,25 \right) = 26,45 \text{ мм}$$

$$r_{f_2} = m \left( \frac{z_2}{2} + \chi_2 - h_a^* - c^* \right) = 5 \left( \frac{20}{2} + 0,3 - 1 - 0,25 \right) = 45,25 \text{ мм}$$

8. Ташқи айланалар радиуслари:

$$r_{a_1} = a_\omega - r_{f_1} - c^* m = 83,64 - 26,45 - 0,25 \cdot 5 = 37,14 \text{ мм},$$

$$r_{a_2} = a_\omega - r_{f_2} - c^* m = 83,64 - 45,25 - 0,25 \cdot 5 = 55,94 \text{ мм}.$$

9. Тишлар баландлыклари:

$$h_1 = r_{a_1} - r_{f_1} = 37,14 - 26,45 = 10,69 \text{ мм},$$

$$h_2 = r_{a_2} - r_{f_2} = 55,94 - 45,25 = 10,69 \text{ мм}.$$

10. Бўлувчи айланалар бўйича тишлар қалинликлари:

$$s_1 = \frac{\pi m}{2} + 2 \chi_1 \cdot m \cdot \operatorname{tg} \alpha \frac{3,1416 \cdot 5}{2} + 2 \cdot 0,54 \cdot 5 \operatorname{tg} 20^\circ = 9,815 \text{ мм},$$

$$s_2 = \frac{\pi m}{2} + 2 \chi_2 \cdot m \cdot \operatorname{tg} \alpha = \frac{3,1416 \cdot 5}{2} + 2 \cdot 0,30 \cdot 5 \operatorname{tg} 20^\circ = 8,941 \text{ мм},$$

11. Бўлувчи айлана бўйича тиш қадами:

$$p = \pi m = 3,1416 \cdot 5 = 15,7 \text{ мм}.$$

12. Асосий айлана бўйича тиш қадами;

$$P_\alpha = p \cos \alpha = 15,7 \cos 20^\circ = 14,753 \text{ мм}.$$

13. Асосий айлана бўйича илашиш ёйи:

$$q_\alpha = \sqrt{r_{a_1}^2 - r_{\theta_1}^2} + \sqrt{r_{a_2}^2 - r_{\theta_2}^2} - a_\omega \sin \alpha_\omega = 17,693 \text{ мм}$$

14. Қопланиш коэффициенти:

$$\varepsilon = \frac{q_\alpha}{P_\alpha} = \frac{\sqrt{r_{a_1}^2 - r_{\theta_1}^2} + \sqrt{r_{a_2}^2 - r_{\theta_2}^2} - a_\omega \sin \alpha_\omega}{\pi m \cos \alpha} = 1,198,$$

15. Қирқүвчи асбоб асосий контури ўрта бўлувчи чизиги бўйинча тиш қалинлиги:

$$S = \frac{\pi m}{2} = \frac{3,14 \cdot 5}{2} = 7,85 \text{ мм}$$

16. Эгриланиш радиуси

$$\rho_l = \frac{c^* m}{1 - \sin \alpha} = \frac{0,25 \cdot 5}{1 - \sin 20^\circ} = 1,899 \text{ мм}$$

17.  $\chi_1 < \chi_{\max}$  шарт,

$$\frac{S_{a_1}}{m} \geqslant 0,2; \quad \frac{S_{a_2}}{m} \geqslant 0,2 \text{ бўлганда}$$

**бажарилади.** Ташқи айланалар бўйича тиш қалинлигини қўйидағи формулалардан аниқлаймиз:

$$S_{a_1} = m \frac{\cos \alpha}{\cos \alpha_{a_1}} \left[ \frac{\pi}{2} + \chi_1 \cdot \operatorname{tg} \alpha - z_1 (\operatorname{inv} \alpha_{a_1} - \operatorname{inv} \alpha) \right]$$

$$S_{a_2} = m \frac{\cos \alpha}{\cos \alpha_{a_2}} \left[ \frac{\pi}{2} + 2 \chi_1 \operatorname{tg} \alpha - z_1 (\operatorname{inv} \alpha_{a_2} - \operatorname{inv} \alpha) \right]$$

бу ерда

$$\cos \alpha_{a_1} = \frac{r_{a_1}}{r_{a_1}} = \frac{28,19}{37,14} = 0,7590; \quad = \alpha_{a_1}, 40^\circ 37;$$

$$\cos \alpha_{a_2} = \frac{r_{a_2}}{r_{a_2}} = \frac{46,98}{55,94} = 0,8398; \quad = \alpha_{a_2}, 32^\circ 53;$$

$$\operatorname{inv} \alpha_{a_1} = 0,149;$$

$$\operatorname{inv} \alpha_{a_2} = 0,073.$$

Булаарни ўрнига қўйсак:

$$S_{a_1} = 2,011 \text{ мм}, \quad \frac{S_{a_1}}{m} = 0,4 > 0,2,$$

$$S_{a_2} = 3,5 \text{ мм}, \quad \frac{S_{a_2}}{m} = 0,7 > 0,2.$$

Чизма масштабини танлаб ҳисобланган параметрларнинг чизма қийматларини аниқлаб оламиз: фидирақлар илашмаси 24 формат қозозига чизилганда тиш масштаби шундай танланиши керакки, бунда тиш баландлигининг чизма узунлиги 50 мм дан кичик бўлмасин. Масалан,

$\mu_s = 1 \frac{\text{мм}}{\text{мм}}$  деб белгилаймиз. У ҳолда:

$$1) (r_1) = \frac{r_1}{\mu_s} = 30 \text{ мм}, \quad (r_2) = \frac{r_2}{\mu_s} = 50 \text{ мм},$$

$$2) (r_{a_1}) = \frac{r_{a_1}}{\mu_s} = 28,19 \text{ мм}, \quad (r_{a_2}) = \frac{r_{a_2}}{\mu_s} = 46,98 \text{ мм},$$

$$3) (r_{\omega_1}) = \frac{r_{\omega_1}}{\mu_s} = 31,36 \text{ мм} \quad (r_{\omega_2}) = \frac{r_{\omega_2}}{\mu_s} = 52,28 \text{ мм},$$

$$4) (a_{\omega}) = \frac{a}{\mu_s} = 83,64 \text{ мм.}$$

$$5) (r_{f_1}) = \frac{r_{f_1}}{\mu_s} = 26,45 \text{ мм}, \quad (r_{f_2}) = \frac{r_{f_2}}{\mu_s} = 45,25 \text{ мм},$$

$$6) (r_{a_1}) = \frac{r_{a_1}}{\mu_s} = 37,14 \text{ мм}, \quad (r_{a_2}) = \frac{r_{a_2}}{\mu_s} = 55,94 \text{ мм},$$

$$7) (h_1) = \frac{h_1}{\mu_s} = 10,69 \text{ мм}, \quad (h_2) = \frac{h_2}{\mu_s} = 10,69 \text{ мм},$$

$$8) (S_1) = \frac{S_1}{\mu_s} = 9,82 \text{ мм}, \quad (S_2) = \frac{S_2}{\mu_s} = 6,94 \text{ мм},$$

$$9) (p) = \frac{P}{\mu_s} = 15,7 \text{ мм},$$

$$10) (s) = \frac{s}{\mu_s} = 7,85 \text{ мм},$$

$$11) (p_f) = \frac{P_f}{\mu_s} = 1,90 \text{ мм.}$$

2. Тишли илашма элементларини чизиш. Тиш профиллари қўйидаги кетма-кетликада чизилади:

1) Ўзаро  $a_{\omega} = 83,64$  мм масофада иккала фидирек марказлари  $O_1$  ва  $O_2$  белгиланади. Сўнгра бошланғич  $r_{\omega_1} = 31,36$  мм ва  $r_{\omega_2} = 52,28$  мм, бўлувчи  $r_1 = 30$  мм ва  $r_2 = 50$  мм, асосий  $r_{a_1} = 28,19$  мм ва  $r_{a_2} = 46,98$  мм, ташқи  $r_{a_1} = 37,14$  мм ва  $r_{a_2} = 35,94$  мм, ички  $r_{f_1} = 26,45$  мм ва  $r_{f_2} = 45,24$  мм айланалар радиуслари бўйича ёйлар чизилади. Бунда  $r_{\omega_1}$  ва  $r_{\omega_2}$  радиуслар бўйича чизилган айланалар ўзаро Қутб  $P$  да уринадилар.  $r_{a_1}$  ва  $r_{f_2}$ ,  $r_{a_2}$  ва  $r_{f_1}$  радиусли айланалар орасида  $\frac{c^*m}{\mu_s} = 1,25$  мм бўлган радиал зазор ҳосил бўлади.

2) Қутб  $P$  дан  $r_{a_1}$  ва  $r_{a_2}$  радиусли асосий айланаларга уринма равишда илашиш чизиги  $N_1 N_2$  ўтказилади. Илашиш чизиги ўқлар ораси чизигига  $P$  нуқтадан ўтказилган перпендикуляр чизик билан  $\alpha_{\omega}$  бурчак ҳосил қиласди.

3)  $N_1 N_2$  чизигининг ҳар икки асосий айланага нисбатан сирпанмай ҳаракатланиш натижасидаги  $P$  нуқта чизган траекторияси— эвольверналар асосий айланана ва ташқи айланалар оралиқларида қурилади.

4) Бўлувчи айланада унинг эвольвента чизиги билан кесишув нуқтасидан бошлаб ана шу нуқтанинг ўнг ва чап томонда тиш қадами  $p = 15,7$  мм масофада нуқталар белгиланади.

Сўнгра белгиланган нуқталардан чап томонга (чизилган эвольвернанинг ботиқ томонига) тиш қалинлигининг чизма қийматига тенг ёй бўлаклари белгиланади. Сўнгра уларнинг ўрталари белгиланиб, белгиланган нуқталар айланна маркази билан туташтирилади ва тишларнинг симметрия ўқлари ҳосил қилинади. Тишнинг ярми учун қаттиқ қофоз-

дан андоза тайёрланиб, тишиларнинг симметрия чизигидан фойдаланигаи ҳолда ҳамма тишиларнинг профиллари чизилади. Ҳар бир ғилдирак учун З тадан тиш чизилади.

3. Илашманинг сифат кўрсаткичлари. 1. Илашиш чизигининг асосий айланаларига уриниш нуқталари  $N_1$  ва  $N_2$  орасидаги бўлгали илашманинг назарий илашиш чизиги бўлади.

2. Назарий илашиш чизиги  $N_1 N_2$  нинг ташқи айланалар  $r_{a_1}$  ва  $r_{a_2}$  билан кесишувидан ҳосил бўлган ( $ab$ ) кесма актив илашиш чизигидир. Ҳар иккала ғилдирак тишиларнинг сиртлари ўзаро фақат актив илашиш чизигидагина уринадилар. Шу сабабли актив илашиш чизиги  $ab$  шининг бирор  $D$  нуқтасида уринадиган ҳар иккала ғилдирак тишилари сиртларида нуқталар  $d_1$  ва  $d_2$  ларнинг геометрик ўрнини топиш учун  $D$  нуқтадан  $O_1 D$  ва  $O_2 D$  ёйлар ўтказамиз. Уларнинг тиш профиллари билан кесишуvida ҳосил бўлган нуқталар  $d_1$  ва  $d_2$  ўзаро уринувчи нуқталар бўлади.

Ҳар икки ғилдирак тиш сиртларининг ишчи қисмини ҳосил қилиш учун актив илашиш чизигининг чекка нуқталари  $a$  ва  $b$  дан ҳар икки ғилдирак ўқлари  $O_1$  ва  $O_2$  нуқталар атрофида ёйлар ўтказамиз. Уларнинг тиш сиртлари билан кесишуви натижасида ҳар икки ғилдирак тиш сиртларининг ишчи қисми  $a' b'$  ва  $a'' b''$  (штрихланган қисми) аниқланади.

Илашиш ёйлари деб бир жуфт тиш илашиш жараёнида тишиларнинг бошлангич айланадаги нуқталарининг босиб ўтган йўлларига айтилади. Илашиш ёйларининг узунликларини аниқлаш учун актив илашиш чизигининг четки  $a$  ва  $b$  нуқталарида илашувчи тиш профиллари пункттир чизиқлар билан чизилади. Уларнинг бослангич айланалар билан кесишув нуқталари оралиғидаги ёй бўлаклари  $n_1 m_1$  ва  $n_2 m_2$  ҳар иккала ғилдираклар учун илашиш ёйларидир.

Қопланиш коэффициенти  $\epsilon$  нинг қийматини график усулда аниқлаш учун қўйидаги формуладан фойдаланамиз.

$$\epsilon = \frac{ab}{p_\alpha} \approx 1,24,$$

$ab$  актив илашиш чизиги,  $p_\alpha$  асосий айлана бўйича ўлчанадиган тиш қадами.

Уларнинг ҳар иккисининг қийматлари чизмадан тўғридан-тўғри ўлчаб олинади.

#### 8- §. ПЛАНЕТАР РЕДУКТОРНИ ЛОЙИХАЛАШ

Электродвигатель валидан кривошипгача бўлган узатманинг узатиши нисбати:

$$u_{28} = \frac{n_2}{n_8} = \frac{1398}{47} = 29,75,$$

$$u_{28} = u_{23}' \cdot u_{37}^6,$$

$$u_{23}' = \frac{z_3'}{z_2} = \frac{20}{12} = 1,75,$$

$$u_{37}^6 = u_{\text{пл}} = \frac{u_{28}}{u_{23}'} = \frac{29,75}{1,75} = 17.$$

Ғилдираклари икки қатор жойлашған биттадан ташқи ва ички илашмали планетар редукторни лойихалаш үчүн қабул қыламиз. Бұның узатманинг узатыш нисбати қуйидаги формуладан анықланади.

$$u_{37}^6 = 1 + \frac{z_4 \cdot z_6}{z_3 \cdot z_5},$$

бундан

$$\frac{z_4}{z_3} \cdot \frac{z_6}{z_5} = u_{37}^6 - 1 = 17 - 1 = 16.$$

Узатыш нисбатини қаноатлантирадиган тишилар сони  $z_3, z_4, z_5, z_6$  ни анықлаш үчүн аввало уларга пропорционал бўлган сонларни қабул қыламиз:

$$\frac{z_4}{z_3} \cdot \frac{z_6}{z_5} = \frac{B \cdot D}{A \cdot C} = \frac{B(D-C)}{A(D-C)} \cdot \frac{D(A+B)}{C(A+B)}.$$

Тенгламадан кўриниб турибдикি:

$$\begin{aligned} z_3 &= A(D-C)q, & z_4 &= B(D-C) \cdot q, \\ z_5 &= C(A+B)q, & z_6 &= D(A+B) \cdot q. \end{aligned}$$

Умумий кўпайтувчи  $q$  ни шундай танлаймизки, ҳамма тишилар сони бутун сон бўлсин ва қуйидаги шарт ҳам қаноатлантирилсин:

- 1)  $z_3 \geq 17, \quad z_4 \geq 17.$
- 2)  $z_5 \geq 20, \quad z_6 \geq 85, \quad z_6 - z_5 \geq 8.$

Кўрсатилган шартлар нуль ғилдиракларнинг асосида қирқилиш юз бермаслиги ва ички илашмали ғилдиракларда уларнинг ўзаро қадалмаслигини таъминлауди.

$$\frac{z_4}{z_3} \cdot \frac{z_6}{z_5} = \frac{4 \cdot 4}{1 \cdot 1} = \frac{8 \cdot 2}{1 \cdot 1} = \frac{2 \cdot 8}{1 \cdot 1} = \frac{B \cdot D}{A \cdot C} = \frac{B(D-C)}{A(D-C)} \cdot \frac{D(A+B)}{C(A+B)}.$$

Қуйидаги қийматларга эга бўлган ғилдираклар тишилари сони қабул қилинган узатыш нисбати  $u_{37} = 17$  ни қаноатлантиради.

$$\begin{array}{lll} z_3 = 1(4-1) & z_3 = 1(2-1) & z_3 = 1(8-1) \\ z_4 = 4(4-1) \times 6 & z_4 = 8(2-1) \times 17 & z_4 = 2(8-1) \times 6 \\ z_5 = 1(4+1) & z_5 = 1(8+1) & z_5 = 1(2+1) \\ z_6 = 4(4+1) & z_6 = 2(8+1) & z_6 = 8(2+1) \end{array}$$

$$\begin{array}{lll} z_3 = 18 & z_3 = 17 & z_3 = 42 \\ z_4 = 72 & z_4 = 136 & z_4 = 84 \\ z_5 = 30 & z_5 = 153 & z_5 = 18 \\ z_6 = 120 & z_6 = 306 & z_6 = 144 \end{array}$$

Механизм қўлламишининг ихчам бўлишилиги мулоҳазаси бизни биринчи вариантдаги тишилар сонини қабул қилишга ундайди. Яъни, лойихаланган планетар редукторнинг ғилдираклари тишилар сони қуйидагича:

$$z_3 = 18, \quad z_3 > 17,$$

$$\begin{aligned} z_4 &= 72, & z_4 &> 17, \\ z_5 &= 30, & z_5 &> 20, \\ z_6 &= 120, & z_6 &> 85. \\ z_6 - z_5 &= 120 - 30 > 6, \end{aligned}$$

Үқларнинг устма-уст тушиш шарти:  $z_3 + z_4 = z_6 - z_5$ ,  
 $90 = 90$ .

Йигиш шарти:

$$\frac{z_3 \cdot u_{\text{пл}}}{K} = (1 + p\kappa) = B, \quad \frac{18 \cdot 17}{3} (1 + 0 \cdot 3) = 102.$$

Қўшничилик шарти:

$$\begin{aligned} \sin \frac{180^\circ}{3} &> \frac{72 + 2}{18 + 72} = \frac{74}{90}, \\ \sin 60^\circ &> \frac{74}{90}, \quad 0,866 > 0,822. \end{aligned}$$

Демак, ҳамма шартлар бажарилади. Шу сабабли биз қабул қилган планетар редукторнинг узатиш нисбати  $u_{\text{пл}} = 17$  бўлиб, сателлитлар сони 3 га teng.  $z_3 = 18$ ,  $z_4 = 72$ ,  $z_5 = 30$ ,  $z_6 = 120$ .

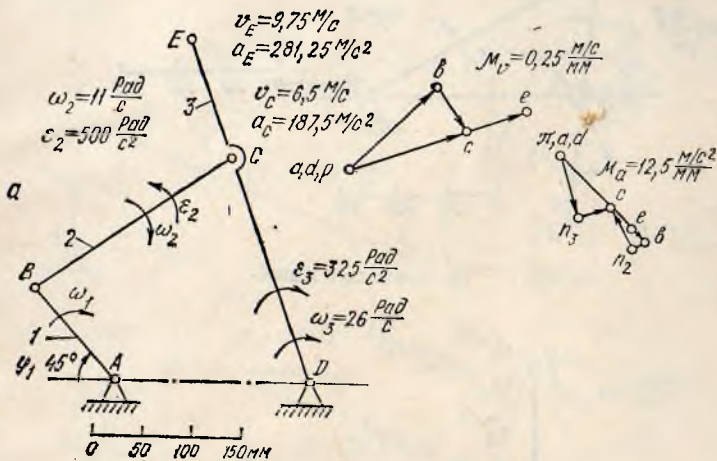


cos $\alpha$  қиынматларининг жадвали

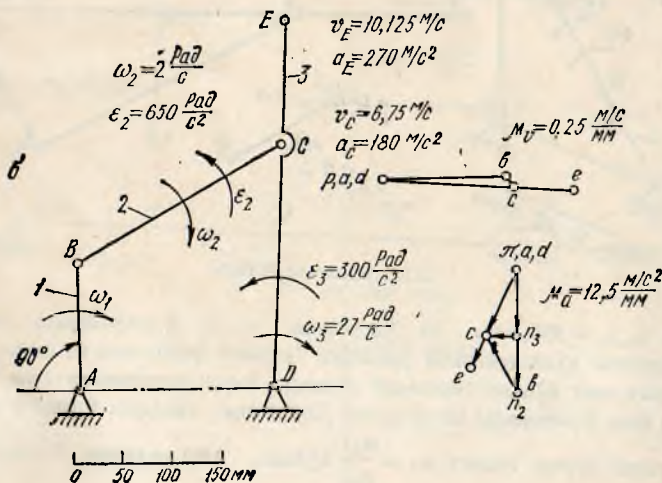
| Бурчак | Тартыб | 0,0' | 10' | 20' | 30' | 40' | 50' | 60' |
|--------|--------|------|-----|-----|-----|-----|-----|-----|
| 20°    | 0      | 940  | 939 | 938 | 937 | 936 | 935 | 934 |
| 21°    | 0      | 934  | 932 | 931 | 930 | 929 | 928 | 927 |
| 22°    | 0      | 927  | 926 | 925 | 924 | 923 | 922 | 920 |
| 23°    | 0      | 920  | 919 | 918 | 917 | 916 | 915 | 913 |
| 24°    | 0      | 913  | 912 | 911 | 910 | 909 | 907 | 906 |
| 25°    | 0      | 906  | 905 | 904 | 903 | 901 | 900 | 899 |
| 26°    | 0      | 899  | 897 | 896 | 895 | 894 | 892 | 891 |
| 27°    | 0      | 891  | 890 | 888 | 887 | 886 | 884 | 883 |
| 28°    | 0      | 883  | 882 | 880 | 879 | 877 | 876 | 875 |
| 29°    | 0      | 875  | 873 | 872 | 870 | 869 | 867 | 866 |
| 30°    | 0      | 866  | 865 | 863 | 862 | 860 | 859 | 857 |

## ЖАВОБЛАР

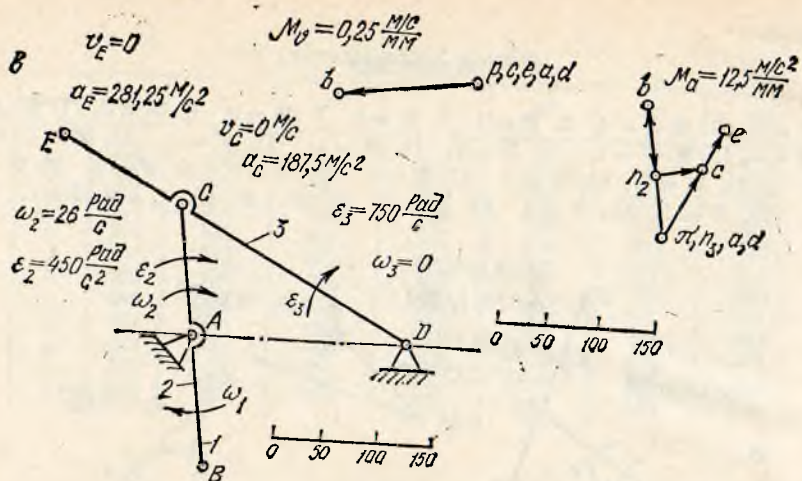
1.  $W = 0$ . 2.  $W = -1$ . 3.  $W = 1$ . 4.  $W = 1$ . 5.  $W = 0$ . 6.  $W = 3$ . 7.  $W = 3$ .  
 8.  $W = -1$ . 9.  $W = 1$ . 10.  $W = 1$ . 11.  $W = 1$ . 12.  $W = 1$ . 13.  $W = 1$ . 14.  
 $W = 3$ . 15.  $W = 2$ . 16.  $W = 1$ . 17.  $W = 1$ . 18.  $W = 0$ . 19.  $W = 1$ . 20.  $W =$   
 $= 1$ . 21.  $W = 1$ . 22.  $W = 1$ . 23.  $W = 2$ . 24.  $W = 2$ . 48.  $v_A = 2,33 \text{ м/с}$ . 49.



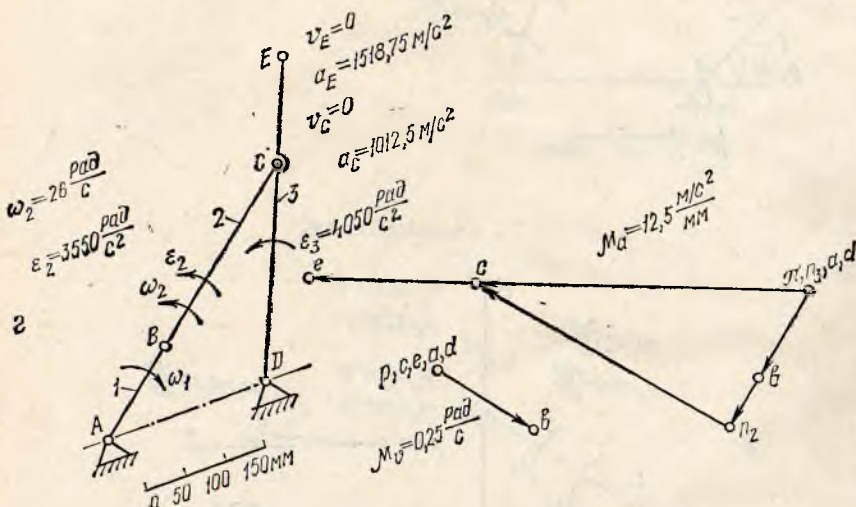
30- а масалага жавоб.



30- б масалага жавоб.

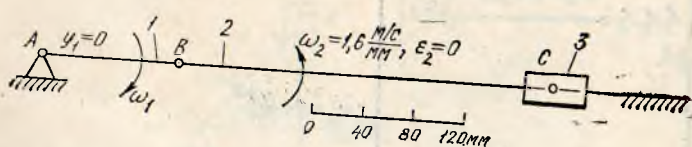
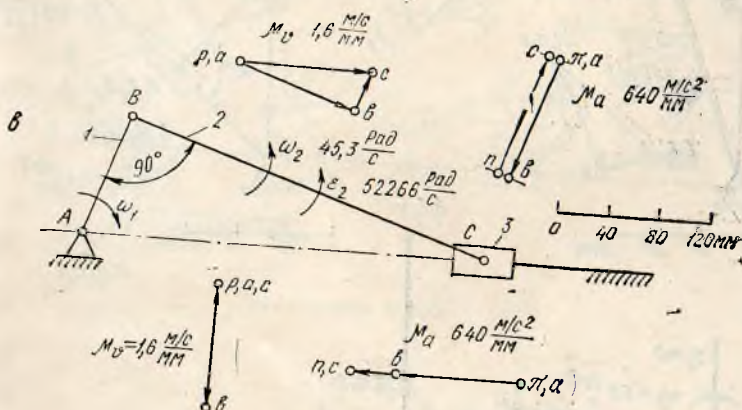
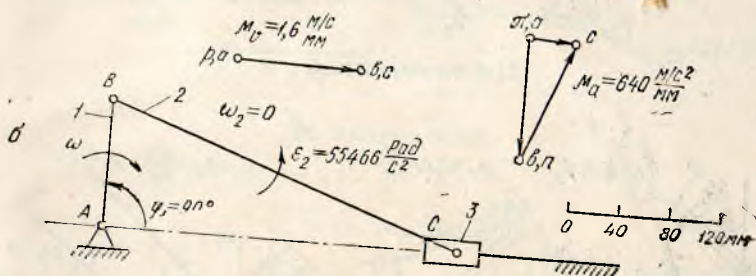
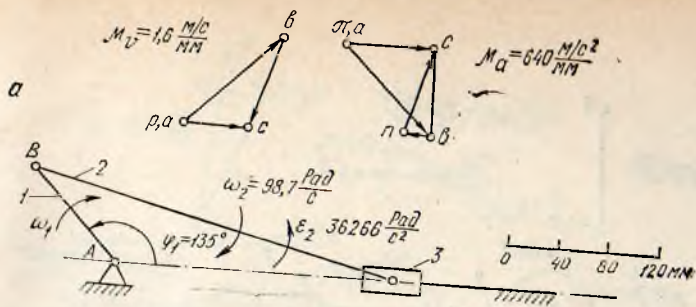


30- в масалага жавоб.

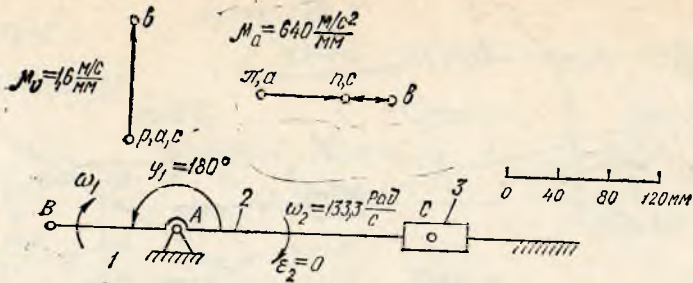


30- г масалага жавоб.

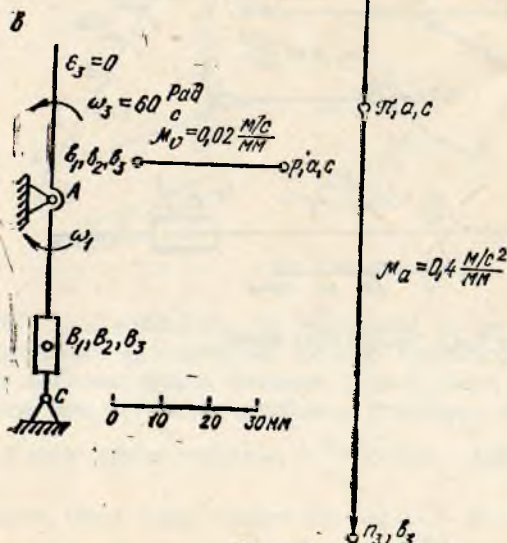
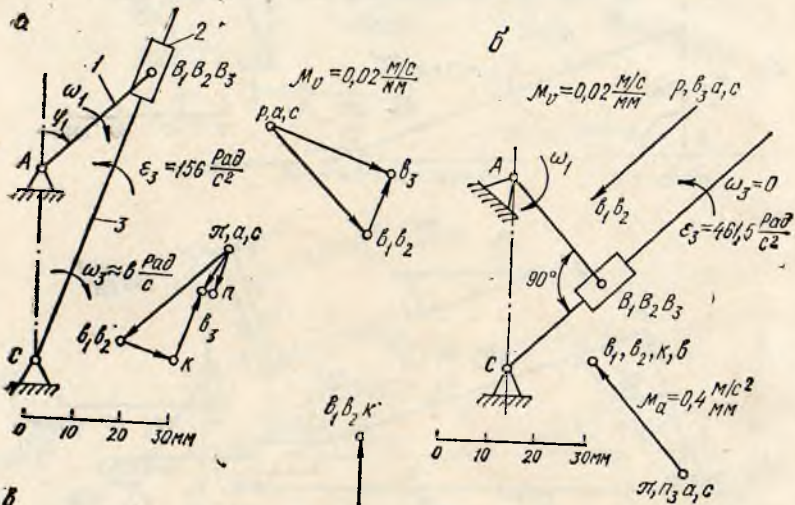
$u_{18} = 2$ .  $l_{o_1, o_3} = 495,5$  мм. 50. Масаланинг а) ва б) шартларида тасвирланган механизмларнинг құзғалуучанлық даражасы Чебишев формуласи ва формула (4.1) га ассосан нюлга тенг бўлади (текшириб кўринг). Бироқ филдираклар сони жуфт бўлган қатор ёпиқ узатмаларда ишлайдилар. Дарҳақиқат, филдирак 6 филдирак 1 дан ажратиласа унинг бурчак тезлиги  $\omega_6 = \frac{\omega_1}{u_{16}}$  бўлади. Агар филдирак 6 филдирак 5 дан ажратиласа, унинг бурчак тезлиги яна  $\omega_6 = \frac{\omega_1}{u_{16}}$  бўлади. Демак, филдираклар сони



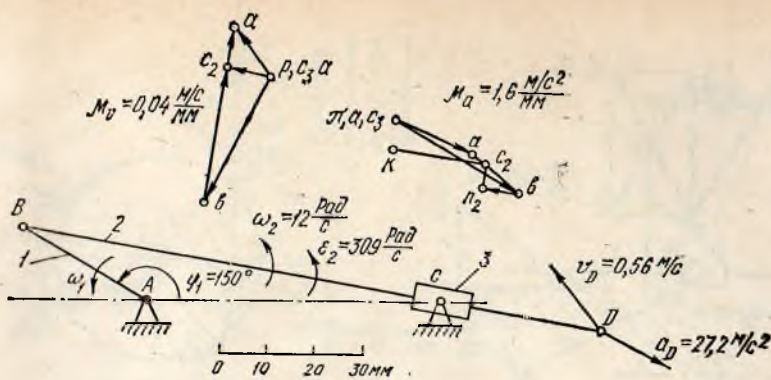
31- a, б, в, г масалаларга жавоб.



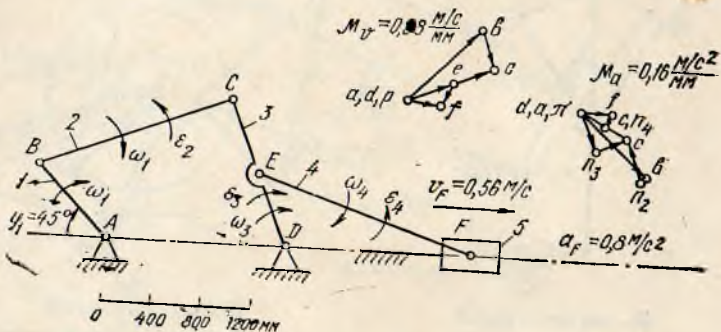
31-д масалага жавоб.



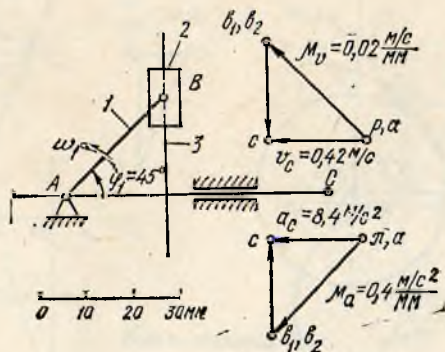
32- а, б, в масалаларга жавоб.



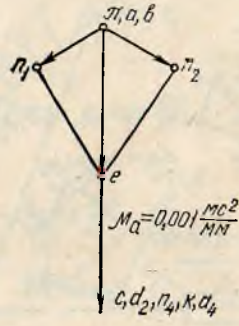
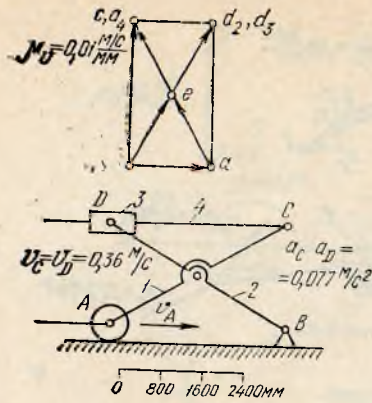
33- масалага жавоб.



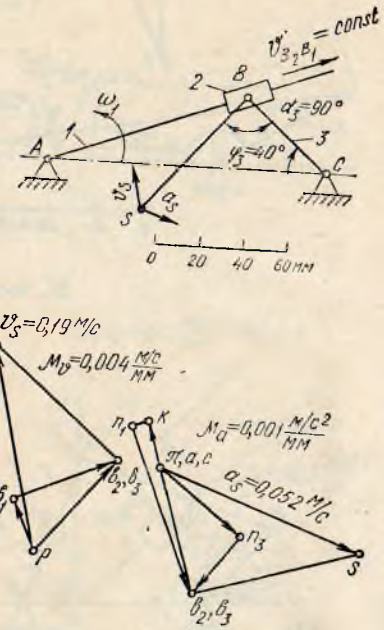
34- масалага жавоб.



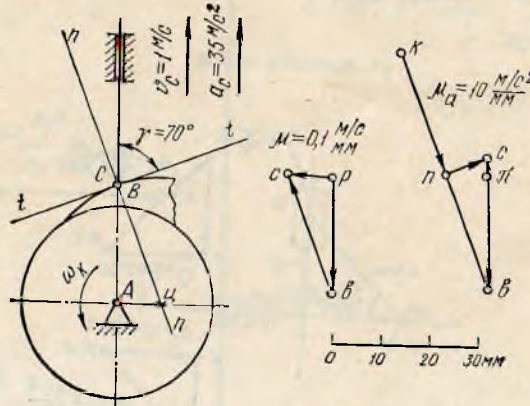
35- масалага жавоб.



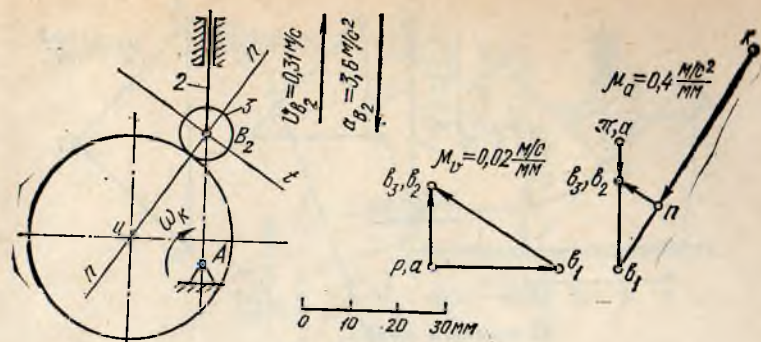
36- масалага жавоб.



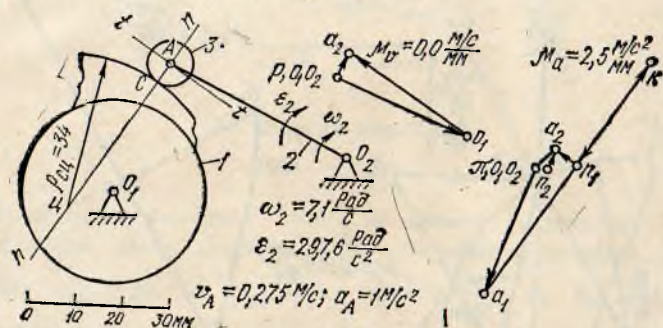
37- масалага жавоб.



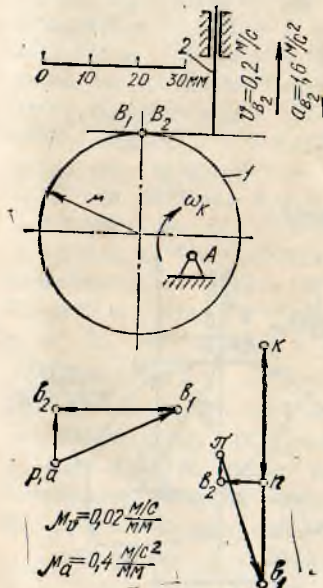
38- масалага жавоб



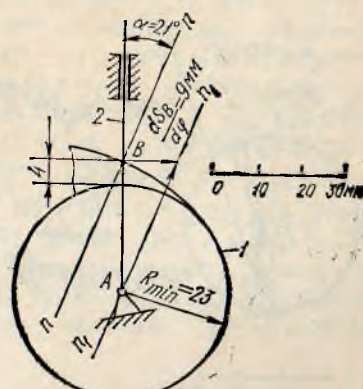
39- масалага жавоб.



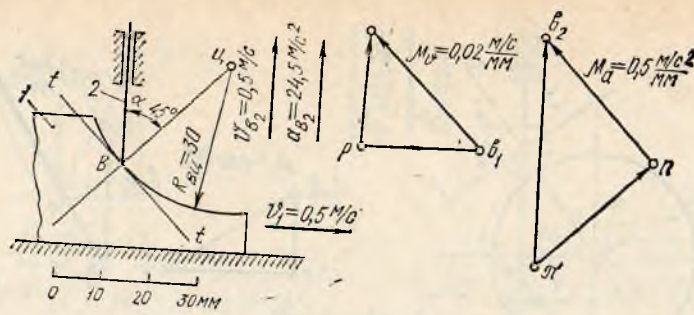
40- масалага жавоб.



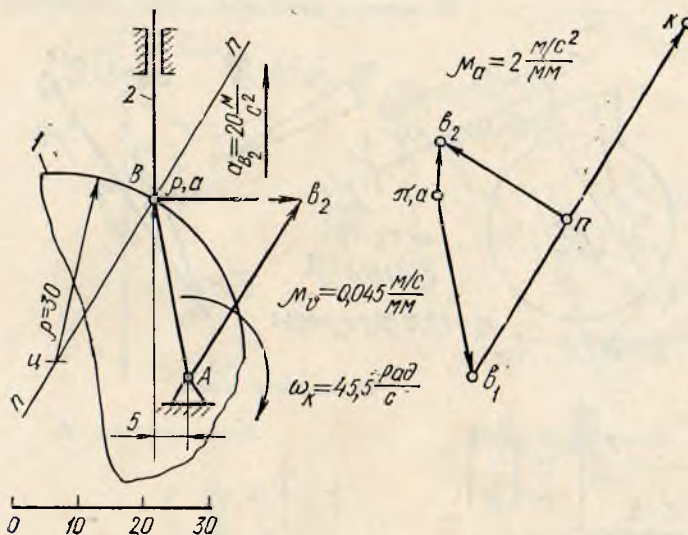
41- масалага жавоб.



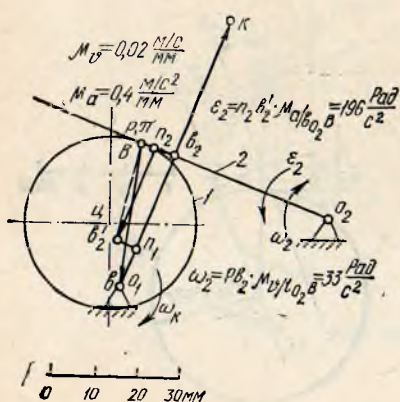
42- масалага жавоб.



43- масалага жавоб.

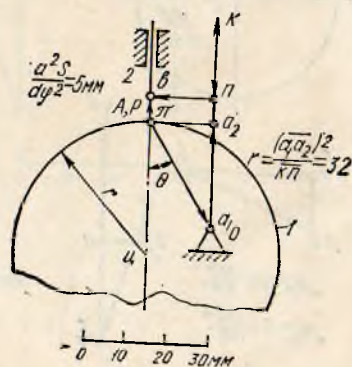


44- масалага жавоб.

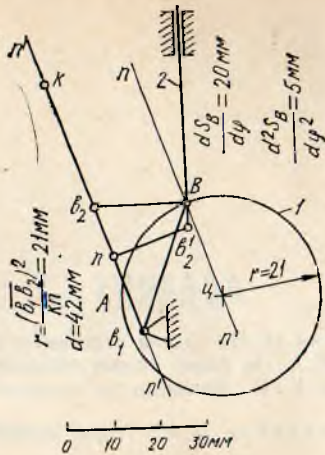


45- масалага жавоб.

240



46- масалага жавоб.



47- масалага жавоб.

жуфт бүлганиң қатор узатманинг охирги ва биринчи гидираклары үзаро илашыб ёпиқ узатма ҳосил қылсалар бундай узатмалар ишлайдилар. 51.  $u_{1H} = 160$ . 52.  $u_{1H2} = 20$ . 53.  $u_{1H} = 13$ ,  $n_H = 50 \frac{\text{мин}}{\text{мин}}$ ; 54.  $R_{01} = R_{12} = R_{23} = R_{43} = 70 \text{ Н}$ .  $M_m = 100 \text{ Н. м}$ . 55.  $R_{12} = 1002 \text{ Н}$ .  $R_{03} = 920 \text{ Н}$ .  $R_{23} = 1360 \text{ Н}$ .  $R_{01} = 70 \text{ Н}$ .  $M_m = 100 \text{ Н. м}$ . 56.  $R_{23} = 715.56 \text{ Н}$ .  $R_{03} = 620 \text{ Н}$ .  $R_{01} = 370 \text{ Н}$ .  $M_u = 39.35 \text{ Н. м}$ . 57.  $M_m = 7.11 \text{ Н. м}$ . 58.  $R_{01} = R_{12} = R_{23} = R_{03} = 353.55 \text{ Н}$ .  $M_m = 12.5 \text{ Н. м}$ . 59.  $M_{keL} = 400 \text{ Н. м}$ .  $J_{keL} = 0.064 \text{ кг. м}^2$ . 60.  $M_{keL} = 1000 \text{ Н. м}$ .  $J_{keL} = 4 \text{ кг. м}^2$ . 61.  $M_{keL} = 14 \text{ Н. м}$ .  $J_{keL} = 0.00245 \text{ кг. м}^2$ . 62.  $M_{keL} = 2.575 \text{ Н. м}$ .  $J_{keL} = 0.0006634 \text{ кг. м}^2$ . 63.  $M_{keL} = 5.21 \text{ Н. м}$ .  $J_{keL} = 0.0021776 \text{ кг. м}^2$ . 64.  $M_{keL} = 100 \text{ Н. м}$ .  $J_{keL} = 0.025 \text{ кг. м}^2$ . 65. 1)  $\varphi = 0^\circ$  да  $M_{keL} = 0 \text{ Н. м}$ ,  $J_{keL} = 0 \text{ кг. м}^2$ . 2)  $\varphi = 45^\circ$  да  $M_{keL} = 4.24 \text{ Н. м}$ .  $J_{keL} = 0.005 \text{ кг. м}^2$ . 3)  $\varphi = 90^\circ$  да  $M_{keL} = 6 \text{ кг. м}$ .  $J_{keL} = 0.01 \text{ кг. м}^2$ . 66.  $M_{keL} = 16.25 \text{ Н. м}$ .  $J_{keL} = 0.10562 \text{ кг. м}^2$ . 67.  $M_{keL} = 0.9 \text{ Н. м}$ .  $J_{keL} = 0.00018 \text{ кг. м}^2$ . 68.  $M_{keL} = 0.2 \text{ Н. м}$ .  $J_{keL} = 0.00004 \text{ кг. м}^2$ . 69.  $\varphi = 0^\circ$  да  $M_{keL} = 26 \text{ Н. м}$ .  $J_{keL} = 0.05408 \text{ кг. м}^2$ . 2)  $\varphi = 180^\circ$  да  $M_{keL} = 93.2 \text{ Н. м}$ .  $J_{keL} = 0.6949 \text{ кг. м}^2$ . 70.  $M_{keL} = 7.5 \text{ Н. м}$ .  $J_{keL} = 0.05 \text{ кг. м}^2$ . 71.  $M_{keL} = 115 \text{ Н. м}$ .  $J_{keL} = 0.082944 \text{ кг. м}^2$ . 72.  $M_{keL} = 250 \text{ Н. м}$ .  $J_{keL} = 2.103125 \text{ кг. м}^2$ . 73.  $M_{keL} = 250 \text{ Н. м}$ .  $J_{2,3} = 0.015 \text{ кг. м}^2$ ,  $J_{4,5} = 0.0225 \text{ кг. м}^2$ .  $J_6 = 0.125 \text{ кг. м}^2$ .  $J_{keL} = 0.07 \text{ кг. м}^2$ . 74.  $M_{keL} = 30 \text{ Н. м}$ .  $J_{keL} = 0.0375 \text{ кг. м}^2$ . 75.  $M_{keL} = 7.692 \text{ Н. м}$ .  $J_{keL} = 0.0333726 \text{ кг. м}^2$ . 76.  $z_2 = 63$ ,  $z_3 = 144$ . 77.  $K < 5$ . 78.  $z_1 = 24$ ,  $z_2 = 72$ ,  $z_3 = 24$ ;  $z_4 = 100$ , чунки:  $z_1 > 17$ ;  $z_2 > 17$ ;  $z_3 > 20$ ;  $z_4 > 85$ .  $z_4 - z_3 > 8$ . Сателлитлар блокининг максимал сони  $K = 3$ . 79.  $s = 15.714 \text{ мм}$ ,  $s_a = 6.81 \text{ мм}$ ; 80.  $\chi_1 = 0.412$ ;  $\chi_2 = -0.176$ ;  $a_{\omega} = 305.79 \text{ мм}$ . 82.  $s = 9$ . 83.  $\alpha_{\omega} = 26^\circ 50'$ ,  $r_{\omega_1} = 52.667 \text{ мм}$ ,  $r_{\omega_2} = 105.333 \text{ мм}$ .

## АДАБИЁТ

1. Артоболевский И.И. Теория механизмов и машин М., «Наука», 1975г.
2. Гавриленко В.А. ва бошқ. Теория механизмов. «Высшая школа», 1973г.
3. Усмонхўжаев Х.Х. Механизм ва машиналар назарияси. «Ўқитувчи» нашриёти, Т., 1981 й.
4. Юдин В. А. Петрокас Л.В. Теория механизмов и машин. М., «Высшая школа», 1967 г.
5. Иzzатов З.Х. Механизм ва машиналар назариясидан курсавий лойиҳалаш. «Ўқитувчи» нашриёти, Т. 1979 й.
6. Артоболевский И.И. Эдельштейн. Б. В. Сборник задач по теории механизмов и машин. М. «Наука».
7. Безвесельный Е. С. Вопросы и задачи по теории механизмов и машин. Киев «Вища школа», 1977 г.
8. Юдин В. А. Барсов Г. А. Сборник задач и примеров по теории механизмов и машин. РосВУЗИЗДАТ, 1963 г.
9. Рустамходжаев Р. П. Волкова П. И. Безмашинный метод программированного обучения и контроля по курсу «Теория механизмов и машин». Сборник научно-методических статей. Повышение эффективности и качество обучения. «Ўқитувчи». Т., 1981 г.
10. Рустамхўжаев Р. П. Қодиров Р. Х. Машина ва механизмлар назариясидан курсе лойиҳасини бажариш учун методик қўлланма. I ва II қисм. ТАДИ. 1979 г.
11. Рустамхўжаев Р. П. Қўндаланг рандалаш станоги механизмлари ва қисмларини тадқиқ этиш ва лойиҳалаш. ТАДИ 1981 й.
12. Рустамхўжаев Р. П. Кривошип-ползунили пресс механизмлари ва қисмларини лойиҳалаш ва тадқиқ этиш ТАДИ. 1981 й.
13. Рустамходжаев. Р.П. Методические указания к лабораторным работам о курсу ТММ.ТАДИ. 1982 г.

## МУНДАРИЖА

|   |           |
|---|-----------|
| Сүз боши . . . . .  | 3         |
| <b>Биринчи қисм</b>   |           |
| <b>МЕХАНИЗМЛАРНИ ТЕКШИРИШ</b>   |           |
| <b>1-боб. Механизмларнинг тузилишини текшириш ва уларнинг классификацияси . . . . .</b>                                 | <b>4</b>  |
| 1- §. Асосий тушунчалар . . . . .   | 4         |
| 2- §. Звенолар ва кинематик жуфтларни шартли белгилаш . . . . .   | 5         |
| 3- §. Текисликдаги механизмларнинг тузилишини текшириш . . . . .  | 6         |
| 4- §. Текис механизмларни ҳосил қилиш. Механизмларнинг Ассур — Артоболевский классификацияси . . . . .                  | 7         |
| <b>2-боб. Ричагли механизмларнинг кинематикасини текшириш . . . . .</b>   | <b>14</b> |
| 1- §. Асосий масалалар ва умумий мулоҳазалар . . . . .  | 14        |
| 2- §. Механизмнинг кинематик схемасини чизиш . . . . .  | 15        |
| 3- §. Механизмнинг турли ҳолатларини қуриш. Нуқта траекториясини аниқлаш . . . . .                                      | 17        |
| 4- §. Механизм кинематикасини диаграммалар усулни билдириш . . . . .  | 19        |
| 5- §. Ричагли механизм кинематикасини қутбий тезлик ва қутбий тезланиш планлари ёрдамида текшириш . . . . .             | 23        |
| 6- §. Айланма кинематик жуфтли иккичи класс Ассур группаси учун тезлик ва тезланишларни аниқлаш . . . . .               | 25        |
| 7- §. Илгарилама ва айланма кинематик жуфтли иккичи класс Ассур группаси учун тезлик ва тезланишларни аниқлаш . . . . . | 31        |
| 8- § Учинчи класс Ассур группалари учун тезлик ва газланишларни аниқлаш . . . . .                                       | 52        |
| <b>3-боб. Кулачокли механизмларни кинематик текшириш . . . . .</b>  | <b>64</b> |
| 1- §. Кинематик текшириш усуллари. Алмаштирувчи механизмларни ҳосил қилиш . . . . .                                     | 64        |
| 2- § Тезлик ва тезланишларни аниқлаш. Уларнинг ҳақиқий ва аналог қийматлари . . . . .                                   | 66        |
| <b>4-боб. Мураккаб тишли фидиракли механизмларни кинематик текшириш</b>   | <b>76</b> |
| 1- §. Ўқлари қўзғалмас бўлган тишли узатмаларни кинематик текшириш . . . . .  | 76        |
| 2- §. Ўқлари ҳаракатланувчи тишли фидиракли механизмлар (эпизицлик механизмлар) . . . . .                               | 79        |
| 3- §. Планетар редукторларнинг ҳаракетистикалари . . . . .  | 80        |
| 4- §. Планетар механизмларни аналитик усулда текшириш (Вилис формуласи)   | 81        |
| 5- §. Планетар механизмларни график усулда текшириш (Смирнов усули) . . . . .   | 83        |
| <b>5-боб. Механизмларни кучлар таъсирида текшириш . . . . .</b>   | <b>87</b> |
| 1- §. Механизмга таъсир этувчи кучлар . . . . .   | 87        |
| 2- §. Механизм звеноларидаги инерция кучларини аниқлаш . . . . .  | 89        |
| 3- §. Механизмларни кучлар таъсирида ҳисоблаш. Кинематик жуфтлардаги кучларни аниқлаш усули . . . . .                   | 93        |

|  |            |
|--|------------|
| 4- §. Айланма кинематик жуфтли иккинчи класс Ассур группаси учун кинематик жуфтлардаги реакция күчларини аниқлаш . . . . .               | 94         |
| 5- §. Илгарилама ва айланма кинематик жуфтли иккинчи класс Ассур группаси учун кинематик жуфтлардаги реакция күчларини аниқлаш . . . . . | 96         |
| 6- §. Айланма ҳаракат қылувчи етакловчи звено кинематик жуфтларидаги реакция күчларини аниқлаш . . . . .                                 | 99         |
| 7- §. Мувозанатловчи күчни Жуковский усули билан аниқлаш . . . . .   | 100        |
| <b>6- б о б. Механизмлар динамикасини текшириш . . . . .</b>   | <b>110</b> |
| 1- §. Күч ва массаларни келтириш усули . . . . .   | 110        |
| <b>ИККИНЧИ ҚИСМ</b>  |            |
| <b>Механизмларни лойиҳалаш</b>   |            |
| 7- б о б. Кулачокли механизмларни лойиҳалаш . . . . .  | 123        |
| 1- §. Кулачокли механизмларни лойиҳалаш тартиби . . . . .  | 123        |
| 2- §. Механизм схемасини танлаш . . . . .  | 124        |
| 3- §. Түрткичининг ҳаракат қонунини белгилаш . . . . .   | 124        |
| 4- §. График интеграллаш . . . . .   | 126        |
| 5- §. Диаграммалар учун қутб масофаси $H_1$ ва $H_2$ ни танлаш . . . . .   | 126        |
| 6- §. Кулачокли механизмларни кинематик лойиҳалаш (кулачок профилини куриш) . . . . .  | 127        |
| 7- §. Кулачокли механизмларни динамик лойиҳалаш . . . . .  | 128        |
| 8- §. Кулачокнинг минимал радиуси $R_{min}$ ни динамик талабни қаоатлантирадиган қилиб аниқлаш . . . . .                                 | 134        |
|  | 137        |
| <b>8- б о б. Планетар редукторларни лойиҳалаш . . . . .</b>  | <b>153</b> |
| 1- §. Фидирлаклари цилиндрическин планетар тишли механизмларни лойиҳалаш асослари . . . . .  | 153        |
| 2- §. Биттадан ташқи ва ички илашмали бир қаторли планетар редукторни (Жемс редукторини лойиҳалаш) (50-шакл) . . . . .                   | 155        |
| 3- §. Биттадан ташқи ва ички илашмали иккى қаторли планетар редукторни лойиҳалаш (51-шакл) . . . . .                                     | 156        |
| 4- §. Иккита ташқи илашмали иккى қаторли планетар редукторни (Давид редукторини) лойиҳалаш (52-шакл) . . . . .                           | 158        |
| 5- §. Иккита ички илашмали иккى қаторли планетар редукторни (Давид редукторини) лойиҳалаш . . . . .                                      | 160        |
| 6- §. Умумий мулоҳазалар . . . . .   | 161        |
| <b>9- б о б. Бир жуфт тишли гидравлекстикалык узатмаларни лойиҳалаш . . . . .</b>  | <b>162</b> |
| 1- §. Тишли узатманинг геометрик параметрлари . . . . .  | 162        |
| 2- §. Эвольвента ва унинг хоссалари . . . . .  | 163        |
| 3- §. Тишли реїка кўринишидаги қирқувчи асбоб ёрдамида тишли гидравлекстикни ҳосил қилиш . . . . .                                       | 164        |
| 4- §. Тишли илашмаларнинг турлари ва уларнинг ҳусусиятлари . . . . .   | 166        |
| 5- §. Силжиш коэффициентларини белгилаш . . . . .  | 168        |
| 6- §. Қамраш контурларидан фойдаланилган ҳолда тишли узатмани ҳисоблаш . . . . .   | 169        |
| 7- §. ИСО тавсияномаларидан фойдаланилган ҳолда тишли узатмани ҳисоблаш . . . . .  | 174        |
| 8- §. Тишли узатмани Кудрявцев жадвалларидан фойдаланиб ҳисоблаш . . . . .   | 177        |
| 9- §. Тишли илашма элементларини чизиш . . . . .   | 185        |
| 10- §. Актив илашини чизишни, илашиш ёйини ва тиши профилининг актив қисмини қуриш . . . . .   | 185        |

## Үчинчи қисм

### ИШ МАШИНАЛАРИНИ КОМПЛЕКС ЛОЙИХАЛАШ ВА ТАДҚИҚ ЭТИШ

|   |     |
|---|-----|
| 10- боб. Кривошил-ползуныли прессни лойиҳалаш ва текшириш . . . . .   | 193 |
| 1- §. Пресснинг тузилиши, лойиҳалаш шартлари, берилган қийматлар . . . . .                                  | 193 |
| 2- §. Ричагли механизми геометрик лойиҳалаш ва унинг тузилишини текшириш. Механизм ҳолатини куриш . . . . . | 195 |
| 3- §. Механизмни кинематик текшириш . . . . .   | 196 |
| 4- §. Иш машинасининг динамикасиии барқарор бўлмаган режимда текшириш . . . . .                             | 203 |
| 5- §. Механизмни куч таъсирида ҳисоблаш . . . . .   | 212 |
| 6- §. Мой насосининг кулачокли механизмини лойиҳалаш . . . . .  | 218 |
| 7- §. Тизли узатмани лойиҳалаш . . . . .  | 222 |
| 8- §. Планетар редукторни лойиҳалаш . . . . .   | 227 |
| Жавоблар . . . . .  | 233 |
| Адабиёт . . . . .   | 242 |

*На узбекском языке*

РУСТАМХОДЖАЕВ РАШИДХОДЖА

СБОРНИК ПРИМЕРОВ И ЗАДАЧ  
ПО ТЕОРИИ МЕХАНИЗМОВ И МАШИН

*1-е издание*

учебное пособие для студентов  
втузов

Ташкент—«Ўқитувчи»—1987

Мұхаррір Ҳ.-Исматов  
Бадий мұхаррір Ф. Некәдамбосов  
Техн. мұхаррір Т. Грешникова  
Корректор М. Минахмедова

ИБ 3855

Тершілгі бөрилді 26.06.86. Босшыга рұхсат этилди 24.06.87.  
Формати 60×90<sup>16</sup>. Тип қодози № 2. Литературная гарн. Кегли 10  
шпонсиз, 8 шпонли. Юкори босма усулида босилди. Шартлы  
б. л. 15,5. Шартлы кр-отт. 15,69. Нашр. л. 15,95. Тиражи 5000.  
Зак. 2943. Бағосы 70 т.

«Ўқитувчи» нашире. Тошкент, 129. Навоий күчаси, 30.  
Шартнома 11-156-86.

Ўзбекистон ССР наширетлар, полиграфия ва китоб савдоси иш-  
лари Давлат комитети Тошкент «Матбуот» полиграфия ишлаб  
чикариши бирлашмасининг Баш корхонасида терилиб, 3-босма-  
конасида босилди. Тошкент, Юнусобод массиви, квартал Г,  
Муродов күчаси, 1. 1987.

Набрано на головном предприятии, отпечатано в типографии  
№ 3 ТППО «Матбуот» Государственного комитета УзССР по  
делам издательств, полиграфии и книжной торговли. Ташкент,  
массив Юнусабад, квартал Г, ул. Мурадова, 1.

**«УҚИТУВЧИ» НАШРИЕТИ 1987 ЙИЛДА  
ҚУЙИДАГИ ДАРСЛИКЛАРНИ НАШР ЭТАДИ**

1. **Муродов Ш. К.** ва бошқ. Чизма геометрия курси
2. **Хорунов Р., Акбаров А.** Чизма геометриядан масалалар түплами
3. **Мансуров Х.** Автоматика ва ишлаб чыариш процессларини автоматлаштириш
4. **Қизғизбоев Ю.** ва бошқ. Техник чизмачилик курси
5. **Ибрагимов У.** Электр машиналар

•УКИТУВЧИИ•

Р. РУСТАМХҮЖАЕВ

# Механизм ва машиналар назариясидан масала хамда мисоллар түплами

Сборник задач по машинам и механизмам

